

**MINISTERUL EDUCAȚIEI SI INVATAMINTULUI
INSTITUTUL POLITEHNIC "TRAIAN VUIA" TIMIȘOARA
FACULTATEA DE TEHNOLOGIE CHIMICĂ**

Ing.TĂNASE P.TĂVALĂ

**SINTEZA SI STUDIUL PIGMENTILOR
PE BAZA DE TITAN-NICHEL**

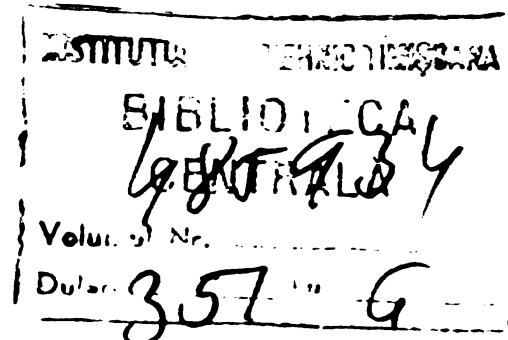
TEZĂ DE DOCTORAT

**BIBLIOTECA CENTRALĂ
UNIVERSITATEA "POLITEHNICA"
TIMIȘOARA**

Conducători științifici:

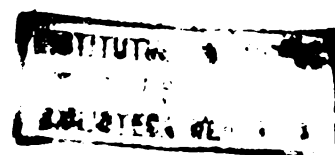
Acad.CORICLAN DRĂGULESCU

Prof.dr.ing.DUMITRU BECHERESCU



- 1983 -

OMAGIU SI NEPRETUITA RECUNOSTINTA
ACADEMICIANULUI CORIOLAN DRAGULESCU SUB
A CARUI INDRUMARE AM INITIAT CERCETARILE
CUPRINSE IN ACEASTA TEZA DE DOCTORAT.



C U P R I N S

	P a g .
INTRODUCERE	1
CAPITOLUL 1	6
1.CONSIDERATII GENERALE PRIVIND SINTEZA SI CARATERISTICILE FIZICO-CHIMICE ALE PIGMENTILOR ANORGANICI TERMOREZISTENȚI DE TITAN-NICHEL	6
1.1.Introducere	6
1.2.Sinteza și proprietățile pigmentilor pe bază de titan-nichel.Studiu de literatură	8
1.2.1.Metode generale de preparare a pigmentilor pe bază de dioxid de titan și grupări cromofore	8
1.2.2.Consideratii asupra materiilor prime de bază	12
1.2.2.1.Dioxidul de titan -TiO_2-	12
1.2.2.2.Oxidul de nichel -NiO-	17
1.2.2.3.Ozizi substituanti ai NiO și ozizi compensatori de sarcină $M_m O_n$	20
1.2.2.4.Adaosuri de mineralizatori	23
1.2.3.Sistemul $NiO-TiO_2$	25
CAPITOLUL 2	32
2.LUCRARI DE CERCETARE EFECTUATE	32
2.1.Metoda ceramică de preparare a pigmentilor pe bază de titan-nichel	32
2.2.Materii prime și auxiliare	36
2.3.Metode de cercetare	36
2.3.1.Analiza chimică	38
2.3.2.Analiza termică	38
2.3.3.Metode de determinare a structurii	39
2.3.3.1.Analiza roentgenografică	39
2.3.3.2.Analiza spectroscopică în infraroșu	40
2.3.3.3.Analiza de microscopie electronică	40
2.3.3.4.Analiza cu microsonde electronică	40
2.3.3.5.Analiza granulometrică prin metoda Coulter-Counter	41
2.3.4.Analiza colorimetrică	41
2.3.5.Metode curente de analiză ale proprietăților pigmentilor	47

	Pag.
CAPITOLUL 3	48
3.SINTEZA SI STUDIUL PIGMENTILOR IN SISTEMUL $\text{NiO}\text{-}\text{TiO}_2\text{-nM}_m\text{O}_n$	48 .
3.1.SINTEZA SI STUDIUL PIGMENTILOR IN SISTEMUL $\text{NiO}\text{-}\text{TiO}_2\text{-uSb}_2\text{O}_5$	50
3.1.1.Influența proporției reactanților chimici asupra caracteristicilor de culoare ale pigmentilor $\text{NiO}\text{-}\text{TiO}_2\text{-uSb}_2\text{O}_5$	52
3.1.2.Influența factorilor termici asupra caracte- risticilor de culoare ale pigmentilor $\text{NiO}\text{-}\text{TiO}_2\text{-uSb}_2\text{O}_5$	57
3.1.3.Studiul structurii pigmentilor în sistemul $\text{NiO}\text{-}\text{TiO}_2\text{-uSb}_2\text{O}_5$	69
3.1.3.1.Studiul roentgenstructural	70
3.1.3.2.Studiul de spectroscopie în infraroșu	88
3.1.3.3.Studiul de microscopie electronică	90
3.1.3.4.Studiul cu microsonda electronică	93
3.2.SINTEZA SI STUDIUL PIGMENTILOR IN SISTEMUL $\text{NiO}\text{-}\text{TiO}_2\text{-uM}_2\text{O}_5$	95
3.2.1.Caracteristicile de culoare ale pigmentilor $\text{NiO}\text{-}\text{TiO}_2\text{-M}_2\text{O}_5$ în funcție de condițiile sintezei	95
3.2.2.Studiul structurii pigmentilor $\text{NiO}\text{-}\text{TiO}_2\text{-uM}_2\text{O}_5$	107
3.3.SINTEZA SI STUDIUL PIGMENTILOR IN SISTEMUL $\text{NiO}\text{-}\text{TiO}_2\text{-uMO}_3$	115
3.3.1.Caracteristicile de culoare ale pigmentilor $\text{NiO}\text{-}\text{TiO}_2\text{-uMO}_3$ în funcție de condițiile sintezei	115
3.3.2.Studiul structurii pigmentilor $\text{NiO}\text{-}\text{TiO}_2\text{-uMO}_3$	125
3.4.Proprietățile fizice principale ale compușilor oxidici $\text{NiO}\text{-}\text{TiO}_2\text{-uM}_m\text{O}_n$	131
3.5.Mecanismul formării structurii și dezvoltării culorii în pigmentii $\text{NiO}\text{-}\text{TiO}_2\text{-uM}_m\text{O}_n$	134
CAPITOLUL 4	
4.SINTEZA SI STUDIUL PIGMENTILOR IN SISTEMUL $\text{NiO/M}_2\text{-}\text{TiO}_2\text{-uM}_m\text{O}_n$	139
4.1.SINTEZA SI STUDIUL PIGMENTILOR IN SISTEMUL $\text{NiO/ZnO-TiO}_2\text{-uSb}_2\text{O}_5$	139
4.2.SINTEZA SI STUDIUL PIGMENTILOR IN SISTEMUL $\text{NiO/CdO-TiO}_2\text{-uM}_m\text{O}_n$	143

CAPITOLUL 5	153
5.SINTEZA SI STUDIUL PIGMENTILOR IN SISTEMUL [(1-α)NiO.αM₂O₃].TiO₂.uM_mO_n	153
5.1.SINTEZA SI STUDIUL PIGMENTILOR IN SISTEMUL [(1-α)NiO.αFe₂O₃].TiO₂.uSb₂O₅	153
5.2.SINTEZA SI STUDIUL PIGMENTILOR IN SISTEMUL [(1-α)NiO.αFe₂O₃].TiO₂.uM_mO_n	160
5.3.SINTEZA SI STUDIUL PIGMENTILOR IN SISTEMUL (NiO/Cr₂O₃)TiO₂.uSb₂O₅	167
5.4.SINTEZA SI STUDIUL PIGMENTILOR PE BAZA DE RUTIL SINTETIC OBTINUT DIN ILMENITE INDIGENE	171
5.5. Metode de calcul a nuantei etalon pentru pigmenti	176
CAPITOLUL 6	181
6.PRODUCEREA INDUSTRIALA A PIGMENTILOR PE BAZA DE TITAN-NICHEL	181
6.1.Controlul calitatii si dozarea materiilor prime	183
6.2.Măcinarea și omogenizarea materiilor prime	183
6.3.Uscarea compozitiei omogenizate	184
6.4.Omogenizarea pulberii	184
6.5.Pirosinteză pigmentilor	185
6.6.Măcinarea pigmentilor	187
6.7.Spălarea pigmentilor	188
6.8.Atomizarea pigmentilor	188
CAPITOLUL 7	192
7.CUNCLUZII	192

- . -

INTRODUCERE

In cadrul problematicii creerii de progres tehnic chimia punne in valoare multiplele sale posibilitati pentru a actiona asupra micro si macro-structurii materiei, asupra proceselor structurale ale acesteia in scopul obtinerii de noi produse, cit mai valoroase si mai utile, prin elaborarea de tehnologii noi sau optimizarea celor existente.

Revoluția științifică și tehnică din ultimele patru decenii a dinamizat creșterea producției materiale și în special dezvoltarea industriei chimice pe plan mondial, înregistrând, comparativ cu celelalte ramuri industriale, cel mai ridicat indice de creștere.

In acest context s-au încadrat cercetările cu caracter fundamental și aplicativ privind chimia corpului solid care stau la bază sintezei fine pentru o varietate însemnată de produse, printre care un loc de seamă îl dețin pigmentii anorganici.

Culoarea, una din caracteristicile de bază a pigmentilor, a constituit dintotdeauna și pretutindeni o deosebită atracție pentru om, preocupându-l pentru înfrumusețarea vieții.

In funcție de etapa istorică și de mijloacele de execuție, pe care și le-au creat, oamenii au folosit pigmentii naturali, apoi sintetici, în colorarea obiectelor care îi înconjurau sau de care se foloseau, materializând astfel stările afective, sentimentele și ideile ce-i animau.

In peștera Pech-Merle din sudul Franței există un desen figurind un mamut, având o vechime de 17.000 ani /1/.

In Egipt au fost descoperite vase decorate în albastru turchiz, pe bază de compuși ai cuprului, aparținând perioadei faraonice, cu cinci mii de ani înaintea erei noastre /2/.

In muzeul din Cairo o decorație murală pe plăcuțe rectangulare împodobeste peretii unei camere a palatului Dyeser al primului Saggarah din a treia dinastie a faraonilor (2.700 f.e.n.). Monumentele ridicate în acea epocă dovedesc că egiptenii au cunoscut pigmentii: roșii (cinabru), verzi și albastrii pe bază de cupru /3/.

Cu 400 de ani f.e.n. învățatul grec Dioscorid a descris metoda de fabricare a albului de plumă prin acțiunea acidului acetic asupra plumbului /4/.

Tehnica decorului pe vase apare odată cu începuturile olăritului. Argilele folosite conțineau pigmenti naturali ca: oxizi de fer, mangan, titan, etc., care prin ardere generaau culori.

Decorul realizat în special pe argile silicioase apare la egipteni și se extinde, sub această formă, în Asia și Europa. Aceeași tehnică este găsită la perși, greci și romani.

Vestite au rămas produsele ceramice "Terra sicillata" ale romanilor din atelierele Trierer, decorate cu gust ales, aflate în colecție la Woolburg.

Se cunoaște că tehnica prin scufundare, a obiectului ceramic uscat, în suspensie foarte fină de pigment a fost preluată de la greci. Romanii au continuat-o. Pojghița depusă, arsă în cupoare cu atmosferă oxidantă, devine brun-roșcată (în cazul argilei levigate și sedimentate), iar în atmosferă reducătoare devine gri-neagră. Prin urmare, se cunoaște înăncă din antichitate influența atmosferei din cupitor, asupra dezvoltării culorii în anumite compozitii.

Babilonienii cunoșteau glazurile colorante. Pe zidurile templului din Babilon s-au păstrat glazuri turchiz foarte reușite, pe bază de oxizi de cupru și oxizi alcalini lipsiți de plumb și bor, aflate în muzeul Pergamon din Berlin.

În primul secol al erei noastre, naturalistul Vitruvin a descris fabricarea verdei de cupru. Pigmenții din aceste timpuri se întrebunțau, mai ales, la crearea unor opere de artă excepționale.

Mai târziu au apărut mărturiile scrise cu privire la obținerea sintetică a pigmentelor ceramici menționate în manuscrisul călugărului benedictin Theophilus Presbyter, descoperit de Lessing în biblioteca din Wolfenbüttel /5/.

Arta colorării sticlei apare mai târziu, în antichitate, la Roma.

Un impuls însemnat în prepararea pigmentelor destinați colorării sticlei se datorează alchimiștilor.

Mai târziu, în anul 1689, Johan Kunekel tipărește "Arta obținerii sticlei" în care prezintă un număr mare de rețete practice. Aceasta este sursa care l-a ajutat pe J. Fr. Boettger, descoperitorul porțelanului european, să contribuie la prepararea pigmentelor care să dezvolte culori ceramice pe porțelanuri cu suprafață uscată.

În jurul anului 1722 J. Gr. Höroldt realizează culori pe glazură din pigmenti anorganici și frite, din silicati de plumb, ușor fusibile, cu deosebită strălucire și mare varietate de nuanțe /5/.

In Meissen se foloseau minereurile de cobalt pentru culori albastre, rezistente la temperaturi finalte, pentru decocarea porțelanului.

In Deft și în districtul englez Potterg se practica decorul pe porțelanuri, în special, culori pe bază de aur realizate după metode originale, dar nu prea rezistente la temperaturi mari.

O dezvoltare a fabricării pigmentelor, propriu zisă, începe abia în prima jumătate a secolului al XVIII-lea, odată cu producerea albastrului de Berlin sau Milori, iar la sfîrșitul aceluiși secol al verdelui lui Scheele.

La granița dintre secolul XVIII și XIX s-a propus înlocuirea albului de plumb cu albul de zinc, care era cunoscut încă din secolul I f.e.n., dar se folosea numai în scopuri medicinale.

In anul 1797 a fost descris pentru prima dată galbenul de crom, a cărui fabricație industrială, ca pigment, a început în anul 1818.

In 1828 a fost elaborat procedeul de fabricație al ultramarinului, pus la punct de către Ghime și independent de el de Gmelin /7/.

La mijlocul secolului al XIX-lea De Duet a descoperit metoda preparării litoponului. Producția industrială a acestuia a început în 1874, iar la începutul secolului XX volumul producției lui depășea producția altor pigmenti albi. In ultimii ani producția mondială a litoponului a ajuns la 300 mii tone/an.

Comparind preocupările, datele și rezultatele obținute în domeniul pigmentelor anorganici cu cele din domeniul pigmentelor și coloranților organici, pentru care metodele de preparare apar descrise abia în a doua jumătate a secolului XIX /7/, apare evidentă prioritarea celor anorganici.

Producția dioxidului de titan este asigurată de cantități nelimitate de materii prime și nu este legată de consumul metalelor neferoase. Din anul 1941 el a fost introdus în industrie ca pigment alb.

Derby și Leighton /8/ au estimat producția dioxidului de titan în anul 1980 la 2.745 mii tone, iar Gladishev /8/ la 2.900 mii tone.

Dioxidul de titan se folosește, cu succes, ca principală materie primă pentru o extinsă gamă de pigmenti anorganici termorezistenți servind ca și alți oxizi drept "rețea gazdă" pentru mulți ioni ai me-

talelor tranzitionale cu insușiri cromofore, care generează, în condiții anumite de sinteză, o bogată paletă de culori /10,11,12/, măriind varietatea acestor compuși /13,14,15/ și creșterea producției, care atinge valoarea de 10 miliarde D.m., la nivelul anului 1980 /46/.

În ultimii ani odată cu progresele ramurilor de vîrf ale tehnicii și industriei electronice, radiofoniei, televiziunii, computerelor, maselor plastice, alăturate celor realizate în industria ceramicii fine, emailurilor, etc., s-a manifestat un deosebit interes pentru pigmentii cu proprietăți: magnetice, luminofore, rezistență la agenți chimici, termorezistență ridicată, dispersabilitate și putere de acoperire mare în mediile în care se folosesc.

Studiul proprietăților acestor pigmenti este de mare importanță pentru chimie întrucât sunt deosebit de sensibile la modificările de compoziție și structură, contribuind la elucidarea naturii legăturii chimice în cristale /17,18,19,20/ și la explicarea culorii în lumina modernă a chimiei cristalului la temperaturi înalte /21,22,23,24/, prin folosirea de metode moderne de cercetare specifice domeniului chimiei corpului solid.

Pe lîngă interesul artistic și cel aplicativ al pigmentelor anorganici, apare prin urmare, interesul științific deosebit pe care îl suscîtă problema predicției culorii și ale celorlalte caracteristici fizice conferite de compoziția chimică în condiții de sinteză precizate, precum și conservarea acestora în medii chimice agresive și la temperaturi ridicate.

Date fiind aspectele practice multiple și teoretice complicate pe care le ridică studiul pigmentelor anorganici s-a considerat că este util și interesant să se cerceteze condițiile pirosintezei pulberilor oxidice de titan, nichel și substituenți ai acestora care generează culori și conferă compusilor rezultăți caracteristici fizice specifice.

În acest sens, în lucrare s-a urmărit să se precizeze răspul reactanților chimici principali, factorii terici, efectul adăsurilor alumitor oxizi și halogenuri alcaline asupra culorii dezvoltate în compozitiile specifice sistemului oxidic NiO-TiO₂; efectul substituirii parțiale a oxidului de nichel cu alți oxizi asupra modificării culorii și structurii cristaline ale pigmentelor, precum și stabilirea unor corelații între compoziția chimică, parametri tehnologici și caracteristicile de culoare ale acestor pigmenti.

Rezultatele experimentale obținute justifică obiectivul pre-

zentei teze prin apportul științific, aplicativ și economic adus la realizarea unor sortimente noi de pigmenti anorganici într-o variață paletă de culori și cu utilizări tehnico-industriale importante.

Progresele chimiei și fizicii, în special a chimiei suprafeteelor corpului solid, vor deschide noi domenii de aplicare a pigmentilor anorganici și vor contribui la dinamizarea acestei ramuri industriale.

CAPITOLUL 1

1.CONSIDERATII GENERALE PRIVIND SINTEZA SI CARACTERISTICILE FIZICO-CHIMICE ALE PIGMENTILOR ANORGANICI TERMOREZISTENTI DE TITAN + NICHEL

1.1.-Introducere

Necesitatea de materiale noi, care pot asigura servicii în condiții industriale speciale cum sunt cele la temperaturi înalte, constituie argumente importante pentru cercetarea tehnologică și fundamentală a compușilor oxidici cu caracteristici specifice.

Sunt numeroase motivele pentru care proprietățile metalelor de tranziție oferă interes deosebit în acest scop. Se disting mai ales unii compuși oxidici printre care: pigmentii anorganici termorezistenți, feritele, compuși feroelectrici, catalizatorii, semiconducțorii, refractarele covalente și materiale pentru cele mai moderne domenii de dezvoltare ale tehnicii contemporane cu aplicații acustico-optice, electro-optice, magnetice, laseri, substanțe în microelectronică, etc., care au la bază un număr de oxizi cum sunt: MgO , CaO , BaO , NiO , CoO , Al_2O_3 , Cr_2O_3 , Fe_2O_3 , SiO_2 , GeO_2 , SnO_2 , TiO_2 , ZrO_2 , etc., reprezentând exemple moderne despre însușirile speciale ale ionilor metalor respective în rețetele de oxizi /25, 26, 27/. Însemnatate mare se acordă elucidării naturii interacțiunilor electronice și ionice în sinteza compușilor oxidici, care le conferă acestora, în șfara detaliilor de structură, comportament magnetic și proprietăți optice, materializate de cele mai multe ori prin efectul de culoare /28/, caracteristică de bază a pigmentilor. De altfel, culoarea e constituit obiect de studiu începînd din secolul al XVIII-lea /29/ și continuă să preocupe pe specialiști pînă în zilele noastre /30/.

Istoria producerii pigmentelor anorganici și extinderea sortimentelor a lăsat amprentă asupra genezei și terminologiei acestor produse. Termenii folosiți în literatură și în documentația tehnică sunt afectați de o serie de neajunsuri și anume: sinonimia, mai multe sensuri, absența unei nomenclaturi și sistem științific de clasificare, etc. Exemple ar fi multe de dat. Pentru sinonimie ne vom referi la dioxidul de titan - reactantul de bază - folosit în sinteza pigmentilor anorganici termorezistenți, ce face obiectul acestei lucrări, termen folosit la noi și în străinătate alături de termenul "alb de titan" /7/. Pentru precizare, pe plan intern și extern, termenul "alb de titan";

"Titanium white"; "Blanc de titane" sau "Titanweiss" se referă la pigmentul rezultat din amestecul de dioxid de titan și un adaos (sulfat de bariu și sulfat de calciu), iar termenul de "dioxid de titan"; "Titanium dioxide"; "Bioxide de titane" sau "Titandioxyd" reprezintă denumirea chimică /31,32,33/.

Sinonimia termenelor se întâlnesc și în denumirea proprietăților pigmentelor, ca exemplu: capacitatea de colorare a pigmentului și puterea de acoperire, care au cu totul alt conținut fizic.

În privința definirii termenului de pigment se are în vedere noțiunea generală a cărui termen este apropiat de denumirea modestă și noțiunea specifică care conține particularitățile caracteristice compușilor.

Pigmenții anorganici se definesc ca fiind "substanțele anorganice colorate, dispersabile, insolubile în mediile de dispersie și cu capacitatea de-a forma, cu generatori de pelicule protectoare, acoperiri decorative sau decorativ-protectoare" /34/.

Termenul de "pigment anorganic" include termenul de "pigment mineral" care și-a pierdut sensul ca și denumirea de "chimie minerală" inclusă în termenul general de "chimie anorganică".

Necesitatea precizării terminologiei în domeniul pigmentelor anorganici pe un criteriu științific unic apare ca o cerință generală a progresului tehnico-științific în scopul extinderii colaborării internaționale, folosirii tehnicii de calcul în cercetare și industrie, creerii sistemelor automate de conducere, etc.

Pigmenții de titan-nichel se încadrează în grupa pigmentelor anorganici termorezistenți care includ în sfera noțiunii: compoziția chimică de bază $\text{NiO} \cdot \text{TiO}_2$ și caracteristica fizică principală -termorezistența-.

Se precizează /35/ că acești compuși oxidici, cu proprietăți pigmentare deosebite, sunt oxizi micști și nu oxisăruri. Studiul roentgenostructural al meta și ortotitanagilor metalici a demonstrat că în rețeaua lor cristalină de tipul ilmenitei, perovskitei și spinelului nu au fost identificate oxienionii TiO_3^{2-} , respectiv TiO_4^{4-} independenți. Rețelele lor cristaline sunt constituite din doi catiuni diferenți, în cazul cercetării de față Ti^{4+} și Ni^{2+} sau substituenți ai acestora și anioni de O^{2-} . Prin urmare, denumirea de titanăți de nichel este impropriă, iar compușii obținuți sunt oxizi micști colorați de nichel-titan.

1.2. Sinteza și proprietățile pigmentilor pe bază de titan-nichel. Studiu de literatură

Prepararea pigmentilor anorganici termorezistenți ca și a compușilor chimici cu compoziție definită, în majoritatea cazurilor, nu prezintă dificultăți. Totuși, trebuie ținut seama că proprietățile tehnice ale pigmentilor: culoarea, structura cristalină, caracteristicile de pigmentare, rezistența la agenții chimici, la temperaturi ridicate, la lumină, etc., depind de numeroși factori. Dintre aceștia esențiali sunt: metoda de preparare, natura și calitatea materiilor prime, proporția reactanților, parametrii sintezei și gradul de prelucrare a compușilor rezultați din reacție, care asigură forma și dimensiunea particulelor, întregind caracteristicile complexe ce trebuie să le înțrunească pigmentii destinați diverselor domenii de aplicații tehnico-industriale tradiționale și altele inseparabile de civilizația modernă.

In prepararea pigmentilor anorganici termorezistenți s-a înălțurat aproape în întregime empirismul pricinuit de dificultățile instituirii unui control sever al mecanismului de reacție la temperaturi ridicate, pe de o parte și din cauza multitudinii factorilor care condiționează caracteristicile de culoare și morfo-structurale ale acestor compuși, pe de altă parte.

1.2.1. Metode generale de preparare a pigmentilor pe bază de dioxid de titan și grupări cromofore

Sinteza pigmentilor anorganici pe bază de dioxid de titan, servind drept "rețea gazdă" și o grupare cromoforă se realizează prin metodele specifice preparării compușilor oxidici:

a - reacția în stare solidă, la temperatură ridicată, între oxizii metalici sau între oxizii metalici și carbonații metalelor respective. Reactanții se prezintă sub formă de pulberi fine care se amestecă și se oxogenizează intim pe cale mecanică /36, 37, 38, 39/, apoi se supun arderii în cuptoare de construcții diferite, la temperaturi între 750-1150°C;

b - piroliza producătorilor obținuți din coprecipitarea ionilor metalici respectivi sub formă de hidroxizi, carbonați, oxalați sau alte eșruri organice. Este indicată, în acest caz, folosirea unor

agensi de precipitare care in timpul descompunerii termice sa dea compusi volatili, cum sint: hidroxidul si carbonatul de amoniu, acidul oxalic si oxalatul de amoniu /40,41,42/. Prin aceasta metoda se necesita stabilirea conditiilor de precipitare totala a metalelor care intră in componzia produsului finit, iar impuritătile sa ramână in scluție;

c - piroliza combinatiilor complexe mixte, in deosebi cele de tipul oxalaților sau tartraților acido-complecsi /43/. Metoda obtinerii combinatiilor complexe este cantitativ numai pentru anumite raporturi stoichiometrice bine determinate ale componentilor. Există cubii privind obtinerea de compusi oxidici la temperaturi relativ scăzute prin descompunerea termică a complexelor micști.

Nacarovici și colaboratorii /44,45,46/ au adus corectivă acestei metode folosind, pentru coprecipitarea cantitativă a compușilor oxidici din sistemul NiC-TiO₂-(SiO₂), ca reactiv pentru ionii de nichel o soluție alcoolic-apăsă de 1% dimetilglioximă în mediu amoniacal. Procedeul permite să se obțină amestecuri a partenerilor oxidici în orice proporție;

d - generarea electrolitică a ionilor metalici într-o soluție alcalină și piroliza compușilor rezultați /47/.

Variante ale primei metode de preparare (a) ale pigmentilor se consideră:

- incorporarea de ioni metalici cromofori sau compusi cromofori, prin substituție, în rețea cristalină a compusului oxidic "gazdă" în lipsa sau în prezența unumitor adăosuri de oxizi cu rol de compensatori de sarcină și activatori ai reacției în stare solidă, precum și de halogenuri alcaline sau amestecuri ale acestora între ele sau cu alți compuși, care să le mărească efectul fondant în timpul arderei compușilor /48,49,50,51,52,53/;

- prepararea pigmentilor de incluziune, cînd ioni metalici cromofori sau compusi cromofori sunt inclusi dispersiv în masa dioxidului sau compusului oxidic "gazdă" în timpul transformării slo-trope respectiv nuclearei rețelei cristaline /54,55,56,57,58/;

- calcinarea unui amestec, riguros calculat, din pulberi de pigmenti, avînd culori și structuri diferite dar compatibile pentru obținerea unui pigment de tip heteromorf, cu caracteristici de culoare predeterminate, pe baza unui model de calcul /59,60,61,62/.

Compararea metodelor generale de preparare ale pigmentilor pe bază de compusi oxidici, prezентate sumar, permite aprecieri asupra oportunității opțiunii pentru una din ele, în funcție de efec-

tele vizate în utilizarea acestor pigmenti cît și de eficiență economică a producerii lor.

Pigmenții preparați prin reacții în stare solidă sau pirosinteza amestecului de pulberi ale oxizilor metalici sau sărurilor acestora, la anumite temperaturi, denumită curent metoda ceramică, conduce la obținerea de pigmenti bine cristalizați și necesită măcinare fină și omogenizare avansată. Metoda prezintă avantajul că la temperatură mai ridicată se realizează reacția completă și se asigură formarea structurii cristaline termorezistente, de tip: ilmenită, rutil sau spinel, specifice compușilor oxidici pe bază de dioxid de titan sau de : zircon, sfenă, grenat, perovskită, willemită, etc., în alte sisteme oxidice.

Pulberile acestor pigmenti nu prezintă reactivitate mare nici măcar în medii chimice foarte agresive și la temperaturi ridicate, încât să consereve particularitățile și în deosebi nuanța, ceea ce este esențial pentru folosirea lor în decorația ceramicii fine, sticlei, colorarea emailului, materialelor plastice, etc. Metoda permite obținerea de pigmenti sub formă de compuși oxidici definiți și faze oxidice în proporții controlate.

Prin săptul că se folosesc reacții chimice sub formă de pulberi, tehnologia lor este simplă și necesită vase de reacție cu volum redus.

Dezavantajul metodei constă în consum de energie mai ridicat și condiții sensibile a reproductibilității caracteristicilor fizice ale compușilor.

Prin piroliza compușilor metalici coprecipitați și a combinațiilor complexe mixte se obțin compuși oxidici cu reactivitate chimică mare, particule fine și omogene, ceea ce constituie o calitate deosebită în cauză cind se folosesc materii prime de înaltă puritate chimică /63, 64, 65, 66/.

Autorii lucrărilor /63 - 65/ au folosit pentru coprecipitare hidrogel $TiO_2 \cdot xH_2O$ și sulfat sau carbonat de nichel, iar ca agent de precipitare carbonat de sodiu, de puritate c.p., obținând prin calcinare, peste $750^{\circ}C$, compusul $NiO \cdot TiO_2$.

Heller și colaboratorii /66/ au folosit ca materii prime NiO și TiO_2 de puritate spectrală - preparați prin descompunerea termică a $NiC_2O_4 \cdot 2H_2O$ și a $(NH_4)_2TiO(C_2O_4)_2 \cdot H_2O$ - t. atâži termic timp de 40 ore la $1150^{\circ}C$ și 24 ore la $1300^{\circ}C$, evidențiind și în acest caz un singur compus: $NiO \cdot TiO_2$ de înaltă puritate.

Inconvenientul acestor două metode constă în faptul că tehnologia este mai complicată, ciclul de producție mai extins, utilajul tehnologic mai pretențios și mult mai voluminos. Îndepărțarea impurităților este dificilă, datorită finetăii pulberilor, uneori slab cristalizate sau amorfă, greu lavabile, ele putând rămâne adsorbite pe particulele de pigmenti împiedicând asupra calității acestora, în deosebi asupra nuanței și efectului catalitic. Necesitând materii prime de puritate chimică evansată generează efecte economice defavorabile.

Prințele date cu privire la condițiile de preparare și caracteristicile fizice ale "titatanatului de nichel" definit prin formula NiTiO_3 , aparțin lui Taylor /67/. Prin încălzirea unui amestec al pulberilor de dioxid de titan și oxid de nichel la temperatura de 850°C , el a obținut un pigment galben tern, cu structură romboedrică, izotip ilmenitei $-\text{FeTiC}_3-$, caracteristici confirmate de Posnjak și Barth /68/, și proprietăți semiconductoare determinate de Bridgman, în anul 1951.

Taylor și alții specialiști nu au reușit să sintetizeze "ortotitanatul de nichel" $-\text{Ni}_2\text{TiO}_4-$.

Firnbau și Scott /69/, prin studiul de reză x al sistemului Zn_2TiO_4 - NiTiO_3 , au demonstrat că nichelul substituie zincul pînă la 45% în ortotitanatul de zinc, formînd o soluție solidă $(\text{Zn}_{2-x}, \text{Ni})_x \text{TiC}_4$ de culoare verde. Dimpotrivă, zincul nu substituie nichelul în metatitanat $-\text{NiTiO}_3-$.

Korinth în anul 1952 a caracterizat ortotitanatul de zinc-nichel ca un compus oxidic cu proprietăți pigmentare interesante /69/.

Producția industrială a pigmentului galben titan-nichel $-\text{Ni}(\text{Cr})\text{TiO}_2$ a fost inițiată în anul 1954 de firma americană Harshaw Chem. Comp., Cleveland/Ohio sub denumirea de "Sun Yellow" (galben soare) /70/. Aceeași firmă a realizat pigmentul galben în sistemul $\text{NiO}-\text{TiO}_2-\text{Sb}_2\text{O}_3$. De la această dată a început producția sortimentelor similare de pigmenti de firme din Europa, printre care:

- firma Siegle, pigmentul Nickeltitangelb AN și Nickeltitangelb R, cu conținut în crom;
- firma Bayer, pigmentul Lichtgelb 100;
- firma Rasquin, pigmentul mineralgelb A cu conținut de plumb /71/.

În țara noastră cercetări în domeniul pigmentilor în sistemul $\text{NiO}-\text{TiO}_2-\text{Sb}_2\text{O}_3$ și substituenți ai unora dintre acești oxizi au fost inițiate la Centrul de chimie Timișoara în anul 1972, iar

pe baza rezultatelor /52,53,72,73/ s-au realizat cantități industriale la Intreprinderea "Emailul roșu" din Mediaș începînd din 1974.

Diversificarea gamei de pigmenti avînd la bază sistemul oxidic $\text{NiO}-\text{TiO}_2$ a cunoscut o dezvoltare deosebită acoperînd o bogată paletă de nuanțe prin substituiri sau asocieri de ioni metalici ionului de nichel și/sau prin adăsuri de oxizi ai elementelor penta și hexavalente care fac obiectul studiului și lucrărilor experimentale ale tezei.

1.2.2. Considerații asupra materiilor prime de bază

Dioxidul de titan $-\text{TiO}_2-$ și oxidul de nichel $-\text{NiO}-$ sau sărurile de titan și nichel, care prin termo-disociere conduc la oxizii respectivi, constituie principalele materii prime folosite în sinteza pigmentilor pe bază de titan-nichel.

1.2.2.1. Dioxidul de titan $-\text{TiO}_2-$

Dioxidul de titan $-\text{TiO}_2-$ există, din punct de vedere structural, sub trei forme alotrope:

- anatasul, modificăția stabilă la temperaturi joase;
- rutilul, modificăția stabilă la temperaturi ridicate;
- brookitul, formă intermediară, care cu domeniu de stabilitate foarte îngust.

Cu excepția brookitului a cărui sinteză pare încă incertă, fiecare dintre ceilalți dioxizi ai titanului se pot prepara pe cale umedă, precipitare și ardere cu sau fără stabilizant /74/.

Energia de activare pentru cristalizarea anatasului este de 32 Kcal/mol, pentru cristalizarea rutilului de 28,3 Kcal/mol, iar de transformare alotropă a anatasului în rutil de 87,4 Kcal/mol. Această inversie are loc la temperatura de 800°C .

Diagrama de echilibru a sistemului Ti - O este schematizată în figura 1 /75,76/. Ea a fost reconstituită după lucrările lui Bumps și colaboratorii /77/ și ale lui DeVries și Roy /78/.

Analiza radiocristalografică identifică mai multe faze cu compozitii variabile într-un domeniu mai mult sau mai puțin extins. În afara oxizilor cuprinși în diagramă, Anderson a stabilit în 1957 existența a șapte noi oxizi de titan stabili, toți preparați prin reacția directă între TiO_2 și titan metalic. Ei au formula generală

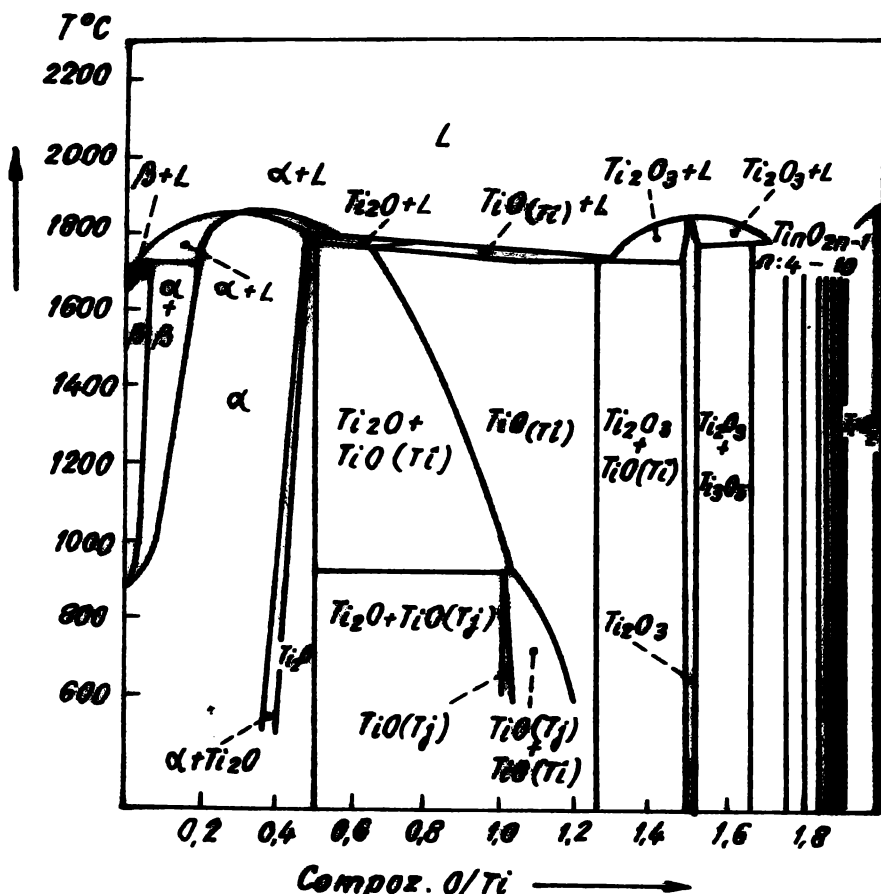


Fig.1 - Diagrama sistemului Ti - O

Ti_nO_{2n-1} , în care $4 < n < 10$ /79,80,81/. Puțin mai tîrziu s-au dece-lat și oxizi de titan cu $15 < n < 36$. Faza limită bine identificată este $Ti_{10}O_{19}$. Acești oxizi sunt dificil de preparat, iar interpreta-rea diagramelor este foarte complexă. Se poate considera structura rutil ca element de bază a unor astfel de sisteme /75/.

Pierderea de oxigen în oxizi nu conduce în mod necesar la formarea de vacanțe asociată cu o redistribuire a legăturilor. Ea poate printrui și o comprimare a structurii în direcția unui plan de furfecare (shear) cristalografică, cu condensarea poliedrelor -octaedre în tcate cazurile cunoscute- unul deasupra altuia, de-a lungul planului de dislocare. Fazele care rezultă dintr-o astfel de transformare sunt denumite curent -fazele lui Magneli- puse în evidență de acesta și colaboratorii săi în 1945/80,82/. Variabilitatea compoziției chimice după acest mecanism a mai fost notată și de alți autori printre care T.Hurleu /83/.

Domeniul de omogenitate estimat pentru faza TiO_x corespunde la $1,9 \leq x \leq 2$. Structura fazei nestoichiometrice s-a considerat mai întâi ca o eliminare dezordonată a atomilor de oxigen deci vacanțe anionice, apoi s-a considerat existența în domeniul $1,7 < x < 1,9$ a unei faze de joasă simetrie.

Literatura /84/ precizează că TiO_2 este redus ușor, centrele donore fiind vacanțe de oxigen - V_O - sau atomi interstitiali - Ti_i . /85/. Un centru V_O este capabil să capteze doi electroni, el formează astfel o grupare $Ti^{3+}-V_O-Ti^{3+}$. Acest centru V_O constituie după cum rezultă un donor dublu ionizabil.

Vacanțele de oxigen difuzează de-o manieră izotropă.

Ionii de dimensiuni mici cum sunt Li^+ și B^{3+} se pot insera în lacunele TiO_2 ceea ce antrenează, după Johnson, o puternică anizotropie vizând constanta de difuzie ($10^8:1; cm/sec$) /86/. Această mare anizotropie a difuziei ionilor interstitiali traduce faptul că pozițiile pe care ei le ocupă formează lanțuri paralele cu axa C de-a lungul domeniilor $a/2, 0, X_3; 0, a/2, X_3$, în care $X_3 = n+1/4 e$, n fiind un număr întreg.

Ionii metalici introdusi prin substituție (Sb^{3+}, Cr^{3+} , etc.) pare să creeze de asemenea vacanțe de oxigen statistic distribuite. Ei joacă un rol important în proprietățile de transport în timpul pirosintezei pigmentelor și ale efectelor de absorbție a luminii /52, 72, 84/.

Prezența unei grupări neutre ($V_O + Cr^{3+}$) acționează ca o capcană electronică. Ionii de V^{4+}, Nb^{4+} și Ta^{4+} sunt la fel donori de electroni, în timp ce ionii de Fe^{4+} ar trebui să fie acceptori cînd substituie ionii Ti^{4+} . Un centru ($V_O + Fe^{3+}$) poate, după caz, să fie centru donor sau acceptor /84/.

Indiferent de mecanismul dominant al reducerii dioxidului de titan concentrații mari de vacanțe anionice și/sau de atomi de titan interstitiali care provin din reducere, se aglomerează în straturi suțiri care sunt eliminate din structură prin formarea de îngrămadiri de defecte sau planuri de forfecare. Aceste planuri, la fel ca suprafața materialului, servesc ca sursă sau capcană pentru atomi Ti_i interstitiali. De-a lungul planului de forfecare a lui Magneli, perechile $Ti:Ti$ se formează la fețele comune ale golurilor octaedrice și reprezintă capcane potențiale de electroni. La temperaturi mai ridicate, cînd excitația termică golește capcanele, repulsia electrostatică creează distanță relativ mare pentru sarcina $Ti^{4+}:Ti^{4+}$. Această proprietate este confirmată prin faptul că ionul octaedric Ti^{4+} poate acționa atât ca ion ferroelectric deplasîndu-se spontan din centrul edificiului său anionic pentru a forma legături $Ti-O$ mai stabile. Este de asemenea pusă în valoare prin formarea planurilor de forfecare de-a lungul căror rămîn permise distorsi-

uni elastice cooperative. La temperatură joasă creerea de capcane electronice permit, din contră, formarea de legături $Ti^{3+}:Ti^{3+}$ în lungul acestor planuri /84/.

Nesstoichiometria oxizilor de titan este o proprietate fizică cu implicații speciale în sinteza și culoarea pigmentelor la care este folosit ca principală materie primă.

In tabelul 1 sunt prezentate principalele proprietăți fizice ale celor trei forme cristaline ale dioxidului de titan /74, 84, 87, 88, 89, 90, 91, 92/.

Dioxidul de titan este foarte stabil termic și la agenți chimici. Numai forma anatas se solvă foarte lent în acid fluorhidric. La lumină nu este sensibil în stare pură. TiO_2 de puritate tehnică prezintă o sensibilitate destul de mare (fototropie), fenomen reversibil.

Totale cele trei forme allotrope ale dioxidului de titan prezintă coordonată octaedrică.

Întrebunțările dioxidului de titan sunt multiple. Se folosesc ca pigment cu proprietăți pigmentare superioare și capacitate de dispersie importantă, caracterizat prin indice de refracție ridicat este utilizat ca opacizant în prepararea emailurilor în care este dispersat, contribuind la conferirea unui grad de alb ridicat, producind o finală reflectanță și putere de acoperire, precum și o durabilitate chimică și fizică deosebită /87/.

Dioxidul de titan se obține industrial prin două procedee tehnologice diferențiate, în principal, prin natura agentului de dezagregare a: ilmenitei - $FeO \cdot TiO_2$, perovskitei - $CaO \cdot TiO_2$ sau titanitei (sfenei) - $CaO \cdot SiO_2 \cdot TiO_2$, denumite: procedeul "sulfat" și procedeul "clor".

Po plan mondial producția de TiO_2 crește cu rapiditate în avantageul procedeului cu clor.

În țara noastră s-a preconizat metoda sulfat de preparare a rutilului sintetic din ilmenită indigenă. La Rimnicu Vilcea s-a construit o instalație pilot pentru producerea rutilului. Gradul de alb realizat nu a satisfăcut cerințele de calitate. În schimb pentru anumite sortimente de pigmenti, destinați colorării maselor plastice, calitatea unor loturi de rutil a fost mulțumitoare /89/.

Tabelul 1

Principalele caracteristici ale dioxidului de titan și ale titanului

Caracteristica	Anatas	Rutil	Brookit	Titan
-configurația electro-nică a titanului,	-	-	-	$[Ar]4s3d^2$
-simbolul stării fundamentale altitanului,	-	-	-	3P_4
-raza ionului $Ti^{4+}[\text{\AA}]$,	-	-	-	0,68
-energia de ionizare [Kcal/mol],	-	-	-	158
-electronegativitatea,	-	-	-	1,5
-volumul atomic, w/d,	-	-	-	10,6
-structura cristalină,	tetragonală	tetragonală	ortorombică	-
-grupa spațială,	C_{4h}^{19} -C4/amc	D_{4h}^{14} -P4/mnm	D_{2h}^{15} -Pbca	-
-masa volumică [g/cm^{-3}],	3,90	4,27	4,13	-
-densitatea roentg.,	4,07	4,52	4,16	-
-duritatea -Mohs-,	5,5-6,0	7,0-7,5	5,5-6,0	-
-indicele de refracție n_s ,	2,488	2,901	2,584	-
-temperatura de topire [$^{\circ}\text{C}$],	-	1750	-	-
-entalpia ΔH_f^{298} [Kcal/mol],		-233,0		-
-căldura specifică [$\text{cal.}^{\circ}\text{C}^{-1}\text{g}^{-1}$]	0,17	0,17		
-susceptibilitatea magnetică specifică χ ,	$0,09 \cdot 10^6$	$0,08 \cdot 10^6$		-
-constanta electrică ϵ ,	48,0	110-117	78,0	-
rezistivitatea [$\Omega \cdot \text{cm}$],	$5,9 \cdot 10^8$	$5,8 \cdot 10^5$		-
-numărul de coordonată, N.C.,	VI	VI	VI	
-intensitatea cimpului cationic,		1,25		
-absorbția în I.R. [cm^{-1}],	347; 525; 700	352; 423; 608; 695	485; 934 351	351

1.2.2.2.Oxidul de nichel -NiO-

Oxidul de nichel se prezintă sub formă de pulbere verde închis la rece, galben la cald, cu aspect amorf.

Moissan /69/ a fost primul care a preparat oxidul de nichel în anul 1880 prin reducerea menajată a unui oxid superior cu hidrogen, amoniac sau oxid de carbon.

Baxter și Parson l-au preparat de-o puritate foarte înaltă prin calcinarea, în curent de aer pur, a unui azotat dublu de nichel și amoniu, în condiții speciale și recristalizat de mai multe ori /69/.

In figura 2 este redată diagrama de echilibru termic de faze a sistemului Ni-O₂/93/.

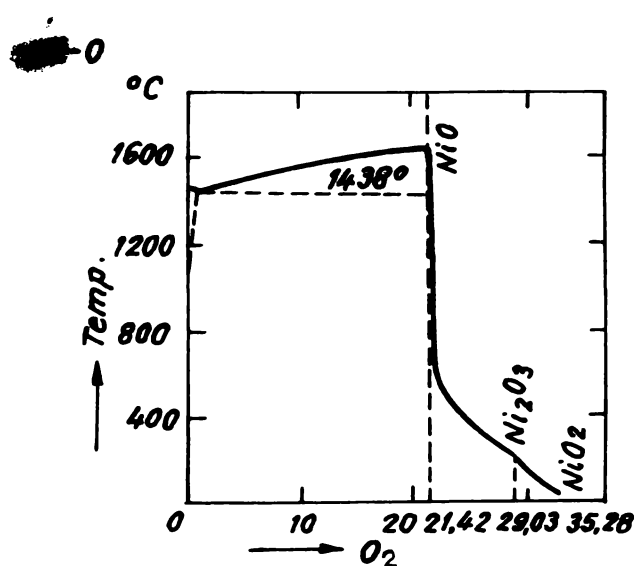


Figura 2 - Diagrama de echilibru termic de faze a sistemului Ni - O₂

În diagramă se desprinde că NiO și Ni₂O₃ sunt compușii de temperatură înaltă ai sistemului, între care se forțează o serie completă de soluții solide de oxizi nestoechimetrici cu vacanțe cationice.

Cu toate precauțiile luate în cadrul metodelor de preparare, compoziția oxidului de nichel variază, în limite destul de înguste, de la NiO la NiO_{1,006} /94/. În oxidul de nichel Ni_{1-x}O pur, defectele care domină sunt evidențiat vacanțe cationice. O lacună cationică izolată captează doi ioni de Ni³⁺ de-o parte și de alta ei. Energiile primei și celei de-a doua ionizări necesare eliberării acestor va-

canțe sunt de 0,6 respectiv 0,8 eV. Aceste două nivele sunt numite nivele Ni^{2+} : V_c /95,96/.

Prezența impurităților obișnuite de ioni feroși și de cobalt în oxidul de nichel joacă rolul de donori, ridicând nivelul Fermi spre primul nivel Ni^{2+} : V_c ; lacunele apar în aceste condiții simplu ionizate, cind concentrația impurităților de fer este de ordinul celei a lacunelor cationice.

In tabelul 2 sunt menționate principalele caracteristici fizice ale oxidului de nichel și ale ionului Ni^{2+} /88,90,91,99,100,101/.

Caracteristicile fizico-chimice ale soluțiilor de oxizi de nichel sunt dependente de temperatura de obținere și de compozitie. In figura 3 este ilustrată această dependență.

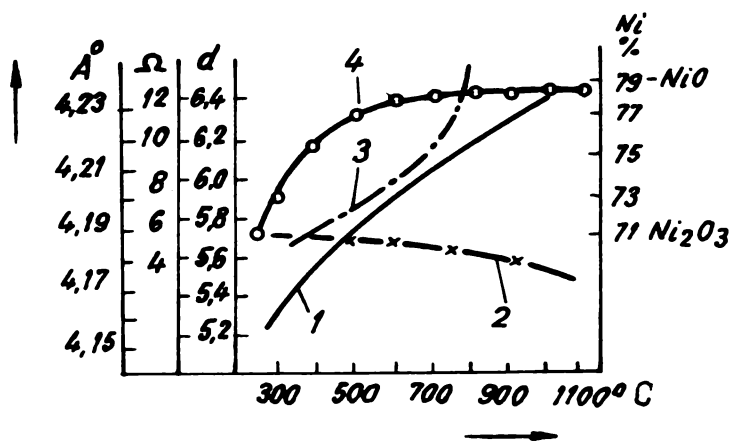


Figura 3 - Caracteristicile fizico-chimice ale soluțiilor solide de oxizi de nichel în funcție de compozitie și de temperatura de obținere

- 1 - densitatea;
- 2 - parametrul celulei cristaline;
- 3 - conductibilitatea specifică;
- 4 - conținutul în nichel a soluției solide.

Lutzman și Kingery /97,98/ au constatat instabilitatea NiO la temperaturi de peste 1550°C , cind se descompune în nichel metalic și oxigen.

Prin studiile roentgenografice s-a precizat că NiO are structura cubică de tipul NaCl .

Momentul magnetic pentru Ni^{2+} , determinat prin difracție de neutroni, este cu puțin inferioară valorii calculate pornind de la teoria cimpului cristalin. Valoarea lui este de $2,0 \mu_B$, față de $2,2 \mu_B$ calculat /99/.

Tabelul 2

Principalele caracteristici ale oxidului de nichel și ale nichelului

Caracteristica	NiO	Ni
-configurația electronică a nichelului,	-	$[\text{Ar}]4s^23d^8$
-simbolul stării fundamentale al nichelului,	-	3F_4
-raza ionului Ni^{2+} [Å],	-	0,69
-energia de ionizare [Kcal/g.mol],	-	176
-electronegativitatea,	-	1,8
-volum atomic W/d,	-	6,6
-structura cristalină,	cubică cu fe- țe centrate	-
-masa volumică [g.cm^{-3}],	6,6-6,9	-
-densitatea roentg.,	6,827	-
-punctul de topire [$^{\circ}\text{C}$],	2090	-
-entalpia $\Delta H_f^{\circ}298$ [Kcal/mol],	-58,4	-
-susceptibilitatea magnetică specifică χ ,	$53,7 \cdot 10^6$	-
-moment magnetic [μ_B],	-	2,0
-număr de coordonată, N.C.,	VI	-
-intensitatea cimpului cationic,	0,55	-
-absorbția optică [eV],	-	1,0-3,9
-absorbția în I.R. [cm^{-1}],	456,650	-

Newman și Chrenko /100/ au pus în evidență o ordinare antiferomagnetică în cristalul de NiO.

Ksendzov și Drabkin /101/ au măsurat fotoconductivitatea NiO și au identificat un pic la 3,7 eV.

Măsurările de transmisie optică indică prezența unui pic de absorbție la 3,9 eV și mai multe linii între 1,0- 3,7 eV.

Proprietățile magnetice și optice sunt specifice electronilor de localizații pe ionii Ni^{2+} .

În starea lor fundamentală $^3A_{2g}$ - ionii de nichel octaedric posedă orbitalii de simetrie t_{2g} plini și e_g semiplini. De aici decurge absența oricărei interacțiuni cation-cation și comportament specific în anumite asociații configuraționale cu alți ioni.

1.2.2.3.- Oxizi substituenți ai NiO și oxizi compensatori de sarcină $M_m O_n$

Substituția parțială sau totală a oxidului de nichel din sistemul NiO-TiO₂ că oxizi ai elementelor bivalente sau trivalente, în prezență și în lipsa oxizilor elementelor pentavalente sau hexavalente, simbolizați prin $M_m O_n$, conduce la obținerea de pigmenți anorganici într-o bogată paletă de nuante.

În tabelul 3 sunt prezentate valorile anumitor caracteristici fizice ale elementelor și oxizilor folosiți /28,90,91/ ca substituenți și adăosuri compensatoare de sarcină în sistemul oxidic de bază.

Structura învelișului electronic și starea fundamentală a atomului este simbolizată ținând seama de mici abateri de la regulile generale de completare a învelișului electronic deși aceste abateri nu implică întregul ansamblu de proprietăți ale atomilor la care se referă.

Printre cele mai evidente proprietăți datorate învelișului electronic, mai ales celui periferic, sunt: comportarea magnetică, spectrele atomică și energia de ionizare, care implică specificitate produselor de reacție.

În cazul oxizilor metalelor bivalente interacțiunile cation-anion-cation sunt superioare interacțiunilor cation-cation, prin faptul că orbitalii e_g , semiocupati, se couplează între ei grație anionului intermediar. În acești oxizi eliminarea unui electron e_g creează o vacanță localizată, iar deplasarea unui electron t_{2g} necesită un aport de energie egal cu valoarea parametrului de scindare Δ_q .

Oxizii metalelor trivalente au proprietăți fizice perfect descrise de modelul electronilor localizați /102/.

Oxizii $M_m O_n$, în care M simbolizează metalele penta și hexavalente, se prezintă sub formă de mici molecule covalente. Majoritatea cristalizează în tipul de structură al complecșilor tridimensionali nedefiniți. Numărul de coordonată al metalului este șase, al oxigenu lui doi. Cationii oxizilor respectivi au caracter donor iar prin substituție în sisteme oxidice provoacă, cum cere modelul, descreșterea temperaturii de tranziție cristalografică, implicit a temperaturii de sinteză pentru compușii oxidici /103,104/.

După cum se cunoaște, dacă diferența între valențele a două metale crește, iar electronegativitatea unuia se apropiie de cea a tipului ne-metal, structura compusului oxidic se modifică trecind din

Tabelul 2

Valoarea anumitor caracteristici fizice ale oxizilor substituenti, compensatori de sarcina si metalelor respective din sistemul Ni/Mn O-TiO₂-uM_nO_m

Oxidul	Configuratie electronica a atomilor in starea fundam.	Simbolul starii fundam.	Struct. crist.	Entalpia ΔH_f° [kcal/mol]	Temp. topire [C]	Raza cation. [A]	Energ. ioniz. I [kcal/g.mol]	Electro-neg.elem.	Nr. coord. cationice z/q ²	Intensit. cimpului z/q ²
MnO	[Ar] 4S ² 3d ³	0S ⁵ /2	cub.	-62,3	1650	0,80	171	1,5	VI	0,415
CoO	[Ar] 4S ² 3d ⁷	4P ⁹ /2	cub.	-57,5	1800-d	0,78	181	1,8	VI	0,421
CuO	[Ar] 4S ¹ 3d ¹⁰	2S ₁ /2	tetr.	-33,0	1026-d	0,96	178	1,9	IV	0,359
ZnO	[Ar] 4S ² 3d ¹⁰	1S ₀	hex	-83,3	1800	0,74	216	1,6	IV	0,437
CdO	[Kr] 5S ² 4d ¹⁰	1S ₀	cub.	-62,4	900-d	0,97	207	1,7	VI	0,356
Fe ₂ O ₃	[Ar] 4S ² 3d ⁶	5D ₄	hex.	-197,0	1565	0,64	182	1,8	VI	0,721
Cr ₂ O ₃	[Ar] 4S ¹ 3d ⁵	7S ₃	hex.	-269,7	1990	0,69	156	1,6	VI	0,687
Sb ₂ O ₃	[Kr] 5S ² 4d ¹⁰ 5p ³	4S ₃ ³	cub.	-	1550-d	0,76	199	1,9	VI	0,643
B ₁₂ O ₃	[Xe] 6S ² 4f ¹ 4g ¹ 6p ³	4S ₃ /2	romb.	-203,4	820	0,96	185	1,9	VI	0,538
V ₂ O ₅	[Ar] 4S ² 3d ³	4P ₃ /2	romb.	-437,7	690	0,59	156	1,6	VI	1,263
Nb ₂ O ₅	[Kr] 5S ¹ 4d ⁴	6D ₃ /2	romb.	-463,1	1520	0,70	156	1,6	VI	1,134
Ta ₂ O ₅	[Xe] 6S ² 4f ¹ 4g ³	4D ₁ /2	romb.	-486,0	1470-d	0,73	138	1,5	VI	1,102
MoO ₃	[Kr] 5S ¹ 4d ⁵	7S ₃ /2	romb.	-180,4	795	0,62	166	1,8	VI	1,470
WO ₃	[Xe] 6S ² 4f ¹ 4g ⁴	5D ₀	romb.	-195,5	1473	0,68	184	1,7	VI	1,387

Trioxizii de: antimoniu, bismut si Crom in timpul firosintezei trec in oxizii superioare, in care gradual de oxidare al ionilor este penta si hexavalent. Valoarea intensitatii cimpurilor cationice devine: 1,225; 1,092, respectiv 1,628.

starea în care distribuția sarcinii și distanța metal-oxigen sunt asemănătoare, pentru ambele metale, la altă stare în care ionii de oxigen sunt asociați mai curind la un metal decât la altul /105/. Această tranziție fiind continuă asigură o labilitate structurală care facilitează reacțiile în stare solidă.

Teoria intensității cimpurilor cationice a lui Dietzel /106/ fundamentă formarea compușilor oxidici stabili dacă între cei doi oxizi ai sistemului diferența intensității cimpurilor cationice depășește valoarea minimă de 0,3 unități.

Forțele coulombiene de atracție care există între catiunii și anionii unui sistem se calculează cu ajutorul formulei:

$$F = \frac{Z_1 e \cdot Z_2 e}{a^2} ; \quad (1)$$

în care:

- Z_1 și Z_2 simbolizează valențele cationului, respectiv ale anionului;
- e semnifică sarcina electrică elementară;
- a reprezintă distanța dintre centrele de greutate ale ionilor.

In sistemele oxidice cu un component, Z_2 este valența oxigenului, egală cu doi, deci o constantă, ca și valoarea sarcinii electrice elementare (e). Pentru simplificarea calculelor, în scopuri comparative, se folosesc valorile raportului Z/a^2 .

Regula de mai sus presupune o simetrie sferică a cimpului cationic. Pentru ionii tranziționali, care nu prezintă o asemenea simetrie, datorită suprimării prin coordonare a degenerării orbitalilor d, regula se consideră cu valabilitate limitată. Exemplul este ilustrat de către Flörke /107/ care a identificat compuși în sistemul $\text{Cr}_2\text{O}_3 - \text{TiO}_2$ cu $Z/a^2 = 0,3$. Alte sisteme oxidice au diferență între intensitățile cimpurilor cationice mult sub valoarea 0,3 și conduce la formarea de compuși chimici, mai cu seamă, în condiții de reacții energice, la temperaturi ridicate, cind sunt posibile interacțiuni mult mai variate decât cele prevăzute de limitele regulei lui Dietzel.

Compușii oxidici izostructurali sau heterostructurali obținuți, în limitele sistemului $\text{NiC}-\text{TiO}_2$, prin substituția ionilor Ni^{2+} cu ionii metalelor bivalente și/sau trivalente, precum și a ionilor de Ti^{4+} , separat sau asociați cu ionii bivalenți, substituți cu ioni ai elementelor penta sau hexavalente, prezintă proprietăți optice cu valoroase consecințe practice.

1.2.2.4.- Adăosuri de mineralizatori

In scopul intensificării procesului de pirosinteză a amestecurilor de pulberi oxidice se folosesc adăosuri de mineralizatori sau acceleratori ai reacției.

Substanțele chimice caracterizate prin efectele respective sunt definite /loc/, ca: "adăosuri în cantități mici" de compuși chimici, independent de starea lor de fază, care nu intră în calculul final al compoziției sintetizate, dar prin prezența lor acționează fizic sau chimic, participând la o serie de reacții intermediare și condiționând desfășurarea procesului fizico-chimic în intervale limitate de temperatură.

Influența mineralizatorului este importantă atât prin acțiunea și direcția mecanismului său cît și prin eficiență relativă a acțiunii acestuia asupra diferitelor procese elementare ale reacției chimice în stare solidă.

Mecanismul acțiunii mineralizatorilor asupra cineticii reacțiilor nu este complet elucidat. Se consideră că principalele căi de acțiune a mineralizatorilor în stare solidă sunt:

- dezorganizarea rețelei cristaline;
- crearea de vacanțe cationice sau anionice în rețeaua cristalină.

Primul efect este tipic pentru substituția ionilor din rețeaua reactanților cu ioni de aceeași valență, dar cu rază ionică diferită, cind rețeaua cristalină se distorsionează, iar ionii ei cîștigă în mobilitate.

Al doilea efect este caracteristic pentru substituția ionilor din rețeaua reactanților de bază cu ioni de valență diferită, ceea ce conduce la formarea de vacanțe cationice sau anionice, accentuind nestoechiometria compoziției oxidice și intensificând considerabil difuzia, recristalizarea și sinterizarea.

- Prepararea pigmentelor anorganici prin metoda pirosintezei pulberilor de oxizi metalici necesită utilizarea de mineralizatori în scopul intensificării reacției la temperaturi mai scăzute și pentru rolul lor în nuanțarea culorii acestor compuși.

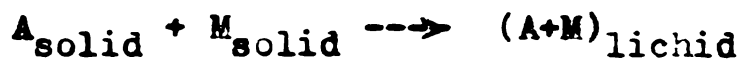
In tabelul 4 sunt menționate anumite caracteristici ale clorurilor alcalini folosite drept "mineralizatori" în sinteza pigmentelor anorganici termorezistenți /loc, loc/.

Tabelul 4

Valoarea unor caracteristici fizice ale clorurilor metalelor alcaline cu implicații asupra efectului mineralizator în sinteza pigmentelor

Nr. crt.	Mineralizator	Temper. topire °C	Raza cation. Å	Coeficient energetic -EK-	Polarizabil. cationului -β-	Obs.
1.	LiCl	614	0,60	0,55	1,7	
2.	NaCl	800	0,95	0,45	1,0	
3.	KCl	768	1,33	1,00	0,6	

Halogenuurile alcaline se caracterizează prin temperaturi de topire relativ scăzute, față de temperatura de sinteză, ceea ce le permite să interacționeze, în faza lichidă, cu o mare cantitate de reagent, mărind sensibil viteza de reacție. În acest caz schema de interacțiune în sistem este:



rezultând că o cantitate mică de "fondant mineralizator" poate trece treptat prin faza lichidă o cantitate mare de reactant, accelerând viteza de reacție, crearea centrelor de cristalizare a produselor de reacție și formarea soluțiilor solide/llo/.

Important pentru reacțiile în stare solidă, în care se folosesc mineralizatori, este faptul că neuniformitatea granulometrică a pulberii influențează mai puțin rezultatul reacției decât în absența lor.

Prin spălarea produselor de reacție adosul de mineralizator este îndepărtat, el nu este inclus în compozitia chimică finală a acestora.

1.2.3.-Sistemul NiO-TiO₂

Importanță tehnică deosebită acordată compușilor oxidici pe bază de titan nu este compensată prin lucrări de cercetare pe măsură. Este surprinzător faptul că despre raportul de faze al unui sistem oxidic atât de simplu cum este NiO-TiO₂ se cunosc relativ puține informații.

Secțiunea cvasibinară NiO-TiO₂ a diagramei de fază Ni/Ti/O a fost cercetată de către Zaharescu și Macarovici /46/ și este redată în figura 4.

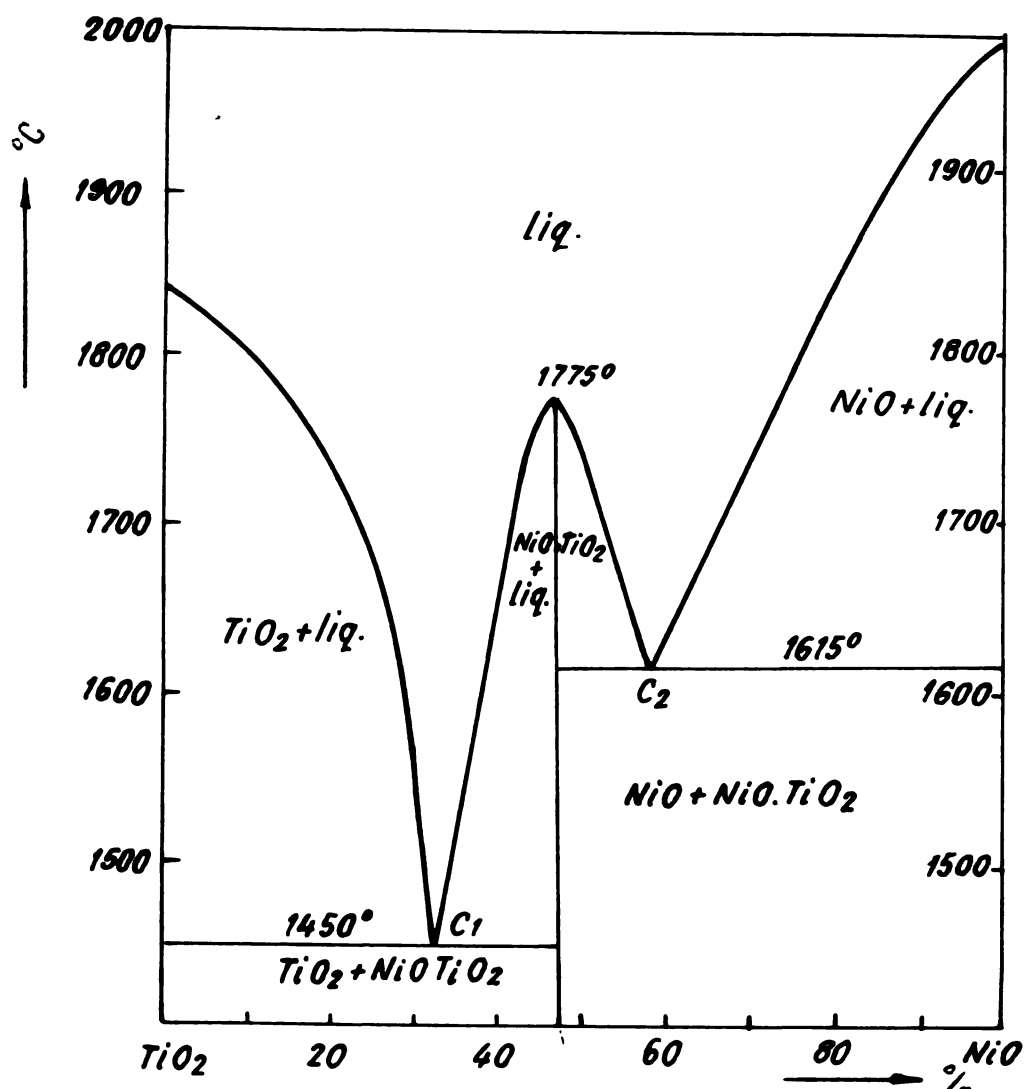


Figura 4.-Diagrama de echilibru termic de faze
a sistemului NiO-TiO₂

Autorii pornind de la amestecuri inițiale reactive, obținute prin coprecipitarea cantitativă a reacționilor și folosind tehnica topirii în plasma de argon, au reușit să determine echilibrele termice ale fazelor sistemului NiO-TiO₂. Pentru identificarea fazelor au folosit metoda de analiză prin: difracția razei X, microscopie op-

tică la temperatură înaltă și spectroscopie în infraroșu.

Temperaturile de topire stabilite pentru amestecurile binare-cit și analiza de faze au permis trasarea curbelor limită, care fac demarcarea domeniilor de cristalizare primară a fazelor și a punctelor invariante.

Curba lichidus pentru masele care conțin mai mult de 70% NiO a fost trasată prin extrapolare, topirea lor nefiind posibilă fără disocierea oxidului de nichel.

Din diagramă rezultă că singurul compus definit care se formează în sistem este $\text{NiO} \cdot \text{TiO}_2$, caracterizat prin topire congruentă la 1775°C , pentru compoziția $\text{Ni}_{0,963}\text{Ti}_{1,018}\text{O}_3$, spre deosebire de diagramele sistemelor similare $\text{FeO} \cdot \text{TiO}_2$ /111/ și $\text{CoO} \cdot \text{TiO}_2$ /112/, care sunt caracterizate prin prezența a trei compusi definiți.

Sistemul binar $\text{NiO} \cdot \text{TiO}_2$ este divizat în două subsisteme, primul $\text{TiO}_2 \cdot \text{NiO} \cdot \text{TiO}_2$, caracterizat prin eutecticul $e_1(1450^\circ\text{C})$, pentru 37,5% moli NiO, al doilea $\text{NiO} \cdot \text{TiO}_2 \cdot \text{NiC}$, caracterizat prin eutecticul $e_2(1615^\circ\text{C})$, pentru 55% moli NiO. Această rezultat este în concordanță cu datele de cercetare anterioară ale acelorași autori /44/.

Datele privind extinderea omogenității compusului $\text{NiO} \cdot \text{TiO}_2$ cu structura ilmenitei lipsesc ca și precizări asupra solubilității celor două faze marginale între ele /113/.

Din diagramă rezultă efectul de fondant al oxidului de nichel asupra dioxidului de titan, temperatura de topire a maselor marind o importantă scădere între 1845°C (TiO_2) și 1450°C (punctul eutectic e_1).

Datta și Roy /114/ s-au preocupat de realizarea sintezei ortotitanatului de nichel - Ni_2TiO_4 - între 650 și 1600°C din amestecuri corespunzătoare de pulberi ale oxizilor respectivi, dar au obținut produși de reacție în care au identificat numai compusul $\text{NiO} \cdot \text{TiO}_2$ și NiO.

Autorii au reușit să obțină cristale mixte cu structura spinelului prin pirosinteza pulberilor de oxizi: NiO , ZnO și TiO_2 , care la 1500°C prezintă stabilitate pînă la compoziția $\text{Ni}_{1,8}\text{Zn}_{0,8}\text{TiO}_4$. Prin aceasta s-a demonstrat că nichelul substituie zincul în proporție mai mare decît 45%, după cum constatăse Birnbaum și Scott /69/.

Substituția titanului cu germaniu a condus la formarea unui amestec stabil de cristale mixte, prezentând o fază pură cu compoziția $\text{Ni}_{2-\alpha,2}\text{Ge}_{\alpha,2}\text{Ti}_{0,8}\text{O}_4$. Extrapolind constantele de rețea ale compozitiei Ni_2TiO_4 se obțin constantele de rețea ale spinelului cu

valori cuprinse între $a_0 = 8,34 \pm 8,37 \text{ \AA}$ /115/.

Billiet și colaboratorii /116/, în cercetările efectuate asupra oxizilor micști pe care-i formează TiO_2 cu oxizii metalelor bivalente: $\text{MgO}, \text{FeO}, \text{CoO}, \text{NiO}$ și ZnO , au identificat existența ortotitanatilor corespunzători cu formula Me_2TiO_4 , cu excepția celui de nichel. Acești compuși cristalizează în sistemul cubic cu fețe centrate, tip spinel 2-4 invers.

Inexistența compusului spinelic $2\text{NiO} \cdot \text{TiO}_2$ pur este pusă pe seama mărimii energiei preferențiale pentru coordinarea octaedrică atât a nichelului cât și a titanului, excluzând coordinarea tetraedrică /117/.

Utsuka /15/ nu a reușit să pună în evidență prin analiză roentgenografică existența ortotitanatului și dititanatului de nichel din compozitii sintetizate pornind de la amestecuri de pulberi și oxizilor respectivi, luate în proporție corespunzătoare, identificând doar fazele $\text{NiO} \cdot \text{TiO}_2, \text{NiC}$ și respectiv TiO_2 .

Schönberg a precizat într-o lucrare /118/ existența unor compuși cu structură cubică obținuți la temperaturi sub 800°C , ale căror compozitii se încadrează formulei generale $\text{Ni}_x\text{Ti}_{4-x}\text{O}_{8-y}$, unde x are valori cuprinse între 1 și 2, corespunzătoare compusilor de la NiTi_3O_7 la NiTiO_3 .

Werner și Gebert /119/ au preparat, din amestecul pulberilor de NiC și TiO_2 , la temperatura de 1390°C , compusul Ni_3TiC_5 . Acesta prezintă stabilitate numai în amestec cu fazele NiO și NiTiC_3 . În stare pură compusul a fost obținut, prin răcirea bruscă a compozitiei de la 1500°C , cristalizat în sistemul tetragonal și caracterizat prin constantele de rețea: $a_0 = 5,894 \pm 0,001 \text{ \AA}$ și $C_0 = 8,336 \pm 0,002 \text{ \AA}$.

Ghimura și Kawamura /120/ cercetând amestecurile de pulberi ale oxizilor NiO și TiO_2 , supuse arderei la temperaturi între 400 și 1200°C , au identificat doar fazele $\text{NiO}, \text{NiTiC}_3$ și TiO_2 . Prin amestecarea compozițiilor respectivi în diferite proporții cu un fonuant ($\text{Na}_2\text{O} \cdot \text{B}_2\text{O}_3$) și încălzirea în aer la $1200-1300^\circ\text{C}$, urmată de răcirea compozitiei la 700°C , au obținut un compus nou cu formula Ni_5TiO_7 , pe care l-au separat din masa topită prin extracție cu acid azotic.

Analiza de raze X a permis stabilirea structurii compusului, care cristalizează ortorombic, avind valoarea constantelor de rețea de: $a_0 = 9,20 \pm 0,02 \text{ \AA}$, $b_0 = 2,99 \pm 0,01 \text{ \AA}$ și $C_0 = 12,17 \pm 0,04 \text{ \AA}$.

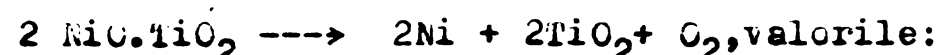
Layher și Flörke /121/ au constatat, în cercetarea raportului de faze în sistemul $\text{NiO}-\text{TiO}_2-\text{SiO}_2$, că amestecurile de NiO și TiO_2 , în raport molar de 2:1, arse la 1550°C și răcite brusc, conțin pe lin-

gă NiTiO_3 și NiO încă o cantitate mică de spinel, a cărui constantă de rețea are valoarea $a_0 = 8,430 \pm 0,001 \text{ Å}$, dar care prin răcire lentă, între 1500 și 1000°C se poate descompune în NiTiO_3 și NiO .

Preocupările specialiștilor pentru precizarea compușilor chimici definiți care pot să apară în sistemul $\text{NiO} \cdot \text{TiO}_2$, deși au început în anul 1930 cînd Taylor /67/ a sintetizat pigmentul galben tern, cu compoziția $\text{NiO} \cdot \text{TiO}_2$ și cu structura ilmenitei, nu au condus la rezultate care să permită confirmarea cecit a unui singur compus stabil și anume oxidul dublu $\text{NiO} \cdot \text{TiO}_2$ sau impropriu denumit "metatitanatul de nichel".

Mult mai tîrziu, în anul 1965, Novokhatski și Lenev /122/ au stabilit funcțiile termodinamice pentru formarea compusului $\text{NiO} \cdot \text{TiO}_2$:

$\Delta H_{298}^0 = -4,5 \pm 0,6 \text{ kcal/mol}$ și $\Delta H_{1273}^0 = -3,9 \pm 0,4 \text{ kcal/mol}$, iar pentru descrierea compusului:



$$\Delta H_{298}^0 = 123,7 \pm 1,7 \text{ kcal/mol} \text{ și } \Delta H_{1273}^0 = 120,4 \pm 0,6 \text{ kcal/mol.}$$

Studii pentru definirea structurii $\text{NiO} \cdot \text{TiO}_2$ au fost făcute de prestigioși cercetători prin diferite tehnici.

Shirane și colaboratorii /123/ pe baza studiilor de difracție de neutroni în pulteri au demonstrat că $\text{NiO} \cdot \text{TiO}_2$ are structura cristalină romboedrică, similară cu a $\text{MnO} \cdot \text{TiO}_2$ și $\text{FeO} \cdot \text{TiO}_2$ -ilmenita-, în care atomii de fer și titan alternează cu axa romboedrului, avînd între ei stratul atomilor de oxigen.

Billard și colaboratorii /113/, Jefferson și West /124/ au stabilit pentru compusul $\text{NiO} \cdot \text{TiO}_2$ structura ilmenitei. Compușii cu această structură cristalină aparțin grupului spațial R_3 și au formula generală ABO_3 , aceiași ca și perovskitei. Pentru neutralitatea cristalului, suma sarcinilor pozitive ale cationilor A și B trebuie să fie egale cu șase.

În geometria structurii reale /125/, relația între razele ionicilor A, B și O este:

$$r_A + r_O = t \cdot \sqrt{2} (r_B + r_O); \quad (2)$$

în care t este un factor de toleranță, al cărui valoare delimităază structura ilmenitei de a perovskitei. Dacă $t < 0,8$ rezultă structura ilmenitică, iar cînd $0,8 < t < 1,0$ compușii au structură perovskitică. Există și excepții de la aceste valori.

În limitele indicate de raportul razelor cationilor și de factorul de toleranță t se pot realiza mai mulți compuși oxidici cu structura ilmenitei, nu numai sisteme binare ci și termare sau cuater-

nare (polinare), cu 3-4 cationi diferiti. Aceasta face ca in sistemul $\text{NiO} \cdot \text{TiO}_2$ nichelul sa fie substituit izomorf cu alți cationi in rețeaua cristalină de tip ilmenitic. Substituțiile respective pricinu-esc distorsiuni suplimentare in rețea care provoacă modificarea prin-cipalelor proprietăți electrice, magnetice /28/ și pigmentare, ceea ce prezintă deosebit interes, atât teoretic cât și practic /53/.

In afara considerațiilor făcute in lucrările /15, 67, 114, 116, 119, 120 și 123/ particularități ale formării fazelor la interacțiu-nea dintre NiO și TiO_2 au stabilit și alți cercetători /115, 126, 127, 128/, punind accentul, fie pe mecanismul de reacție, fie pe caracteris-tica dominantă a compoziției.

Incercarea de clarificare a cineticii de reacție in stare solidă dintre reactanții NiO și TiO_2 a fost făcută prima dată in anul 1970 de către Loskarev și Siceva /129/. Studiul s-a făcut pe dis-curi cu diametrul de 15 mm, modelate din amestecul pulberilor de oxizi la presiunea de 500 kgf/cm². Probele s-au ars la temperaturi cuprinse intre 800 și 1300°C cu palier de o oră, apoi s-au răcit in aer. Compo-nenții nereacționați au fost determinați prin analiză chimică și roentgenografică /130/. Autorii au constatat că intensificarea formă-rii compusului chimic definit $\text{NiO} \cdot \text{TiO}_2$ are loc intre 900 și 1200°C, mai precis la 1050°C.

Viteza de formare a $\text{NiO} \cdot \text{TiO}_2$ au studiat-o prin tratarea izo-termică a probelor pe durete diferite de la 15 la 300 minute și in intervalul de temperatură de 900-1000°C. Apreciind că procesul formă-rii compusului depinde in mare măsură de viteza de difuzie au folosit pentru descrierea ei ecuațiile cunoscute ale cineticii de difuzie ci-tate in lucrările /131, 132, 133, 134, 135/. Ei au stabilit că ecuația lui Jander /131/ descrie procesul dat intre 900 și 1100°C, numai in timpul primei ore a reacției. Pentru timpul de menținere intre 2-5 ore, relațiile prevăzute in lucrările /131-135/ nu se pot folosi la descrierea cantitativă a reacției in stare solidă dintre oxizii NiO și TiO_2 . In aceste condiții ei au adoptat descrierea cineticii formă-rii titanatului de calciu la tratarea izotermică /136/, conform ecua-ției:

$$\frac{a}{a-x} = B \cdot t^n \quad (3)$$

unde:

t - timpul in minute;

x - cantitatea de NiO (%) reacționat după timpul t ;

a - cantitatea de NiO (%) din amestecul supus arderei;

B și n sint constante experimentale cu valorile 0,18 și respectiv 0,90.

Viteza de reacție s-a determinat diferențiind ecuația (3).

Scăderea vitezei de reacție după prima oră este determinată de micșorarea concentrației reactanților și a îngreunării difuziei NiO și TiO₂ prin stratul compusului format NiO.TiO₂.

Energia de activare a procesului de sinteza a compusului a fost determinată din dependența constantei de viteză a reacției de temperatură /136,137/. De asemenea din dependența de temperatură a timpului de desfășurare a reacției - ζ - la una și aceeași adâncime s-a determinat energia de activare, după relația:

$$E = \frac{4,58 \lg \frac{\zeta_{T_1}}{\zeta_{T_2}}}{\frac{1}{T_2} - \frac{1}{T_1}} \quad (4)$$

unde:

ζ_{T_1} - timpul necesar pentru formarea a 40% NiO.TiO₂, la temperatură T₁;

ζ_{T_2} - timpul necesar pentru formarea a 40% NiO.TiO₂, la temperatură T₂.

Această formulă este aplicabilă pentru intervale de temperatură în care se păstrează aceeași dependență cinetică (1000-1100°C).

Valoarea energiei de activare s-a stabilit a fi 44 kcal/mol.

Compusii oxidici obținuți în sistemul NiO-TiO₂ pe lîngă importantă teoretică prezintă și interesante proprietăți fizice și chimice, dintre care de subliniat sunt în deosebi cele optice, magnetice și catalitice.

Culoarea și însușirile pigmentare, specifice compozitiilor sistemului NiO-TiO₂, au făcut obiectul unui număr restrîns de lucrări /64,65/.

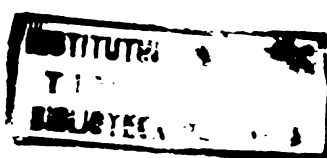
Incepînd cu anul 1970 au apărut preocupări vizînd îmbunătățirea principalelor caracteristici pigmentare: culoarea, strălucirea, puterea de acoperire, etc., ale compusilor respectivi, prin folosirea de adăosuri oxidice, în special de trioxid de antimoni /72,126-128/.

În privința proprietăților magnetice toate studiile efectuate asupra compusului NiO-TiO₂ /66,123,124/ au demonstrat că acesta este feromagnetic.

Activitatea catalitică a NiO.TiO₂ a făcut obiectul lucrărilor /37,63,138/.

Kašer și colaboratorii/37/ au constatat că activitatea catalitică specifică a compusului este de 7-le ori mai mare decât a NiO și considerabil mai mare decât a TiO_2 . Explicația acestei superiorități ar consta în felul distribuției cationilor în rețeaua cristalină a ilmenitei.

Lucările de cercetare ale autorului tezei completează informațiile tehnico-științifice din literatura de specialitate cu date noi privind compoziția chimică, condițiile de sinteză, detaliile de structură și caracteristicile de culoare ale pigmentelor pe bază de titan-nichel.



CAPITOLUL 2

2.- LUCRARI DE CECETARE EFECTUATE

2.1.- Metoda ceramică de preparare a pigmentilor pe bază de titan-nichel

Studiul condițiilor de sinteză al compozitiei chimice și al proprietăților pigmentare al compugilor oxidici pe bază de titan-nichel a impus, dintru început, optiunea pentru metoda de preparare în condiții de laborator și industriale.

Bilanțul avantajelor și dezavantajelor metodelor de preparare a pigmentilor anorganici, rezultat din considerațiile făcute la subcapitolul 1.2.1., corroborat cu destinația dată, justifică optiunea pentru metoda ceramică.

In cazul de față este vorba de compugi oxidici de titan-nichel care fac parte din grupa pigmentilor anorganici termorezistenți folosiți cu deosebire în colorarea emailului, maselor plastice, decorarea ceramicii fine, etc., pentru care esențial este conservarea caracteristicilor pigmentare, în condiții chimice agresive și la temperaturi ridicate. Așa, prin pirosinteză amestecului de pulberei fine ale oxizilor sau sărurilor metalelor respective se conferă pigmentilor, la anumite factori termici, cristalinitate maximă, nuanță definită și reactivitate chimică scăzută. La acestea se adaugă și avantajul adus prin simplitatea instalației, fluxul tehnologic restrins și siguranța de adaptare a instalației în scopul diversificării sortimentelor, aspecte ce se materializează, în final, prin avantaje economice.

In general, modul de preparare al pigmentilor prin metoda ceramică este cunoscut. Ceea ce rămâne mai puțin cunoscut sunt condițiile optime de sinteză, care determină proprietățile orfo-structurale și optice ale pigmentilor și care-i fac utilizabili în diferite domenii tehnico-industriale. La acestea se adaugă, preponderent, compozitia chimică a fiecărui sortiment de pigment pe bază de titan-nichel, care impune specificitatea condițiilor de sinteză, cu deosebire operației de ardere.

Fazele principale ale fluxului tehnologic de preparare și fabricație a pigmentilor pe bază de titan-nichel sunt simbolizate în figura 5.

Toate operațiile din flux își au rolul lor tehnic logic bine

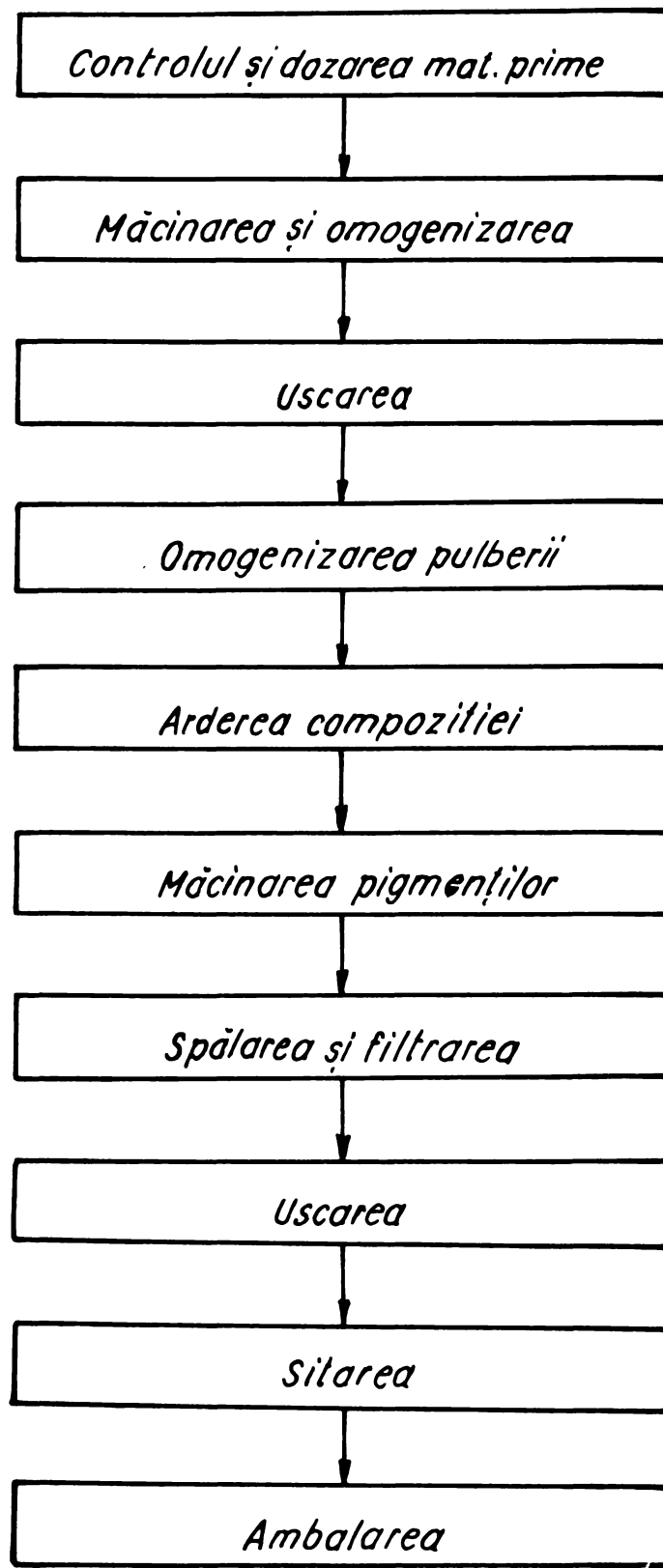


Figura 5.-Schema fluxului tehnologic de preparare a pigmentilor pe bază de titan-nichel.

determinat. Dintre acestea operația de: dozare, omogenizare-măcinare și de ardere sunt de importanță capitală.

Diferențele mici în tehnologia diferitelor sortimente de pigmenti prin metoda pirosintezei pulberilor oxidice îndreptățesc sublinierea doar a operațiilor principale.

Dozarea materiilor prime și auxiliare s-a făcut prin cîntărire la o balanță automată, cu precizia de $\pm 0,2\%$, în conformitate cu cantitățile prevăzute în rețete.

Proportia reactanților principali $Ni\colon TiO_2$ s-a luat în raporturi molare anumite : 0,25, 1 și 2.

Oxizii elementelor penta și hexavalente s-au adăugat în proporție de 5% în sistemul oxidic al pigmentilor. Adaosul s-a simbolizat prin "μ".

Suстанțele cu rol fondant s-au adăugat în proporție de 3%. Ambele adaosuri s-au raportat la masa pulberilor de reactanți principali.

Clorurile alcaline și acidul boric s-au adăugat amestecului de pulberi sub forma de soluție cu concentrație de 10%.

Eșențial pentru viteza și randamentul reacției în stare solidă este finitatea particulelor reactanților supuși arderii. Ideală este dimensiunea moleculară. Practic, ea nu poate fi atinsă. Recomandările din literatură sint pentru mărimi de 1 - 2 μ .

Măcinarea și omogenizarea pulberilor de reactanți și a pulberilor de pigmenti sint operații impuse. Măcinarea dinaintea arderii este condiționată de chimia temperaturii înalte, iar după ardere de procesele fizice și chimice conform destinației pigmentilor.

Operația de măcinare s-a executat într-o moară de agat tip Fritsch Pulverisette 7, n.F.G., timp de 30 minute la o turatie de 1500 rot/min. Raportul pigment:apă:bile a fost de 1:1:1,5. După măcinare și uscare, dimensiunea particulelor, în majoritatea cazurilor a fost sub 15 μ .

Principala fază în procesul preparării pigmentilor este arderea amestecului intim al pulberilor materiilor prime. În decursul acestei operații au loc interacțiunile chimice dintre reactanți, formarea structurii și definitivarea culorii pigmentilor, considerente care impun că această operație să fie controlată.

Arderea s-a executat într-un cupitor electric de tip Kammerofen KO II, -R.D.I., cu bare de superkantal, în atmosferă obisnuită. Diagrama de ardere a cupotorului este redată în figura 6

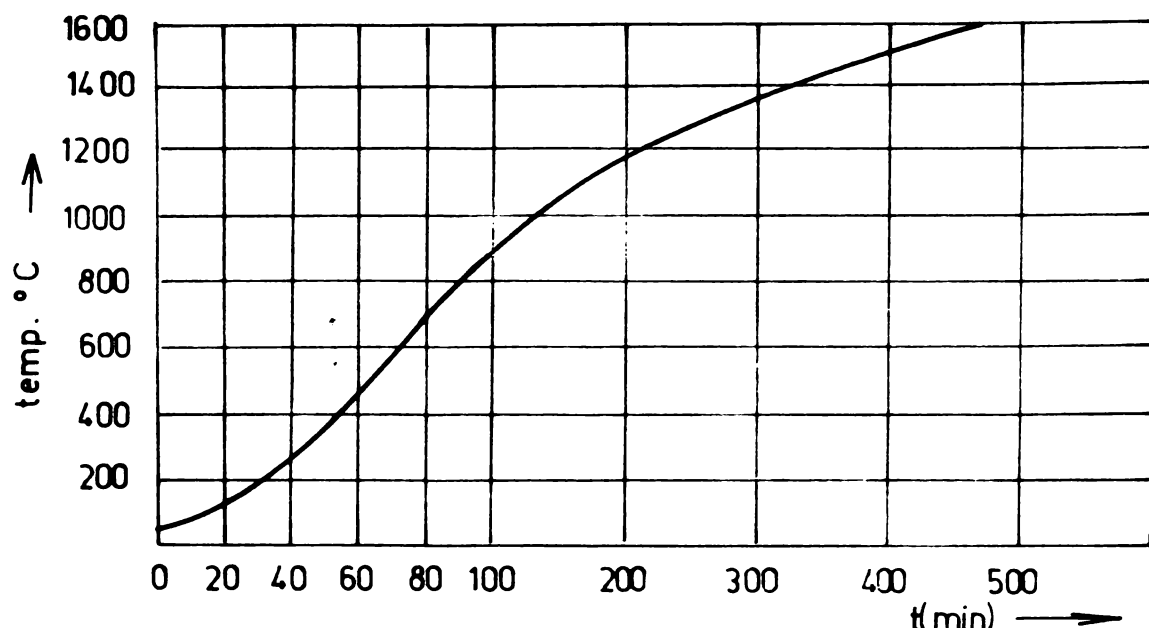


Figura 6- Diagrama de ardere a cuptorului de tip Kammerofen KO II.

Amestecul de pulberi supus arderii a fost tasat în creuzete neglazurate, avînd aproximativ aceeași presiune în toată masa.

După ardere conținutul creuzetelor a fost imersat în apă rece. Prin această operație se "îngheată" structura compusului format la temperatură maximă de ardere, masa devine mai friabilă, iar pigmentul cîștișă în strălucire /55/.

Finețea și disperabilitatea pulberilor de pigmenti s-a asigurat prin măcinarea acestora în condițiile specificate mai înainte.

Operația de uscare s-a realizat în etuvă la 110°C . Umiditatea pulberilor a fost adusă sub 1%.

2.2.-Materii prime și auxiliare

Considerații mai detaliate asupra caracteristicilor fizico-chimice ale principaliilor reactanți chimici folosiți în sinteze s-au făcut în subcapitolul 1.2.2. De această dată se prezintă compoziția chimică a acestor reactanți și se precizează gradul de puritate al reactanților auxiliari.

Sintezele de pigmenti realizate în condiții de laborator au fost executate folosind majoritatea reactanților sub formă de oxizi, pulberei.

Compoziția chimică și proveniența reectanților principali și auxiliari sunt prezentate în tabelul 5.

Oxizii folosiți drept adăsuri cu efecte optice și tehnologice speciale și anume: Sb_2O_3 , Bi_2O_3 , Sb_2O_5 , V_2O_5 , Nb_2O_5 , Ta_2O_5 , Cr_2O_3 , CrO_3 , MoO_3 și WO_3 au fost de puritate chimică p.a. Aceeași puritate au avut clorurile alcaline: $LiCl$, $NaCl$, KCl și acidul boric, folosite ca adăsuri cu rol fondant și sinergetic.

În sinteze s-a urmat să se întrebuițeze reactanți chimici cu aceeași compoziție chimică și din aceeași sursă.

Din tabelul 5 se desprinde doar calitatea inferioară a rutilei sintetic realizat la Centrul de cercetări din Rîmnicu Vîlcea, în condiții de pilot industrial, dar care folosit în sinteze pentru anumite compozitii, a condus la obținerea de compusi oxidici cu bune insigurii pigmentare /89/ și care în colorarea foliilor de P.V.C. au dat rezultate satisfăcătoare.

2.3.-Metode de cercetare

Compoziția chimică a materiilor prime și caracteristicile fizico-chimice ale compușilor sintetizați au fost determinate prin metode de investigație clasice și moderne.

Pentru a evidenția corelația dintre compozitia și structura pigmentilor, pe de o parte și proprietățile optice și pigmentare, pe de altă parte, s-a făcut apel la metoda de analiză chimică și fizică îndeosebi prin tehnici instrumentale. Se poate aprecia că în mare măsură pigmentii anorganici au cîștiat mult teren și datorită dezvoltării metodelor de cercetare în domeniul corpului solid.

Pregătirea probelor supuse analizelor a fost făcută în condiții identice. Astfel compozitiile măcinante și uscate au fost tre-

Tabelul 5

Compoziția chimică a materiilor prime și auxiliare / % /

Nr crt	Materie primă Compoziția chimică	TiO ₂ anatas	NiO	ZnO	FeOOH	Sb ₂ O ₃	Rutil sintetic
1.	TiO ₂	98,74					86,38
2.	NiO		98,85				
3.	ZnO	0,001		99,20			0,03
4.	Fe ₂ O ₃	0,08	0,16		88,30	0,01	0,44
5.	Sb ₂ O ₃	0,18				99,12	
6.	SiO ₂	0,24	0,42		0,21		0,30
7.	Cr ₂ O ₃	0,001			0,02		0,07
8.	Al ₂ O ₃		0,02		0,12		0,50
9.	CeO		0,45				0,02
10.	CuO	0,001	0,037		0,027	0,003	0,008
11.	PbO	0,01		0,14		0,05	0,05
12.	MgO		0,20				
13.	MnO				0,06		0,04
14.	P ₂ O ₅	0,32					
15.	SO ₃	0,25	0,03		0,36		0,80
16.	H ₂ O	0,13	0,14	0,22	0,35	0,12	0,53
17.	Solubile în apă	0,20	0,24	0,11	0,49	0,08	0,42
18.	Insolubile în HCl	0,30	0,11	0,18	0,38	0,07	9,18

cute p. intr-o sită cu 16.900 oeniuri/ cm^2 , urmărindu-se ca întreaga cantitate să fie recuperată și trecută prin sită. Pentru fiecare tehnică de determinare s-au respectat condițiile specifice de pregătire a probelor.

2.3.1.- Analiza chimică

Compoziția chimică a materiilor prime și pigmentelor s-a determinat prin metode analitice /139,140/, pentru componentii chimici principali și prin spectroscopie de absorbție atomică pentru impuritățile chimice /141/, folosind spectrofotometrul de absorbție tip PYE UNICAM SP 1900, Anglia, precum și microsonda electronică tip JEOL - JXA - 5AA, Japonia.

Dozarea titanului s-a făcut prin spectrofotometrie de absorbție atomică prin tehnica preconizată de Neel /142/ și pe cale colorimetrică utilizând reacția cu apă oxigenată în prezența acidului sulfuric.

Dozarea ionului Ni^{2+} s-a efectuat folosind o soluție de complexon III, iar ca indicator murexidul /44/.

Conținutul în ioni metalici substituenți și ionilor de nichel din sistemul oxidic s-a făst determinat prin metodele prevăzute în STAS-urile respective:

- ZnO : STAS 421-70;
- Cr_2O_3 : STAS 4465-71;
- Fe_2O_3 : STAS 6632-62.

Insolubilele în acid clorhidric s-au determinat conform STAS 6147-68, iar substanțele solubile în apă prin metoda indicată în STAS 7948/2-78.

2.3.2.- Analiza termică

Precizarea parametrilor de sinteză și pigmentelor, care împărtășeau pentru asigurarea caracteristicilor optime de culcare, a impus cunoașterea evoluției termice a anestecurilor de puleri ale compozitiilor. În acest scop s-a efectuat analiza termo gravimetrică și termodiferențială /143/ cu ajutorul derivatografului Ardey-Paulik-Paulik, tip MCM, Ungaria. Viteza de încălzire a fost de $12^\circ/\text{min.}$, în intervalul de temperatură $20-1200^\circ\text{C}$, fără menținere în condiții izoterme la temperatură maximă.

2.3.3.-Metode de determinare a structurii

Informațiile cristalochimice au fost obținute asupra compozitiilor pirosintetizate, utilizând pentru identificarea compoziției fazale, structurii cristaline și detaliilor structurale metodele de analiză: roentgenografică, spectroscopie în infraroșu, microscopie electronică, microsondă electronică /143/ și metoda Coulter Counter pentru finețea și repartitia granulometrică a unor pulberi de pigmenti.

2.3.3.1.-Analiza roentgenografică

Compoziția de fază a pigmentilor obținuți la temperaturi anumite a fost determinată prin analiză roentgenografică /143/ efectuată pe pulberi cu aparatul TUR-M 62, echipat cu un difractometru RZG-3 cu contor proporțional. Înregistrările s-au făcut folosind radiația Cu K ($\lambda = 1,5405 \text{ \AA}$), filtrată prin nichel. Viteza de rotație a goniometrului a fost de $0,5^\circ/\text{min}$. Expunerile s-au efectuat la tensiunea de lucru de 40 KV și intensitatea de 35 mA. Scala impulsurilor a fost de $1,8 \cdot 10^5$ impulsuri/minut. Hîrtia de înregistrare a rulat cu o viteză de 600 mm/oră. La compactarea materialului pulverulent s-a folosit ca liant balsamul de Canada.

Compoziția fazală a pigmentelor s-a identificat din spectrele de RX, traseate în aceleasi condiții. Cunoscindu-se compoziția materiilor prime și condițiile de sinteză, tipul structural s-a stabilit pe baza analogiei cristaline cu substanțe omoloage chimic, utilizând metoda omologiei și valorile cristalografice respective, consenate în figele ASTM(American Society for Testing Materials). În cazul ilustrării directe prin spectrele de difracție a compozitiei de fază s-au specificat radiațiile difractate pe planele reticulare prin indicii ($h k l$).

În scopul reprezentării grafice a datelor de raze X, în serii de pigmenti s-a stabilit cîte un etalon. Linia de reflexie cu intensitatea maximă din spectrul compozitiei etalon, s-a considerat de 100% și s-a echivalat cu 40 mm. Față de această linie s-au calculat intensitățile celorlalte linii din spectru, iar raportul lor s-a transpus în figura de prezentare.

2.3.3.2.-Analiza spectroscopică în infraroșu

Detaliile structurale ale compușilor oxidici preparați au fost analizate prin spectroscopie în infraroșu /143/ cu ajutorul aparatului EPICORD - 75 IR - Yena, R.D.S., în domeniul frecvențelor $1400 - 400 \text{ cm}^{-1}$, pe pastile preparate prin dispersarea pulberii fine în bromură de potasiu, raport 1:4/9.

2.3.3.3.-Analiza de microscopie electronică

Forma și dimensiunea particulelor de pigmenti reprezintă insușiri cu implicații asupra îmbunătățirii procesului de dispersie în diferite medii și a puterii de colorare.

Aprecierea formei și dimensiunii s-a făcut prin analiza de microscopie electronică cu ajutorul microscopului electronic de balenaj Jeol I.E.M.- 50, la o tensiune de accelerare de 25 KV și o putere de rezoluție de 100 Å . Pentru realizarea unor imagini de bună calitate, probele au fost acoperite cu o peliculă de carbon de circa 100 Å , peste care s-a depus o peliculă de $150-200 \text{ Å}$ din cupru. Acoperirea s-a realizat într-o instalație de tipul Jeol I.E.E. - 40 la un vid de $2 \cdot 10^{-5} \text{ mm Hg}$. S-a lucrat la grosimiște cuprindere între 3000 și $10.000 \times$, cu o distanță de 13 mm.

2.3.3.4.-Analiza cu microsonde electronice

Metoda de analiză cu microonde electronice permite determinarea concomitentă a formei și dimensiunii particulelor și stabilirea compoziției chimice a particulelor individuale dintr-o substanță anumită pregătită.

Detaliile microstructurale ale pigmentilor au fost precizate cu ajutorul microondei electronice tip JEOL - JCA - 5 Å - Japonia, funcționând sub o tensiune de accelerare de 35 KV.

Probele s-au pregătit prin dispersarea pulberii în colodiu dizolvat în acetat de amil, iar după uscere, la temperatură obisnuită, au fost metalizate cu aluminiu prin evaporare în vid la 10^{-6} mm Hg și fixate pe suport metalic cu pastă de argint coloidal.

Principiul metodei se bazează pe capacitatea microondei electronice de a menține un fascicol stabil de electroni - fascicoul primar - focalizat pe suprafața probei în regim de spot fix cu

diametrul de 100μ . Curentul de valoare mare face ca după o detecție eficientă a radiațiilor X caracteristice, emise de elementele componente ale probei, să se execute determinări microchimice după un program comandat de calculatorul PDP 8/m. Determinările s-au realizat în cîte trei puncte de măsurare, asupra cărora s-au efectuat medii.

Distribuția electronilor reflectați sau retrodifuzați de microrelieful suprafeței probei a fost înregistrată sub forma unei imagini de microscopie electronică, imagine de topografie, la grosimea de 10.000 și 20.000. De asemenea s-a încercat înregistrarea unor imagini de compoziție privind distribuția elementelor în compusul format, dar acest studiu nu a putut fi realizat de-o manieră satisfăcătoare, realizându-se numai analiza calitativă în puncte.

2.5.3.5.-Analiza granulometrică prin metoda Coulter Counter

Compoziția dispersă a pulberilor de pișmenți este una din condițiile de bază care influențează determinant caracteristicile optice și calitatea acoperirilor /4,144/.

Mărimea particulelor și compoziția granulometrică s-a măsurat de asemenea și cu ajutorul aparatului Coulter Counter de proveniență Coluter Electronics Ltd., Anglia.

Principiul de funcționare al aparatului se bazează pe modificarea rezistenței electrice a unui orificiu la trecerea electrolitului ce conține în suspensie particulele de pulbere. Variatiile rezistenței electrice sunt corelate cu volumul electrolitului dislocuit de fiecare particulă, ele sunt detectate ca impulsuri amplificate, înregistrate și numărate. Pe baza măsurătorilor se trasează curba cumulativă a distribuției granulometrice.

Limitarea metodei este condiționată de dimensiunile particulelor $0,5-400 \mu$ și de necesitatea formării suspensiei în electrolit.

2.5.4.-Analiza culorimetrică

Culorarea și formăurile cui ristice le pișmenților au constituit criteriul determinat și în analizii literarilor de cercetare. Reproducerea caracteristicilor de culoare ale unui pigment dune

probleme de optimizare a parametrilor tehnologici și de control, motiv pentru care apare ca foarte importantă metoda de măsurare a culorii și necesitatea unor precizări mai detaliate.

Este recunoscut, în general, că evaluarea numerică a caracteristicilor de culoare, sub condițiile unui anumit aranjament geometric de iluminare și observare, oferă cele mai multe avantaje.

Pentru a îndeplini cerința uniformității aprecierii și clasificării culorii s-a ivit necesitatea stringentă a unui sistem colorimetric unanim acceptat pe plan internațional, care a fost fondat în 1931 și dezvoltat ulterior (1964), sub denumirea de sistem C.I.E. (Commission Internationale de l'Eclairage). El permite evaluarea caracteristicilor culorii pe bază a trei valori, necesare și suficiente pentru a specifica suprafața culorii. Cele trei valori sunt componente de culoare; roșu, verde și albastru, simbolizate prin: X, Y, Z. Ele corespund fotoreceptorilor specifici ochiului omenești.

Reproducerea tuturor senzațiilor cromatice se realizează prin amestecul celor trei culori pure denumite și culori primare sau modulatori.

Comisia Internațională de Iluminat - C.I.E. - a recomandat pentru spațiul cromatic XYZ radiatiile: 700 nm pentru roșu, 546,1 nm pentru verde și 435,8 nm pentru albastru /145/.

Experimental, noțiunea de sinteză tricoloră atică este confirmată sub singura rezervă ca una din aceste culori primare să nu poate fi reproducă prin amestecul celorlalte două (să fie culori pure).

Culoarea este aspectul concret al efectului psihofizic rezultat din combinarea a trei atracții ale interacțiunii radiatiilor luminoase din spectrul vizual cu materia și anume: nuanță, saturată și luminositatea. Valoarea acestor trei variabile permite ca senzația cromatică să fie reprezentată printr-un punct în spațiu numit spațiu cromatic. Dar un spațiu cromatic ideal nu există și empiric sunt utilizate diferite sisteme din care cel mai utilizat este cel al lui Munsell.

Experimental, valoarea atributelor de culoare se poate preciza cantitativ pe baza datelor obținute prin măsuratori de colorimetrie tricromatică.

Componentele de culoare, X, Y, Z, citite în scara tristimulus C.I.E., precum și unitățile de culoare în scara Hunter L, a, b, s-au determinat, pentru majoritatea probelor, cu ajutorul colorimetru lui Hunterlab, model D25A-2, S.L.A., iar pentru un număr restrins de pig-

menți, pentru plăcuțele emailate și folii de masă plastică colorate s-au executat măsurători cu ajutorul aparatului MOCOLOR, R.P.U (1975). Din valorile obținute s-au recalculat celelalte mărimi în unități Hunter.

Toate măsurătorile au fost determinate în condițiile geometrice recomandate de C.I.E./145,146/.

Puloverile de pigmenti au fost pregătite în mod identic, prin presare, într-o matră confecționată din bronz, cu ajutorul unei lame sablate, pentru asigurarea suprafetei difuze expuse iluminării. Dispozitivul a permis dozarea volumetrică a pudrelor și controlul gradului de presare.

Presiunea de pastilare a pulberilor de pigmenti, expuse ciștirilor la MOCOLOR, a fost de $2,4 \cdot 10^7 \text{ N/m}^2$.

Caracteristicile de culoare s-au calculat din valorile componentelor de culoare: X, Y, Z.

Cordonatele tricromatice x, y, z, s-au obținut cu ajutorul formulelor:

$$x = \frac{X}{X+Y+Z}; \quad (5)$$

$$y = \frac{Y}{X+Y+Z}; \quad (6)$$

$$z = \frac{Z}{X+Y+Z}. \quad (7)$$

Nuanța spectrală este exprimată prin valoarea lungimii de undă dominantă - λ_d . Ea se calculează din panta dreptei - t - care leagă punctul stimulului acromatic de referință, de punctul de pe curba stimuliilor monocromatici, din diagrame de cromaticitate C.I.E.:

$$t = \frac{y-y_w}{x-x_w}; \quad (8)$$

În care:

t - panta dreptei ce trece prin cele două puncte;

x_w, y_w - coordonatele tricromatice ale stimulului acromatic de referință. Pentru iluminantul standard C valoriile sunt: $x_w = 0,3100$; $y_w = 0,3160$; $z_w = 0,3735$, iar

pentru spectrul de egală energie -S- sint:

$$x=y=z=0,333;$$

x,y - coordonatele tricromatice ale stimulului culorii căreia i se calculează lungimea de undă dominantă.

Corespondența între valoările pantei -t- și lungimile de undă dominantă este dată în tabele. Valoarea -t- rezultată din calcul se cauță în tabelele respective, iar prin interpolare se obține valoarea corespunzătoare a lungimii de undă dominantă.

In cazul unui raport supraunitar al pantei (t) se ia valoarea inversă a acesteia ($\frac{1}{t}$).

Precizia lungimii de undă dominantă calculată și consimnată în tabele este de 0,1 nm.

Saturația culorii este echivalentul psihosenzorial al purității culorii exprimată prin factorul de puritate colorimetrică -P_c- considerat ca unitate fizică. Saturația culorilor spectrale cu factorul de puritate unu, se exprimă în procente. Saturația este atributul tuturor culorilor care le descreză de un cenușiu cu luminositate egală. Prin urmare, diferențele de saturatie reprezintă variații ale conținutului de gri în culori.

Factorul de puritate -P_c- se calculează cu formula:

$$P_c = \frac{y_1(y-y_w)}{y(y_1-y_w)} ; \quad (9)$$

în care:

y și y_w - au același semnificație ca cele specificate pentru formula (8);

y₁ - valoarea coordonatei tricromatice a stimulului monocromatic corespunzător lungimii de undă dominantă.

Luminositatea este expresia efectului psihosenzorial de închis sau deschis generat de un pigment sau o suprafață colorată.

Luminanța măsoară caracterul fizic energetic al acestui atribut al culorii, se notează prin Y și se exprimă în procente.

În scara Hunter luminositatea este simbolizată prin -L-.

Mărimile L,a,b, citite în scara Hunter, servesc la calculul diferențelor de luminositate, ΔL, de nuante, Δa și Δb, diferenței totale de culoare, ΔE și diferenței de cromaticitate, Δc.

Acstea caracteristici ale culorii rezultă din calcul cu ajutorul formulelor:

$$\Delta L = L_{pr} - L_e; \quad (10)$$

în care:

ΔL este măsura diferenței de luminozitate, dintre luminozitățea probei, L_{pr} și a etalonului, L_e .

Dacă valoarea diferenței ΔL este pozitivă (+) semnifică aspectul mai luminos al probei în comparație cu etalonul, dacă este negativă (-) indică aspectul mai întunecos al probei.

$$\text{Diferența de nuanță: } \Delta a = a_{pr} - a_e; \quad (11)$$

unde:

Δa este diferența de nuanță, indicând efectul batocrom, respectiv hipsocrom al culorii pigmentului-probă și al etalonului.

Dacă valoarea diferenței Δa este pozitivă (+) înseamnă că pigmentul-probă conține mai mult roșu decât etalonul; dacă este negativă (-), pigmentul-probă conține mai mult verde;

a_{pr} - conținutul în roșu/verde al pigmentului-probă;

a_e - conținutul în roșu/verde al etalonului.

Cind valoarea a este pozitivă (+) caracterizează efectul de nuanță care conține roșu, dacă este zero marchează nuanța gri, iar cind valoarea este negativă (-) indică nuanța care conține verde.

$$\Delta b = b_{pr} - b_e; \quad (12)$$

în care:

Δb este diferența de nuanță dintre nuanța pigmentului probă și a etalonului.

Dacă valoarea diferenței Δb este pozitivă (+), caracterizează pigmentul-probă printr-o culoare ce conține mai mult galben decât etalonul.

Cind valoarea diferenței Δb este negativă (-) indică un conținut mai ridicat în albastru al pigmentului-probă, în comparație cu al etalonului;

b_{pr} - conținutul în galben/albastru al pigmentului-probă;

b_e - conținutul în galben/albastru al etalonului.

Dacă valoarea b este pozitivă (+) specifică efectul de nuanță cu conținut în galben; cind este zero marchează nuanța gri, iar dacă este negativă (-) indică nuanța care conține albastru.

Diferențele de nuanțe reprezintă variații înspre oricare din culorile seriei inchise: roșie-galbenă-verde și albastre.

Pentru albul etalon valorile L,a,b,sunt următoarele:

$$L_{alb} = 91,9; a_{alb} = -0,9; b_{alb} = 0,6;$$

Valoarea diferenței totale de culoare $-\Delta E-$ este o măsură și a diferenței de energie a culorilor față de albul etalon. Ea se calculează cu formula:

$$\Delta E = (\Delta L)^2 + (\Delta a)^2 + (\Delta b)^2 \quad 1/2 \quad (13)$$

Diferența de cromaticitate $-\Delta C-$ rezultă din calcul conform formulei:

$$\Delta C = [(\Delta a)^2 + (\Delta b)^2]^{1/2} \quad (14)$$

DATELE COLORIMETRICE obținute la MCMCOLOR, specificate în termeni C.I.E. ai valorilor tristimulus X,Y,Z, pentru a fi evaluate sub forma diferențelor de culoare, sunt transformate în valori ale unităților de culoare L,a,b, cu ajutorul formulelor /147,148,149/:

$$L = 100Y^{1/2}; \quad (15)$$

$$a = \frac{175(1,02X - Y)}{Y^{1/2}}; \quad (16)$$

$$b = \frac{70(Y - 0,847Z)}{Y^{1/2}}. \quad (17)$$

Celelalte specificații ale culorii se calculează cu formulele 1c-14.

Drept unitate de măsură a diferențelor de culoare s-a admis judd-ul /148/.

Atributul principal al sistemului L,a,b, constă în faptul că el exprimă unități de culoare cu uniformitate vizuală aproximativ în toată masa pigmentului și toate valorile primare sunt înregistrate automat de colorimetru tricromatic.

Atenție deosebită se acordă datelor despre acuratețea instrumentelor de măsurare, de aceea evaluarea diferențelor de culoare s-a făcut în cadrul aceluiași grup de pigmenti în baza criteriilor făcuți pe același aparat și recalculate cu ajutorul relațiilor menționate.

Puterea de acoperire și indicele de absorbție de ulei ale pigmentilor s-au determinat prin metodele standardizate în țară.

Puterea de colorare s-a estimat prin testarea pigmentilor în colorarea emulziilor, folosindu-se între 1-5% adăos de pigment pulbere, în compozitii de frite că înici de aciditate diferită.

Plăcuțele emailete prin imersie au fost arse la 800°C , timp de trei minute. Metoda a permis aprecieri și asupra rezistenței chimice a pigmentilor în diferite medii.

Evaluarea puterii de colorare s-a făcut, de asemenea, prin testări în colorarea maselor plastice. Determinarea a constat în realizarea de pelicule PVC care au constituit suportul de material plastic. S-a folosit PVC sub formă de pulbere, iar pentru plastificarea polimerului s-a întrebuințat dietilhexiliftalat și ca stabilizator compusul FERRO DP-065. Pigmentul s-a adăugat în diferite proporții, cuprinse între 0,5-3%. Pasta preparată s-a întins pe o hîrtie specială în strat de 0,3 mm. Hîrtia conținând filmul s-a introdus într-o etuvă la 180°C unde s-a menținut timp de trei minute.

Evaluarea puterii de colorare s-a făcut prin compararea cu etaloane străine, pentru pigmentii de același culoare, chiar dacă au diferit în compoziție și structură.

2.3.5.-Metode curente de analiză ale proprietăților pigmentilor

Metodele de analiză curent folosite pentru determinarea proprietăților fizice specifice pigmentilor sunt standardizate și descrise în STAS-urile menționate mai jos:

- umiditatea și sustanțele volatile: STAS 7948/3-67;
- pH-ul suspensiei apăase: STAS 7948/8-69;
- densitatea picnometrică: STAS 7948/10-70;
- rezistența la lumină: STAS 5706-73;
- puterea de acoperire: STAS 6105-70;
- indicele de ulei : STAS 7948/5-67.

Caracterizarea fizico-chimică complexă a sortimentelor de pigmenti, utilizăți în scopuri industriale și tehnice diferite, nu este necesară, ea ar presupune analiști specializați și dotare cu echipamente complexă, de care o parte dintre unitățile producătoare și beneficiare ar putea duce lipsă.

Destinația utilizării pigmentilor impune condițiile de calitate ce trebuie îndeplinite, iar în funcție de acestea se optează pentru metodele de analiză cele mai indicate.

CAPITOLUL 3

3.-SINTEZA SI STUDIUL PIGMENTILOR IN SISTEMUL $\text{NiO}-\text{TiO}_2-\text{M}_m\text{O}_n$

In ultimele trei decenii s-au înregistrat preocupări deosebite pentru diversificarea găsească de pigmenți anorganici în scopul îmbogățirii paletelor de nuanțe. Un mare interes s-a manifestat pentru pigmențiile ale căror culori trebuie să reziste la temperaturi înalte și mediul chimic agresiv.

Ca și în alte domenii de cercetare, empirismul a fost înălțurat, în mare măsură, prin studii sistematice cu privire la mecanismul dezvoltării culcării în compusii anorganici la temperaturi ridicate /21, 24, 150/.

Pasii făcuți în chimia corpului solid au permis cercetătorilor, slujindu-se de tehniciile moderne de studiu, să găsească compozitii și să precizeze parametrii optimi pentru sinteza pigmentilor anorganici termorezistenți, folosind ca rețea "gazdă" unul dintre dioxizii: TiO_2 , ZrO_2 , SiO_2 , SnO_2 , iar drept cromofori unul din cationii elementelor tranziționale, mai ales: Ni^{2+} , Co^{2+} , Cr^{3+} , Fe^{3+} , Ce^{4+} , Pr^{4+} , V^{5+} , etc., singuri sau asociati cu alii cationi cromofori sau necromofori: Zn^{2+} , Cd^{2+} , etc., care condiționează în prezența altor cationi de valență diferită, cum sunt: Sb^{5+} , Bi^{5+} , Cr^{6+} , W^{6+} , etc., dezvoltarea nuanțelor: galbene, ocru, roșii, verzi, albastre, etc./52, 53, 72, 73, 151, 152, 153, 154/.

Dintre rețelele cristaline cu rol de "gazdă" cea a rutilului și a silicatului de zirconiu au condus la spectaculoase rezultate.

Pigmenți pe bază de rutil prezintă deosebite avantaje, denne de luat în seama, în comparație cu pigmentii având structura zirconiului și anume:

- sintezele se realizează la temperaturi mai joase, prin faptul că transformarea polimorfă anatas-rutil are loc în jurul temperaturii de 800°C , față de transformarea ZrO_2 monoclinic $\Rightarrow \text{ZrO}_2$ tetragonal, care se realizează la $1150-1200^{\circ}\text{C}$, cind labilitatea rețelei cristaline facilitează interacțiunile chimice, conform efectului Medwall. În plus, atomii de titan au evenimentul flotării valenței între $\text{Ti}^{4+} \Rightarrow \text{Ti}^{3+}$, pe cind ionii Zr^{4+} sunt lipsiți de această flexibilitate. Ca urmare, rețea de rutilică are posibilitatea de a produce o anumită concentrație a vacanțelor în intervalul de temperatură propice formă-

rii pigmentilor;

- pigmentii pe bază de rutil au aria de întrebuingăre mai extinsă decât cei pe bază de silicat de zirconiu. Primii se utilizează preponderent în colorarea emailului, unde cei din urmă nu au dat rezultate satisfăcătoare. În celelalte domenii de aplicare rezultatele sunt comparabile.

Sistemul oxidic $Ni-TiO_2$ permite dezvoltarea nuanțelor: galbenă, galben-verzi, în funcție de raportul reactanților și de condițiile sintezei. Paleta nuanțelor poate fi mult diversificată și proprietățile pigmentare ameliorate prin folosirea adăosurilor de amizi ai elementelor penta și hexavalente, simbolizate în lucrare prin MnO_n , în cantități determinante -u-, în cazul tezei \exists este proporția simbolizată prin -u-, care interacționează specific în compozitii, diferențiind sensibil absorbția luminii, cu efect benific asupra culorii compușilor.

Adăosul de substanțe cu rol fondant particularizează condițiile de sinteză, coborînd temperatura și mărind viteza de reacție cu implicații pozitive asupra caracteristicilor de culoare.

În scopul precizării condițiilor optime de sinteză și implicării acestora în conferirea atributelor maxime ale caracteristicilor de culoare, specifice compușilor oxidici pe bază de $Ni-TiO_2$, s-a cercetat detaliat acest sistem cu și fără adăos de Sb_2O_3 și fondanți (mineralizatori).

Concluziile studiului au se-vit ca premize în elaborarea tehnologiei de bază pentru diversificarea sortimentelor de pigmenti cu proprietăți prestabilite și ca urmare reproductibile, specificindu-se după caz, detaliile de compozitie și caracteristicile de culoare ale pigmentilor și ale celor obținuți din substituenții oxidici ai Ni și cationului adăosului oxidic -M-, precum și parametrii tehnologici ai sintezelor respective.

3.1.-SINTEZA SI STUDIUL PIGMENTILOR IN SISTEMUL $\text{NiO} \cdot \text{TiO}_2 \cdot \text{Sb}_2\text{O}_5$

Sistemul oxidic $\text{NiO} \cdot \text{TiO}_2$ se distinge față de alte sisteme oxidice prin aceea că servește ca bază de plecare pentru o gamă întreagă de pigmenti, preindu-se la substituții și asocieri oxidice care îmbogățesc paleta nuanțelor, acoperind aproximativ întreg spectrul de culori.

Adăosul de 3-10% trioxid de antimoniu compoziției $\text{NiO} \cdot \text{TiO}_2$ nuantă culoarea galbenă, dezvoltată în sistemul de bază, de la galbenătern la galbenă lămioie.

In principal, culoarea galbenă este generată de compusi următoarelor elemente: titanul cu nichel sau fer, vanadiul cu staniu sau zirconiu, cromul cu plumb sau zinc, precum și de ale manganului, cadmiului, antimoniului, bismutului, molibdehului, ceriului, praseodimului și uraniului.

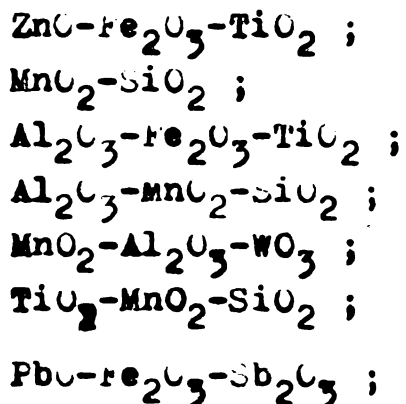
Pigmenți galbeni se pot obține în baza mai multor sisteme.

Henry și Laibl /155/ menționează cinci sisteme care dezvoltă nuante galbene și anume:

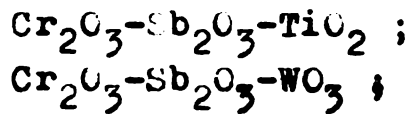
- galbenul de Neapole - pirostibiatul de plumb -;
- galbenul de cadmiu - sulfura de cadmiu -;
- galbenul de staniu-vanadiu;
- galbenul de crom-stibiu-titan;
- galbenul de zirconiu-vanadiu.

Acești compusi se alătură altor pigmenti galbeni cu tradiție industrială /156,157/, printre care cromatiile de: bariu, strontiu și zinc, iar alții, relativ recent cercetați și produși completează grupul pigmentilor galbeni cu nuantele: galbenă fildeș /158,159,160, 161/, galbenă mastic /52,53,160/ și galbenă lămioie /64,65,72,154,160, 161/.

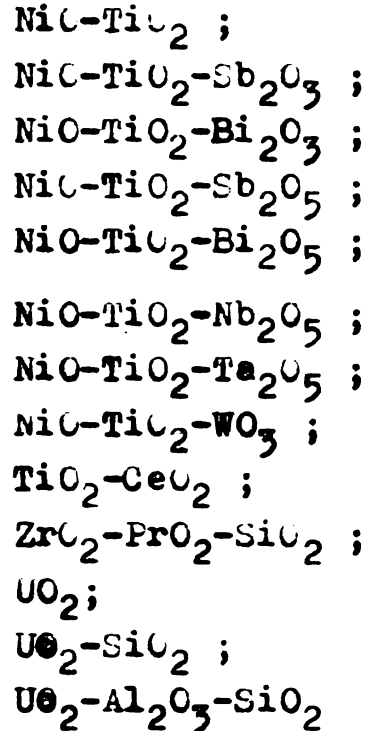
Nuanța galbenă fildeș dezvoltă sistemele oxidice:



Nuanță galbenă mastic generează compozitiile:



Nuanță galbenă lămific dezvoltă sistemele oxidice:



Un studiu critic sumar al compozitiilor care dezvoltă nuanțe galbene reliefiază că pigmentii galbeni pe bază de plumb și cadmiu sunt toxici, cei pe bază de staniu-vanadiu, zirconiu-vanadiu, zirconiu-praseodiu și titan-ceriu sunt mai puțin strălucitori și sunt scumpi, iar pigmentii cu uraniu sunt scumpi și nocivi.

Pigmentii pe bază de titan-nichel devin competitivi chiar cind sunt preparați cu unele adaosuri de oxizi, de altfel în cantități reduse, circa 5%. De subliniat că oxidul de nichel luat în raport de 1 : 4 față de dioxidul de titan conduce la cea mai reușită nuanță galbenă lămific.

Pigmentii pe bază de titan-nichel se situează pe primele locuri în grupa pigmentelor anorganici termorezistenți prin calitate și efecte aplicative. Ei sunt studiați detaliat în acest capitol.

Pentru a preciza contribuția factorilor care participă la sinteza sortimentelor de pigmenti în sistemul oxidic $\text{NiO-TiO}_2-\text{uSb}_2\text{O}_3$, asupra compozиiei fazale, caracteristicilor de culoare și proprietăților pigmentare s-a urmărit influență:

- raportului molar dintre oxidul de nichel și dioxidul de titan, pentru valorile 0,25; 1 și 2;
- proporției trioxidului de antimoni și a naturii adaosului fondant;
- factorilor termici: temperatura de ardere a compozиiei în intervalul de $800-1400^{\circ}\text{C}$ și palierul de ardere între 1 și 4 ore.

3.1.1.-Influența proporției reactanților chimici
asupra caracteristicilor de culoare ale
pigmenților $\text{NiO} \cdot \text{TiO}_2 \cdot \text{uSb}_2\text{O}_5$

In scopul precizării implicației specifice a compozitiei chimice, a proporției dintre reactanții oxidici și a adăosurilor cu rol fondant în sintezele de pigmenți din sistemul $\text{NiO} \cdot \text{TiO}_2 \cdot \text{uSb}_2\text{O}_5$, s-au efectuat studii și cercetări experimentale /72,154,162/, care au permis stabilirea unor limite de compozitie și condiții de preparare pentru a se obține pigmenți cu caracteristici optime de culoare și proprietăți pigmentare superioare, neglijând deliberat gradul de transformare al reactanților în compuși chimici definiți, în scopul conferirii unui potențial maxim de utilitate și valorificare ca . pigmenți.

In toate compozitiile elaborate s-a menținut constant numărul de moli TiO_2 , la valoarea unu, variindu-se numărul de moli NiO la valorile: 0,25; 1 și 2. Pentru fiecare din aceste rapoarte s-a urmărit influența, asupra caracteristicilor de culoare, a lipsei și prezenței ionilor de Sb^{5+} -furnizați în proces de către trioxidul de antimoni, în fază de ardere, -precum și a lipsei ori prezenței mineralizatorului și naturii acestuia /154/.

Aprecierea proporției optime de Sb_2O_3 în condiționarea numărării pigmenților din sistem s-a urmărit în compozitiile $\text{NiO} \cdot \text{TiO}_2$, pentru raportul molar 1 : 1, cu adăos de 3% NaCl. Cantitatea de Sb_2O_3 a variat între 1-10%.

Influența naturii mineralizatorilor asupra caracteristicilor de culoare s-a urmărit prin folosirea clorurilor de: litiu, sodiu și potasiu, precum și a acidului boric. Îi s-au adăugat amestecului de pulberi ale compușilor oxidici totdeauna în aceeași proporție de 3%, sub formă de soluție cu concentrația de 10%, preparată în prealabil.

In tabelele 6 și 7 sunt consignate compozitiile chimice, factorii termici ai pirosintezelor și caracteristicile de culoare ale compușilor oxidici obținuți în sistemele luate în studiu.

Probele au fost elaborate prin respectarea schemei tehnologice ceramice și a unor detalii tehnico-procedurale specifice, cum ar fi:

- tăierea amestecului de pulberi în creuzete;
- răcirea compozitiei arse prin imersie în apă.

Excepție de la fluxul tehnologic obișnuit 1-a constituit

Taboul 6

Caracteristicile de culoare ale pigmentilor din sistemul $\text{NiO} - \text{TiO}_2$, cu și fără adăos de Sb_2O_3 și NaCl , pirosintetizati la 1000°C – palier 3 ore –

Nr. crt	Reactanții chimici			Caracteristicile de culoare													
	TiO_2	NiO	Sb_2O_3	Componentele culorii			Coordonatele tricromatice			λ_d' $/\text{nm}/$	P_c , $/\%$	L	ΔL	Δa	Δb	ΔE	ΔC
noli moli	noli moli	5%	X	Y	Z	x	y	z									
0	1	2	3	4	5	6	7	8	9	10	11	12	13	14	15	16	17
1.	1	0,25	–	–	45,9	50,2	20,2	0,394	0,431	572,4	59,7	70,85	-21,05	-7,46	32,10	39,10	32,95
2.	1	1	–	–	36,0	40,1	16,9	0,387	0,451	570,9	57,9	63,32	-28,58	-8,44	27,91	40,83	29,16
3.	1	2	–	–	32,2	35,4	12,8	0,401	0,440	572,8	64,2	59,50	-32,40	-6,62	28,30	43,53	29,06
4.	1	0,25	–	NaCl	53,2	57,3	28,1	0,384	0,413	572,5	51,2	75,70	-16,20	-6,12	30,39	34,98	31,00
5.	1	1	–	NaCl	40,2	43,6	11,7	0,421	0,456	573,6	74,2	66,03	-25,87	-5,98	35,12	44,03	35,62
6.	1	2	–	NaCl	32,8	35,5	12,1	0,408	0,441	373,7	67,2	59,58	-32,32	-5,11	29,07	43,77	29,52
7.	1	1	1,0	NaCl	38,0	41,1	11,3	0,420	0,455	574,0	76,3	64,11	-27,79	-5,49	33,83	44,12	34,27
8.	1	1	2,5	NaCl	39,4	42,7	12,0	0,419	0,454	573,9	72,0	65,35	-26,55	-5,83	34,26	43,73	34,75
9.	1	1	5,0	NaCl	42,6	46,2	14,6	0,412	0,447	573,6	68,7	67,97	-23,93	-6,18	34,25	42,23	34,80
10.	1	1	7,5	NaCl	41,1	44,6	14,9	0,409	0,443	573,5	66,6	66,78	-25,12	-6,12	32,92	41,86	33,49
11.	1	1	10,0	NaCl	34,7	37,3	10,7	0,420	0,451	574,3	71,5	61,07	-30,83	-4,56	31,77	44,50	32,09
12.	1	1	Σ	NaCl	37,8	43,05	13,65	0,400	0,455	572,82	74,7	65,61	-26,29	-11,09	33,00	43,62	34,81

Rioxidul de antimoniu și-a folosit ca dopant al rutillului prin calcinare la 1000°C .

Tabelul 7

Influența mineralizatorilor asupra caracteristicilor de culoare ale pigmentelor în sistemul $\text{NiO}-\text{TiO}_2-\text{u}$ Sb_2O_5 , pirosintetizati la 1000°C - palier 3 ore-

Nr. crt.	Reactanți			Caracteristicile de culoare												
	g niște molă	g niște molă	Minerale 3:5	Componentele culorii			Coordonatele tricromatice			λ_d , /nm/	P_a , %/	ΔL	Δa	Δb	ΔE	ΔC
				x	y	z	x	y	z							
0	1	2	3	4	5	6	7	8	9	10	11	12	13	14	15	16
1.	1	0,25	-	50,6	55,1	17,4	0,411	0,448	573,4	68,6	74,23	-17,67	-7,33	37,47	42,07	38,18
2.	1	0,25	LIC1	47,3	51,2	14,1	0,420	0,455	574,9	72,6	71,55	-20,35	-6,33	37,81	43,40	38,53
3.	1	0,25	NaCl	56,8	62,4	23,9	0,397	0,436	572,3	62,0	79,00	-12,90	-9,00	36,80	40,00	37,85
4.	1	0,25	KCl	44,2	47,7	12,9	0,422	0,455	574,2	73,0	69,07	-22,83	-5,73	36,68	43,58	37,12
5.	1	0,25	B ₂ O ₃	41,2	44,3	11,7	0,424	0,456	574,4	73,6	66,56	-25,34	-5,09	35,57	43,97	35,93
6.	1	1	-	46,2	50,5	18,6	0,401	0,438	572,8	63,3	71,06	-20,84	-7,42	33,63	40,25	34,44
7.	1	1	LIC1	40,5	43,5	13,7	0,415	0,445	574,2	68,5	65,95	-25,95	-4,91	33,26	42,47	33,62
8.	1	1	NaCl	42,6	46,2	14,6	0,412	0,447	573,6	68,7	67,97	-23,93	-6,18	34,25	42,23	34,80
9.	1	1	KCl	45,8	49,8	17,0	0,407	0,442	573,2	66,6	70,57	-21,33	-6,75	34,52	41,14	35,17
10.	1	1	B ₂ O ₃	44,7	48,8	17,3	0,403	0,440	572,9	65,0	69,86	-22,04	-7,13	33,62	40,83	34,37
11.	1	2	-	35,1	39,1	15,7	0,390	0,435	571,2	60,6	62,53	-29,37	-8,33	28,29	41,62	29,49
12.	1	2	LIC1	30,5	32,8	12,4	0,403	0,433	573,7	62,4	57,27	-34,63	-4,27	26,66	43,91	27,00
13.	1	2	NaCl	34,4	37,1	13,0	0,407	0,439	573,4	66,0	60,91	-30,99	-4,88	29,39	42,99	29,79
14.	1	2	KCl	35,8	39,4	14,9	0,397	0,437	572,3	62,2	62,77	-29,13	-7,14	29,27	41,91	30,13
15.	1	2	B ₂ O ₃	31,6	34,4	11,6	0,407	0,443	573,3	66,7	58,65	-33,25	-5,57	28,73	44,30	29,27

prepararea compozitiei consecutiv la pozitia 12 a tabelului 6, pentru care s-a folosit rutil dopat. Compozitia a fost preparata astfel: s-a dozat in prealabil un mol dioxid de titan -anatas- cu 5% trioxid de antimoni, proportie raportata la compozitia $\text{NiO} : \text{TiO}_2$, pentru raportul molar 1 : 1. S-a omogenizat amestecul prin macinare pe cale umedă, s-a uscat și ars la 1000°C , timp de trei ore, apoi s-a macinat și dozat cu cantitatea corespunzătoare de oxid de nichel și 3% clorură de sodiu. Celelalte operații au fost identice cu cele specifice metodei ceramice, descrise și înainte.

Din valoările caracteristicilor de culoare, consecutive în tabelele 6,7 se desprinde constatarea că reacția dintre componentii sistemului $\text{NiO}-\text{TiO}_2-\text{Sb}_2\text{O}_3$ conduce la dezvoltarea de nuanțe galbene și galben-verzi, precizate prin valorile lungimilor de undă dominantă - λ_d - cuprinse între $570,9-574,9$ nm. Se constată că raportul $\text{NiO}:\text{TiO}_2$ influențează preponderent culoarea.

Saturația culorii - F_c -, luminozitatea -Y-, diferența de energie a culorii - ΔE - și diferența de cromaticitate ΔC , materializate în datele rezultate din calcule, confirmă observațiile vizuale asupra pigmentilor preparați și oferă argumente asupra variației acestor valori în funcție de proporția componentelor principale și adăosurilor.

Compozițiile fără Sb_2O_3 și mineralizator conferă pigmentelor luminozitate mai mare și saturatie mai mică culorii. Aceste compozitii și cele care conțin mineralizator, dar nu și Sb_2O_3 , prezintă unele variații ale caracteristicilor de culoare necorelate cu raportul molar al principaliilor reactanți chizici (tabelul 6, pozitiiile 1-6).

Compozițiile care conțin adăosul oxidic - Sb_2O_3 - și mineralizatorul - NaCl - au în medie conținutul în galben - Δb - mai ridicat (tabelul 7, pozitiiile 3,8,13).

Trioxidul de antimoni influează optim conținutul în galben și verde pentru proporția de 2,5 și 5% (tabelul 6, pozitiiile 8,9).

În cazul folosirii rutilului dopat (tabelul 6, pozitia 12) nuanța galbenă-verde se accentuează ($\Delta a = -11,09$). Acest aspect se poate pune pe seama lipsei de influență a adăosului din sfera a două de coordonări a Ni^{2+} hexacoordonat și oxidării parțiale a Ni^{2+} la Ni^{3+} , care în coordonare octaedrică dezvoltă nuanță verde.

Adăosul de 5% trioxid de antimoni asigură compusilor o nuanță galbenă reușită și luminozitate mai mare față de alte proporții

folosite. De asemenea optimizează proprietățile pigmentare în mare măsură, acestea constituind argumente pentru care s-a considerat adaosul oxidic $M_{m,n}O_n$ de 5% ca optim în toate compozitiile, simbolizându-se prin -u- proporția respectivă.

Mineralizatorii, folosiți în sinteza pigmentelor din sistemul $NiO-TiO_2$, joacă un rol tehnologic și cromatic. Comportamentul tehnologic se materializează prin scăderea temperaturii de sinteză datorită măririi vitezei de reacție, în condițiile izoterme ale procesului de ardere, influențând pozitiv difuzia ionilor și valorificând proprietățile polarizante ale acestora, cu efect de disproportionalare a forțelor de legătură chimică, moment în care cristalul deranjat devine mai reactiv, contribuind astfel la sporirea substituirilor și organizației rețelei cristaline a pigmentului format. O putere mare de polarizare a cationilor presupune și o reactivitate mai mare, acționând drept catalizatori și accelerând reacțiile în stare solidă. Acest lucru este evidențiat în spectrele RX ale compozitiilor respective, după cum se va constata mai departe.

Ionii metalici alcalini cu numere atomice mici: Li^+ , Na^+ , K^+ , măsoarează polarizabilitatea ionilor de oxigen, favorizând ionul cromofor $-Ni^{2+}$ să-și stabilizeze coordonarea octaedrică în cadrul rețelei cristaline nucleate, conferind compusului oxidic format cu loarea galbenă, strălucitoare.

Natura mineralizatorului influențează caracteristicile de culoare ale pigmentelor din sistemul $NiC-TiO_2-uSb_2O_5$ în funcție de intensitatea cimpului cationic al ionilor: Li^+ , Na^+ și K^+ a cărei valoare scade în ordinea prezentată (tabelul 4). Ionul Li^+ având un cimp electrostatic mai intens va avea un efect mai redus asupra polarizabilității oxigenului decât ionul de Na^+ sau K^+ , astfel că ei influențează diferențiat nuanța compozitiilor rezultate din sinteză, în sensul că accentuează efectul hipocratism al nuanței, cind raza cationului halogenurii crește. Compozitiile elaborate cu $LiCl$ conțin mai mult roșu decât cele cu $NaCl$, KCl , pentru raportul molar $NiC:TiO_2$ de 1 : 2 și 2 : 1 (tabelul 7).

Adaosul de acid boric are influență foarte apropiată asupra nuanțării culorii galbene de efectul produs de către clorura de potasiu (tabelul 7).

Compoziția 0,25 $NiO : TiO_2$, cu adaos de 5% Sb_2O_3 , și 3% $NaCl$, arsă la temperatură de $1000^\circ C$, cu palier de 3 ore, dezvoltă o nuanță

galbenă deosebită, avind lungimea de undă 572,3 nm și luminozitatea 78,99 %, iar celelalte atrbute ale culorii sunt optime (tabelul 7, poziția 3).

Natura mineralizatorului se asociază complementar valorii raportului NiO : TiO₂, influențind variația de energie a culorii ΔE și aromaticității ΔC /154/. Diferențe ceva mai mari se înregistrează în seria compușilor în care raportul NiO : TiO₂ este de 0,25 : 1 și 2 : 1, iar mai mici pentru raportul 1 : 1 (tabelul 7).

Clorurile metalelor alcătuite prezintă avantajul că prin ionizare termică ionii Cl⁻ reacționează cu ionii de Fe³⁺, iar clorura ferică se volatilizează la temperatura de sinteză a pigmentului purificând compoziția de urmele de fer care ar influența defavorabil nuantele galben ale pigmentilor prin creșterea conținutului în roșu.

Folosirea clorurii de sodiu ca mineralizator în sinteza pigmentelor NiO·TiO₂· μ Sb₂O₅ este recomandată de considerente calitative și economice. Proportia preconizată este de 3% față de masa oxidică.

3.1.2.-Influența factorilor termici asupra caracteristicilor de culoare ale pigmentilor NiO·TiO₂· μ Sb₂O₅

Determinarea etapelor cheie ale operației de ardere, în scopul stabilirii condițiilor optime de pirosinteză a compozițiilor, s-a făcut prin studiul termogravimetric și termodiferential, prin identificarea proceselor fizico-chimice care au loc în desfășurarea reacției.

Aceste procese au fost puse în evidență prin efectele termice înregistrate pe parcursul încălzirii în intervalul de temperatură 0-1200°C.

In figurile 7-9 sunt prezentate derivatele ramele compozitiei lor de bază ale pigmentelor în sistemul NiO-TiO₂- μ Sb₂O₅.

In figura 7 este înregistrată evoluția procesului termic în limitele compozitiei 0,25 NiO-TiO₂, cu adăos de 5% Sb₂O₃ și 3% NaCl.

In figura 8 sunt marcate efectele termice derulate pe parcursul operației de ardere în compozitie NiO-TiO₂, cu aceleasi adasuri specificate.

In figura 9 este reuat comportamentul termic al compozitiei avind raportul molal NiO:TiO₂ de 2 : 1 și adasurile respective în aceleasi procentaje.

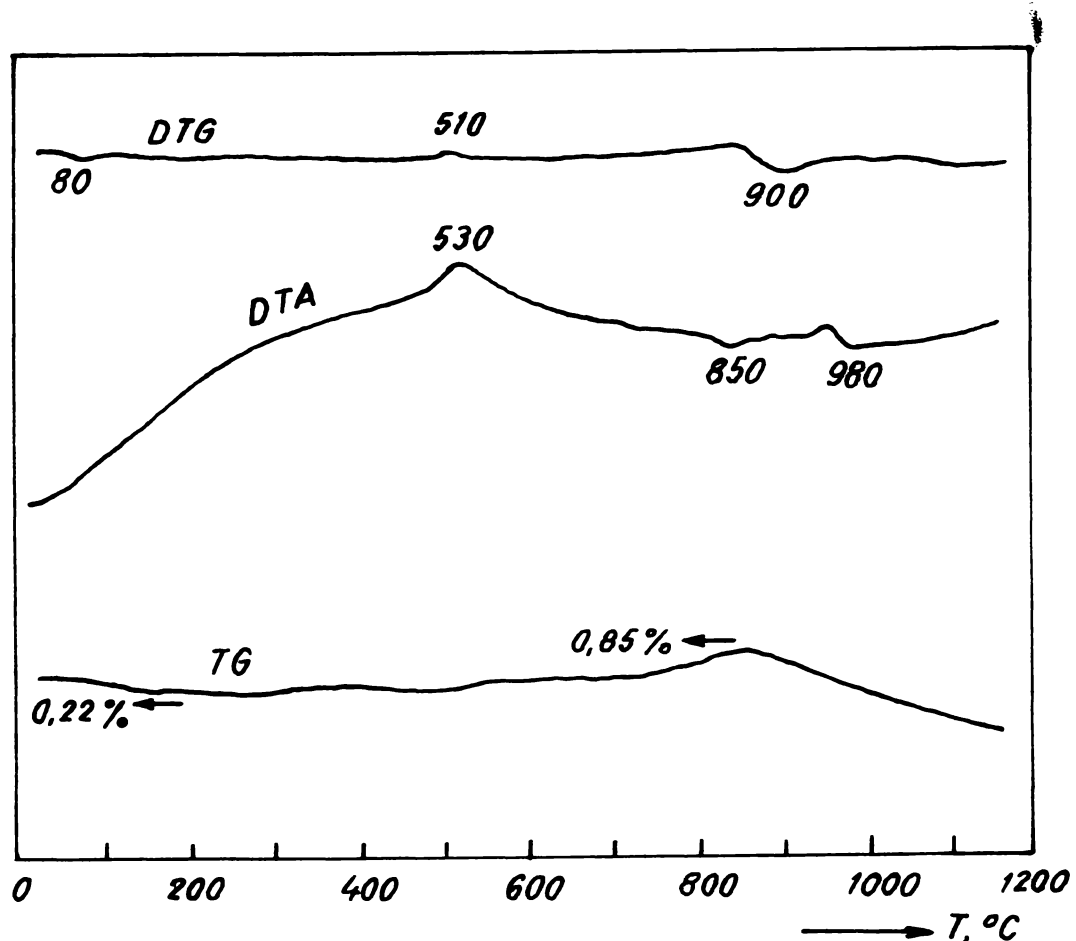


Figura 7.- Derivatograma compozitiei
0,25 NiO-TiO₂-ucb₂C₃

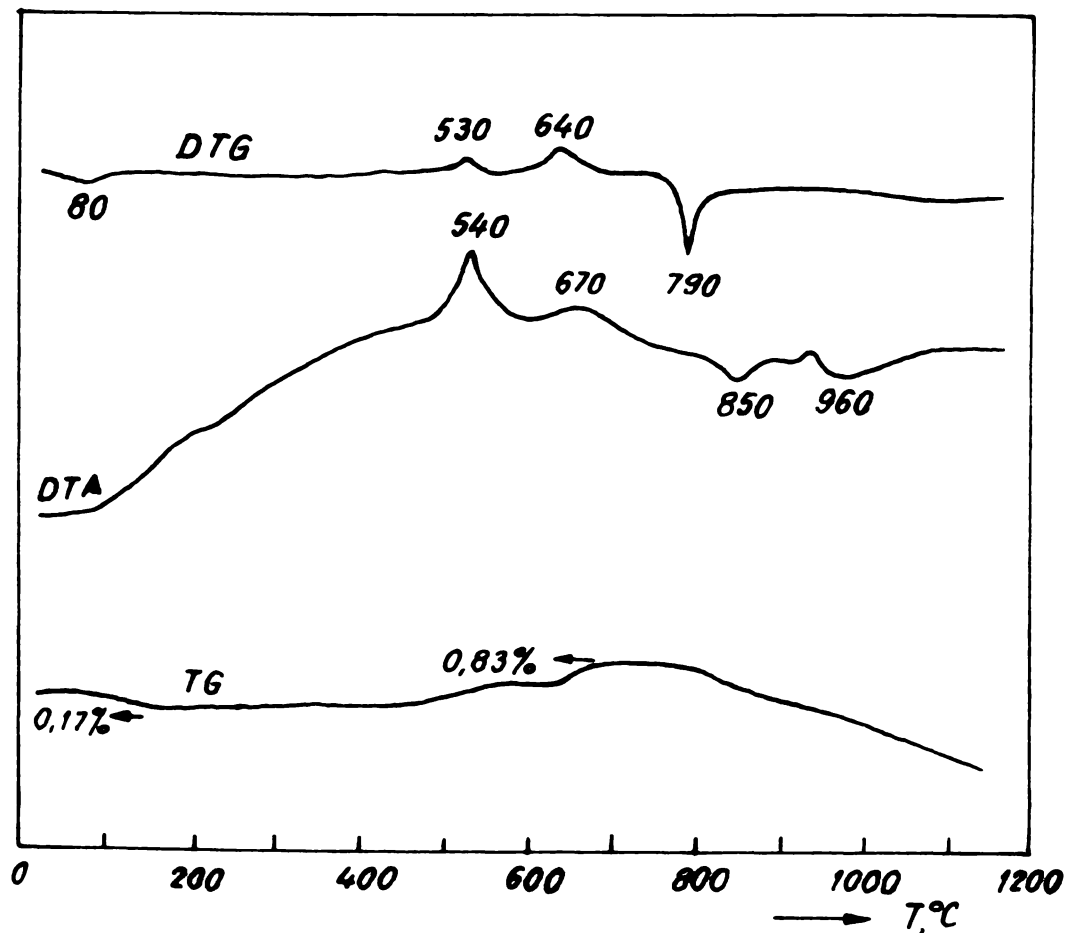


Figura 8.- Derivatograma compozitiei
NiO-TiO₂-ucb₂C₃



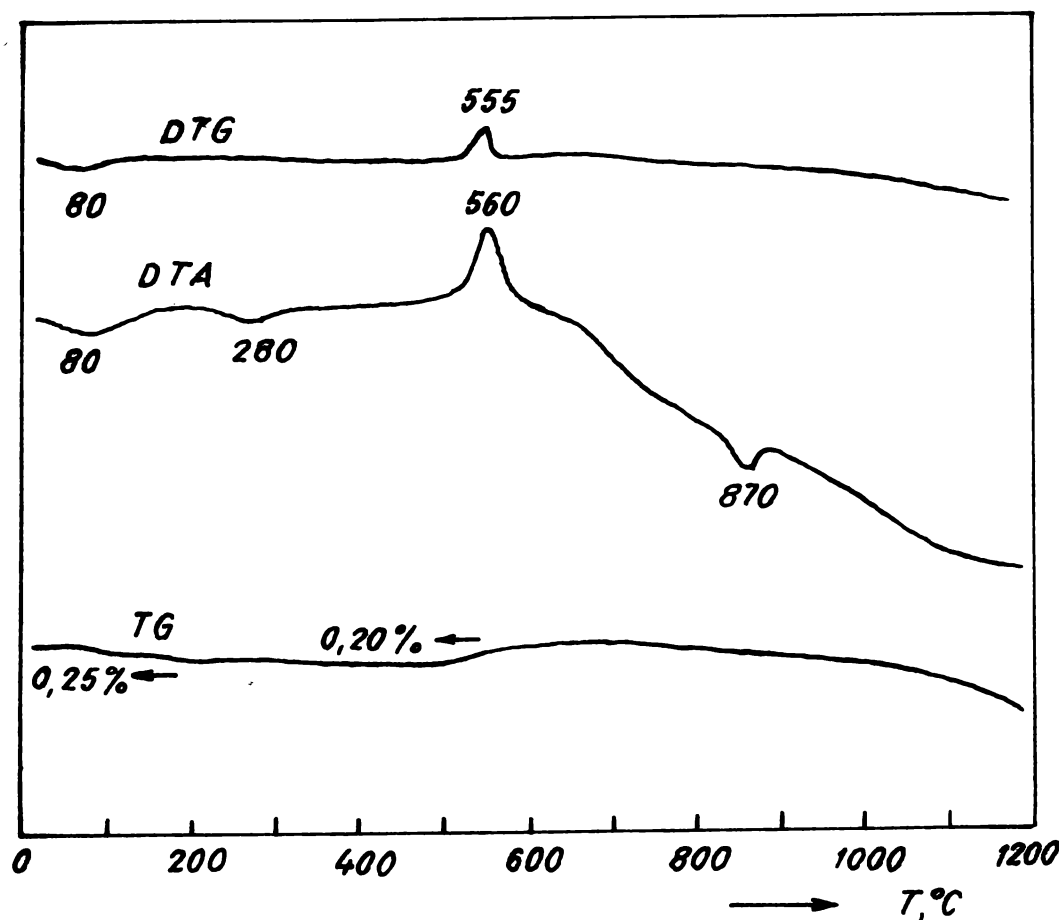


Figura 9.-Derivatograma compozitiei
 $2\text{NiO}-\text{TiO}_2-\text{uSb}_2\text{O}_3$

După cum se poate constata derivatogramele acestor compozitii ilustrează efecte termice asemănătoare, localizate în intervale de timp și limite de temperatură nesemnificativ diferențiate. Acest fapt permite aprecierea că transformările fizico-chimice, care se petrec în timpul arderii, sunt aproape identice pentru primele două compozitii și parțial diferite pentru a treia.

Pe curbele DTA ale celor trei derivatograme apare, la temperatură de 80°C , un efect endoterm, corespunzător pierderii umidității din amestecul pulberilor, înregistrat pe curbele DTG și TG ca pierderi ponderale între 0,17 și 0,25%. Un efect exoterm este marcat în tușătate cele trei derivatograme la temperaturi de 530 , 540 , respectiv 560°C , însățit de o creștere în greutate, care corespunde oxidării trioxidului de antimoni la tetra și pentoxid de antimoni. Derivatograma din figura 9 evidențiază cele două etape de oxidare prin al doilea pic exoterm de la 670°C , iar curbele DTG și TG ilustrează fenomenul marind creșterea de greutate.

Curba DTA marchează, în jurul temperaturii de 850 și 960°C ,

două efecte endotermice care sunt generate de disocierea termică a mineralizatorului, migrarea cationilor în masa compozitiei și de interacțiunea reactanților în stare solidă. Difuziaionică și modificarea coordinării ionilor în momentul nucleerii structurii pigmentului angajează consum mai mare de căldură decât energia de cristalizare a noilor faze formate, iar rezultanta suprapunerii fenomenelor este marcată prin efecte endotermice.

Transformarea polimorfă a anatasului în rutil, în jurul temperaturii de 800°C , facilitează difuzia ionilor și interacțiunea lor, conducând la formarea și separarea fazelor: oxidul mixt - $\text{NiO} \cdot \text{TiO}_2$ -, rutilul - TiO_2 - și - NiO - /52,161/ în funcție de raportul reactanților. Domeniul lor de omogenitate este condiționat de acest raport.

În intervalul termic discutat se constată nici pierderi în greutate, înregistrate pe curba TG, ceea ce ar putea ilustra volatilizarea clorurii ferice și formarea de suboxizi ai titanului, în urma tranzițiilor continue între $\text{TiO}_{1,95}$ și $\text{TiO}_{1,35}$ /75/.

Între $1000-1200^{\circ}\text{C}$ nu sunt marcate efecte termice deosebite, ceea ce semnifică faptul că nu mai au loc transformări fizico-chimice în masa compozitiei, iar structura pigmentului este formată și stabilă.

Temperatura și durata de ardere a compozitiilor sususe prin termosinteză au influență importantă prin rolul determinant asupra formării compugilor oxidici, precizării caracteristicilor de culoare la valori optime și aprecierea termorezistenței pigmentelor, elemente care fac din condiția complexității pigmentelor o calitate distinctă.

Pentru estimarea efectului termic asupra caracteristicilor de culoare ale pigmentelor rezultări din termosinteză s-au supus arderea cele trei serii de compozitii în care raportul principalilor reactanți $\text{NiO} : \text{TiO}_2$ a fost de: 0,25; 1 și 2, adăosul oxidic - Sb_2O_3 - de 5%, iar a clorurii de sodiu 3%.

Sintezela s-a executat la temperaturi din 500 în 500°C , în intervalul termic de $500-1300^{\circ}\text{C}$ și la 1400°C , tăcăte cu palier de trei ore /162,163/.

În tabelele 8-10 sunt prezentate valorile caracteristicilor de culoare ale pigmentelor în funcție de compozitie chimică și temperatura de sinteză, respectiv pentru:

- raportul $\text{NiO} : \text{TiO}_2$ de 0,25 : 1, tabelul 8;
- raportul $\text{NiO} : \text{TiO}_2$ de 1 : 1, tabelul 9;
- raportul $\text{NiO} : \text{TiO}_2$ de 2 : 1, tabelul 10.

Tabelul 8

Caracteristicile de culoare ale pigmentilor in sistemul $\text{NiO}-\text{TiO}_2-\text{u Sb}_2\text{O}_5$ pressin-totizati la diferite temperaturi - patier 3 ore-

Nr. ord. e	Reactantii chimici moli	Temp. de ardere °C	Caracteristicile de culoare										$\Delta \alpha$	$\Delta \beta$	$\Delta \gamma$
			Componentele culorii			Coordonatele tricromatice			P ₉₀ , %						
			1	2	3	4	5	6	7	8	9	10	11	12	13
1.	1	0,25	5	800	55,2	60,6	28,1	0,384	0,421	571,5	56,3	77,85	-14,05	-8,76	32,50
2.	1	0,25	5	850	55,4	60,9	27,2	0,386	0,424	571,6	55,4	78,04	-13,86	-8,95	33,37
3.	1	0,25	5	900	56,7	62,3	24,6	0,395	0,434	572,2	60,6	78,53	-12,97	-9,00	36,18
4.	1	0,25	5	950	55,6	61,0	20,8	0,405	0,444	573,9	61,5	78,10	-13,80	-8,71	38,29
5.	1	0,25	5	1000	56,8	62,4	23,9	0,397	0,436	572,3	62,0	79,00	-12,90	-9,00	36,80
6.	1	0,25	5	1050	47,3	51,2	14,1	0,420	0,455	574,0	72,6	71,55	-20,35	-6,33	37,81
7.	1	0,25	5	1100	44,2	47,7	12,9	0,422	0,455	574,2	73,0	69,07	-22,83	-5,73	36,68
8.	1	0,25	5	1150	41,2	44,3	11,7	0,424	0,456	574,4	73,6	66,56	-25,34	-5,09	35,57
9.	1	0,25	5	1200	41,5	44,6	12,3	0,421	0,454	574,1	72,6	66,78	-25,12	-5,58	35,23
10.	1	0,25	5	1250	40,2	43,2	12,1	0,421	0,452	574,3	72,3	65,73	-26,17	-4,95	24,50
11.	1	0,25	5	1300	35,2	37,6	11,0	0,420	0,449	574,6	70,8	61,32	-30,58	-5,94	31,69
12.	1	0,25	5	1400	42,5	45,1	12,9	0,423	0,435	576,3	69,9	67,16	-24,74	-5,66	35,02

Tabelul 9
Caracteristicile de culoare ale pigmentilor din sistemul $\text{NiO-TiO}_2-\text{u Sb}_2\text{O}_5$
piro sintetizati la diferite temperaturi - palier 3 ore-

Nr. crt.	TiO_2	NiO	Sb_2O_5	Temp. de ardere °C	Caracteristicile de culoare													
					Componentele culoarei				Coordonatelor tricromatice				λ^{d^*} nm				ρ_{c}^* %	
					1	2	3	4	5	6	7	8	9	10	11	12	13	
1.	1	1	5	800	49,2	53,9	20,1	0,399	0,438	572,6	62,1	73,42	-18,48	-7,96	34,56	40,00	35,47	
2.	1	1	5	850	42,4	46,0	14,9	0,410	0,445	573,5	68,0	67,82	-24,08	-6,20	33,86	42,00	34,42	
3.	1	1	5	900	39,9	43,2	12,9	0,416	0,450	573,6	71,3	65,73	-26,17	-5,76	33,78	43,12	34,26	
4.	1	1	5	950	37,4	40,3	11,2	0,424	0,453	574,6	73,4	63,48	-28,42	-5,03	33,58	44,15	33,76	
5.	1	1	5	1000	42,6	46,2	14,6	0,412	0,447	573,6	68,7	68,00	-23,90	-6,20	34,30	42,20	34,80	
6.	1	1	5	1050	35,6	37,9	10,7	0,423	0,450	574,8	71,9	61,56	-30,34	-3,62	32,19	44,38	32,40	
7.	1	1	5	1100	25,7	26,9	7,0	0,431	0,451	575,8	74,0	51,87	-40,03	-1,42	27,71	48,71	27,74	
8.	1	1	5	1150	26,7	27,9	7,9	0,427	0,446	575,8	71,8	52,82	-39,08	-1,31	27,51	47,81	27,54	
9.	1	1	5	1200	25,7	26,7	8,1	0,425	0,441	576,0	69,9	51,67	-40,23	-0,75	26,28	48,06	26,29	
10.	1	1	5	1250	23,3	24,1	7,2	0,427	0,441	576,2	70,5	49,09	-42,81	-0,29	25,07	49,61	25,07	
11.	1	1	5	1300	21,0	21,8	7,7	0,416	0,432	575,9	64,8	46,69	-45,21	0,53	22,31	50,42	22,31	
12.	1	1	5	1400	29,2	29,8	9,9	0,424	0,433	577,8	72,8	54,59	-37,31	0,85	26,86	45,98	26,88	

Tabelul 1e
Caracteristicile de culeare ale pigmentilor din sistemul NiO-TiO₂-u Sb₂O₃, pirosină
totisăți la diferențe temperaturi - palier 3 ore-

Nr.	Reacții chimice			Temp. de ardere °C	Caracteristicile de culeare												
	TiO ₂ moli	NiO moli	Sb ₂ O ₃ g		Coordonatele colorii	X	Y	Z	ΔL	Δa	Δb	ΔE	Δc				
0	1	2	3	4	5	6	7	8	9	10	11	12	13	14	15	16	17
1.	1	2	5	800	33,0	36,2	12,4	0,444	572,8	65,9	60,17	-31,73	-6,49	29,30	43,68	30,01	
2.	1	2	5	850	28,8	31,5	11,4	0,402	64,7	56,12	-35,78	-5,72	26,65	44,98	27,26		
3.	1	2	5	900	36,6	39,9	14,3	0,403	64,4	63,17	-28,73	-6,22	30,20	42,15	30,83		
4.	1	2	5	950	29,6	32,0	10,3	0,412	67,8	56,57	-35,33	-4,69	28,21	45,45	28,59		
5.	1	2	5	1000	34,4	37,1	13,0	0,407	66,0	60,90	-31,00	-4,90	29,40	43,00	29,80		
6.	1	2	5	1050	33,0	35,5	11,7	0,412	67,5	59,58	-32,32	-4,51	29,47	43,97	29,80		
7.	1	2	5	1100	27,6	29,4	9,6	0,411	574,0	67,3	54,22	-37,68	-3,15	26,86	46,38	27,04	
8.	1	2	5	1150	27,2	29,1	10,0	0,410	65,8	53,94	-37,96	-3,50	26,17	46,24	26,41		
9.	1	2	5	1200	24,2	25,5	8,8	0,414	575,1	65,4	50,50	-41,40	-1,93	24,42	48,11	24,50	
10.	1	2	5	1250	18,0	18,8	6,4	0,417	66,1	43,36	-48,54	-0,88	21,00	52,90	21,02		
11.	1	2	5	1300	18,3	19,2	7,5	0,407	575,1	61,0	43,82	-48,05	-1,25	19,93	52,06	19,97	
12.	1	2	5	1400	19,9	20,6	8,1	0,410	577,1	67,7	45,39	-46,51	0,27	20,58	50,87	20,60	

Din cele trei tabele se desprinde constatarea că în intervalul de temperatură $800\text{-}1400^{\circ}\text{C}$ caracteristicile de culoare prezintă particularități condiționate de raportul principalilor reactanți.

Nuanțele galbene se situează pe o diferență de 7,3 nm la lungimii de undă, între limitele 570,5-577,8 nm. Conținutul în galben și verde al compusilor fi diferențiază chiar în cadrul aceluiași raport molar. Cel mai ridicat conținut în galben prezintindu-l pigmentii în care raportul $\text{NiO} : \text{TiO}_2$ este 0,25 : 1, sintetizati la temperaturile de $950\text{-}1050^{\circ}\text{C}$ (tabelul 8, pozițiile 4-6). El se distinge și prin luminozitatea cea mai ridicată de 62,4% (tabelul 8, poziția 5), de altfel, în majoritatea cazurilor se remarcă un ușor efect batocrom cu creșterea temperaturii și a raportului $\text{Ni} : \text{TiO}_2$. Se exceptează compozitiile arse la 1000°C , în care conținutul în galben este, în general, cel mai ridicat, marcând și un efect hipsocrom, ceea ce denotă condiții de desfășurare optimă a mecanismului complex de sinteză, cu implicații maxime asupra proprietăților optice ale compusilor oxidici rezultați.

Puritatea colorimetrică $-P_c$ crește, pînă la o limită, cu creșterea temperaturii. Variația acesteia este condiționată și de raportul $\text{NiO} : \text{TiO}_2$.

Saturația culorii este maximă în compozitiile arse la: 1150°C , pentru raportul 0,25 : 1 (tabelul 8, poziția 8); 1100°C pentru raportul 1 : 1 (tabelul 9, poziția 7) și la 950°C , pentru raportul 2 : 1 (tabelul 10, poziția 4).

Luminozitatea $-Y$ - a pigmentelor crește cu micșorarea raportului molar $\text{NiO} : \text{TiO}_2$ și scade, în general, cu creșterea temperaturii. Luminozitatea maximă de 62,4% a fost înregistrată pentru compozitia în care raportul $\text{NiO} : \text{TiO}_2$ s-a cifrat la 0,25 : 1, iar pirosinteza a avut loc la 1000°C , (tabelul 8, pozitia 5). Ori, se cunoaște faptul că, independent de nuanță, cu cît un pigment reflectă mai multă lumină cu atât culoarea lui este mai vie. Considerent ce deosebește calitativ pigmentii prin efectul optic produs.

Energia culorii $-\Delta E$ - fiind o mărime cumulativă, în care intră diferențele de luminozitate, de conținut în galben și verde, nu reprezintă un criteriu de diferențiere calitativă distinctivă a culorii.

Diferența de cromaticitate $-\Delta C$ -, în scimb, reflectă fidel conținutul cromatic al compozitiilor de pigmenti. Valorile cele mai mari ale acestui indicator sunt înregistrate pentru compozitiile cu raportul molar $\text{NiO} : \text{TiO}_2$ de 0,25 : 1, arse în intervalul $950\text{-}1050^{\circ}\text{C}$,

respectiv: 39,27; 37,85 și 38,33 (tabelul 8, pozițiile 4-6).

Diferența de cromaticitate scade cu creșterea raportului molar dintre principalii reactanți și cu mici excepții cînd crește temperatura, pentru proporțiile 1 : 1 și 2 : 1, (tabelele 9,1c). În cazul raportului NiO : TiO₂ de 0,25 : 1, diferența de cromaticitate a pigmentelor crește în intervalul termic 800-950°C, apoi scade.

Un comportament aparte îl au compozitiile arse la 1400°C, care sunt cele mai închise la culoare, indiferent de raportul reactanților. Diferența de nuanță este doar de 1,5 nm, lungimea de undă dominantă avînd valorile de 576,3; 577,8 și 577,1 nm (tabelele 8-1e, pozițiile 12), ceea ce marchează o ridicată termorezistență al acestor pigmenti. Celelalte atrăbute ale culorii: luminositate, puritatea colorimetrică, conținutul în galben și roșu au valori mai ridicate decît compozitiile arse la 1300°C, excepție făcînd doar puritatea colorimetrică a pigmentului, în care raportul reactanților NiO : TiO₂ este de 0,25 : 1.

Compușii oxidici care conțin roșu (Δ a pozitiv) sunt obținuți din compozitiile în care NiO : TiO₂ au raportul molar 1 : 1, pirosintetizate la 1300 și 1400°C (tabelul 9, pozițiile 11-12), respectiv 2 : 1, compoziție arsă la 1400°C, (tabelul 10, poziția 12).

Excepțiile semnalizate pentru compușii oxidici obținuți la temperatura de 1400°C pot avea mai multe cauze. Dintre acestea importante pare a fi accentuarea efectului de nestochiometrie a TiO₂ și prin volatilizarea, în mică măsură, a oxizilor de antimoni și nichel, mărindu-se numărul vacanțelor și pricinuind intensificarea absorbției luminii în domeniul lungimilor de undă lungă. Se știe că o vacanță este locul unei asimetrii, iar asimetria într-un cristal este cauza unei absorbții intense.

Cu creșterea conținutului de NiO în compozitii se obțin compuși care se caracterizează prin o scădere a coeficientului integral de absorbție și maximului de reflexie al luminii în domeniul galben al spectrului, crescînd absorbția în domeniul culorii roșii, ceea ce are drept consecință o anume intensificare a nuantei galben-verzui și scăderea puritatii culorii.

Din analiza termică s-au obținut date care permit concluzia că la temperatura de 1000°C se obțin compuși oxidici cu caracteristici optime de culoare.

Pigmentul cu atrăbutele de culoare galbenă cele mai armonizate este cel în care raportul maselor oxidice NiO : TiO₂ este de

0,25 : 1, cu adăuguri de 5% Sb_2O_3 și 3% NaCl, obținuți la temperatură de $1000^{\circ}C$, cu palier de trei ore (tabelul 8, poziția 5). El întrunește maximum de proprietăți pigmentare și echipă de a fi produs în condiții economice mai avantajoase.

In scopul stabilirii duratei optime a palierului de ardere la care se realizează pirosintele, pentru asigurarea caracteristicilor culorii galbene la valori maxime, s-au elaborat compozitiile menționate în tabelul 11.

Raportul reactanților oxidici principali NiC : TiO_2 s-a luate la aceleasi valori de : 0,25; 1 și 2, cu adăug de 5% trioxid de antimoni și 3% clorură de sodiu.

Temperatura de ardere în toate cazurile a fost de $1000^{\circ}C$.

Palierul de ardere a compozitiilor a fost urmărit între una și patru ore.

Din tabelul 11 se constată că timpul de ardere și intervalul precunizat, asigură dezvoltarea nuanțelor galbene pentru toate compozitiile. Aceste nuante ale pigmentelor scoperiți dovezând lungimile de undă dominată între 570,5 și 574,3 nm.

In general, se observă un ușor efect balancer al culorii cu creșterea duratei de ardere și al raportului dintre reactanți.

Conținutul maxim în galben caracterizează pigmentul obținut prin arderea, timp de 4 ore, a compozitiei cu raportul dintre NiC și TiO_2 de 0,25 : 1 (poziția 4).

Valoare maximă are, ca asemenea, diferența totală de cromaticitate ($\Delta C=59,3\mu$), pentru aceleasi compozitie.

Puritatea colorimetrică a pigmentelor crește cu durata palierului crește. Valoarea maximă a saturăției culorii o prezintă pigmentul obținut din raportul molar 1 : 1 al reactanților NiC : TiO_2 , cu palierul de ardere 4 ore (poziția 8).

Luminositatea pigmentelor, în limitele raportelor molare NiC : TiO_2 de 1 : 1 și 2 : 1, este maximă pentru palierul de 5 ore, iar în cazul raportului molar c,25 : 1 pentru palierul de 4 ore.

Diferența de energie a culorii compozitilor oxidici preparați crește cu durata palierului de ardere.

Diferența de cromaticitate totală a culorii pigmentelor, în general, crește cu creșterea timpului de ardere, acea mai mare caracterizând pigmentul obținut prin arderea la palierul de 4 ore a compozitiei cu raportul molar NiC : TiO_2 de 0,25 : 1.

Tabelul 11

Caracteristicile de culegere ale pigmentelor din sistemul $\text{NiO}-\text{TiO}_2-\text{Sb}_2\text{O}_3$ pirosintetizat la 1000°C la timp de ardere diferită

Nr. ord.	Reacțantii ghimbiș molt moli		Tip de ardere ore	Caracteristicile de culegere													
	TiO_2	NiO		Sb_2O_3	Componentele culorii	Coordonatele tricromatice	λ_{d}^* /nm/	P_c %/	L	ΔL	Δa	Δb	ΔE	ΔC			
1.	1	2	3	4	5	6	7	8	9	10	11	12	13	14	15	16	17
1.	0,25	0,25	0,25	0,25	0,25	0,25	0,25	0,25	0,25	0,25	0,25	0,25	0,25	0,25	0,25	0,25	0,25
2.	1	1	1	1	1	1	1	1	1	1	1	1	1	1	1	1	1
3.	1	1	1	1	1	1	1	1	1	1	1	1	1	1	1	1	1
4.	1	1	1	1	1	1	1	1	1	1	1	1	1	1	1	1	1
5.	1	1	1	1	1	1	1	1	1	1	1	1	1	1	1	1	1
6.	1	1	1	1	1	1	1	1	1	1	1	1	1	1	1	1	1
7.	1	1	1	1	1	1	1	1	1	1	1	1	1	1	1	1	1
8.	1	1	1	1	1	1	1	1	1	1	1	1	1	1	1	1	1
9.	1	1	1	1	1	1	1	1	1	1	1	1	1	1	1	1	1
10.	1	1	1	1	1	1	1	1	1	1	1	1	1	1	1	1	1
11.	1	1	1	1	1	1	1	1	1	1	1	1	1	1	1	1	1
12.	1	1	1	1	1	1	1	1	1	1	1	1	1	1	1	1	1

Valorile coordonatelor tricromatice ale pigmentilor pirosintetizați în sistemul $\text{NiO} \cdot \text{TiO}_2 \cdot \text{uSb}_2\text{O}_5$ în care raportul molar dintre NiO și TiO_2 este de 0,25; 1 și 2, în condițiile consimilate în tabelele 8-11, permit delimitarea spațiului -g- în domeniul nuanțelor galbene din triunghiul culorilor al diagramei cromaticității C.I.E., figura 10.

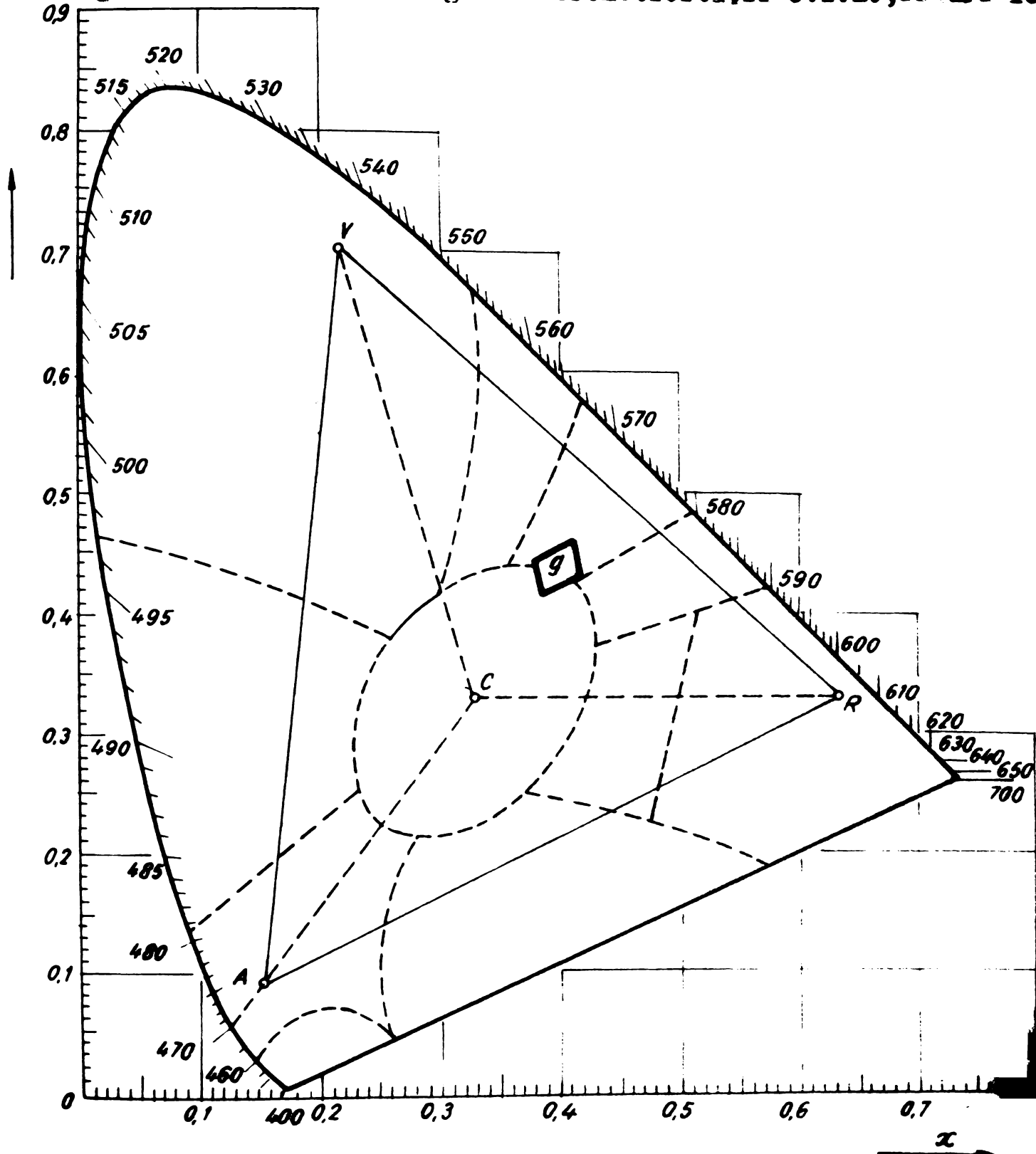


Figura 10.-Distribuția nuanțelor galbene ale pigmentelor $\text{NiO} \cdot \text{TiO}_2 \cdot \text{uSb}_2\text{O}_5$ - spațiul g - în diagramea cromaticității C.I.E.

Localizarea restrinsă în domeniul culorii galbene a repartiției nuanțelor și a saturăției, caracteristice seriei pigmentelor preparați în condițiile de sinteză menționate, atestă specificitatea

acestor pigmenti gi cîștinctia lor prin termorezistența ridicată, marcată prin variații nici ale valorilor și ariilor coloristice respective, într-un domeniu termic extins între $800-1400^{\circ}\text{C}$, iar în condiții izoterme (1000°C) la durata de 1-4 ore.

Studîul de colorimetrie tricromatică al pigmentilor obținuți prin pirosinteză amestecului intîm al pulberilor de oxid de nichel, dioxid de titan și trioxid de antimoni, cu adăos de diferenți mineralizatori, în intervalul de temperatură $800-1400^{\circ}\text{C}$, cu paliere de 1-4 ore, a permis precizarea caracteristicilor de culoare în funcție de proporția reactanților oxidici, de felul mineralizatorului și de factorii termici ai sintezelor.

Aprecierea cantitativă a diferențelor de nuanțe, la zecimi de nanometrii, a luminozității, saturăției, conținutului în galben, diferenței de energie a culorii și a diferenței totale de cromaticitate la sutimi de unități Judd, a condus la stabilirea compoziției și parametrilor optimi de sinteză în cadrul sistemului oxidic studiat.

Proprietăți optice superioare, rezultat al armonizării tuturor atributelor de culoare, prezintă pigmentul obținut din compozitia $\text{NiO} : \text{TiC}_2$ cu raportul molar de $0,25 : 1$, adăos de 5% Sb_2O_3 și 3% NaCl , supusă arderei la temperaturile de: 950 , 1000 și 1050°C , cu palier de 3 ore (tabelul 8, pozițiile 4, 5 și 6).

Nuanța albenuș vie, cu conținut în verde ceva mai ridicat și cu luminozitatea mai mare a pigmentului 5 din tabelul 8, au constituit argumentele pentru a considera temperatura de 1000°C și palierul de ardere 3 ore ca factori termici optimi ai sintezelor.

3.1.3.- Studiul structurii pigmentilor în sistemul $\text{NiO} \cdot \text{TiO}_2 \cdot \text{NaSb}_2\text{O}_5$

Studiul compozitiei de fază, identificarea structurii cristaline și stabilirea unor particularități morfostруктурale ale pigmentilor obținuți prin interacțiunea oxizilor de titan, nichel și antimoni, în condiții de sinteză, s-a efectuat prin următoarele tehnici instrumentale: RX, IR, microscopie electronică și microsondă electronică. Prezentă deosebit interes acest studiu complex datorită folosirii compugilor respectivi ca pigmenti în diferite ramuri ale tehnicii.

Metodele folosite se completează prin detaliile structurale

specifice, caracterizând prin valoarea lor acești compuși oxidici.

3.1.3.1.-Studiul roentgenostructural

Scopul studiului roentgenografic al pigmentilor rezultați din sintezele elaborate în anumite condiții experimentale este de a stabili diagramele de fază pentru compușii respectivi, care în conjuncție cu caracteristicile de culoare ale acestora să permită posibilitatea stabilirii condițiilor optime de sinteză în limite cît mai restrinse ale sistemului NiO-TiO₂, vizând efecte tehnologice maxime pentru destinația acestora.

S-au executat spectrele RX ale pigmentilor preparați în sistemul oxidic preconizat, în lipsa și în prezența diferiților mineralizatori, în lipsă și prezența adăosului de Sb₂O₃, pentru compușii oxidici rezultați la temperaturi de loco și 1400°C din compozиtii în care s-a variat raportul molar dintre NiO și TiO₂ la valorile: 0,25; 1 și 2.

In figura 11 sunt prezentate liniile de difracție din spectrul RX ale pigmentilor în sistemul NiO.TiO₂.^xSb₂O₅, fără și cu adăos din mineralizatorii: LiCl, NaCl și KCl, pirosintetizați la 1000°C, palier 3 ore. Din figură se desprinde că în aceleasi condiții termice de sinteză, compozиtiiile: 2-4, preparate cu adăos de mineralizatori, conduc la formarea oxidului mixt NiO.TiO₂, în timp ce compozиtia -1- preparată fără mineralizator nu a condus la un produs chimic definit, ci prezintă un amestec policristelin cu compozиtia de fază: NiO.TiO₂/164/; TiO₂- rutil-/165/ și NiO/165/, în care preponderentă este faza NiO.TiO₂.

Intensitatea relativă a liniilor de difracție, mai pronunțată, și prezi. tă compusul preparat cu clorura de sodiu -3-, iar cea mai redusă compozиtia fără mineralizator -1-. Toate aceste constatări probează practic considerațiile făcute asupra rolului adăosului de cloruri alcaline compozиtiiilor oxidice, efect optim pentru clorura de sodiu, privind mărirea vitezei de reacție, scăderea temperaturii de sinteză și creșterea gradului de cristalinitate a particulelor de pigment.

Datele furnizate de determinările roentgenostructurale asupra compozиtiiilor preparate din variația raportului oxidic NiO: TiO₂, fără și cu adăos de Sb₂O₃, la temperaturile de loco și 1400°C, cu palier de trei ore, permit aprecieri asupra gradului de transfor-

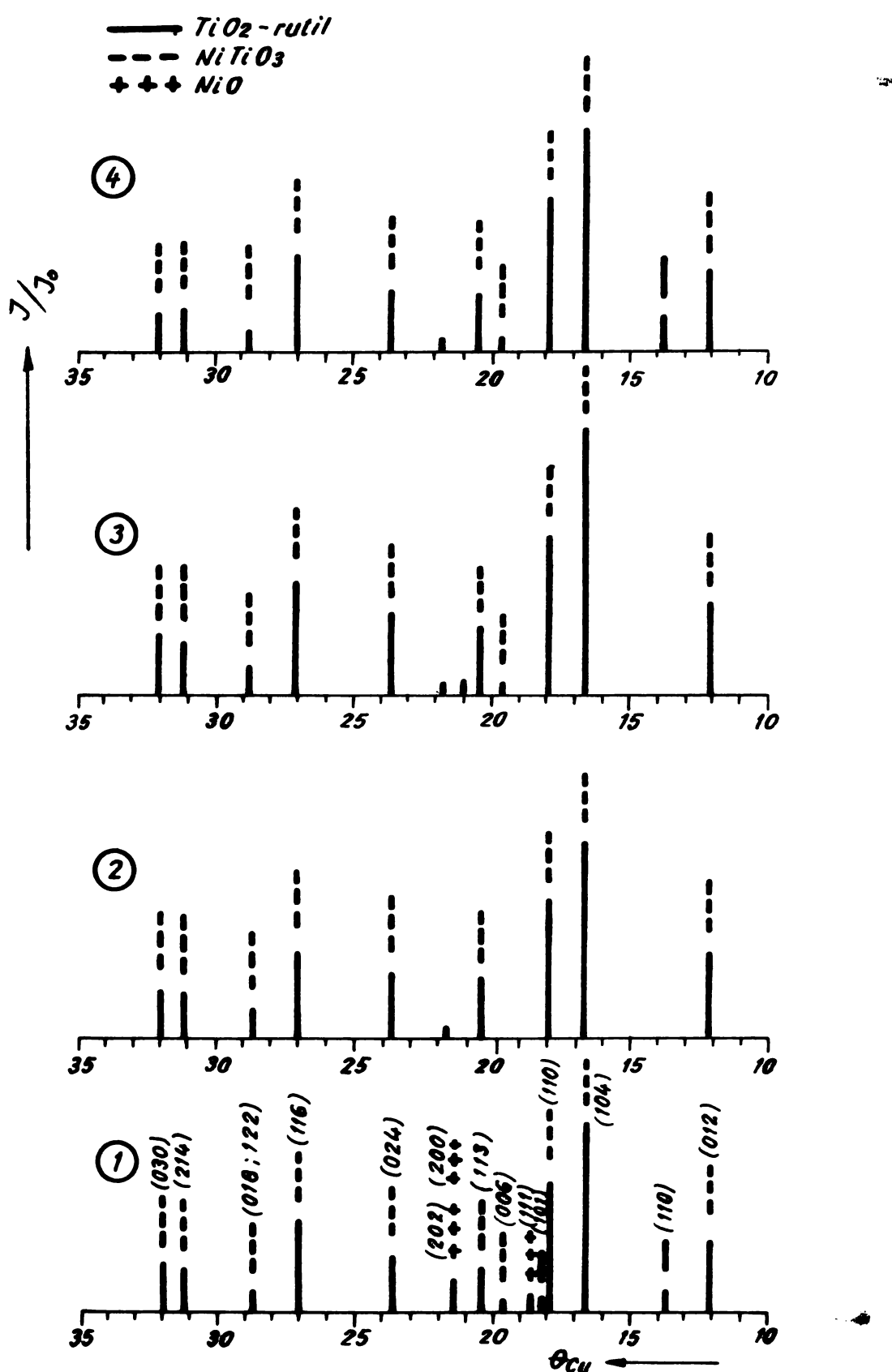


Figura 11.-Liniiile de difracție ale pigmentilor din sistemul $Ni\cdot TiC_2 \cdot Nb_2O_5$, pirosintetizați la $1000^{\circ}C$ - 3 ore, fără și cu mineralizator:

1.fără mineralizator; 3.clorură de sodiu;

2.clorură de litiu; 4.clorură de potasiu.

mare și a compoziției de fază a compușilor colorați, rezultați din sinteze.

Spectrele RX ale acestor sortimente de pigmenti sunt prezente în figurile 12-15 și 16-24.

În figurile 12-13 sunt redate spectrele RX ale pigmentilor obținuți din arderea compoziției 0,25 NiO-TiO₂ la 1000°C, respectiv 1400°C, cu palier de trei ore.

În figurile 14-15 sunt prezentate spectrele RX ale pigmentilor rezultați din arderea compoziției 0,25 NiO-TiO₂-Sb₂O₃ la temperatura de 1000°C, respectiv 1400°C, cu palier de 3 ore.

Din analiza celor patru spectre RX reiese că toate marchează aceeași compoziție de fază, în care preponderentă este TiO₂, forma alotropă rutil și compusul oxidic NiO.TiO₂.

Compozițiile preparate cu adăos de 5% Sb₂O₃, arse la 1000 și 1400°C nu prezintă spectre RX diferențiate calitativ de cele preparate fără adăos de trioxid de antimoni, decât prin gradul de cristalinitate al pigmentilor.

Spectrele RX ale compozitiilor arse la 1000°C, figurile 12 și 14, prezintă linii de difracție aproximativ identice, reflectând o mai bună cristalinitate a compușilor oxidici rezultați din compozitiile cu adăos de Sb₂O₃. Aprecierea este valabilă pentru aceleasi compozitii arse la 1400°C, figurile 13 și 15, care în schimb au intensitatea relativă a liniilor de difracție mai mică pentru aceeași indici (h,k,l), datorită agregării cristalelor parțial sinterizate la această temperatură.

Cristalinitatea mai bună a compușilor preparați cu trioxid de antimoni își are explicație în faptul că adăosul de Sb₂O₃ are rol de activator al reacției de formare a pigmentului, asociindu-se singoniei cristaline a nouui compus, cu atribut de compensator de sarcină în distribuția cationică a rețelei formate, fără să-i modifice structura.

Raportul molar 0,25 : 1 al oxizilor NiO : TiO₂, respectat în compozitiile preparate, generează un amestec oxidic policristalin de culoare galbenă, cu nuanțe galene-lămăie, condiționate de adăosul Sb₂O₃ și de temperatura sintezei. Această nuanță este rezultatul suprapunerii radiatiilor din domeniul galben și galben-verde al spectrului.

Compușii obținuți fără adăos de Sb₂O₃ au nuanțe galene mai pale, pentru aceleași temperaturi de sinteză, aspecte care se

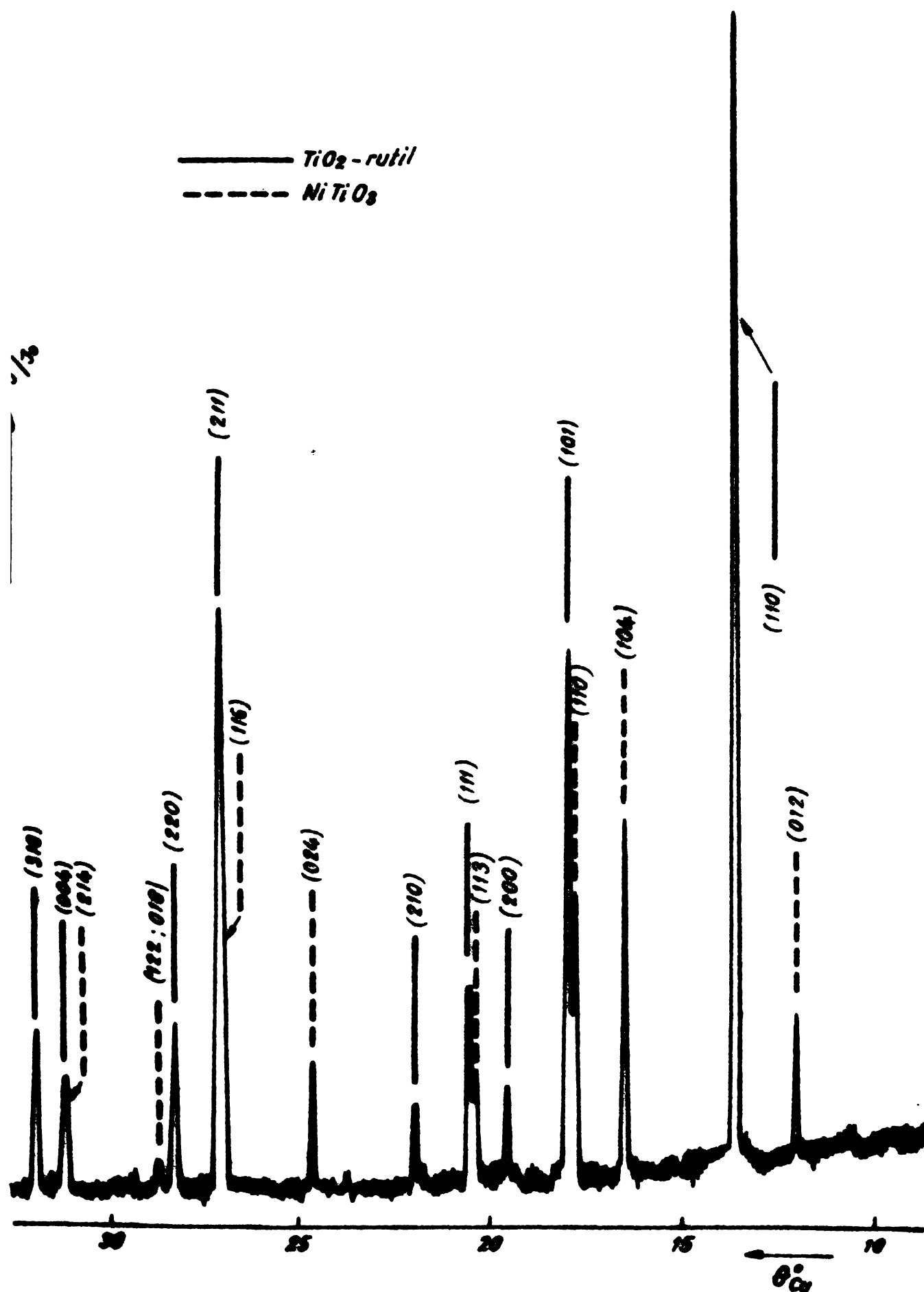


Figura 12.-Spectrul x al pigmeiului $0,25$ mic. TiO_2 piroascat la $1000^\circ C$, palier 3 ore.

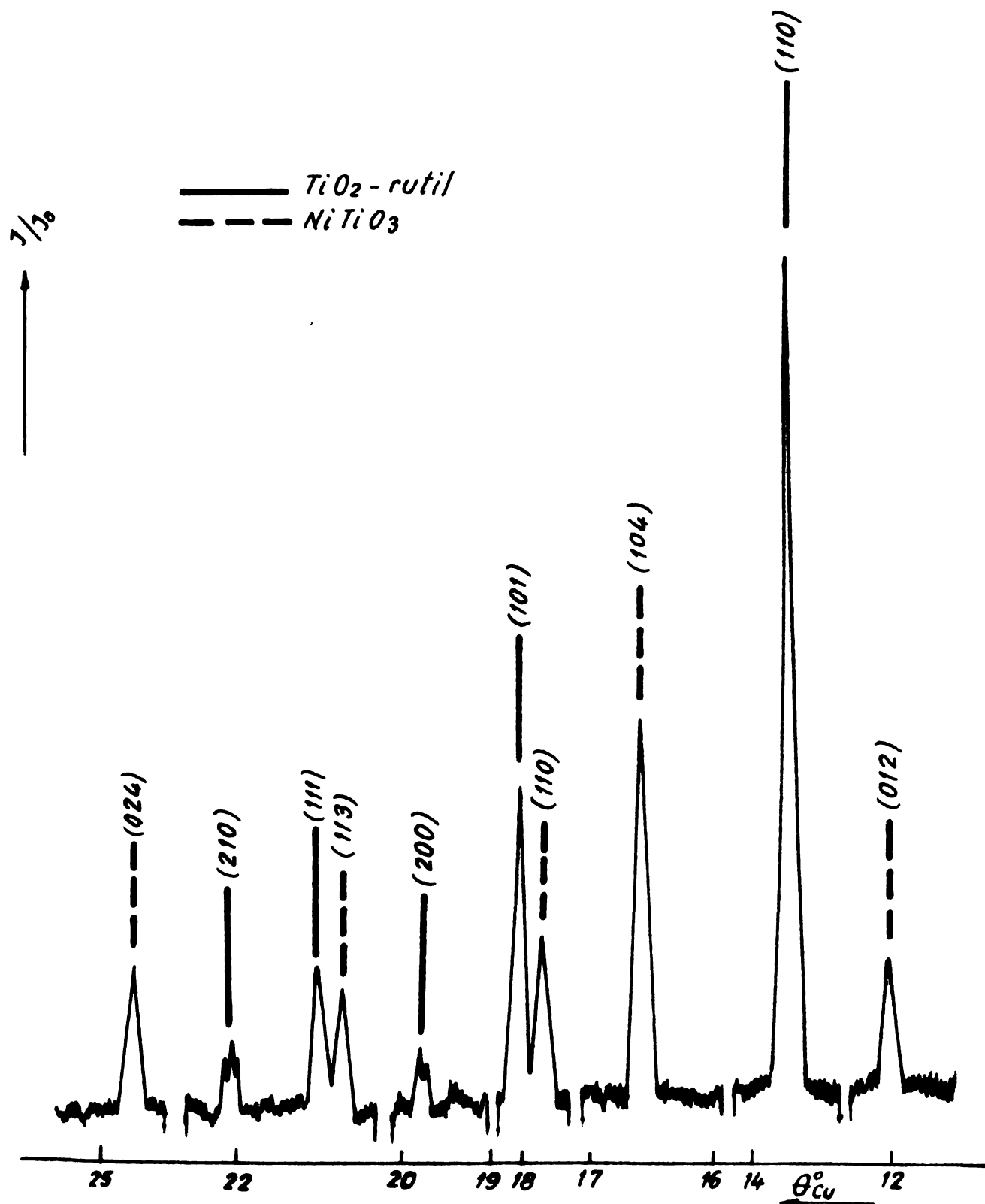


Figura 13.-spectrul RX al pigmentului $0,25\text{ NiO}\cdot\text{TiO}_2$ pirosintetizat la 1400°C , palier 3 ore.



Figura 14.- Spectrul RX al pigmentului $0,25 \text{ Ni} \cdot \text{TiO}_2 \cdot \text{u} \text{Nb}_2\text{O}_5$ pirosintetizat la 1000°C , palier 3 ore.

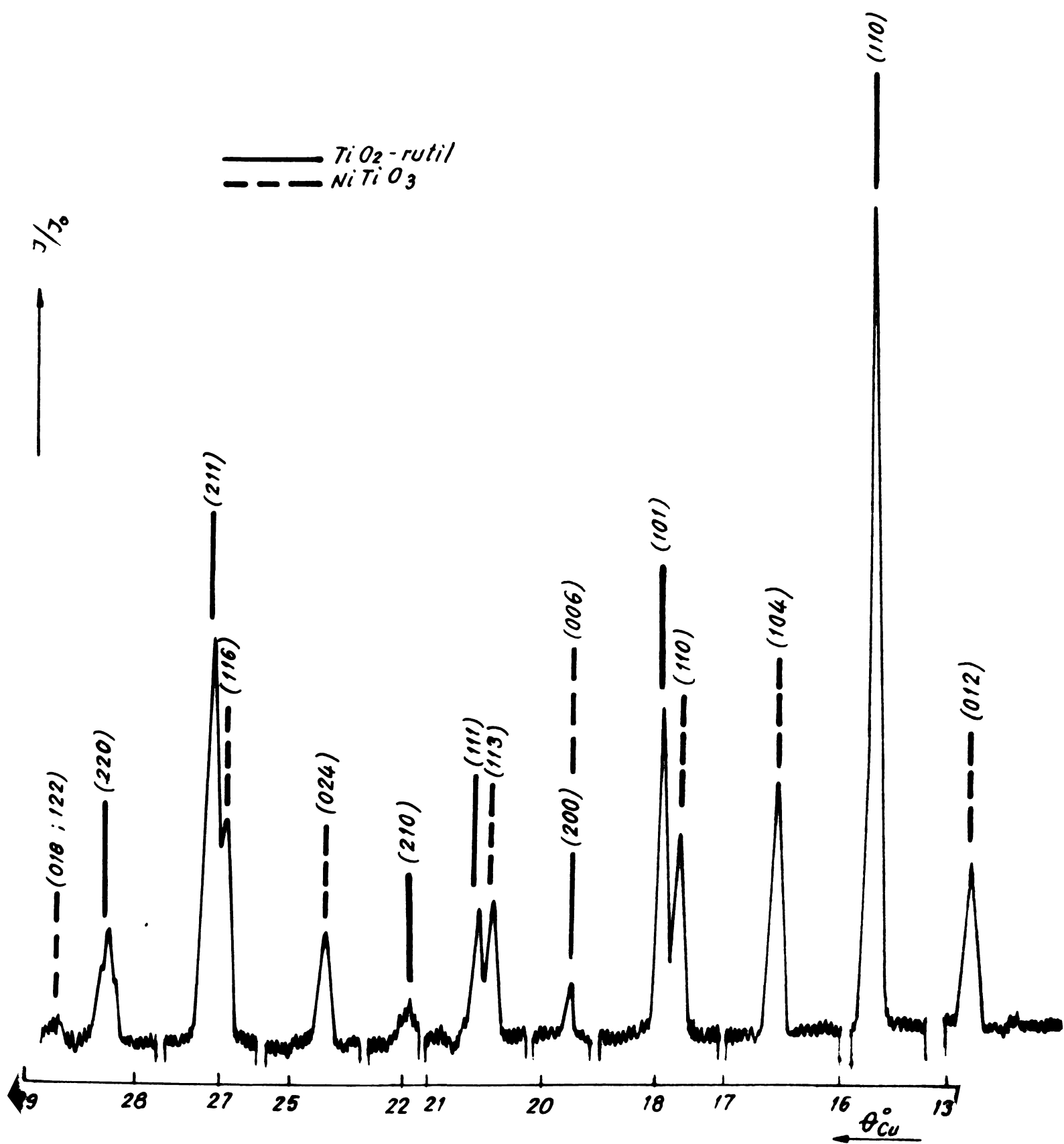


Figura 15.-Spectrul RX al fragmentului 0,25 g TiO_2 - $NiTiO_3$ piro sintetizat la $1400^{\circ}C$, palier 3 ore.

desprind din valorile trecute în tabelul 6, poziția 4 și tabelul 8, pozitiiile 5 și 12.

Spectrele de difracție ale pigmentilor preparați pornind de la raportul echimolecular al oxizilor NiO : TiO₂, cu și fără adăos de Sb₂O₃, în prezența clorurii de sodiu ca mineralizator, sunt prezentate în figurile 16-20.

Compozițiile în care raportul molar al oxizilor NiO și TiO₂ este 1 : 1, în condiții optime de sinteză, ar trebui să conducă la formarea compusului oxidic NiO.TiO₂ în exclusivitate, atât în cazul compozitilor cu adăos de Sb₂O₃, cât și fără adăos. Acest lucru este valabil pentru compozitia NiO-TiO₂-Sb₂O₃, preparată la 1000°C, cu palier de trei ore, figura 19 și pentru ambele compozitii pirosintetizate la temperatură de 1400°C, cu același palier, figurile 17 și 20.

Liniile de difracție ale oxidului mixt NiO.TiO₂, obținut la 1400°C, sunt de intensitate mai redusă și în număr mai restrins, față de ale aceluiași compus obținut la 1000°C. Explicația poate fi pusă pe seama absenței unor ioni din planurile reticulare. La temperatură de 1400°C nestoechiometria compozitiei este mai pregnantă. Se cunoaște că lipsa unor ioni dintr-un plan reticular anulează contribuția razelor X la difuzie. La aceasta se asociază și agregarea cristalelor.

Oxidul mixt NiO.TiO₂, rezultat din sinteze prezintă reflexe caracteristice metatitenetului de nichel -NiTiO₃-, cu structura ilmenitei. Celula elementară a acestui compus este romboedrică.

Compozitia NiO.TiO₂, fără adăos de Sb₂O₃, însă la temperatură de 1000°C, timp de 3 ore, nu asigură obținerea unui compus definit. Pe lîngă oxidul mixt NiO.TiO₂ majoritar, apare în cantitate redusă rutil nereacționat, pus în evidență de liniile radiatiilor difracțiate pe planele reticulare: (110); (111); (211).

Pigmentul al cărui spectru RX este ilustrat în figura 18 a fost preparat folosind în loc de TiO₂ -anatas-, forma alotropă de rutil, dopat în prealabil cu Sb₂O₃, în proporție de 5%, cu respectarea raportului NiO:TiO₂ și arderea compozitiei la aceeași temperatură și palier de 3 ore. În acest caz compozitia de fază cuprinde: oxidul mixt NiO.TiO₂; în cantitate preponderentă și oxiziile nereacționate: TiO₂-rutil-, marcat prin liniile radiatiilor difracțiate pe planele reticulare: (110); (101) și (211) și NiO prin liniile corespunzătoare radiatiilor difracțiate pe planele reticulare: (111); (200) și (220).

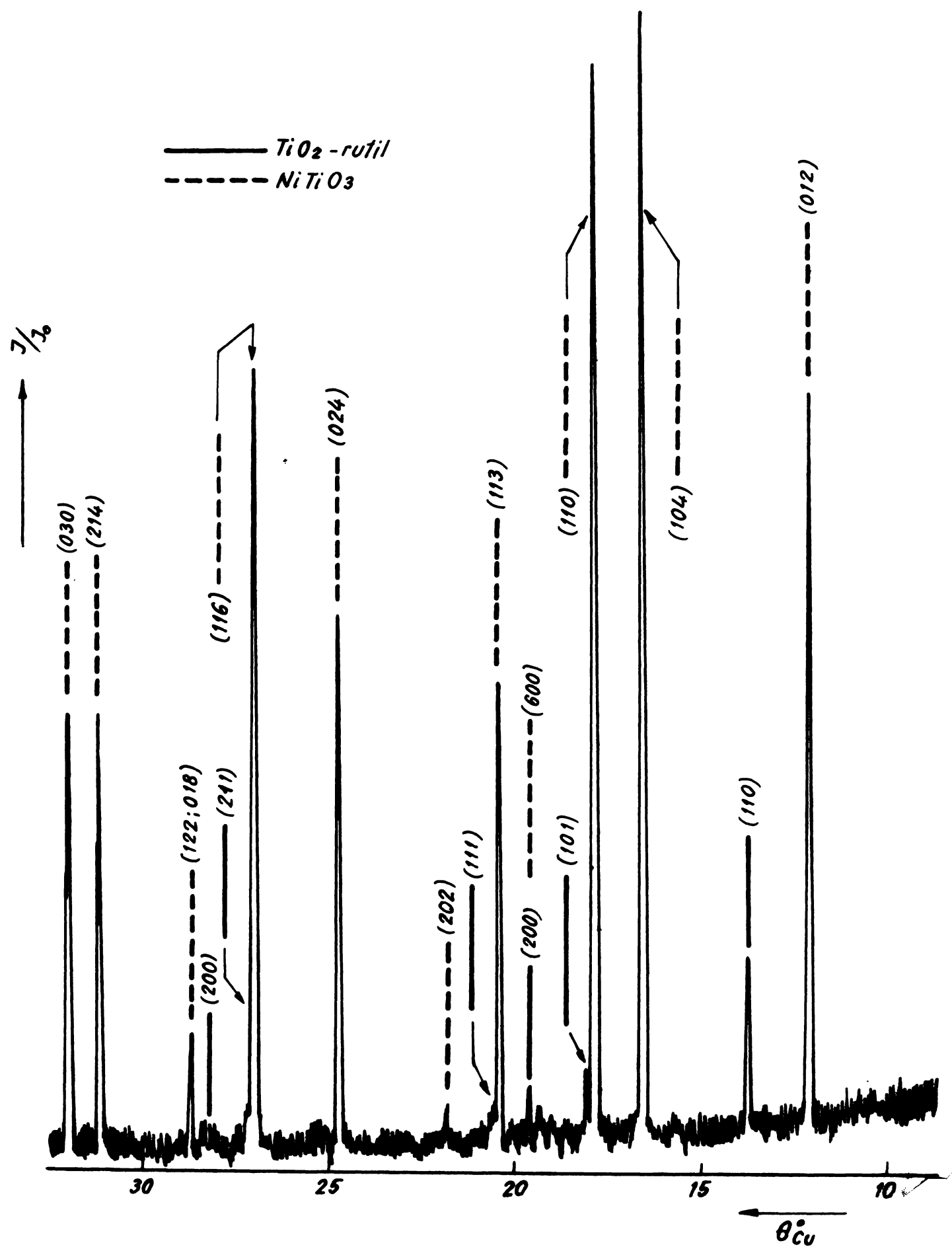


Figura 16.-Spectrul RX al pigmentului $\text{NiO} \cdot \text{TiO}_2$ piro-sintetizat la 1000°C , palier 3 ore.

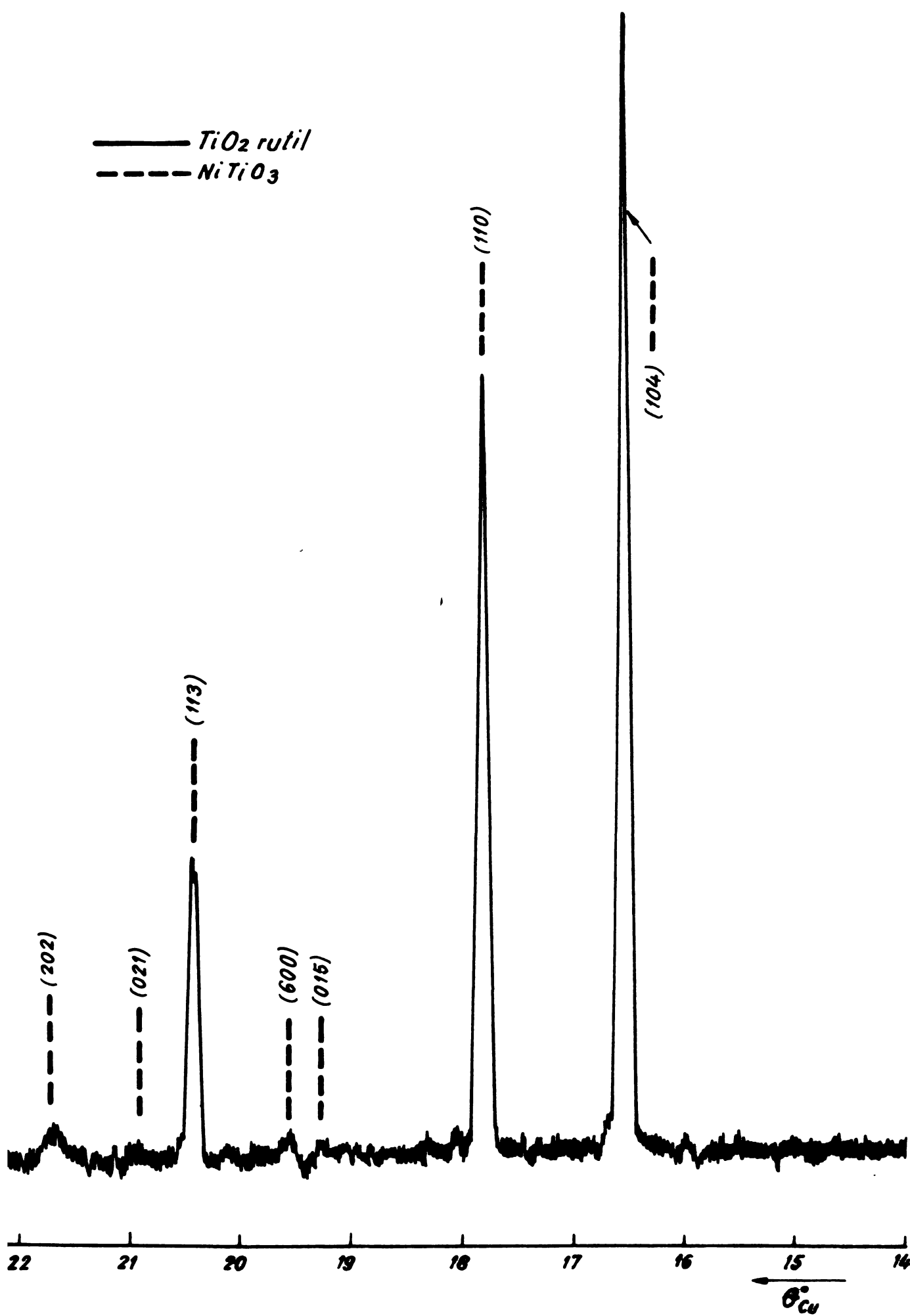


Figura 17.- Spectrul RX al pigmentului $Ni_0.TiO_2$ piro sintetizat la $1400^{\circ}C$, palier 3 ore.

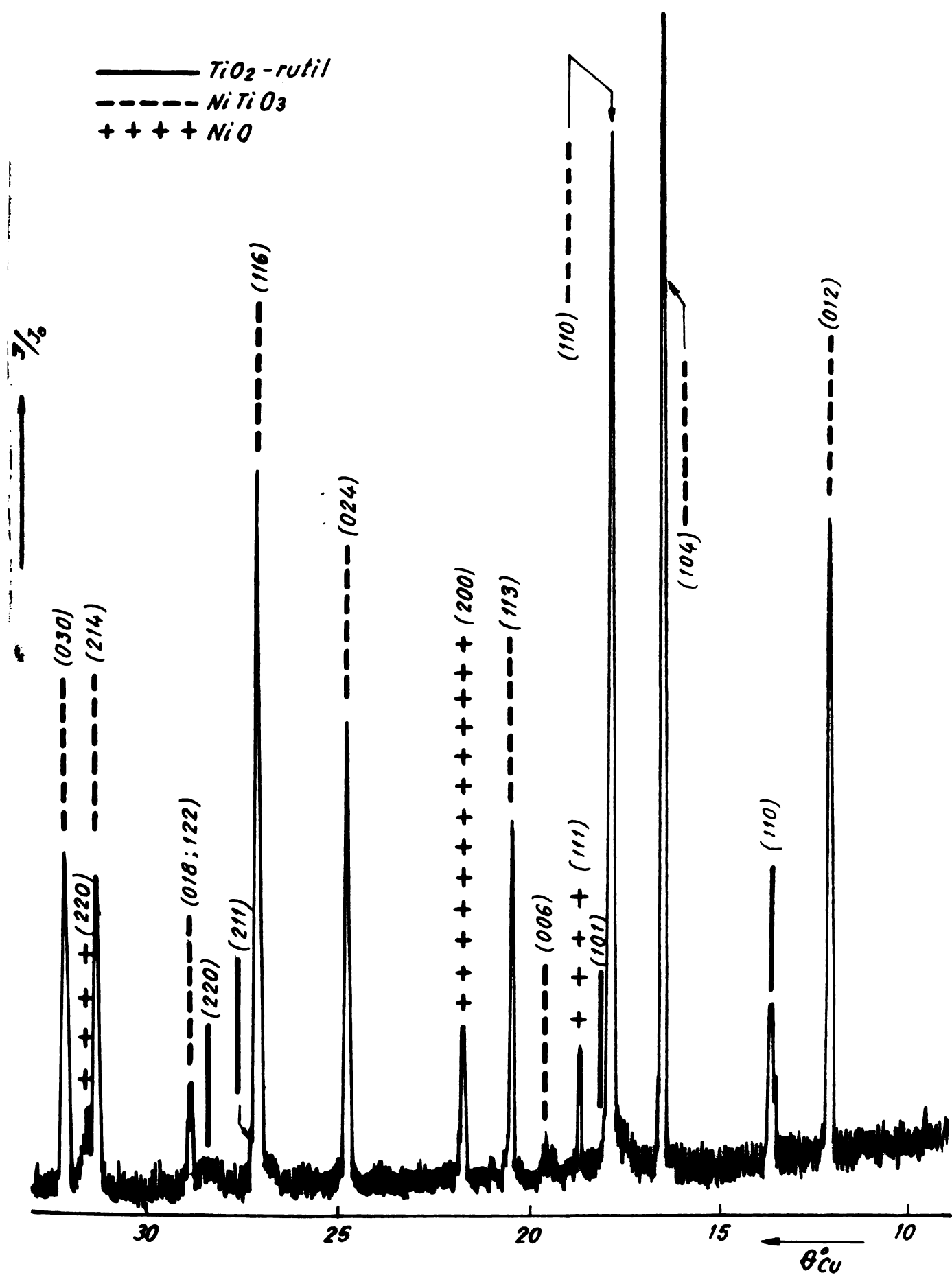
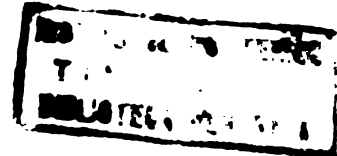


Figura 10.-Spectrul RX al pigmentului $NiO \cdot TiO_2$
preparat din rutil dopat cu Sb_2O_3
si pirosintetizat la locu^oC, delier
3 ore.



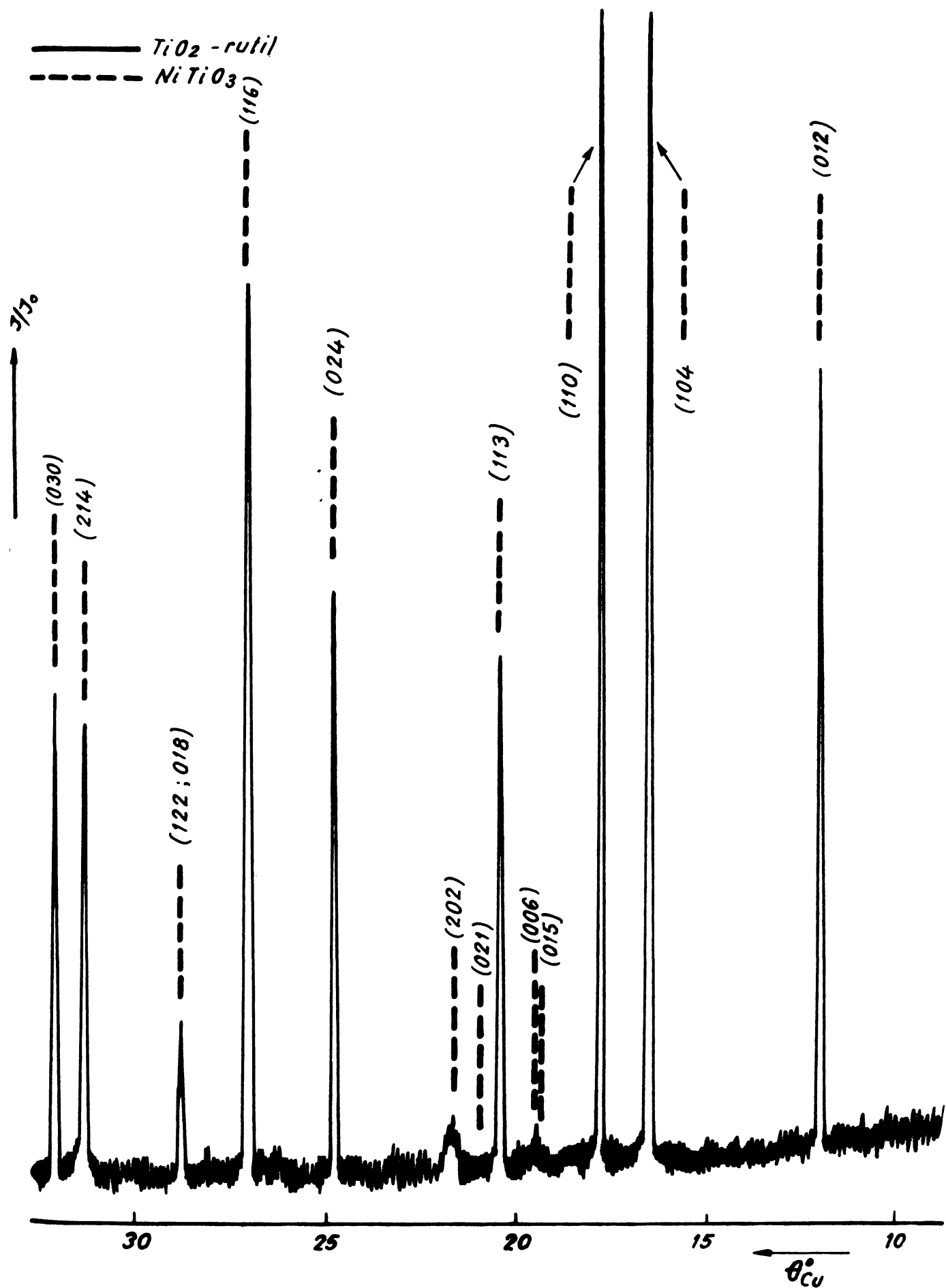


Figura 19.-Spectrul RX al pigmentului $TiO_2 \cdot n TiC_2 \cdot b_2 O_5$ pirosintetizat la $1000^{\circ}C$, pe fier 3 ore.

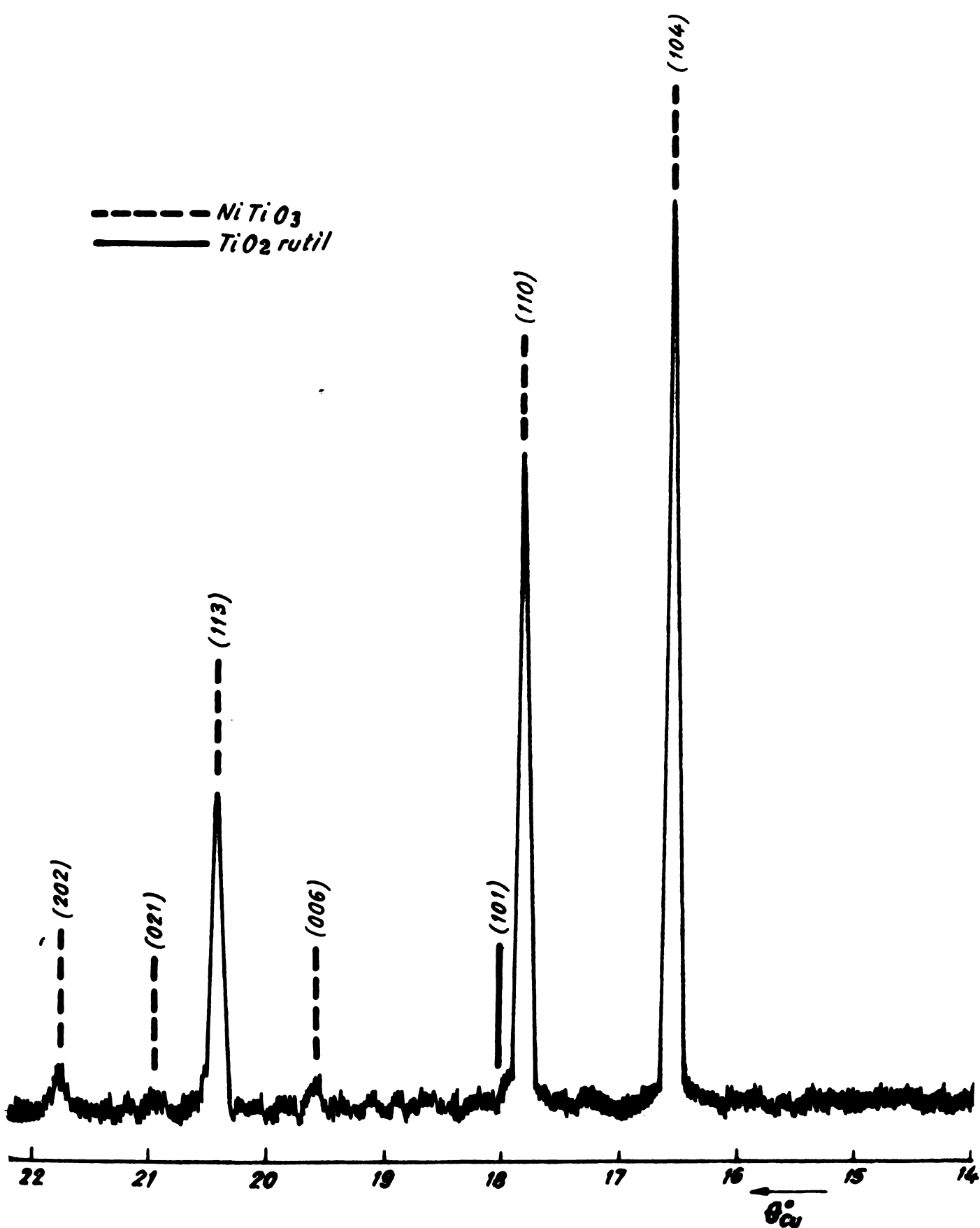


Fig.20.-spectrul RX al pigmentului $\text{Ni} \cdot \text{TiO}_2 \cdot \text{B}_2\text{O}_3$ prăsintetizat la 1400°C , pe lîngă 3 ore.

Se poate aprecia din spectrele RX ale compusilor rezultați din sintezele menționate că mecanismul de reacție în compozitiile supuse pirosintezei nu este identic. Rolul adaosului oxidic, în acest caz Sb_2O_3 , este specific. Faptul este confirmat și prin caracteristiciile de culoare ale pigmentelor respectivi (tabelele 6-9). Prezența adaosului oxidic este necesară în momentul nucleerii structurii compozitiei pigmentului, deoarece rețelele de NiO și TiO_2 -rutil- au complexitate cristalo-geometrică apropiată, ceea ce micșorează energia formării germanilor nouui compus la suprafața de contact a cristalelor de NiO și TiO_2 și prin urmare, temperatura transformării polimorfe cu mărirea vitezei de difuzie cationică.

Seinkman și colaboratorii /128/ au demonstrat că interacțiunea dintre TiO_2 -rutil- și NiO decurge cu viteză mai mare decât în cazul anatasului, deși rutilul este faza termodinamică stabilă în domeniul de temperatură peste $800^{\circ}C$.

Analogia rețelei rutilului și a "titanatului" - $NiO \cdot TiO_2$ - poate sluji la explicarea comportării mai active a rutilului la interacțiunea în starea solidă cu oxidul de nichel și împrimă un caracter dirijat reacției. Germanii fazei noi produc dezordine în subrețea oxigenului, puternic împachetată, în golurile căreia sunt sau ioni Ti^{4+} , în cazul TiO_2 sau Ni^{2+} în rețea "titanatului" - $NiO \cdot TiO_2$ -.

Adaosul de Sb_2O_3 nu este identificat în spectrele RX ale niciunui compus, ceea ce presupune că, se formează o soluție solidă interstitială în rețea cristalină proaspăt nucleată.

Röntgenogramele compozitiilor de pigmenti preparați prin pirosinteză amestecului de pulberi oxidice în care raportul molar $NiO : TiO_2$ a fost de 2 : 1, fără și cu adaos de Sb_2O_3 și cu NaCl ca mineralizator, sunt prezentate în figurile 21-24.

În figurile 21 și 22 sunt ilustrate spectrele compusilor oxidici obținuți prin arderea compozitiei $2NiO \cdot TiO_2$, fără adaos de Sb_2O_3 , la temperaturile de $1000^{\circ}C$, respectiv $1400^{\circ}C$.

Spectrul RX din figura 21 pune în evidență compusul oxidic $NiO \cdot TiO_2$, preponderent, alături de NiO și urme de TiO_2 -rutil- (110) și (211). Spectrul RX din figura 22 nu evidențiază urmele de rutil, semnificând un grad de transformare integral al TiO_2 în compusul oxidic definit $NiO \cdot TiO_2$. Oxidul de nichel introdus în plus față de proporția echimoleculară $NiO : TiO_2$ se regăseste în compozitia oxidică a pigmentului rezultat. El este marcat prin liniile radiatiilor

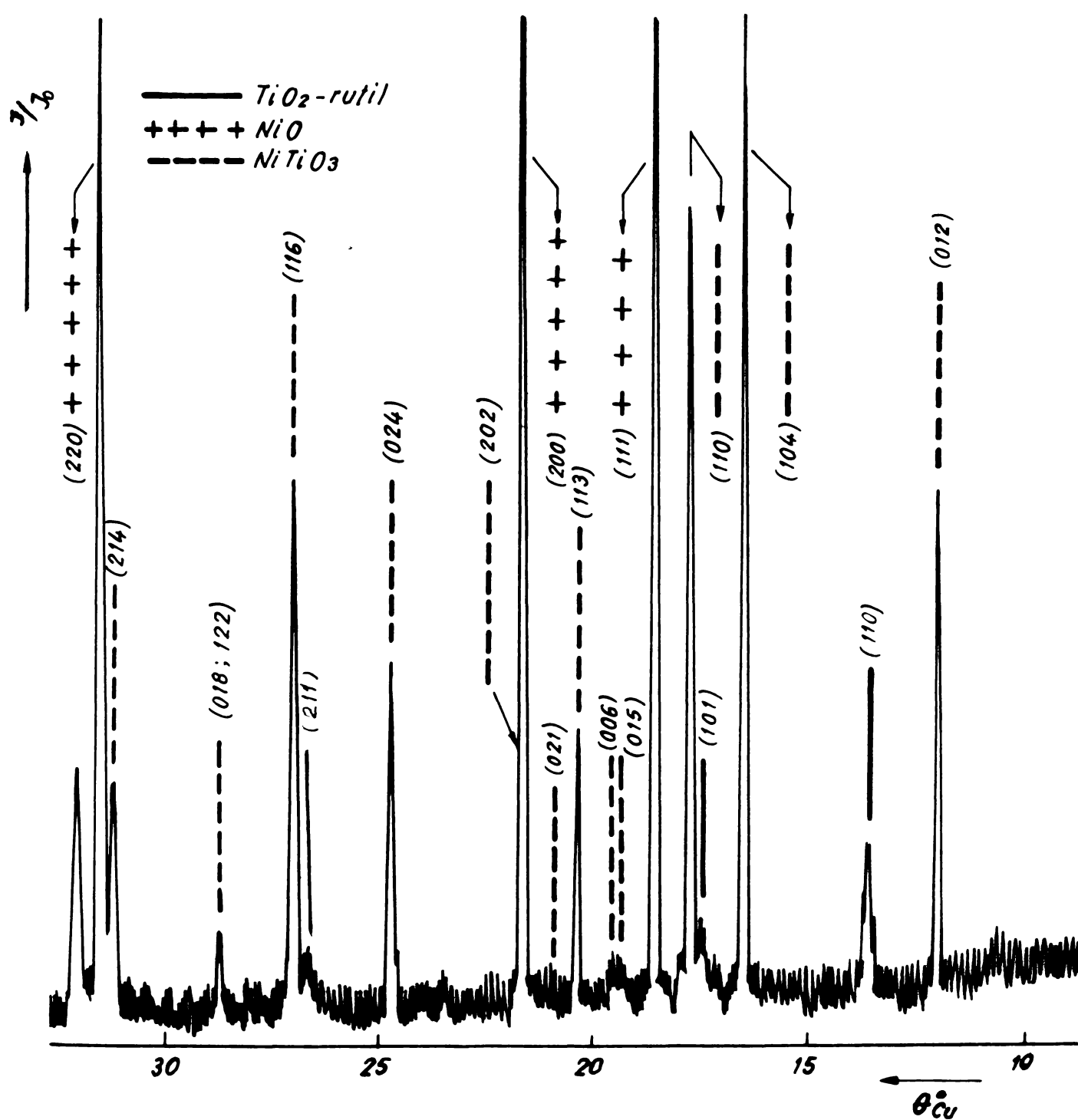


Figura 21.-Spectrul RX al pigmentului 2 $\text{NiC} \cdot \text{TiO}_2$
pirosintetizat la 1000°C , palier 3 ore.

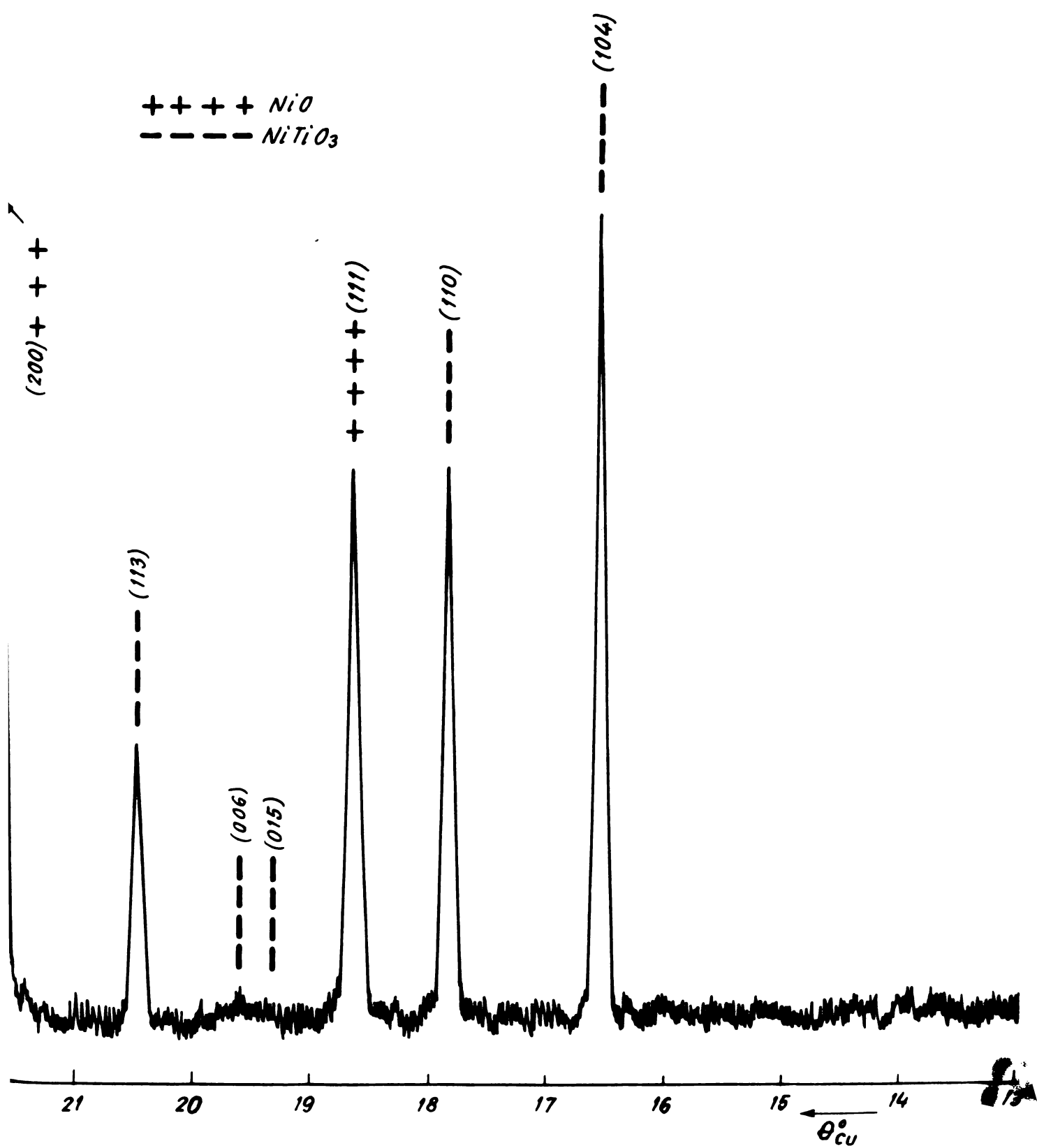


Figura 22.-Spectrul RX al pigmentului 2 NiO-TiO₂
pircsintetizat la 1400°C, palier 3 ore.

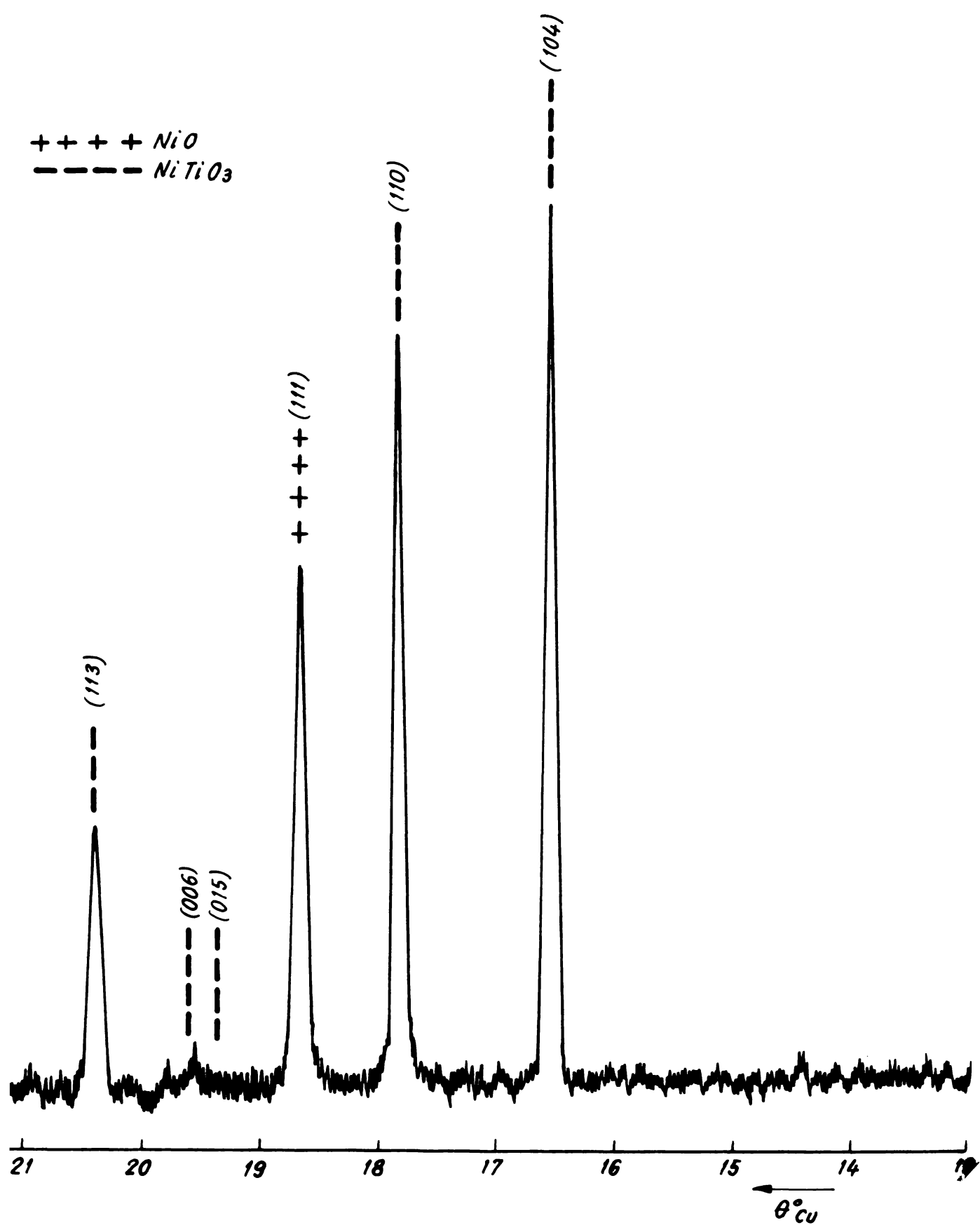


Figura 23.-Spectrul RX al pigmentului $2 NiO \cdot TiO_2 \cdot uSb_2O_5$ pirosintetizat la $1400^{\circ}C$, palier 3 ore

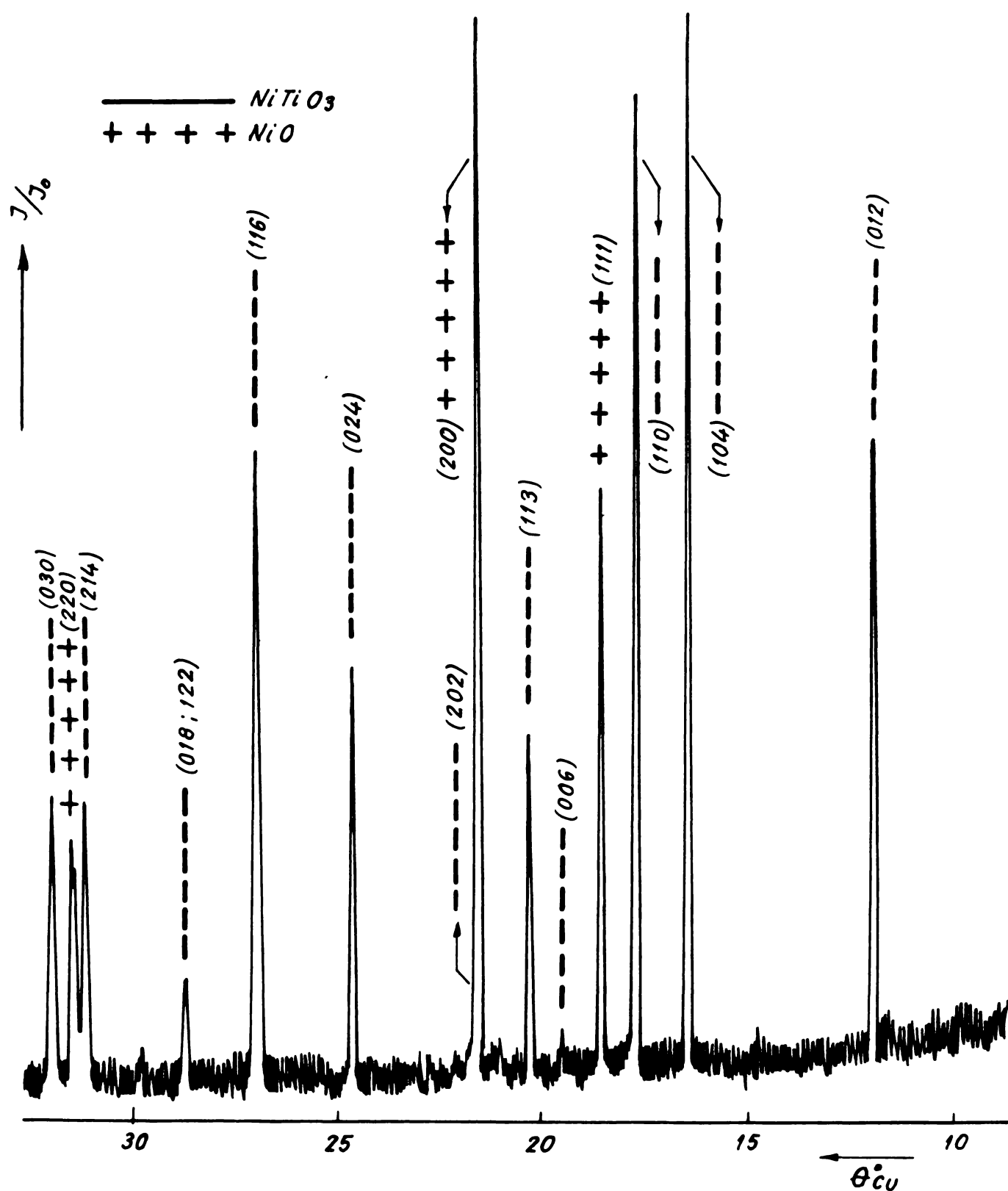


Figura 24.-Spectrul RX al pigmentului $2\text{NiO}\cdot\text{TiC}_2\cdot\text{uSb}_2\text{O}_5$ pirosintetizat la 1000°C , palier 3 ore

lor difractate pe planele reticulare: (111);(200) și (220).

In figurile 23 și 24 sunt prezentate spectrele compușilor oxidici rezultați prin sinteza compoziției $2\text{NiO}\cdot\text{TiO}_2$, cu adăos de 5% Sb_2O_3 , la temperaturile de 1000°C respectiv 1400°C . Nici unul din spectre nu evidențiază liniile de difracție specifice rutilului, ci doar ale oxidului mixt $\text{NiO}\cdot\text{TiO}_2$ și excesului de NiO , ceea ce denotă că reacția este desăvîrșită și la temperatura de 1000°C .

In cele patru spectre RX ale pigmentelor, prezente în figurile 21-24, nu s-a identificat un compus chimic definit corespunzător raportului molar 2 : 1 al oxizilor NiO și TiO_2 , respectiv ortotitanatul de nichel $-\text{Ni}_2\text{TiO}_4^-$.

Particularitatea bazată pe criteriul structural, condiționată de adăosul oxidic $-\text{Sb}_2\text{O}_3$ și de temperatura de sinteză, privind gradul de transformare a maselor oxidice în compusul oxidic policristalin și a gradului de cristalinitate a compoziției este comună acestor pigmenti. S-a atins o distribuție practic uniformă a compoziției de fază ceea ce înseamnă că s-a atins o stare de echilibru în sistem, marcată și prin o bună reproducibilitate a rezultatelor.

După cum rezultă din studiul roentgenostructural al compușilor oxidici rezultați din pirosinteză, la 1000 și 1400°C , a amestecului intim al pulberilor oxidului de nichel și dioxidului de titan, luată în raport molar de : 0,25 : 1; 1 : 1 și 2 : 1, în lipsă și prezența adăosului de 5% tricxit de antimoni și 3% clorură de sodiu, nu au fost puși în evidență anionii: TiO_3^{2-} și TiO_4^{4-} independenți, ceea ce denotă că producții de reacție sunt oxizi micști.

Rezultatele experimentale confirmă considerațiile teoretice anterioare/ 15, 44, 114 și 16/ privind formarea unui singur compus definit: oxidul mixt $\text{NiO}\cdot\text{TiO}_2$, care corespunde raportului echimolecular dintre cei doi oxizi, în condițiile termice studiate. Celelalte mase oxidice luate în alte raporturi molare conduc la un amestec din acest compus și oxidul în exces sau resturi de oxizi mereactionați.

3.1.3.2.-Studiul de spectroscopie în infraroșu

Detalii de structură a pigmentelor preparați în sistemul $\text{NiO}\cdot\text{TiO}_2$ cu și fără adăos de Sb_2O_3 sunt furnizate de analiza prin spectroscopie IR: infraroșu.

Spectrele IR ale acestor pigmenti pirosintetizați la tempe-

raturi de 1000 și 1400°C sunt prezentate în figura 25.

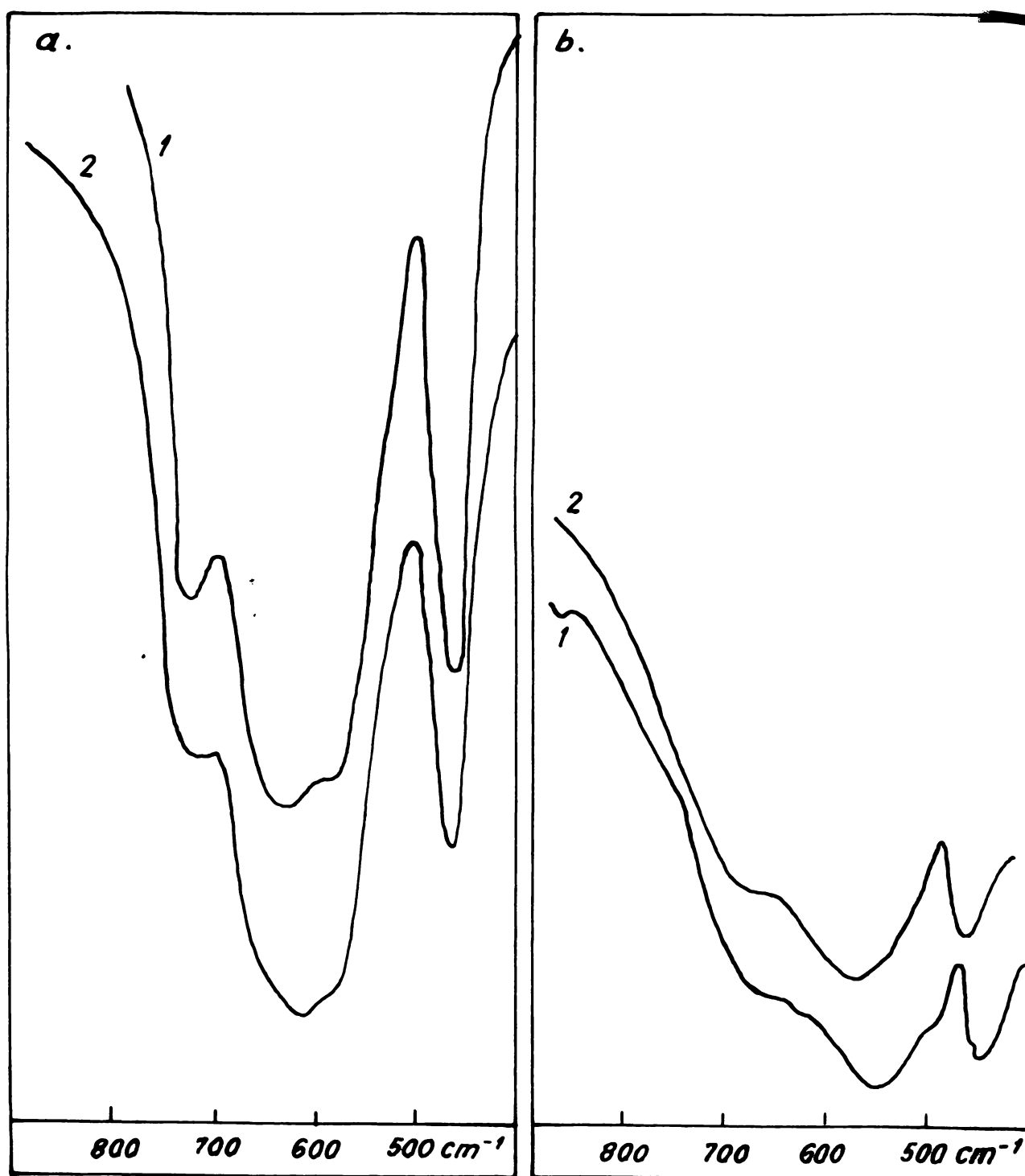


Figura 25.-Spectrele IR ale pigmentilor preparați la:
a.temperatura de 1000°C , palier 3 ore;
b.temperatura de 1400°C , palier 3 ore;
1.pigmentul $\text{NiO} \cdot \text{TiO}_2$;
2.pigmentul $\text{NiO} \cdot \text{TiO}_2 - \mu\text{Sb}_2\text{O}_5$

Alura spectrelor este asemănătoare și redă structura oxidelui mixt $\text{NiO} \cdot \text{TiO}_2$, similară cu structura ilmenitei. Ea este ilustrată în spectru printr-un palier la 685 cm^{-1} și prin două benzi de absorbție la 560 și 460 cm^{-1} /44,163,167/.

Intre cele două spectre apar ușoare devieri ale benzilor de absorbție spre numere de undă mai mari pentru compoziția cu adăos de Sb_2O_3 , ceea ce concordă cu o saturatie mai mică a culorii (tabelul 6, pozițiile 5 și 9).

3.1.3.3. Studiul de microscopie electronică

Pigmenții sunt substanțe heterodisperse caracterizați prin formă anumită, finețe și repartiție granulometrică a particulelor, condiționate de factori specifici structurii și factori prelucrativi.

Tinând seama de faptul că pulberile de pigmenți sunt folosite într-o mare varietate de procese tehnologice, chimia suprafeței acestora joacă un rol predominant.

Forma, mărimea și compozitia dispersă a particulelor de pigmenți condiționează viteza reacției în stare solidă, viteza de sedimentare, calitatea acoperirilor și nu în cel din urmă rind caracteristicile optice ale acestora.

Studiul de microscopie electronică al pulberilor de pigmenți obținuți la $1000^{\circ}C$, palier 3 ore, pentru raportul molar $\text{Al}_2\text{O}_3 : \text{TiO}_2$ de: 0,25; 1 și 2 s-a făcut pe probe măcinate mecanic, pe cale umedă, apoi uscate, iar pentru o probă anumită prin mojarare manuală. Celelalte condiții de preparare au fost comune.

In figurile 26-27 sunt prezentate microfotografiile particulelor pigmentelor respectivi.

Din microfotografii rezultă că pigmenții au structură similară, cu particule în majoritate de formă rombică, cu colțuri rotunjite și fețe netede. Unele particule sunt plate.

In tabelul 12 sunt consignate mărimea particulelor și intervalele distribuției granulometrice. Se poate ușor constata că probele măcinate mecanic au domeniul restrins al repartiției mărimii particulelor, limitat la dimensiuni între 0,3 și 4 μ .

Variatia repartiției granulometrice este foarte restrinsă pentru pigmentii cu structură heterofazică (figura 27), a căror mărime a particulelor este cuprinsă între 0,3 și 1,2 μ .

Finețea cea mai avansată o are pigmentul 0,25 $\text{NiC} \cdot \text{TiO}_2 \cdot \text{uSb}_2\text{O}_5$ (tabelul 8, poziția 5), cu domeniul de repartiție granulometrică restrins, având frecvența maximă a mărimii particulelor între 0,3-0,5 μ . Acest fapt denotă că pigmentul are o textură moale.

Pigmentul $\text{NiC} \cdot \text{TiO}_2 \cdot \text{uSb}_2\text{O}_5$ este caracterizat morfostructural

Tabelul 12.

Distribuția granulometrică a particulelor de pigmenti
 $\text{NiO} \cdot \text{TiO}_2 \cdot \text{uSb}_2\text{O}_5$ pirosintetizați la 1000°C , palier 3 ore.

Nr. crt.	Dimensiunea particulelor / μ /	Distribuția granulometrică a pigmentilor %/			
		$0,25\text{NiO} \cdot \text{TiO}_2 \cdot \text{uSb}_2\text{O}_5$	$\text{NiO} \cdot \text{TiO}_2 \cdot \text{uSb}_2\text{O}_5$	$2\text{NiO} \cdot \text{TiO}_2 \cdot \text{uSb}_2\text{O}_5$	
		măcinat	măcinat	măjarat manual	măcinat
1.	0,35 - 0,5	40	-	-	24
2.	0,5 - 0,8	38	18	-	36
3.	0,8 - 1,2	22	30	-	40
4.	1,2 - 1,7	-	28	-	-
5.	1,7 - 2,0	-	22	-	-
6.	2,0 - 4,0	-	10	34	-
7.	4,0 - 6,0	-	-	50	-
8.	6,0 - 10,0	-	-	46	-

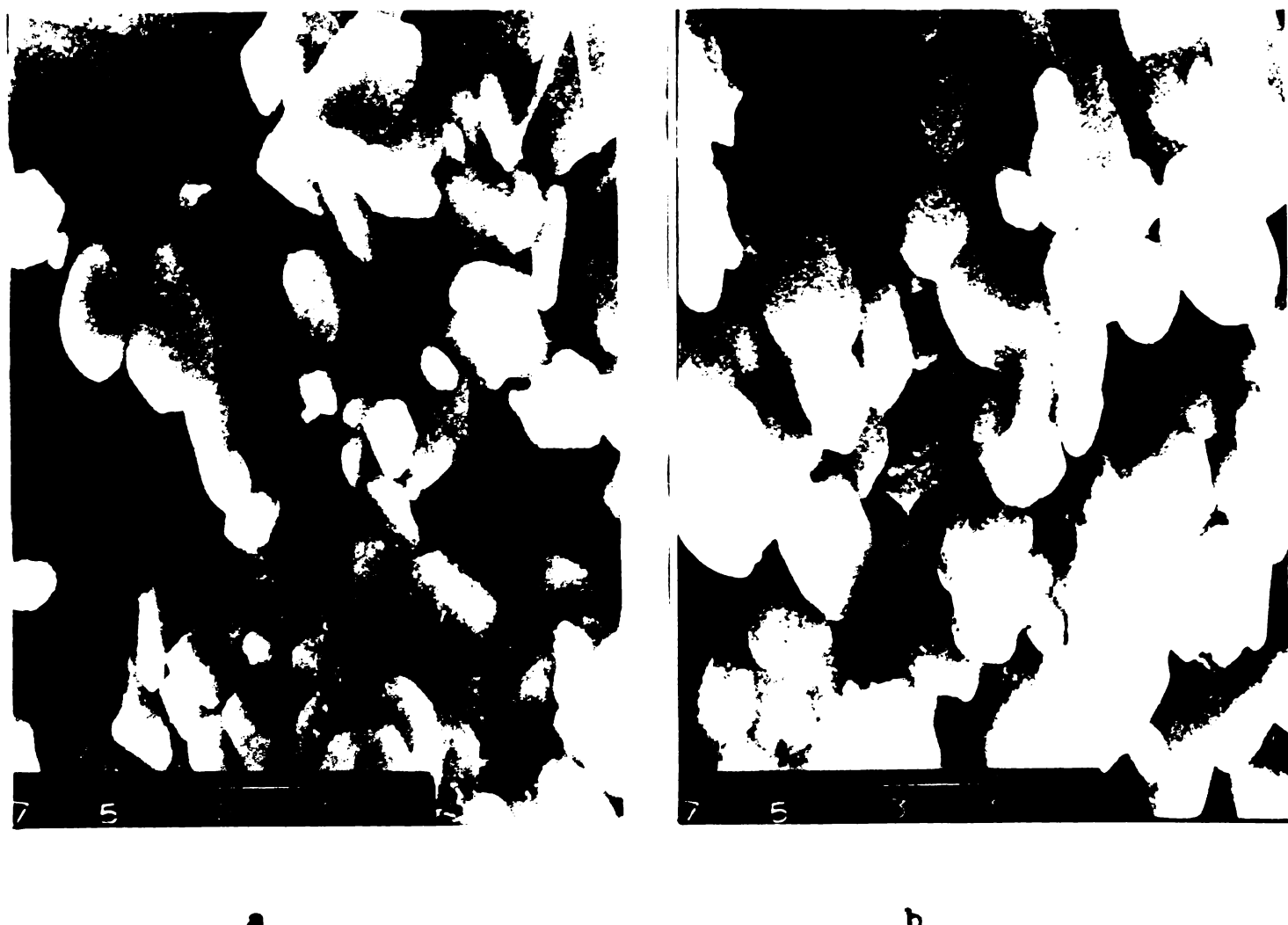


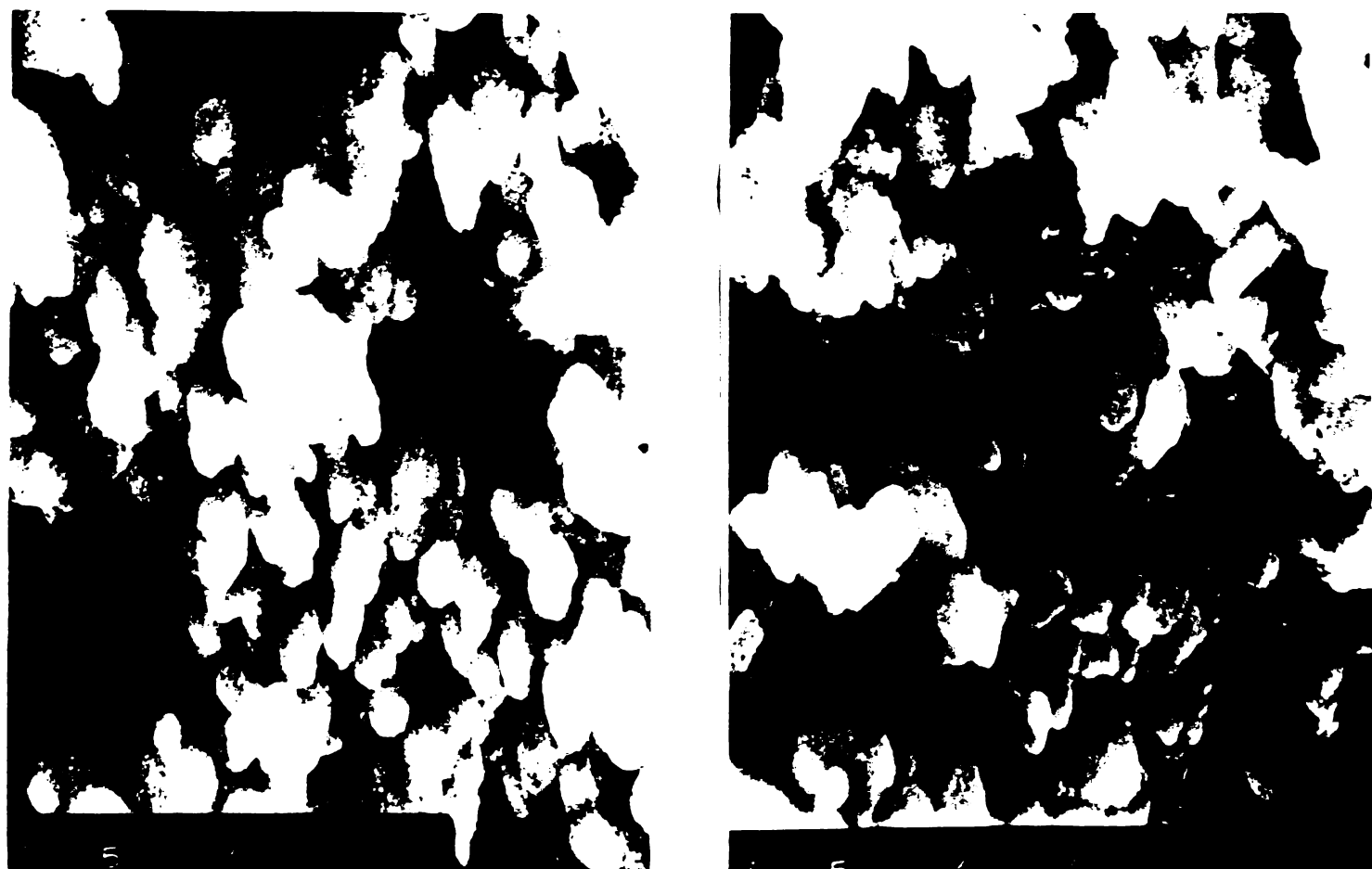
Figura 26.-Forma și dimensiunea particulelor pigmentului
 $\text{NiO} \cdot \text{TiO}_2 \cdot \mu\text{Sb}_2\text{O}_5$:
a.pulbere mojarată: $\times 3000$;
b.pulbere măcinată: $\times 10000$.

prin particule mai mari.

Froba măcinată manual are particulele cu dimensiuni cuprinse între $2\text{-}10 \mu$, ceea ce avertizează asupra necesității măcinării mecanice a pigmentelor.

Proprietățile pigmentare ale compusilor cresc în funcție de finețea particulelor și gradul de dispersie. Astfel: puterea de colorare și de acoperire a pigmentelor crește cu gradul de dispersie. Cristalele cu dimensiuni mici pînă la valoarea lungimii de undă a luminii reflectate, deschid nuanță, explicabil prin aceea că distanța pe care lumina o parcurge în substanță este mai mică înainte de a fi reflectată de interfețele particulelor. De asemenea, smestecurile care conțin fractii mici de particule au capacitate de reacție mai mare

deoarece au energie superficială în exces, utilizată optim în reacțiile de acoperire în condiții termice (emailare, decoruri arse, etc.).



a b

Figura 27.-Forma și dimensiunea particulelor pigmentelor măcinăți:

- a. $0,25 \text{ NiO} \cdot \text{TiO}_2 \cdot \mu\text{Sb}_2\text{O}_5$; $\times 1.000$;
- b. $2 \text{ NiO} \cdot \text{TiO}_2 \cdot \text{Sb}_2\text{O}_5$; $\times 10.000$.

Îmbunătățirea dispersabilității pigmentelor se poate realiza prin optimizarea compozitiei, condițiilor de sinteză, prin adăosuri de substanțe tensioactive cu rol de stabilizare și reducere a tendinței de recristalizare în mediile în care se utilizează, măcinare adecvată și clasificare potrivită.

Datorită acțiunii controlate asupra compozitiei granulometrice în procesul preparării pigmentelor se pot obține produse cu distribuția dorită a dimensiunii particulelor în funcție de destinația acestora.

3.1.3.4.-Studiul cu microsonda electronică

Studiul cu microsonda electronică s-a executat pe pulberile de pigmenti obținute pe baza compozitiei NiC-TiO_2 , în raport molar 1 : 1, fără și cu adăos de Sb_2O_3 , preparate cu fondant - NaCl - și arse la 1000°C , palier 3 ore.

In figura 28 sunt prezentate microfotografiile celor două sortimente de pigmenti obținute cu ajutorul microsondei electronice, grosismentul 20.000.

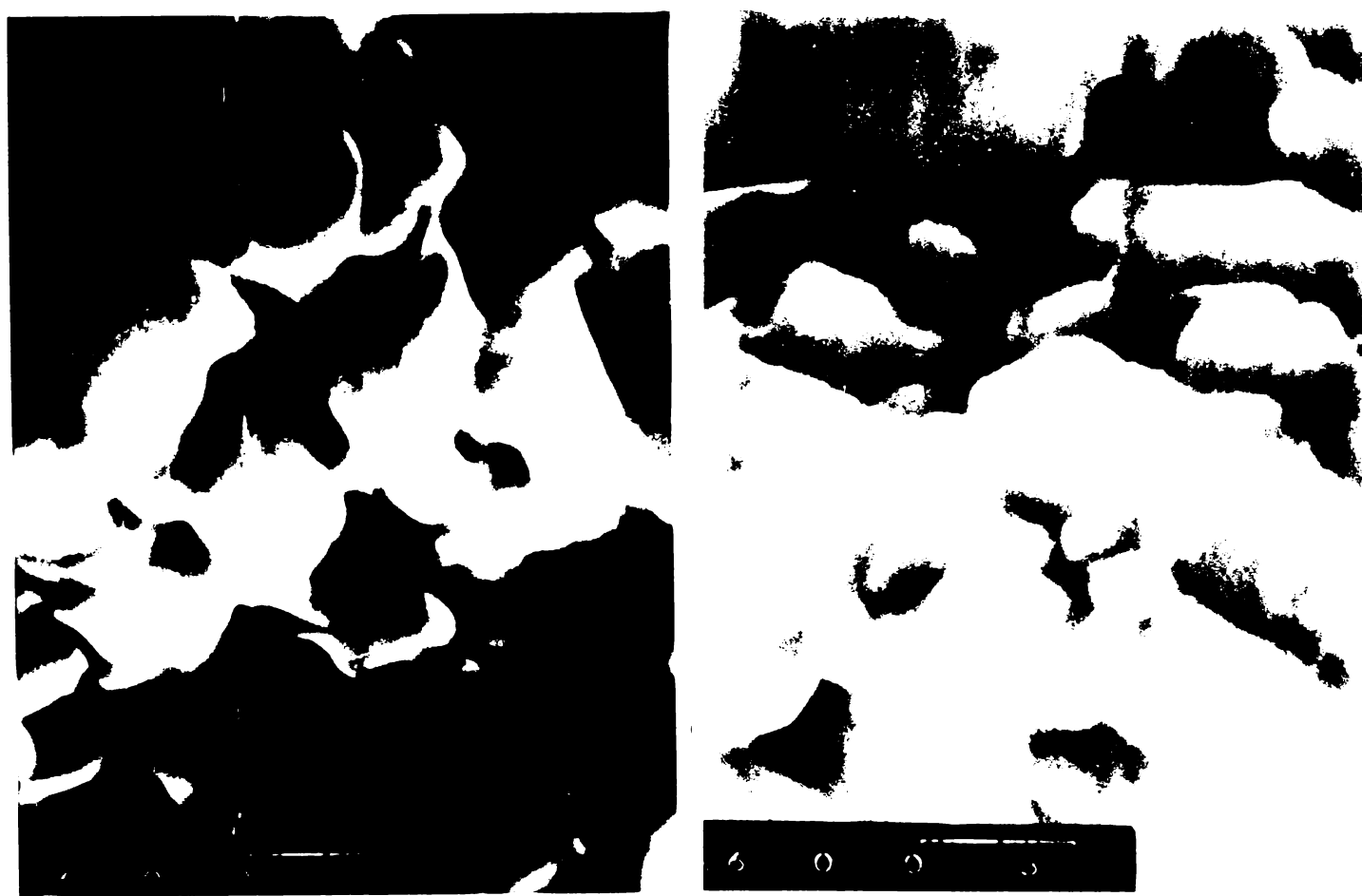


Figura 28.-Microfotografiile pulberilor de pigmenti executate cu microsonda electronică:
a. $\text{NiO} \cdot \text{TiO}_2$; $\times 20.000$;
b. $\text{NiO} \cdot \text{TiO}_2 \cdot \mu\text{stb}_2\text{O}_5$; $\times 20.000$.

Observația făcută asupra celor două microfotografii conduce

la aprecierea formei rombice cu muchii rotunjite ale particulelor, mai uniformă pentru compusul cu Sb_2O_3 , ceea ce concordă cu constatarea rezultată din spectrele RX a existenței unui singur compus definit și anume $NiO \cdot TiC_2$, cu cristale de formă rombică.

Analiza calitativă a compozиiilor executate cu microsonda electronică a identificat compoziții oxidici: NiO și TiC_2 pentru primul compus -a- iar pentru al doilea compoziție: $\text{NiO};\text{TiO}_2$ și Sb_2C_5 . De subliniat că prin analiză RX nu s-a identificat faza Sb_2C_5 în nici un compus.

Cantitativ, compoziția procentuală a pigmentului $\text{NiO} \cdot \text{TiO}_2$ s-a găsit în limitele:

NiO 44,6 ± 0,5;
 TiO₂ 49,4 ± 0,5;

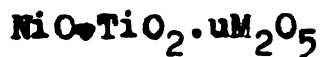
iar a pigmentului $\text{NiO} \cdot \text{TiO}_2 \cdot \text{uSb}_2\text{O}_5$ în limitele:

NiO	47,9	\pm	0,5;
TiO ₂	51,1	\pm	0,5;
Sb ₂ O ₅	4,3	\pm	0,6.

Arbitrariul impus de omogenitatea pulberii și a zonelor baleiate sau tehnica de lucru mai puțin stăpînită au condus la valoarea datelor analitice cuprinse în limitele mentionate.

Datele experimentale prezentate și considerațiile făcute în subcapitolul 3.1 al lucrării vor fi întregite cu cele din subcapitolele 3.2 și 3.3 cu privire la relația: condiții de sinteză-structură-culoare în pigmentii pe bază de titan-nichel, urmărind sensul valorilor respective care să permită precizări asupra mecanismului formării structurii și dezvoltării culorii la parametrii de sinteză optimi.

3.2.-SINTEZA SI STUDIUL PIGMENTILOR IN SISTEMUL



In contextul cercetării orientate spre precizarea factorilor implicați în sinteza pigmentilor din sistemul NiO-TiO_2 s-a studiat rolul adaosului oxidic $-\text{M}_2\text{O}_5-$, în care M simbolizează metalele tranziționale din subgrupa V B și a unor elemente din grupa principală V A ale sistemului periodic asupra proprietăților optice și structurale ale acestor compuși oxidici.

Ionii de nichel interacționează cu ionii de titan în prezența ionilor pentavalenți sau care în timpul sintezei ating acest grad de oxidare în compozitii, conferindu-le, în afara detaliilor de structură, caracteristici de culoare diferențiate/154,163,168,169/.

Natura ionului M^{5+} , în care se identifică: $\text{Sb}^{5+}, \text{Bi}^{5+}, \text{V}^{5+}, \text{Nb}^{5+}$ și Ta^{5+} , angajează interacțiuni între cationii sistemului oxidic studiat, cu efecte locale complexe în rețeaua cristalină și cu implicații specifice în absorbția luminii.

Probele luate în studiu au fost preparate în condiții identice, păstrând constantă proporția -u- egală cu 5% a adaosului M_2O_5 și de 3% a clorurii de sodiu, stabilite anterior ca optime, urmărindu-se efectul temperaturii între $900-1400^\circ\text{C}$, cu palier de 3 ore, în compozitiile în care raportul molar dintre NiO și TiO_2 a variat între : 0,25,1 și 2, asupra caracteristicilor de culoare și proprietățile morfostructurale ale pigmentilor obținuți.

3.2.1.-Caracteristicile de culoare ale pigmentilor



Detaliile de preparare și studiul proprietăților optice, structură și finețe ale pigmentilor în sistemul oxidic NiO-TiO_2 , pentru raportul molar: 0,25; 1 și 2, cu adaosuri de pentoxizi au fost aceleasi, cu excepția compusului din tabelul 14, poziția 16, care s-a preparat din rutil dobat în preelabil cu Sb_2O_3 .

Efectul temperaturii, în intervalul termic $900-1400^\circ\text{C}$, asupra caracteristicilor de culoare ale pigmentilor studiați rezultă din datele tabelelor 17-18.

Condițiile termice de sinteză antrenează variații ale caracteristicilor de culoare, mai mult sau mai puțin marcate, în funcție de raportul molar al principaliilor oxizi: NiO: TiO_2 , iar în cadrul

Tabelul 1.1

Caracteristicile de culoare ale pigmentelor din sistemul NiO-TiO₂-W₂O₅ prinosintetizat la 900°C -palier 3 ore-

Nr. ser.	Reactenții chimici			Caracteristicile de culoare											
	TiO ₂ moli	NiO moli	W ₂ O ₅ 5%	X	Y	Z	x	y	Pc, %/	L	ΔL	Δa	Δb	ΔE	Δε
0	1	2	3	4	5	6	7	8	9	10	11	12	13	14	15
1.	1	0,25	Sb ₂ O ₅	65,9	69,6	42,0	0,364	0,397	573,26	49,95	83,43	-8,47	-8,89	27,96	30,54
2.	1	0,25	Bi ₂ O ₅	65,5	70,1	37,5	0,378	0,405	574,86	55,75	83,73	-8,05	-6,50	31,46	33,52
3.	1	0,25	V ₂ O ₅	24,2	22,6	11,3	0,413	0,386	582,95	56,32	47,54	-14,36	8,23	17,96	48,57
4.	1	0,25	Nb ₂ O ₅	62,9	69,0	33,3	0,412	0,417	573,24	63,96	83,07	-8,83	-9,81	33,79	36,27
5.	1	0,25	Ta ₂ O ₅	63,9	69,3	40,9	0,367	0,398	573,66	51,03	83,24	-8,65	-8,28	28,55	30,96
6.	1	1	Sb ₂ O ₅	50,5	55,6	21,4	0,396	0,436	574,03	50,44	74,57	-17,33	-9,15	34,58	39,75
7.	1	1	Bi ₂ O ₃	53,4	57,8	17,6	0,414	0,449	575,15	77,70	76,03	-15,87	-7,24	38,90	42,63
8.	1	1	V ₂ O ₅	13,0	11,8	6,6	0,414	0,376	584,66	54,30	34,25	-57,55	8,08	12,06	39,56
9.	1	1	Nb ₂ O ₅	42,1	45,8	13,5	0,415	0,452	574,96	76,43	67,67	-24,22	-6,91	34,95	43,08
10.	1	1	Ta ₂ O ₅	49,1	54,2	18,6	0,403	0,445	574,10	72,32	73,62	-18,28	-9,34	35,96	44,41
11.	1	2	Sb ₂ O ₅	36,5	40,2	15,5	0,396	0,436	574,01	68,71	63,40	-28,50	-7,68	29,29	41,58
12.	1	2	Bi ₂ O ₅	41,5	45,1	13,7	0,414	0,450	574,91	73,49	67,16	-24,74	-6,73	34,32	42,84
13.	1	2	V ₂ O ₃	12,9	11,9	6,7	0,410	0,378	584,03	53,07	34,50	-57,40	7,03	12,03	59,07
14.	1	2	Nb ₂ O ₅	38,7	42,6	14,4	0,404	0,445	574,25	72,73	67,27	-26,63	-7,88	32,01	42,38
15.	1	2	Ta ₂ O ₅	35,0	38,9	14,5	0,396	0,440	573,65	88,03	62,37	-29,55	-8,46	29,28	42,44

Taboul 14

Caraacteristicile de culoare ale pigmentilor din sistemul NiO-TiO₂-W₂O₅ pirosintetizati la 1000°C - palier 3 ore-

Nr. - ort.	Reactanti chimici	Caracteristicile de culoare														ΔL		Δa		Δb		ΔE	
		Componentele culorii				Coordonatele tricromatice				λ_d , /nm/				P_c , /%/		ΔL		Δa		Δb		ΔE	
		X	Y	Z	X	Y	Z	X	Y	10	11	12	13	14	15	16	17	18	19	20	21	22	
0	1	2	3	4	5	6	7	8	9	10	11	12	13	14	15	16	17	18	19	20	21	22	
1.	1	0,25	Sb ₂ O ₅	50,4	61,9	25,0	0,394	0,432	574,09	67,11	78,68	-13,22	-9,31	35,64	39,13	36,83	35,74	32,32	45,22	35,74	32,62	32,32	
2.	1	0,25	Bi ₂ O ₅	56,5	60,1	25,1	0,396	0,425	575,45	65,74	77,52	-14,37	-5,62	34,42	37,77	38,93	37,13	34,34	41,86	37,13	34,34	35,15	
3.	1	0,25	Ti ₂ O ₅	21,0	19,4	9,6	0,420	0,388	583,30	58,66	44,04	-47,85	8,60	17,31	51,61	19,33	19,33	27,76	22,76	27,76	22,76	27,76	22,76
4.	1	0,25	Nb ₂ O ₅	51,5	56,3	18,0	0,409	0,448	574,64	74,27	75,03	-16,87	-8,35	37,70	42,14	38,62	38,62	38,62	42,14	38,62	38,62	38,62	
5.	1	0,25	Ta ₂ O ₅	53,7	58,5	23,8	0,395	0,430	574,45	66,28	75,48	-15,41	-8,10	34,50	38,64	35,43	35,43	35,43	40,50	35,43	35,43	35,43	
6.	1	1	Sb ₂ O ₅	45,3	49,5	15,5	0,418	0,440	574,69	74,87	70,36	-21,54	-7,73	35,59	42,31	36,42	36,42	36,42	42,31	36,42	36,42	36,42	
7.	1	1	Ti ₂ O ₅	41,3	45,4	11,0	0,437	0,454	576,54	79,70	65,88	-26,02	-2,90	35,62	44,21	35,74	35,74	35,74	44,21	35,74	35,74	35,74	
8.	1	1	T ₂ O ₅	15,5	14,3	9,4	0,395	0,365	585,06	45,13	37,81	-54,08	7,61	11,14	55,74	13,49	13,49	13,49	13,49	13,49	13,49	13,49	
9.	1	1	Nb ₂ O ₅	34,3	36,7	9,7	0,425	0,455	575,76	78,92	60,58	-31,92	-4,45	32,32	45,22	32,62	32,62	32,62	45,22	32,62	32,62	32,62	
10.	1	1	Ta ₂ O ₅	45,8	47,8	15,7	0,403	0,446	574,69	73,55	69,14	-22,76	-7,43	34,34	41,86	35,15	35,15	35,15	41,86	35,15	35,15	35,15	
11.	1	2	Sb ₂ O ₅	37,9	41,7	14,4	0,403	0,444	574,24	72,11	64,58	-27,22	-7,74	31,39	42,32	32,33	32,33	32,33	42,32	32,33	32,33	32,33	
12.	1	2	Bi ₂ O ₅	28,1	30,0	8,3	0,423	0,452	575,32	77,82	54,77	-37,13	-3,72	28,76	47,11	29,00	29,00	29,00	47,11	29,00	29,00	29,00	
13.	1	2	T ₂ O ₅	22,3	11,6	8,6	0,382	0,378	585,08	37,21	34,10	-57,84	7,56	8,27	58,80	10,56	10,56	10,56	10,56	10,56	10,56	10,56	
14.	1	2	Nb ₂ O ₅	25,5	27,5	9,0	0,411	0,444	575,24	73,55	52,44	-39,46	-4,40	25,94	41,42	26,31	26,31	26,31	41,42	26,31	26,31	26,31	
15.	1	2	Ta ₂ O ₅	34,9	38,4	13,5	0,402	0,442	574,21	71,58	61,96	-29,93	-7,39	29,87	42,92	30,77	30,77	30,77	42,92	30,77	30,77	30,77	
16.	1	1	Sb ₂ O ₃	37,8	42,05	13,65	0,400	0,456	572,82	74,73	65,61	-26,29	-11,09	33,00	43,62	34,82	34,82	34,82	43,62	34,82	34,82	34,82	

Taboulul 15

Caracteristicile de culoare ale pigmentilor din sistemul NiO-TiO₂-W₂O₅ prinosintetizat la 1050°C - palier 5 ore-

Nr. ser.	NiO mclii	TiO ₂ mclii	W ₂ O ₅ 5%	Reactantii chimici				Caracteristicile de culoare								
				X	Y	Z	X	Y	Z	λ d, /nm/	Pc, %/	L	ΔL	Δa	Δb	ΔE
0	1	2	3	4	5	6	7	8	9	10	11	12	13	14	15	16
1.	1	0,25	Sb ₂ O ₅	50,9	55,7	19,0	0,445	0,447	574,51	72,46	74,65	-17,27	-8,43	36,55	41,29	37,51
2.	1	0,25	Bi ₂ O ₅	53,1	56,1	22,2	0,404	0,427	576,04	67,53	74,90	-17,00	-4,10	34,26	38,26	34,50
3.	1	0,25	V ₂ O ₅	17,9	16,2	8,5	0,420	0,380	584,80	56,52	40,25	-51,65	9,55	15,06	54,64	17,85
4.	1	0,25	Nb ₂ O ₅	48,3	52,5	15,8	0,414	0,450	574,97	75,87	72,46	-19,44	-7,36	57,19	42,61	36,91
5.	1	0,25	Ta ₂ O ₅	55,6	58,4	25,0	0,391	0,426	574,94	64,98	76,42	-15,48	-8,11	33,50	37,79	34,47
6.	1	1	Sb ₂ O ₅	59,8	43,1	12,2	0,419	0,453	575,19	77,56	65,65	-26,25	-6,18	34,34	43,66	34,81
7.	1	1	Bi ₂ O ₃	31,2	32,0	7,5	0,443	0,454	577,57	83,60	56,57	-35,33	-0,01	31,35	47,23	31,35
8.	1	1	V ₂ O ₅	14,0	12,7	7,9	0,405	0,367	585,65	48,56	35,64	-56,26	8,39	11,21	57,98	14,0
9.	1	1	Nb ₂ O ₅	53,2	35,5	9,4	0,425	0,455	575,78	78,83	59,58	-32,32	-4,28	31,76	45,51	32,04
10.	1	1	Ta ₂ O ₃	38,9	42,1	11,7	0,420	0,454	575,23	77,83	64,88	-27,01	-6,03	34,12	43,94	34,66
11.	1	2	Sb ₂ O ₃	32,4	35,4	12,1	0,406	0,443	574,59	72,43	59,50	-32,40	-6,38	38,99	43,95	29,69
12.	1	2	Bi ₂ O ₃	27,3	29,0	9,7	0,414	0,439	576,00	72,95	53,85	-38,04	-3,19	26,45	46,43	26,61
13.	1	2	V ₂ O ₅	7,6	7,1	5,4	0,378	0,353	585,62	56,66	26,64	-65,25	4,99	6,04	65,72	7,83
14.	1	2	Nb ₂ O ₅	25,5	27,4	8,4	0,416	0,447	575,47	75,92	52,34	-39,55	-4,27	26,53	47,80	26,84
15.	1	2	Ta ₂ O ₃	28,6	31,7	11,2	0,400	0,443	573,88	71,54	56,30	-35,60	-7,30	27,02	45,20	21,99

Tabelul 16

Caracteristicile de culoare ale pigmentilor din sistemul $\text{NiO}-\text{TiO}_2-\text{Nb}_2\text{O}_5$ pirosintetizati la 1100°C - palier 3 ore-

Nr.	Reactantii chimici	Caracteristicile de culoare												λ_d° /nm/			P_{c^*} /%/			ΔL			Δa			Δb			ΔE			Δc		
		Coordonatele tricromatice			λ_d° /nm/			P_{c^*} /%/			ΔL			Δa			Δb			ΔE			Δc											
crt.	TiO_2	NiO	Nb_2O_5	Componentele culorii			x	y	z	x	y	z	10	11	12	13	14	15	16	10	11	12	13	14	15	16	10	11	12	13	14	15	16	
	moli/mol	5%	X	Y	Z																													
0	1	2	3	4	5	6	7	8	9	10	11	12	13	14	15	16																		
1.	1	0,25	Sb_2O_5	45,8	49,9	15,4	0,412	0,449	574,84	75,21	70,64	-21,26	-7,42	35,93	42,40	36,68																		
2.	1	0,25	Bi_2O_5	51,5	54,3	21,1	0,406	0,428	576,16	68,26	73,69	-18,21	-3,77	34,01	36,76	34,22																		
3.	1	0,25	V_2O_5	20,1	18,5	11,1	0,404	0,372	584,55	49,98	43,01	-48,89	8,73	14,21	51,65	16,78																		
4.	1	0,25	Nb_2O_5	48,4	52,5	16,9	0,411	0,446	575,00	74,09	72,46	-19,44	-7,11	36,29	41,78	36,98																		
5.	1	0,25	Ta_2O_5	47,9	52,0	19,2	0,402	0,437	574,84	70,09	72,11	-19,78	-7,17	34,09	40,07	34,84																		
6.	1	1	Sb_2O_5	28,5	30,3	7,9	0,427	0,454	576,04	79,19	55,04	-36,85	-3,36	29,42	47,28	29,62																		
7.	1	1	Bi_2O_5	32,0	32,7	10,1	0,428	0,437	577,71	74,78	57,18	-34,72	0,34	28,96	45,21	28,96																		
8.	1	1	V_2O_5	13,7	12,4	8,3	0,398	0,361	586,61	44,50	35,21	-56,69	8,46	10,08	58,19	13,16																		
9.	1	1	Nb_2O_5	30,4	32,2	9,3	0,423	0,448	576,15	76,76	56,74	-35,15	-3,13	29,40	45,94	29,57																		
10.	1	1	Te_2O_5	34,2	36,7	9,7	0,424	0,455	575,63	78,93	60,58	-31,32	-4,72	32,32	45,25	32,66																		
11.	1	2	Sb_2O_5	26,8	29,2	9,5	0,409	0,446	574,78	73,80	54,03	-37,86	-5,47	26,80	46,71	27,36																		
12.	1	2	Bi_2O_5	23,5	24,7	10,0	0,404	0,425	576,28	66,75	49,70	-40,20	-1,99	22,26	47,75	22,35																		
13.	1	2	V_2O_5	11,0	10,3	8,4	0,370	0,347	586,47	31,80	32,09	-59,80	5,68	6,35	60,41	8,52																		
14.	1	2	Nb_2O_5	20,9	22,2	7,2	0,416	0,441	575,95	73,75	47,12	-44,78	-2,67	23,32	50,56	23,48																		
15.	1	2	Ta_2O_5	25,3	27,9	9,7	0,402	0,444	574,12	71,94	52,82	-39,04	-6,36	25,49	47,09	26,27																		

Tabelul 17

Caracteristicile de culoare ale pigmentilor din sistemul $\text{NiO}-\text{TiO}_2-\text{Nb}_2\text{O}_5$ prezentatati la 1200°C -palier 3 ore-

Nr.	Reactanti chimici										Caracteristicile de culoare							
	TiO_2	NiO	Nb_2O_5	Componentele culorii			Coordonatele tricromatice			λ_d' /nm/	$P_{c'}$ /%/	L	ΔL	Δa	Δb	ΔE	$\Delta \alpha$	
		moli	moli	5%	X	Y	Z	x	y	8	9	10	11	12	13	14	15	16
0	0	1	2	3	4	5	6	7	8	9	10	11	12	13	14	15	16	
1.	1	0,25	Sb_2O_5	40,6	44,3	12,9	0,415	0,453	574,83	76,73	66,56	-25,34	-7,10	34,50	43,39	35,23		
2.	1	0,25	Bi_2O_5	52,1	55,2	29,2	0,388	0,404	575,49	56,17	74,30	-17,60	-4,42	28,11	33,46	28,46		
3.	1	0,25	V_2O_5	13,1	12,1	9,2	0,381	0,358	586,60	36,58	34,78	-57,11	6,92	8,07	58,10	10,68		
4.	1	0,25	Nb_2O_5	44,8	48,9	15,9	0,409	0,446	574,69	73,83	69,93	-21,97	-7,55	34,87	41,20	35,68		
5.	1	0,25	Ta_2O_5	47,1	51,6	22,1	0,390	0,427	574,06	65,01	71,83	-20,07	-8,21	31,44	38,30	32,50		
6.	1	1	Sb_2O_5	23,8	25,7	9,1	0,406	0,439	575,09	71,20	50,69	-41,20	-4,33	24,25	48,00	24,63		
7.	1	1	Bi_2O_3	28,9	29,3	10,1	0,423	0,429	578,09	69,43	54,13	-37,77	1,12	26,23	46,00	26,25		
8.	1	1	V_2O_5	8,4	7,7	7,0	0,364	0,333	591,78	24,20	27,75	-64,15	6,77	3,87	64,56	7,28		
9.	1	1	Nb_2O_5	19,3	20,5	8,2	0,402	0,427	575,76	67,24	45,28	-46,62	-2,53	20,36	50,94	20,52		
10.	1	1	Ta_2O_5	27,2	30,0	11,3	0,397	0,438	573,98	69,48	54,77	-37,13	-6,64	25,51	45,53	26,36		
11.	1	2	Sb_2O_5	26,5	27,8	9,3	0,417	0,437	576,49	72,74	52,73	-39,17	-1,99	25,85	46,98	25,93		
12.	1	2	Bi_2O_5	19,0	19,8	9,0	0,397	0,415	576,37	62,69	44,61	-47,29	-1,43	18,67	50,86	18,72		
13.	1	2	V_2O_5	8,0	7,7	7,2	0,349	0,336	586,40	21,38	27,75	-64,15	3,61	3,44	64,34	4,99		
14.	1	2	Nb_2O_5	26,3	27,5	9,4	0,416	0,435	576,63	72,03	52,44	-39,46	-1,69	25,48	46,00	25,54		
15.	1	2	Ta_2O_5	35,9	38,5	11,9	0,416	0,446	575,55	75,09	62,05	-21,85	-4,80	31,47	43,64	31,83		

Taboulul 18

Caracteristicile de culoare ale pigmentilor din sistemul $\text{NiO}-\text{TiO}_2-\text{Nb}_2\text{O}_5$ pirosintetizati la 1400°C - palier 3 ore-

Nr. crt.	Reactanții chinezici										Caracteristicile de culoare																
	TiO_2			NiO			Nb_2O_5			Componentele culorii			Coordonatele tricromatice			ΔL			Δa			Δb			ΔE		
	moli	moli	%	moli	moli	%	moli	moli	%	X	Y	Z	X	Y	Z	L	a	b	L	a	b	L	a	b	L	a	b
0	1	2	3	4	5	6	7	8	9	10	11	12	13	14	15	16	17	18	19	20	21	22	23	24	25	26	
1.	1	0,25	Nb_2O_5	40,5	43,0	5	16,1	0,405	0,435	576,30	69,89	65,95	-25,94	-5,32	31,10	40,85	31,55										
2.	1	0,25	Bi_2O_5	44,5	45,9	9	27,0	0,379	0,391	577,05	50,93	67,75	-24,15	-0,86	23,20	33,50	23,22										
3.	1	0,25	V_2O_5	8,4	8,0	0	8,2	0,342	0,325	592,93	14,00	28,28	-63,61	4,21	2,01	63,79	4,67										
4.	1	0,25	Nb_2O_5	38,3	40,9	9	14,3	0,410	0,437	575,63	71,58	63,95	-27,95	-4,52	30,91	41,92	31,24										
5.	1	0,25	Ta_2O_5	41,5	44,6	6	18,5	0,397	0,426	575,12	66,10	66,78	-25,12	-5,47	23,75	39,50	30,23										
6.	1	1	Nb_2O_5	24,5	25,7	7	10,2	0,406	0,426	576,39	67,43	50,69	-41,20	-1,87	22,96	47,21	23,04										
7.	1	1	Bi_2O_5	50,4	31,5	3	12,0	0,413	0,425	577,33	68,45	55,95	-35,95	-0,38	25,85	44,28	25,85										
8.	1	1	V_2O_5	8,2	8,1	1	8,2	0,335	0,331	584,72	14,58	28,46	-63,44	2,33	2,24	63,52	3,23										
9.	1	1	Nb_2O_5	23,6	24,7	7	10,3	0,403	0,422	576,47	65,58	49,70	-42,20	-1,63	21,90	47,57	21,97										
10.	1	1	Ta_2O_5	27,2	28,8	8	10,9	0,407	0,431	575,98	65,08	53,66	-38,23	-2,88	24,93	45,73	25,09										
11.	1	2	Nb_2O_5	15,0	15,7	7	7,7	0,391	0,409	576,32	59,41	39,62	-52,27	-1,12	15,62	54,57	15,66										
12.	1	2	Bi_2O_5	22,4	23,6	6	12,0	0,386	0,407	575,90	57,91	48,58	-43,32	-2,12	18,76	47,26	18,88										
13.	1	2	V_2O_5	7,1	7,2	2	7,5	0,326	0,330	579,33	11,99	26,83	-65,07	1,00	1,62	65,09	1,89										
14.	1	2	Nb_2O_5	15,6	16,2	2	8,6	0,386	0,401	576,71	55,78	40,25	-51,65	-0,61	14,91	53,76	14,92										
15.	1	2	Ta_2O_5	17,6	18,8	8	9,1	0,387	0,413	575,18	60,11	43,36	-48,54	-2,79	17,31	51,61	17,54										

aceluiși raport molar de natură ionului pentavalent din adaosul oxidic $-M_2O_5-$.

Pentoxizii adăugăți sau formati în sinteze din adaosuri de oxizi inferiori ai elementelor respective, cu caracter metalic diferit, pricinuiesc diferențe caracteristicilor de culoare ale pulberilor de pigment, prin specificitatea structurii lor electronice și volumului cationului, generind, prin posibile sucesiuni, microdistorsiuni structurale, care evident influențează fenomenul de absorbție al radiatiilor din spectrul vizibil, materializat în compuși prin efecte de culoare anumite.

Analiza valorilor caracteristicilor de culoare prezentate în tabelele 13-18 conduc la constatări care argumentează cele menționate /168/.

Nuanța exprimată prin valorile lungimii de undă dominantă $- \lambda_d$, corespondentul psihosenzorial al tonalității pigmentelor sintetizați la temperaturi între $900-1400^{\circ}C$, acoperă intervalul 572,82-591,78 nm, prin urmare, o diferență de 18,96 nm, care cuprinde nuanțe galbene și ocru închise. Valoarea 572,82 nm materializează nuanța galbenă-verzuie a pigmentului $NiO \cdot TiO_2$ preparat din rutil dopat, în prealabil cu Sb_2O_3 , (tabelul 14, poziția 16), avertizând asupra modului de formare diferit față de al celorlalți compuși. Valoarea 591,78 nm identifică nuanța ocru-maronie a pigmentului 0,25 $NiO \cdot TiO_2$ preparat cu adaos de V_2O_5 , la temperatura de $1400^{\circ}C$, cu palier de 3 ore (tabelul 18, poziția 3).

Urmărind nuanța pigmentelor în funcție de raportul principaliilor oxizi $-NiO : TiO_2$ și de adaosul oxidic, pentru aceeași temperatură de sinteză se constată, cu excepții nesemnificative, închiderea nuanței cu creșterea conținutului în oxid de nichel.

Mărirea temperaturii de sinteză accentuează ușor efectul batocrom al nuanței compușilor, însă diferențiat după felul ionului pentavalent și mai puțin prin valoarea ei.

Nuanțe galbene prezintă compozиtiile cu Sb_2O_5 , Ta_2O_5 și Nb_2O_5 , iar nuanțe ocru deschis-ocru închis compozиtiile cu Bi_2O_5 și V_2O_5 .

În intervalul de temperatură $900-1100^{\circ}C$ adaosul oxidic $-M_2O_5-$ condiționează închiderea nuanței în ordinea: $Sb_2O_5 < Ta_2O_5 < Nb_2O_5 < Bi_2O_5 < V_2O_5$, pentru raportul molar $Ni : TiO_2$ de 0,25 : 1 și 1 : 1, iar pentru raportul 2 : 1 în ordinea: $Ta_2O_5 < Sb_2O_5 < Nb_2O_5 < Bi_2O_5 < V_2O_5$.

La temperaturile de 1200 și $1400^{\circ}C$ închiderea nuanței este

marcată într-o ordine puțin modificată, în majoritatea cazurilor fiind: $Ta_2O_5 < Nb_2O_5 < Sb_2O_5 < Bi_2O_5 < V_2O_5$.

Compozițiile arse la temperaturi între $900-1100^{\circ}C$ prezintă diferențe de 13,35 nm ale nuanței (tabelul 14, poziția 1 și tabelul 16, poziția 8), iar cele arse la 1200 și $1400^{\circ}C$ de 17,80 nm (tabelul 17, poziția 10 și tabelul 18, poziția 3), ceea ce subliniază faptul că pînă la $1100^{\circ}C$ pigmentii prezintă termorezistență foarte bună, iar peste această temperatură diferența de nuanță este ușor accentuată, mai ales în cazul adaosului oxidic de Bi_2O_5 și V_2O_5 .

Între $900-1200^{\circ}C$ nuanțele compușilor cu Ta_2O_5 , Bi_2O_5 și Sb_2O_5 sunt cele mai stabile termic pentru raportul molar $0,25 : 1$ al $NiO : TiO_2$, variind doar cu $1,28 ; 1,30$ respectiv $1,58$ nm.

Pigmentii obținuți cu adaos de Nb_2O_5 și V_2O_5 au termorezistență ceva mai slabă. Diferența de nuanță fiind de $3,55$ respectiv $3,65$ nm.

Compușii cu adaos de Sb_2O_5 și Ta_2O_5 , pentru raportul $NiO : TiO_2$ de $1 : 1$, au cea mai ridicată termorezistență. Nuanța acestora prezintă o variație de $1,04$, respectiv $1,75$ nm. Lor li se alătură compusul cu adaos de Nb_2O_5 ($0,80$ nm). În schimb scade termorezistența compușilor cu Bi_2O_3 , marcată prin diferență de nuanță de $2,94$ nm și cu $7,12$ nm, pentru pigmentul preparat cu V_2O_5 .

Pigmentii preparați în sistemul $2NiO-TiO_2$ prezintă variații ale nuanței cu temperatura în mod diferit, pricinuite de felul adaosului oxidic. Astfel, compușii cu adaos de Bi_2O_5 și Ta_2O_5 , preparați între 900 și $1200^{\circ}C$, au nuanțe care diferă cu $1,46 ; 1,90$ nm. Variația cea mai mare de $2,48$ nm prezintă compusii cu Sb_2O_5 .

Cantitativ nuanțele pigmentilor în sistemul $NiO \cdot TiO_2 \cdot uM_2O_5$ se deosebesc prin conținutul în galben exprimat numeric de valoarele Δb și prin proporția roșu/verde exprimată prin valorile Δa , consecință în tabele. Proportia galben și roșu/verde corectează numeric ordinea fixată de valorile lungimii de undă dominantă - λd . Astfel, conținutul în galben cel mai ridicat îl au compozitoriile în care raportul $NiO : TiO_2$ este $0,25 : 1$, cu adaos de Nb_2O_5 , B_2O_5 și Ta_2O_5 , iar conținutul în verde cel mai ridicat îl au pigmentii conținând gruparea Sb_2O_5 , Ta_2O_5 și Nb_2O_5 . Proporția dintre aceste valori primare determină valoarea lungimii de undă dorință. Conținutul în galben cel mai scăzut și în roșu cel mai ridicat îl au compozitoriile preparate cu V_2O_5 , urmate de cele cu Bi_2O_5 . În limitele raportului $0,25 : 1$, cel mai ridicat conținut în galben $37,70\%$ îl are compozitia prepara-

tă cu adaos de Nb_2O_5 la temperatura de $1000^{\circ}C$ (tabelul 14, poziția 4), dar are conținutul în verde -8,35.

Conținutul în verde cel mai ridicat, deci în roșu cel mai scăzut ($\Delta a = -9,31$) caracterizează compozitia preparată cu adaos de Sb_2O_5 la $1000^{\circ}C$ pentru raportul 0,25 : 1 dintre $NiC : TiO_2$ (tabelul 14, poziția 1), a cărei conținut în galben este 35,64. Raportul unităților de culoare verde/galbenă influențează specific nuanța galbenă. Cu cît acest raport crește se accentuează efectul hipsochrom al culorii, este ceea ce se concretizează pentru compozitia cu Nb_2O_5 prin lungimea de undă mai mică 574,09 nm, dată de raportul verde/galben la valoarea 0,26, față de 574,84 nm a compozitiei cu Nb_2O_5 , având raportul 0,21.

Conținutul în roșu cel mai ridicat îl conferă acestor compuși adaosul de V_2O_5 , pentru oricare raport molar dintre $NiO : TiO_2$, valoarea cea mai mare ($\Delta a = 9,55$) caracterizând compusul obținut la $1050^{\circ}C$, pentru raportul 0,25 : 1 dintre $NiC : TiO_2$ (tabelul 15, poziția 3). Conținutul în galben cel mai scăzut ($\Delta b = 1,62$) îl generează compozitia $2NiC \cdot TiO_2$, cu adaos de V_2O_5 , arsă la temperatura de $1400^{\circ}C$.

Pigmenții preparați din compozitii în care raportul $NiO : TiO_2$ este 1 : 1 și 2 : 1 au cel mai ridicat conținut în galben generat în principal de grupările: Bi_2O_5 ; Sb_2O_5 și Ta_2O_5 , care valoric scade cu creșterea temperaturii și cu creșterea conținutului în NiO , cu excepția pigmentului preparat cu adaos de Ta_2O_5 la temperatura de $1200^{\circ}C$ (tabelul 17, poziția 15).

Conținutul cel mai ridicat în galben ($\Delta b = 38,90$; $\Delta a = -7,24$) caracterizează compusul $NiC \cdot TiO_2 \cdot uBi_2O_5$ preparat la $900^{\circ}C$ (tabelul 13, poziția 7),

Conținutul cel mai mare în verde ($\Delta a = -9,34$) îl prezintă pigmentul obținut la $1000^{\circ}C$, în limitele raportului $NiO : TiO_2$ de 1 : 1, cu adaos de Ta_2O_5 (tabelul 13, poziția 10).

Adaosul oxidic afectează specific și saturatia culorii, reflectată în valoarea procentuală a puritatei colorimetrice $-P_C$.

Saturatia culorii pigmenților din sistemul $NiO \cdot TiO_2$ cu adaos oxidic $-Nb_2O_5$ este condiționată complex de conținutul în NiO în raport de TiO_2 , de temperatura sintezei și de natura ionului pentavalent.

În limitele raportului 0,25 : 1 dintre $NiC : TiO_2$ saturatia cea mai ridicată a culorii este determinată de gruparea Sb_2O_5 , pentru compușii obținuți la temperaturile: $1100, 1200^{\circ}C$, respectiv 76,73% (tabelul 17, poziția 1) și de gruparea Nb_2O_5 la temperaturile

de: 900,1000 și 1050°C la valorile: 63,96% (tabelul 13, poziția 4), 74,27% (tabelul 14, poziția 4), respectiv 75,87% (tabelul 15, poziția 4), iar cea mai mică 14,00% conferită de gruparea V₂O₅ la temperatura de 1400°C (tabelul 18, poziția 3).

In limitele raportului 1 : 1 al oxizilor NiO : TiO₂ gruparea Bi₂O₅ și Sb₂O₅ asigură saturăția culorii pigmentelor în cel mai mare procentaj. Astfel, se distinge adăosul Bi₂O₅ în compusii realizate la temperaturile: 900,1000,1050 și 1400°C.

Saturăția maximă este de 85,60% pentru compozitia preparată cu adăos de Bi₂O₅ la temperatura de 1050°C (tabelul 15, poziția 7).

Pigmenți obținuți din compozitii în care raportul oxizilor NiO : TiO₂ este 2 : 1 cu adăosuri de pentoxizi prezintă saturăția maximă 88,03%, pentru gruparea Ta₂O₅, în compusul pirosintetizat la 900°C (tabelul 13, poziția 15) și la 1200,1400°C. Pentru ceilalți compusi saturății la valorile: 77,82; 75,32 și 73,80% condiționează adăosurile: Bi₂O₅, Nb₂O₅ și Sb₂O₅ pentru compozitiile arse la 1000,1050 respectiv 1100°C.

Luminozitatea pigmentelor din sistemul NiO.TiO₂ preparați cu adăosuri de pentoxizi diferă în funcție de aceiași factori: raportul molar al oxizilor de bază, valoarea temperaturii la care se execută sinteza și natura cationului din adăosul oxidic. Astfel, luminozitatea scade cu creșterea conținutului în oxid de nichel în compozitii și cu creșterea temperaturii de sinteză. Ceea ce diferențiază luminozitatea față de parantezi de mai sus este gruparea oxidică - V₂O₅. În toate compozitiile adăosul de V₂O₅ condiționează cea mai scăzută luminozitate pigmentelor, între 47,54% (tabelul 13, poziția 3) și 26,64% (tabelul 15, poziția 13), urmată în majoritatea cazurilor de gruarea Nb₂O₅.

Luminozitatea de 83,73%, cea mai mare, o conferă adăosul Bi₂O₅ compușilor oxidici obținuți la temperatura de 900°C (tabelul 13, poziția 2), apoi Sb₂O₅ la temperatura de 1000°C (tabelul 14, pozițiile 1,6 și 15), iar pentru celelalte temperaturi adăosul Sb₂O₅, alternând cu gruparea Ta₂O₅, în deosebi pentru temperaturile de 1050, 1100 și 1200°C și pentru raportul NiO : TiO₂ de 1 : 1 și 2 : 1.

Valoarea diferenței totale de culoare - Δ E- a pigmentelor pe bază de NiO.TiO₂ crește cu creșterea raportului molar dintre oxizii respectivi și este influențată de natura adăosului oxidic. Cea mai mare valoare a acestei caracteristici o prezintă compusul preparat cu V₂O₅ la temperatura de 1400°C, de 64,56 pentru raportul molar de c,25 : 1 dintre NiO : TiO₂ (tabelul 18, poziție 3), iar cea mai mică 13,54 caracterizează oxidul mixt NiO.TiO₂ preparat la temperatură de

900°C cu adăos de Sb_2O_5 (tabelul 13, poziția 1).

In toate cazurile, adăosurile de V_2O_5 condiționează cele mai ridicate valori ale diferenței totale de culoare, în limitele acelorași compozitii, preparate în aceleași condiții termice, urmat în majoritatea cazurilor, de adăosul Nb_2O_5 , alternând cu Sb_2O_5 și de puține ori cu Ta_2O_5 sau Bi_2O_5 .

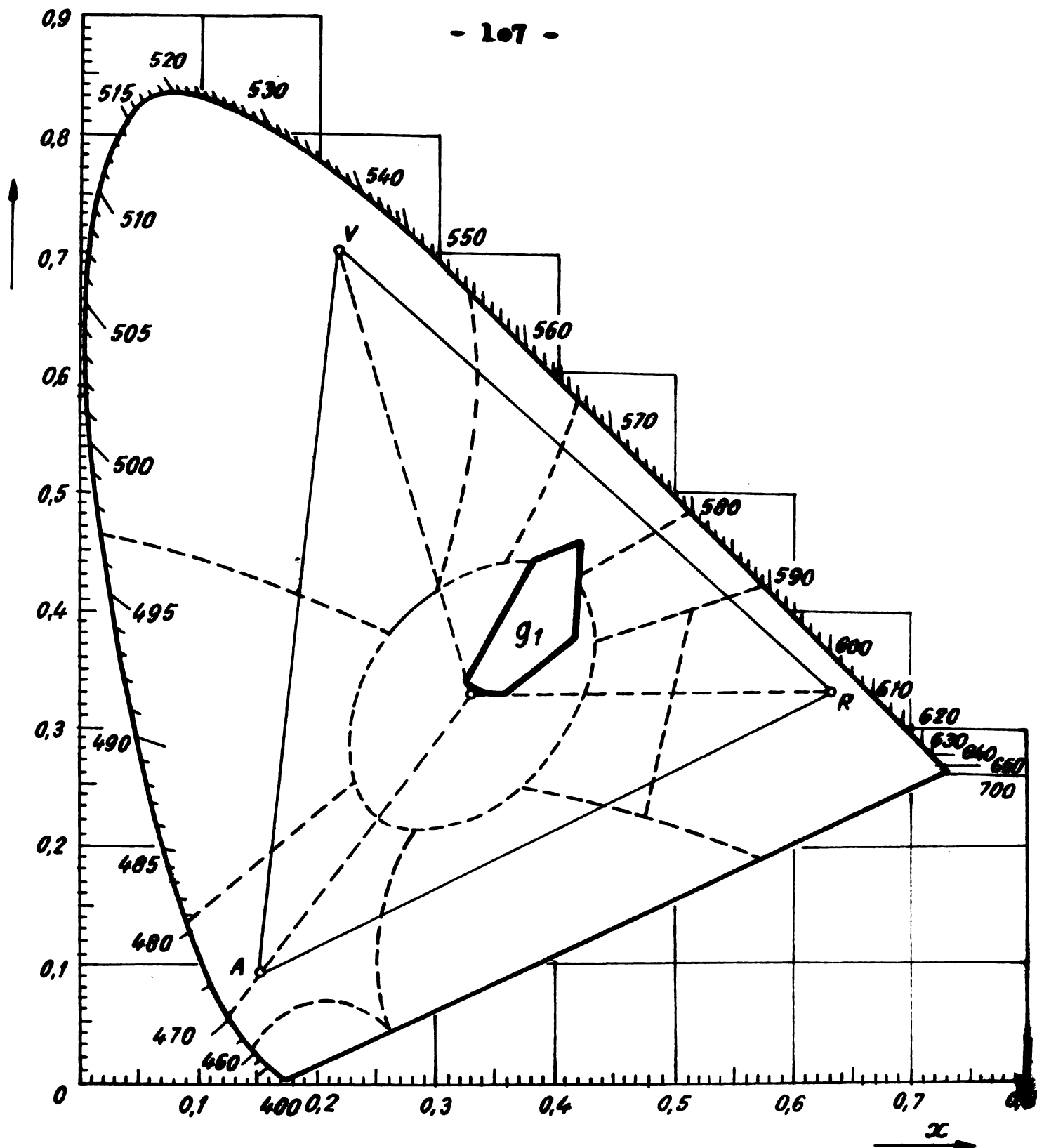
Valoarea diferenței de cromaticitate $-\Delta C-$ a culorii pigmentilor prezintă fluctuații mici în funcție de proporția oxizilor de nichel-titan și de valoarea temperaturii de sinteză. Diferențe mai evidente se constată a fi determinate de felul adăosului oxidic $-M_2O_5-$. Astfel, cele mai ridicate valori ale diferenței de cromaticitate le condiționează adăosul de Bi_2O_5 de: 39,56 (tabelul 13, poziția 7), urmat de Nb_2O_5 , alternând cu Ta_2O_5 . În schimb, cele mai scăzute valori le conferă adăosul de V_2O_5 tuturor compozitiilor de $NiO \cdot TiO_2$ arse la oricare din temperaturile luate în studiu, cea mai mică fiind de 1,89 (tabelul 18, poziția 13).

Caracteristicile de culoare și toate atrăgitorele care precizează proprietățile optice ale sortimentelor de pigmenti rezultă din sistemul $NiO \cdot TiO_2 \cdot M_2O_5$, în condițiile de sinteză menționate, sănătate în diagrama cromaticității în spațiul $-g_1-$ din figura 29.

Repartiția nuanțelor în spațiul g_1 a diagramei cromaticității este dispersă datorită nuanțelor ocre închise și valorii satulației reduse a pigmentilor preparați cu adăos de V_2O_5 , în contrast cu nuanțele galbene și satulația pigmentilor preparați cu Sb_2O_5 și Ta_2O_5 și pentru unele compozitii cu Bi_2O_5 și Nb_2O_5 .

Din analiza valorilor caracteristicilor de culoare ale pigmentilor preparați cu adăosuri de pentoxizi se constată că, deși cantitativ proporția de 5% a adăosului oxidic este mică față de proporția componentilor oxidici de bază: NiO și TiO_2 , luați în raporturi molare diferite, totuși specificul lui individualizează pregnant proprietățile optice ale pigmentului, pentru aceleași condiții de sinteză și le diferențiază, într-o anumită măsură, în funcție de valoarea temperaturii de sinteză.

Datele experimentale atestă rolul adăosurilor oxidice respective în mecanismul intim al formării culorii acestor pigmenti, afectând selecția radiatiilor din domeniul galben al spectrului.



**Figura 29.-Distribuția nuanțelor galbene-ocru
ale pigmentilor $\text{NiO} \cdot \text{TiO}_2 \cdot \text{uM}_2\text{O}_5$
- spațiul - g_1 - în diagramea cromaticității C.I.E.**

3.2.2.-Studiul structurii pigmentilor $\text{NiO} \cdot \text{TiO}_2 \cdot \text{uM}_2\text{O}_5$

Structura cristalină, forma și distribuția granulelor trică a particulelor de pigmenti în sistemul $\text{NiO} \cdot \text{TiO}_2 \cdot \text{uM}_2\text{O}_5$ s-a studiat pe compușii rezultați din sintezele executate la 1000°C , cu palier de 3 ore, din compozitiile în care raportul molar $\text{NiO} : \text{TiO}_2$ a fost

de 1 : 1, adaosul oxidic M_2O_5 de 5%, iar fondantul -NaCl- de 3%.

In figura 30 sunt prezentate liniile de difracție RX ale pigmentilor mai sus menționati.

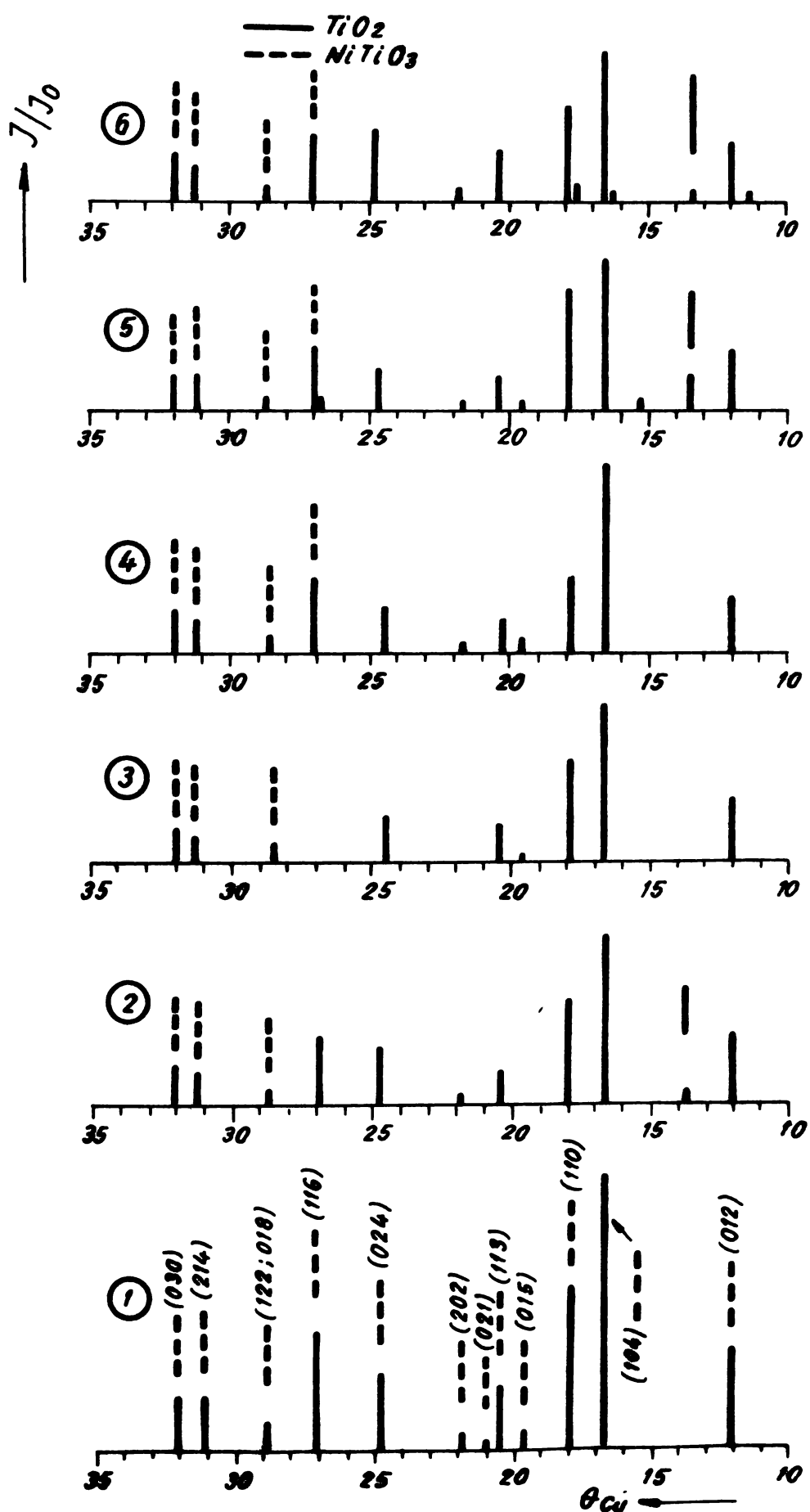


Figura 30.-Liniile de difracție RX ale pigmentelor
 $NiO \cdot TiO_2 \cdot um_2O_5$ pirosintetizați la $1000^{\circ}C$,
 palier 3 ore:

- 1.adaos Sb_2O_5 -etalon; 2.adaos Sb_2O_5 ; 3.adaos Bi_2O_5
- 4.adaos V_2O_5 ; 5.adaos Nb_2O_5 ; 6.adaos Ta_2O_5 .

Intensitatea relativă a liniilor de difracție s-a calculat în raport cu cele corespunzătoare spectrului RX al pigmentului $\text{NiO} \cdot \text{TiO}_2$, preparat în aceleasi condiții, dar cu adăos de Sb_2O_3 , prezentat în figura 19.

Observațiile care se desprind din analiza acestor spectre sint:

- spectrele RX ale pigmentelor preparați cu adăos de Sb_2O_3 , Bi_2O_5 și V_2O_5 prezintă în exclusivitate liniile de difracție specifice oxidului mixt $\text{NiO} \cdot \text{TiO}_2$, identice cu ale structurii cristaline a ilmenitei cu singonie romboedrică, ceea ce înseamnă că reacția chimică dintre componentii oxidici este totală și a rezultat un singur compus definit;

- pigmentii preparați cu adăos de Sb_2O_5 , Nb_2O_5 și Ta_2O_5 conduc la același oxid mixt $\text{NiO} \cdot \text{TiO}_2$, dar reacția nu-i totală, identificindu-se o linie de reflexie cu intensitate mică, ce corespunde radiației difractate pe planul reticular (110) al TiO_2 , forma alotropă rutil, la unghiul de $13,5^\circ$;

- pulberile de pigmenti analizate roentgenografic nu prezintă linii de reflexii RX specifice adaosului oxidic folosit în sinteze;

- cristalinitatea pulberilor de pigmenti diferă. Cel mai ridicat grad de cristalinitate al particulelor îl prezintă compușii preparați cu adăos de Sb_2O_3 , urmati de cei cu V_2O_5 , ceilalți compuși având gradul de cristalinitate ceva mai scăzut și aproximativ același.

Studiul IR al pigmentelor $\text{NiO} \cdot \text{TiO}_2 \cdot \text{uM}_2\text{O}_5$ pirosintetizați prin termotratament izocron -3 ore - la temperaturile de 1000 și 1400°C confirmă structura cristalină de tipul ilmenitei, pentru oxidul mixt $\text{NiO} \cdot \text{TiO}_2$, în cazul raportului molar de $1 : 1$ dintre oxidul de nichel și dioxidul de titan, cu adăosul de oxizi ai elementelor pentavalente /163/.

Structura cristalină specifică ilmenitei este caracterizată în spectrul IR printr-un balier la 685 cm^{-1} și prin două benzi de absorbție la 560 și 460 cm^{-1} /44,167/.

In figura 31 sunt prezentate spectrele IR ale pigmentelor $\text{NiO} \cdot \text{TiO}_2 \cdot \text{uM}_2\text{O}_5$, sintetizați la 1000 și 1400°C cu balier de 3 ore.

In spectrele IR prezentate, apartinând pigmentelor pirosintetizați la temperatura de 1000°C se remarcă o ușoară perturbare a poziției benzilor de absorbție, consecintă gradului de conversie

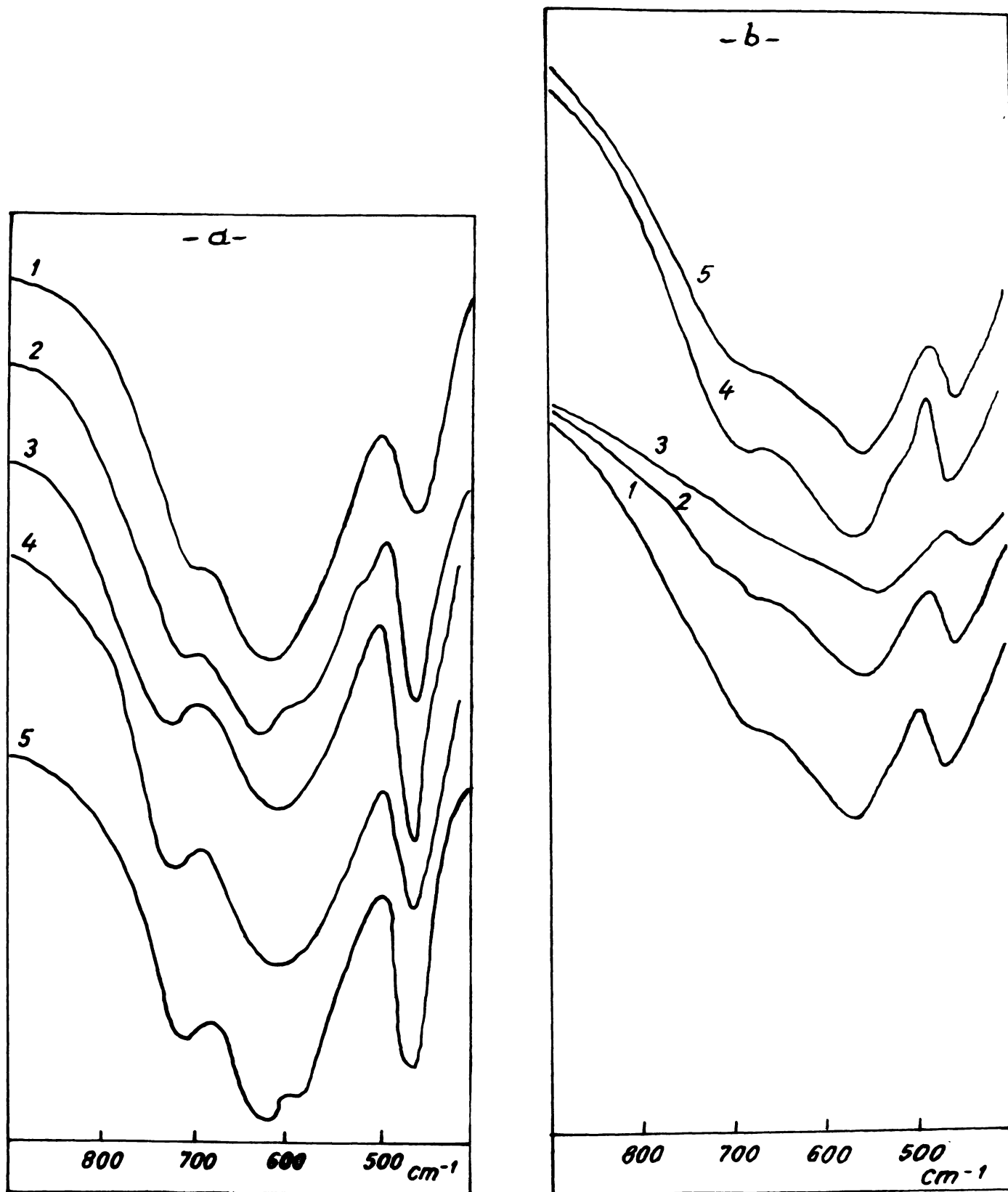


Figura 31.- Spectrele IR ale pigmentelor $\text{NiO} \cdot \text{TiO}_2 \cdot u\text{M}_2\text{O}_5$:

- a. pirosintetizati la 1000°C , palier 3 ore;
- b. pirosintetizati la 1400°C , palier 3 ore;
- 1. $\text{NiO} \cdot \text{TiO}_2 \cdot u\text{Nb}_2\text{O}_5$;
- 2. $\text{NiO} \cdot \text{TiO}_2 \cdot u\text{Bi}_2\text{O}_5$;
- 3. $\text{NiO} \cdot \text{TiO}_2 \cdot u\text{V}_2\text{O}_5$;
- 4. $\text{NiO} \cdot \text{TiO}_2 \cdot u\text{Nb}_2\text{O}_5$;
- 5. $\text{NiO} \cdot \text{TiO}_2 \cdot u\text{Ta}_2\text{O}_5$.

diferit în oxidul mixt format, pricinuit de specificitatea pentoxidului, determinată de raza și electropozitivitatea cationului pentavalent și de fuzibilitatea sa. Aceste devieri sunt caracteristice compusilor neizomorfi heterovalenți conținând același anion, pentru care domeniul de absorbție de înaltă frecvență rămîne același, dar intensitatea, numărul și poziția benzilor pot fi modificate.

Din datele experimentale oferite de aceste spectre și observind atent sensul devierii benzilor se constată o concordanță cu considerațiile făcute de Tarte /170/.

Din figura 3la se remarcă ușoare devieri ale palierului și benzilor de absorbție spre numere de undă mai mari, fapt explicat prin influențări diferențiate ale vibrațiilor de valență v_3 , asociate vibrațiilor de deformație v_4 ale octaedrului oxizilor coexistenți în compozitii /171/. Aceste particularități structurale nu apar la oxizii micști sintetizați la 1400°C , figura 3lb, cînd se formează un singur compus definit cu structura cristalină a ilmenitei. Temperatura înaltă facilitează fenomenul difuziei ionice, permitînd o distribuție statistică a cationilor în pozițiile preferențiale ale structurii cristaline definite.

Spectrele IR ale pulberilor de pigmenti 1-4 marchează mici devieri ale benzilor de absorbție spre numere de undă mai mari, în schimb palierul se situează la valori mai mici ale numerelor de undă: 675 cm^{-1} față de 685 cm^{-1} ale metatitanatului $-\text{NiTiO}_3-$ /44, 167/.

Devierea palierului spre numere de undă mai mici se reflectă, parțial, în închiderea nuanței pigmentilor obținuți la temperatură de 1400°C (tabelul 18, pozitiiile 6-10), în comparație cu cei sintetizați la temperatura de 1000°C (tabelul 14, pozitiiile 6-10).

In scopul aprecierii formei și mărimei particulelor de pigmenti preparați cu adăos oxidic $-\text{M}_2\text{O}_5-$ s-au analizat prin microscopie electronică pigmentii cu adăos de Bi_2O_5 și Nb_2O_5 , iar prin microsonde electronică pigmentul cu adăos de V_2O_5 , mîrurătite prin mojarare.

In figura 33 este prezentată microfotografia particulelor pulberii de pigment $\text{NiO} \cdot \text{TiO}_2 \cdot \text{uBi}_2\text{O}_5$, sintetizat la loco $^{\circ}\text{C}$, cu palier de 3 ore (tabelul 14, poziția 7).

Particulele au, în general, formă rombică neuniformă, cu colțurile rotunjite și suprafețe netede. Diametrul mediu al particulelor, în proporție de 76%, este cuprins între 1,3 și 3,3 microni.



Figura 32.-Imaginea de microscopie electronică a pigmentului $\text{NiO} \cdot \text{TiO}_2 \cdot \text{uBi}_2\text{O}_5$; $\times 3000$.

Forma și mărimea particulelor pigmentului $\text{NiO} \cdot \text{TiO}_2 \cdot \text{uNb}_2\text{O}_5$, preparat în aceleasi condiții, (tabelul 14, poziția 9) este redată în microfotografia din figura 33.

Forma particulelor este alungită, colțurile sunt rotunjite și suprafețele netede. Particulele alungite au o distribuție aproximativ uniformă. Lungimea particulelor este în jur de 2 microni, iar grosimea în jur de 0,9 microni. Particulele de formă aproksimativ sferică sunt distribuite pe un interval cuprins între 1 și 2,3 μ .

Abaterea de la forma rombică a particulelor nu face amănă cu adaosul Nb_2O_5 , adăugat compozitiilor nu ar conduce la același oxid mixt - $\text{NiO} \cdot \text{TiO}_2$ - rezultat din reacție ci denotă o textură moale a pigmentului care în timpul mărunțirii prezintă o rotunjire facilă a colțurilor. De altfel, spectrele RX și IR ale acestui pigment sunt practic identice cu ale celorlalți compuși similari preparați cu adaos oxidic $-\text{M}_2\text{O}_5-$.



Figura 33.-Imaginea de microscopie electronică a pigmentului $\text{NiO} \cdot \text{TiO}_2 \cdot \text{UV}_2\text{O}_5$; $\times 10.000$.



a $\times 10.000$

b $\times 20.000$

Figura 34.-Microfotografiile pulberii pigmentului $\text{NiO} \cdot \text{TiO}_2 \cdot \text{UV}_2\text{O}_5$, realizate cu microscopie electronică.

Pulberea pigmentului $\text{NiO} \cdot \text{TiO}_2 \cdot \text{UV}_2\text{O}_5$ (tabloul 14, ciz:ia 5)

a fost analizată prin metoda cu microsondă electronică la grosimea de 10.000 și 20.000. Microfotografiile particulelor sunt prezentate în figura 34.

Observarea microfotografiilor permite aprecierea clară a formei rombice a particulelor și distribuție granulometrică în limite foarte înguste pentru acest pigment.

3.3.-SINTEZA SI STUDIUL PIGMENTILOR IN SISTEMUL NiO.TiO₂.uMO₃

Possibilitatea de diversificare a paletelor de culori in sistemul oxidic NiO.TiO₂ prin simplul adăos de 5% al unor oxizi metalici cu grad de oxidare superior reactanților principali, în baza "izomorfismului heterovalent", a impus studiul sintezei și proprietăților fizice ale acestor pigmenti, folosind oxizii metalelor din grupa VI B a sistemului periodic. Pornind de la faptul cunoscut că la metalele tranzitionale puterea oxidantă a stărilor superioare de valență crește în perioada de la stînga spre dreapta și scade în grupă de sus în jos s-a urmărit în acest subcapitol implicatia adăosului din oxizii: Cr₂O₃, CrO₃, MoO₃ și WO₃ asupra proprietăților optice și structurii pigmentilor NiO.TiO₂.uMO₃ piro-sintetizați în intervalul temperaturilor 900-1400°C, cu pelier de 3 ore, pentru raporturile molare: 0,25:1; 1:1 și 2:1 și în prezența clorurii de sodiu folosită în proporție de 3%. Datele experimentale obținute se pot constitui ca argumente pentru considerațiile teoretice privind dezvoltarea culorii în acești compuși.

Detaliile operațiilor de preparare ale acestor sortimente de pigmenti au fost comune și similare cu cele descrise în capitolul 2.

Ionii de Cr⁶⁺ au fost furnizați în compozitii din adăosul de trioxid de crom și bicromat de sodiu în timpul desfășurării procesului termic, iar ionii Mo⁶⁺ și W⁶⁺ de trioxizii respectivi.

3.3.1.-Caracteristicile de culoare ale pigmentilor NiO.TiO₂.uMO₃ în funcție de condițiile sintezei

Informațiile cu privire la caracteristicile de culoare ale pigmentilor NiO.TiO₂.uMO₃ obținuți prin reacția în stare solidă a amestecului intîmpințat al puținerilor fine ale reactanților oxidici respective, la temperaturile 900-1400°C se desprind din datele tabelelor 19-24.

Urmarind valoarea celor trei atrăgute ale culorii; nuanță, saturatie și luminozitate, consignate în tabele, și observând atent efectul adăosului oxidic, în limitele aceluiși raport molar NiO:TiO₂, în funcție de temperatură, asupra mărimi și direcției schimbării diferenței de culoare ale pigmentilor preparați, față de valorile

Tabelul 19

Caracteristiciile de culoare ale pigmentelor din sistemul $\text{MnO}_2\text{-W}_O_3$ prezentate în 900°C - palier 3 ore-

Nr. crt.	Reactant shimber molt. mol/l	MnO_2 W_O_3 %	Caracteristiciile de culoare														
			Componentele cuiorii			Coordonatele triaromaticice			λ_{d} , nm			$\rho_{\%}\text{g}^*$			I		
			X	Y	Z	x	y	z	/nm	/nm	/nm	/nm	/nm	/nm	Δa	Δb	ΔE
0	1	2	3	4	5	6	7	8	9	10	11	12	13	14	15	16	
1.	1	0,25	MnO_2	W_O_3	26,4	26,7	11,0	0,412	0,417	578,24	63,96	51,67	-40,93	1,33	22,95	46,33	22,99
2.	1	0,25	MnO_2	W_O_3	39,0	39,9	17,4	0,405	0,414	577,63	63,85	63,17	-28,73	0,15	27,29	39,63	27,29
3.	1	0,25	MnO_2	W_O_3	34,9	34,0	10,8	0,438	0,427	579,88	72,43	50,30	-33,59	5,29	29,25	44,85	29,71
4.	1	0,25	W_O_3	MnO_2	65,0	70,3	31,1	0,391	0,423	574,67	63,72	83,85	-8,05	-7,97	36,11	37,84	36,48
5.	1	1	MnO_2	W_O_3	22,2	22,5	7,9	0,422	0,428	578,10	68,75	47,43	-44,46	1,12	22,73	49,95	22,76
6.	1	1	MnO_2	W_O_3	25,8	26,3	8,7	0,424	0,433	577,83	72,90	51,28	-40,61	0,69	25,24	47,83	25,25
7.	1	1	W_O_3	MnO_2	23,5	22,3	8,5	0,434	0,412	581,28	68,47	47,22	-44,68	6,75	22,04	50,27	23,05
8.	1	1	W_O_3	MnO_2	47,9	50,0	13,1	0,432	0,451	576,81	78,93	70,71	-21,19	-2,38	37,91	43,50	37,99
9.	1	2	MnO_2	W_O_3	17,6	18,2	7,4	0,407	0,421	577,10	65,48	42,66	-49,24	-0,39	18,98	52,77	18,99
10.	1	2	MnO_2	W_O_3	19,9	20,7	7,9	0,410	0,427	576,83	68,64	45,50	-46,40	-0,94	20,96	50,92	20,98
11.	1	2	W_O_3	MnO_2	18,5	18,1	7,5	0,420	0,419	579,91	63,02	42,54	-49,35	3,77	18,73	52,92	19,11
12.	1	2	W_O_3	MnO_2	36,9	39,0	10,6	0,427	0,451	576,27	7,78	62,45	-29,45	-3,31	33,05	44,39	33,22

Tabelul 22.

Caracteristicele de culoare ale pigmentilor din sistemul $\text{MnO}_2-\text{MnO}_3$ proiectatizati la 1000°C - palier 3 ore-

Nr. crt.	MnO_2 moli	MnO_3 moli	Caracteristicele de culoare													
			Reactantul obiect	MnO_3 componentele cumaratii	MnO_3 tricromatice	λ_{abs} nm	P_{abs} %/e.	ΔL	Δa	Δb	ΔE	$\Delta \alpha$	$\Delta \sigma$			
0	1	2	3	4	5	6	7	8	9	10	11	12	13	14	15	16
1.	1	0,25	Cr_2O_3	21,3	21,0	8,9	0,416	0,410	579,55	63,04	45,82	-47,07	3,36	19,79	50,33	20,25
2.	1	0,25	Cr_2O_3	27,6	27,4	11,0	0,418	0,415	579,16	60,11	52,34	-39,55	3,06	23,59	46,15	23,78
3.	1	0,25	MnO_3	34,7	34,5	11,6	0,430	0,427	579,00	70,49	58,74	-33,16	3,17	28,81	44,04	28,98
4.	1	0,25	MnO_3	55,3	60,6	17,5	0,419	0,451	575,44	76,87	77,85	-14,05	-6,72	40,97	43,46	41,12
5.	1	1	Cr_2O_3	16,1	16,0	6,6	0,415	0,415	578,81	64,13	40,00	-51,90	2,03	17,62	54,84	17,74
6.	1	1	Cr_2O_3	17,1	17,1	6,3	0,422	0,422	578,76	67,70	41,35	-50,55	2,07	19,32	54,15	19,43
7.	1	1	MnO_3	23,2	22,5	8,5	0,428	0,415	580,25	67,53	47,43	-44,46	4,86	21,98	49,84	22,51
8.	1	1	MnO_3	44,9	46,9	13,4	0,427	0,446	575,76	75,90	68,48	-23,42	-2,36	35,74	42,79	35,82
9.	1	2	Cr_2O_3	12,2	12,5	6,3	0,394	0,403	577,33	56,05	35,36	-56,54	0,39	13,99	58,16	13,59
10.	1	2	Cr_2O_3	15,0	15,3	6,4	0,409	0,417	577,79	65,39	39,12	-52,78	0,64	17,08	55,48	17,09
11.	1	2	MnO_3	19,7	19,4	8,1	0,415	0,411	579,60	62,36	44,05	-47,85	3,36	19,33	51,72	19,16
12.	1	2	MnO_3	28,4	29,8	7,9	0,430	0,451	576,58	78,67	54,99	-37,32	-2,13	29,04	47,32	29,11

Tabelul 21

Caracteristicele de culoare ale pigmentilor in sistemul $\text{MnO}_2\text{-TiO}_2\text{-WMO}_3$ prezentate la 1050°C - palier 3 ore

Nr. ord. e	TiO_2 moli	MnO_2 moli	WMO_3 %	Reacție 11				Caracteristicele de culoare								
				X	Y	Z	Componentele culoare culoare	Cordonatale triunghiurii	λ_d , nm	P_{O_2} , %	L	ΔL	Δa	Δb	ΔE	
0	1	2	3	4	5	6	7	8	9	10	11	12	13	14	15	16
1.	1	0,25	Cr_2O_3	16,6	16,1	7,6	0,412	0,400	530,61	64,31	40,12	-51,77	4,25	16,26	54,43	16,81
2.	1	0,25	Cr_2O_3	24,0	23,4	8,3	0,431	0,420	579,93	69,34	48,37	-43,53	4,47	23,09	49,47	23,52
3.	1	0,25	MnO_3	33,7	33,6	10,6	0,433	0,431	578,83	72,21	57,96	-33,93	2,84	29,14	44,82	29,27
4.	1	0,25	WMO_3	52,5	55,9	14,5	0,428	0,456	575,99	76,91	74,77	-17,13	-5,07	40,40	44,17	40,72
5.	1	1	Cr_2O_3	14,2	14,2	6,1	0,412	0,412	578,83	62,70	37,70	-54,22	1,97	16,18	56,62	16,30
6.	1	1	Cr_2O_3	16,2	16,3	6,2	0,419	0,421	578,48	66,58	40,37	-51,53	1,60	18,56	54,79	18,63
7.	1	1	MnO_3	28,1	27,8	7,7	0,442	0,437	577,80	83,81	52,72	-51,53	3,40	27,65	58,58	27,87
8.	1	1	WMO_3	35,2	35,9	8,0	0,445	0,454	577,80	82,13	59,92	-31,38	0,52	33,43	46,27	33,43
9.	1	2	Cr_2O_3	21,0	21,1	5,8	0,394	0,398	578,45	54,79	33,32	-58,58	1,39	12,40	59,90	12,47
10.	1	2	Cr_2O_3	14,3	14,5	6,2	0,407	0,416	577,75	64,86	38,21	-53,69	0,58	16,53	56,18	16,54
11.	1	2	MnO_3	19,8	19,9	7,6	0,419	0,420	578,53	66,52	44,61	-47,29	1,76	20,53	51,58	20,60
12.	1	2	WMO_3	28,4	29,7	8,1	0,429	0,449	576,22	70,41	54,50	-37,40	2,44	28,74	47,23	28,84

Tabelul 22

Caracteristicile de culoare ale pigmentilor in sistemul $\text{MnO}_2\text{-TiO}_2\text{-WNO}_3$, prezentatizat
in 1100⁰C - palier 3 ore

Nr. crt.	Reagentii chimici			Caracteristicile de culoare												
	TiO_2 moli	MnO_2 moli	WNO_3 %	X	Y	Z	X	Y	10	9	11	12	13	14	15	16
0	1	2	3	4	5	6	7	8	9	10	11	12	13	14	15	16
1.	1	0,25	Cr_2O_3	15,2	14,7	7,4	0,408	0,394	580,84	57,23	38,34	-53,56	4,30	14,79	55,73	15,41
2.	1	0,25	Cr_2O_3	20,3	19,8	9,1	0,413	0,402	580,21	60,67	44,50	-47,40	4,15	18,43	51,03	18,89
3.	1	0,25	MnO_3	58,0	38,6	14,8	0,416	0,422	578,00	68,35	62,13	-29,77	0,94	28,77	41,41	28,78
4.	1	0,25	WO_3	54,00	57,6	17,4	0,419	0,447	575,80	75,65	75,96	-15,94	-5,61	38,99	42,50	39,39
5.	1	1	Cr_2O_3	13,5	13,4	6,1	0,409	0,406	579,27	60,67	36,61	-55,29	2,42	15,14	57,38	15,34
6.	1	1	Cr_2O_3	13,9	13,8	6,0	0,413	0,410	579,22	62,39	37,15	-54,75	2,43	15,83	57,05	16,01
7.	1	1	MnO_3	29,4	29,2	8,1	0,441	0,438	578,95	75,45	54,03	-37,86	3,08	28,34	47,39	28,51
8.	1	1	WO_3	38,5	39,8	11,6	0,428	0,443	577,20	69,92	63,09	-28,81	-9,81	32,66	43,57	32,68
9.	1	2	Cr_2O_3	10,3	10,4	5,7	0,390	0,394	578,43	52,70	32,09	-59,80	2,36	11,34	60,92	11,58
10.	1	2	Cr_2O_3	12,3	12,5	6,0	0,399	0,406	578,00	60,12	35,35	-56,54	0,89	14,09	58,28	14,12
11.	1	2	MnO_3	20,2	20,4	7,5	0,420	0,428	578,29	67,65	45,17	-46,73	1,39	21,17	51,22	21,22
12.	1	2	WO_3	25,1	26,2	7,2	0,429	0,448	576,80	77,85	49,70	-40,20	-1,99	22,26	47,75	22,35

Tabelul 23

Caracteristicile de culoare ale pigmentilor din sistemul $\text{MnO}_2\text{-TiO}_2\text{-WO}_3$ prezentati la 1200°C - parter 3 are-

nr. sir.	Reactantii chimici				Caracteristicile de culoare											
	TiO_2 mol/l	MnO_2 mol/l	WO_3 %	Coordonatele tridimensionale circulari	λ_d , /nm/	F_{e} , %/	ΔL	Δa	Δb	ΔE	$\Delta \theta$					
0	1	2	3	4	5	6	7	8	9	10	11	12	13	14	15	16
1.	1	0,25	Cr_2O_3	11,7	11,4	6,8	0,391	0,381	580,82	49,35	33,76	-58,14	3,42	11,10	59,82	11,62
2.	1	0,25	Cr_2O_3	18,7	18,0	9,2	0,407	0,392	581,54	56,69	42,43	-49,47	5,03	16,24	52,31	17,05
3.	1	0,25	MnO_3	34,0	34,6	11,1	0,427	0,434	577,90	73,71	58,82	-33,08	0,75	29,39	44,25	29,40
4.	1	0,25	WO_3	47,1	50,5	14,3	0,421	0,451	575,62	77,31	71,06	-20,84	-5,60	37,22	43,02	32,64
5.	1	1	Cr_2O_3	13,5	13,3	7,5	0,394	0,388	576,10	62,70	36,46	-55,43	2,91	12,74	56,95	13,07
6.	1	1	Cr_2O_3	12,5	12,5	8,5	0,373	0,373	579,13	41,90	35,35	-56,54	1,90	9,90	57,43	10,08
7.	1	1	MnO_3	29,7	30,4	8,8	0,431	0,441	577,64	76,44	55,14	-36,76	0,20	28,53	46,54	28,54
8.	1	1	WO_3	28,5	28,5	9,0	0,432	0,432	578,70	72,12	53,38	-38,51	2,41	26,78	46,97	26,88
9.	1	2	Cr_2O_3	11,1	11,1	7,5	0,374	0,374	579,32	42,26	33,32	-58,58	1,84	9,38	59,36	9,56
10.	1	2	Cr_2O_3	11,0	11,0	8,1	0,365	0,365	579,52	57,24	33,17	-58,73	1,84	8,14	59,32	8,34
11.	1	2	MnO_3	24,9	25,7	9,3	0,416	0,429	577,23	70,28	50,69	-41,20	-0,47	24,01	47,69	24,92
12.	1	2	WO_3	22,0	22,7	8,5	0,414	0,427	577,23	69,22	47,64	-44,25	-0,36	22,18	49,50	22,16

Tabelul 24

Caracteristicile de culoare ale pigmentilor din sistemul NiO-TiO₂-WO₃ pirosintetizati la 1400°C - paliere 3 ore-

Nr.	Reacțienii chimice	Caracteristicile de culoare										
		TiO ₂	NiO	WO ₃	Componențe gălăziorii	Coordonanțe triacromatice	d, /nm/	L*	ΔL	Δa	Δb	ΔE
1.	1	0,25	Cr ₂ O ₃	10,8	10,1	7,0	0,388	0,362	584,54	41,99	34,78	-60,12
2.	1	0,25	CrO ₃	15,1	14,6	9,1	0,389	0,376	581,49	47,50	38,21	-53,69
3.	1	0,25	MoO ₃	27,8	27,7	13,4	0,404	0,402	579,11	58,26	52,65	-39,27
4.	1	0,25	WO ₃	39,4	40,8	11,4	0,430	0,445	577,14	77,38	63,87	-28,02
5.	1	1	Cr ₂ O ₃	23,0	12,5	7,7	0,392	0,377	581,81	48,02	35,35	-56,54
6.	1	1	CrO ₃	15,0	14,5	8,5	0,397	0,378	582,23	49,92	37,81	-54,08
7.	1	1	MoO ₃	18,6	18,1	7,8	0,418	0,407	580,24	63,11	42,54	-49,35
8.	1	1	WO ₃	22,6	22,5	10,3	0,409	0,404	579,60	60,22	47,22	-44,68
9.	1	2	Cr ₂ O ₃	9,2	9,2	6,9	0,390	0,394	578,43	52,70	30,33	-61,87
10.	1	2	CrO ₃	10,1	10,5	7,1	0,367	0,375	577,80	42,15	32,09	-59,81
11.	1	2	MoO ₃	14,6	15,0	8,6	0,382	0,393	577,52	46,54	38,73	-53,17
12.	1	2	WO ₃	18,8	19,1	10,0	0,393	0,399	578,03	56,33	43,70	-48,19

etalonului, se constată variații ale conținutului în galben și roșu - △a- cu semnificații precise care-i diferențiază. Teoretic considerențele sunt puțin explicate. Vizual, fi grupează în pigmenti cu nuante galbene, ocru și ocru închis.

Gruparea Cr_2O_3 , CrO_3 și MoO_3 condiționează nuantele ocru ale pigmentilor respectivi un efect batocrom cu creșterea raportului dintre $\text{NiO} : \text{TiO}_2$ și a temperaturii de sinteză, iar gruparea WO_3 accentuează același efect nuantele galbene ale pulberilor de pigmenti.

Nuantele acestor sortimente de pigmenti sunt precizate cantitativ prin valorile lungimilor de undă dominante: 574,67 nm pentru pigmentul 0,25 $\text{NiO} \cdot \text{TiO}_2 \cdot \text{uWO}_3$ (tabelul 19, poziția 4) și 584,54 nm pentru pigmentul 0,25 $\text{NiO} \cdot \text{TiO}_2 \cdot \text{uCr}_2\text{O}_3$ (tabelul 24 poziția 1).

Valorile saturăției - P_c - și luminozității -L- sunt influențate de aceiași parametrii.

Saturația nuantele pigmentilor crește între 900-1050°C. Cea mai mare asigurind-o gruparea MoO_3 și WO_3 la valorile: 83,81 respectiv 82,13% (tabelul 21, pozițiile 7 și 8). Începând cu temperatura de 1100°C saturația scade, în general, mai accentuat pentru pigmentii preparați cu adaos din compuși ai cromului. Una dintre cauze s-ar putea datora și diferenței de volatilitate dintre adausurile oxidice folosite.

Luminozitatea acestui grup de pigmenti scade cu creșterea temperaturii de sinteză și în general, cu creșterea raportului molar $\text{NiO} \cdot \text{TiO}_2$.

Valorile cele mai mari ale luminozității caracterizează pigmentii preparați cu adaos de WO_3 și MoO_3 la temperaturi cuprinse între 900-1100°C, 83,85 (tabelul 19, poziția 4) exceptând compusii preparați cu MoO_3 la 1200°C (tabelul 24, pozițiile 7 și 11).

Luminozitatea cea mai scăzută o prezintă pigmentii preparați cu adaos de Cr_2O_3 și CrO_3 , pînă la 31,78 (tabelul 24, poziția 1).

Conținutul în galben cel mai ridicat al pigmentilor $\text{NiO} \cdot \text{TiO}_2 \cdot \text{uMO}_3$ îl au cei preparați cu adaos de WO_3 în compozitiile în care raportul $\text{NiO} : \text{TiO}_2$ este 0,25 : 1 și arse între 900-1050°C, cantitatea 40,57 (tabelul 20, poziția 4, temperatură 1000°C), urmată de cei preparați cu MoO_3 . Compușii obținuți cu adaos de Cr_2O_3 și CrO_3 au conținutul în galben mai mic și scade accentuat pe măsură ce temperatura crește, dar mai moderat cu creșterea raportului dintre $\text{NiO} : \text{TiO}_2$.

Nuanța galbenă-lămflie este conferită pigmentilor $\text{0,25NiO} \cdot \text{TiO}_2 \cdot \text{uWO}_3$, prin proporția mai mare de galben și verde ce-l conțin, ultimul marcat prin valoarea negativă pentru Δa .

Pigmentii preparați cu MoO_3 , deși în general au conținutul în galben destul de ridicat ei sunt caracterizați și prin conținut în roșu ridicat, proporția acestora condiționându-le nuanța ocru.

Conținutul în roșu (Δa) al acestui grup de pigmenti crește cu creșterea temperaturii, mai pronunțat la cei proveniți din compozиții în care raportul $\text{NiO} : \text{TiO}_2$ este de $0,25 : 1$ și în special cei cu adăos de oxizi ai cromului și molibdenului. Cel mai ridicat conținut în roșu caracterizează compusii oxidici preparați cu MoO_3 la temperatura de 900°C , valori în unități de roșu de 5,29 și 6,75 (tabelul 19, pozițiile 3 și 7), după care scade. În schimb, cresc valoările conținutului în roșu al pigmentilor preparați cu oxizi ai cromului cu creșterea temperaturii, ajungind la 5,79 și 5,26 (tabelul 24, pozițiile 1 și 6) pentru pigmentii $0,25 \text{ NiO} \cdot \text{TiO}_2 \cdot \text{uCr}_2\text{O}_3$, respectiv $\text{NiO} \cdot \text{TiO}_2 \cdot \text{uCrO}_3$, preparați la 1400°C . Este cunoscut că atât ionii Cr^{3+} cât și Cr^{6+} , în condițiile sintezei, făsă asumă coordonată octaedrică și dezvoltă nuanțe ocru și ocru închis în compusii oxidici formați.

Raportul dintre conținutul în roșu și galben al pigmentilor determină valoarea nuanței acestora. Cu cât raportul $\Delta a/\Delta b$ este mai mare cu atât nuanțele ocru săint mai închise.

Caracteristicile de culoare cu valori cumulative: diferență totală de culoare ΔE și diferență de cromaticitate ΔC , pentru această serie de pigmenti prezintă variații mici cu creșterea temperaturii, în limitele acelorași compozиții.

În figura 35 este delimitat spațiul $-g_2-$ al nuanțelor dezvoltate de sistemul oxidic $\text{NiO-TiO}_2-\text{uMO}_3$ în condițiile de sinteză descrise.

Diferențierea nuanțelor galbene și ocru, rezultat al variației proporției dintre culorile primare: galben-verde, respectiv roșu-albastru este determinată, în primul rînd, de natura adăosului oxidic, care influențează absorbția luminii prin regiospecitatea impusă de localizarea electronilor și interacțiunea lor, influențată de sarcina ionilor din cea de a doua sferă de coordinare a cromoforului principal Ni^{2+} , coordinat octaedric.

Spațiul acoperit de distribuția nuanțelor în dia rama cromaticității CIE $-g_2-$, propriu pigmentilor din sistemul NiO-TiO_2 , preparați cu adăosuri din oxizii superioare ai metalelor tranzicio-

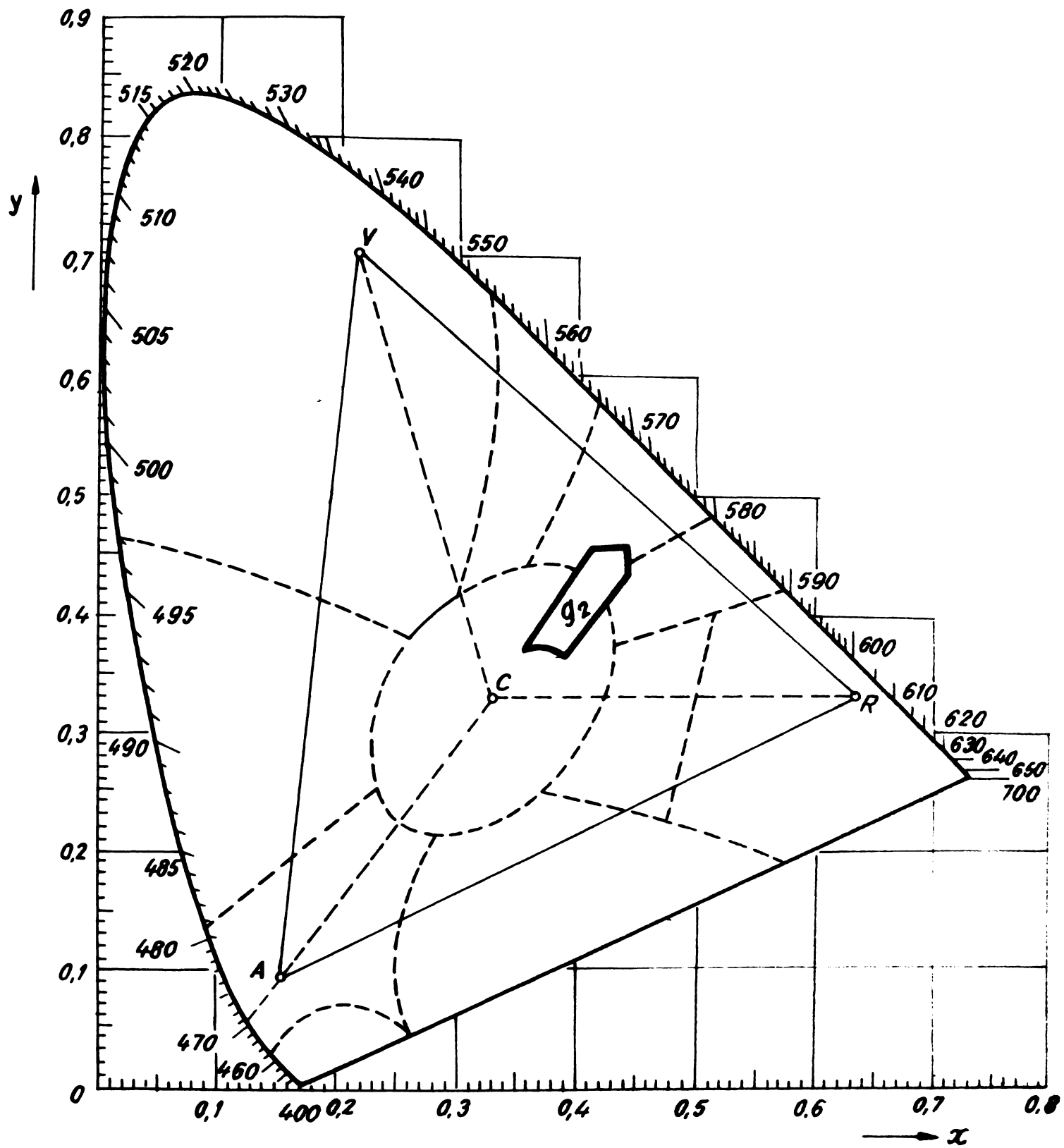


Figura 35.-Distribuția nuanțelor galocene-ocru închise ale pigmentilor $\text{NiO} \cdot \text{TiC}_2 \cdot \text{uMo}_3$ - spațiul g_2 - în diagramea cromaticității CIE.

nale din grupa VI B este mai restrâns decât cel pentru aceiași pigmenti preparați cu oxizi ai elementelor pentavalente. Nuantele acestora sunt grupate într-un spațiu mai limitat al lungimii de undă și saturăției din domeniul galben al spectrului.

Datele experimentale privind caracteristicile de culoare globale ale pigmentilor din sistemul $\text{NiO} \cdot \text{TiO}_2 \cdot \text{uMO}_3$ confirmă că optimă temperatura de 1000°C pentru pirosinteză compozităilor, iar adăsul de WO_3 condiționează dezvoltarea culorii galbene cu cele mai mari valori ale: saturăției, luminosității și conținutului în galben, în timp ce adăsul oxizilor de cronz și molibden le conferă pigmentilor respectivi nuante ocru și ocru închise/172/.

3.3.2. Studiul structurii pigmentilor $\text{NiO} \cdot \text{TiO}_2 \cdot \text{uMO}_3$

Particularitățile cristalochimice, forme și distribuția granulometrică a pulberilor de pigmenti $\text{NiO} \cdot \text{TiO}_2 \cdot \text{uMO}_3$ s-au studiat prin aceleasi tehnici comune de lucru.

In figura 36 sunt prezentate liniile de difracție marcate în spectrele RX ale pigmentilor din sistemul $\text{NiO} \cdot \text{TiO}_2 \cdot \text{uMO}_3$ și al pigmentului etalon preparat cu adăs de Sb_2O_3 .

Liniile de difracție din spectrele acestor pigmenti sunt specifice liniilor spectrului RX al oxidului mixt $\text{NiO} \cdot \text{TiO}_2$, identice cu spectrul structurii cristaline al ilmenitei. Diferența dintre ele, cu mici excepții, constă în valoarea intensității relative a reflexiilor.

Spectrul RX al compusului preparat cu adăs de CrO_3 , poziția 3, diferă mai pregnant în primul caz prin două lini suplimentare de difracție. Radiatiile difracțiate de planele reticulare /110/ și /111/, aparțin rutilului nereactionat.

Gradul de cristalinitate al pigmentului cu CrO_3 este mai mic decât al celorlalți. Cel mai mare grad de cristalinitate îl prezintă pigmentii preparați cu Cr_2O_3 și WO_3 .

In pulberile pigmentilor din sistemul $\text{NiO} \cdot \text{TiO}_2 \cdot \text{uMO}_3$ nu s-au identificat liniile de difracție corespunzătoare adăsului oxidic, din spectrul RX.

Metoda de studiu RX, în condițiile determinării, nu permite constatări evidente ale devierii unghiului Bragg, specific celulei elementare a ilmenitei, în funcție de volumul cationului din oxidul

— TiO_2 - rutil

--- $NiTiO_3$

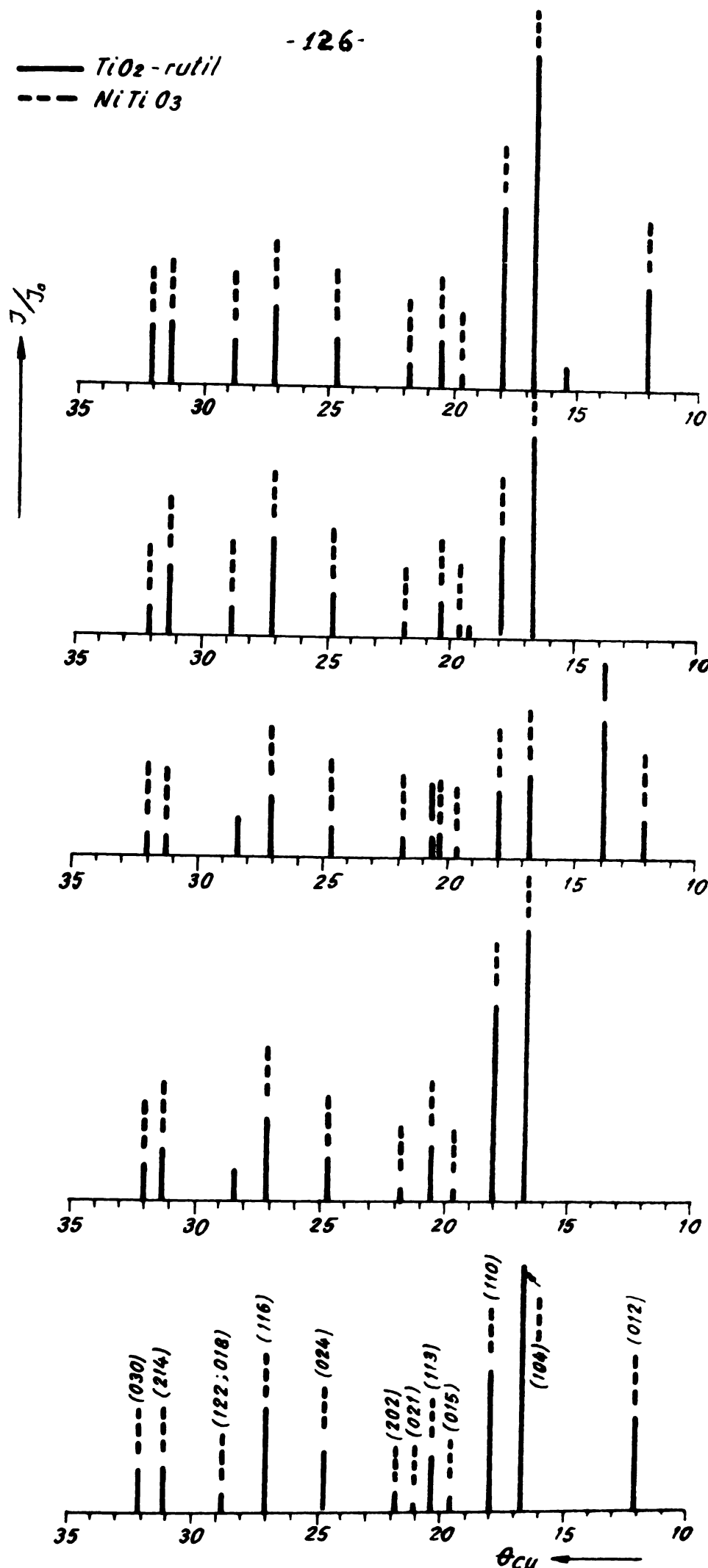


Figura 3c.—Liniile de difracție din spectrele RX ale pigmentelor $NiO \cdot TiO_2 \cdot nMO_3$, pirosintetizați la $1000^{\circ}C$, palier 3 ore:

- 1.pigmentul etalon, adaos de Sb_2O_3 ;
- 2.adaos de Cr_2O_3
- 3.adaos de CrO_3 ;
- 4.adaos de MoO_3 ;
- 5.adaos de WO_3 .

folosit ca adaos, ar influența parametrii strucurali.

Spectrele IR ale acelorași compozitii de pigmenti, obținuți prin pirosinteză pulberilor la temperaturi de 1000°C și 1400°C , prezентate în figura 37, confirmă structura cristalină caracteristică oxidului mixt $\text{NiO} \cdot \text{TiO}_2$, identică structurii ilmenitei, specificată prin benzile de absorbție la 560 și 460 cm^{-1} și palierul de la 685 cm^{-1} .

Considerațiile făcute pentru grupa pigmentilor preparați cu adaos de oxizi ai elementelor pentavalente, privind miciile devieri ale benzilor de absorbție și palierului, precum și semnificația acestora sunt valabile și pentru aceste sortimente de pigmenti preparați cu adaosuri de oxizi ai metalelor din grupa VI B /172/.

Din spectre se poate observa că atât palierul cît și benzile de absorbție ale pigmentului preparat cu WO_3 sunt deviate spre numere de undă mari, ceea ce se constată vizual prin nuantele galbene caracterizate printr-un efect hipsocrom mult mai pronunțat decât al celorlalte compozitii, mai cu seamă pigmentul preparat la 1000°C .

Spectrele IR ale compușilor oxidici rezultați la temperatură de 1400°C sunt caracterizate prin intensități mai mici ale benzilor și devierea palierului spre numere de undă mai mici, marcate prin nuanțe mai închise.

Importanța detaliilor evidențiate de spectrele IR ale pigmentilor studiați devine utilă în argumentarea influenței naturii adosului oxidic și al temperaturii de sinteză asupra caracteristicilor de culoare ale compușilor oxidici obținuți.

Datele oferite prin studiul RX și IR particularizează discret structura pigmentilor din seria $\text{NiC} \cdot \text{TiO}_2 \cdot u\text{WO}_3$ și permit corelarea cu specificitatea caracteristicilor de culoare. Acestea din urmă sunt influențate în mare măsură de forma, finețea și distribuția granulometrică a particulelor, proprietăți determinate prin microscopie electronică și microsonda electronică, prezентate în figurile 38-40.

In figura 38 este prezentată microfotografia particulelor pigmentului $\text{NiO} \cdot \text{TiO}_2 \cdot u\text{WO}_3$.

Constatarea ce se desorinde din imagine este că particulele au formă alungită datăriță rotunjimii colțurilor și cu suprafete netede. Se poate aprecia forma rombică a unor particule.

Distribuția granulometrică a particulelor se extinde între $0,9$ și $3,3 \mu$, pentru proporția de 82% și doar 18% peste $3,3 \mu$.

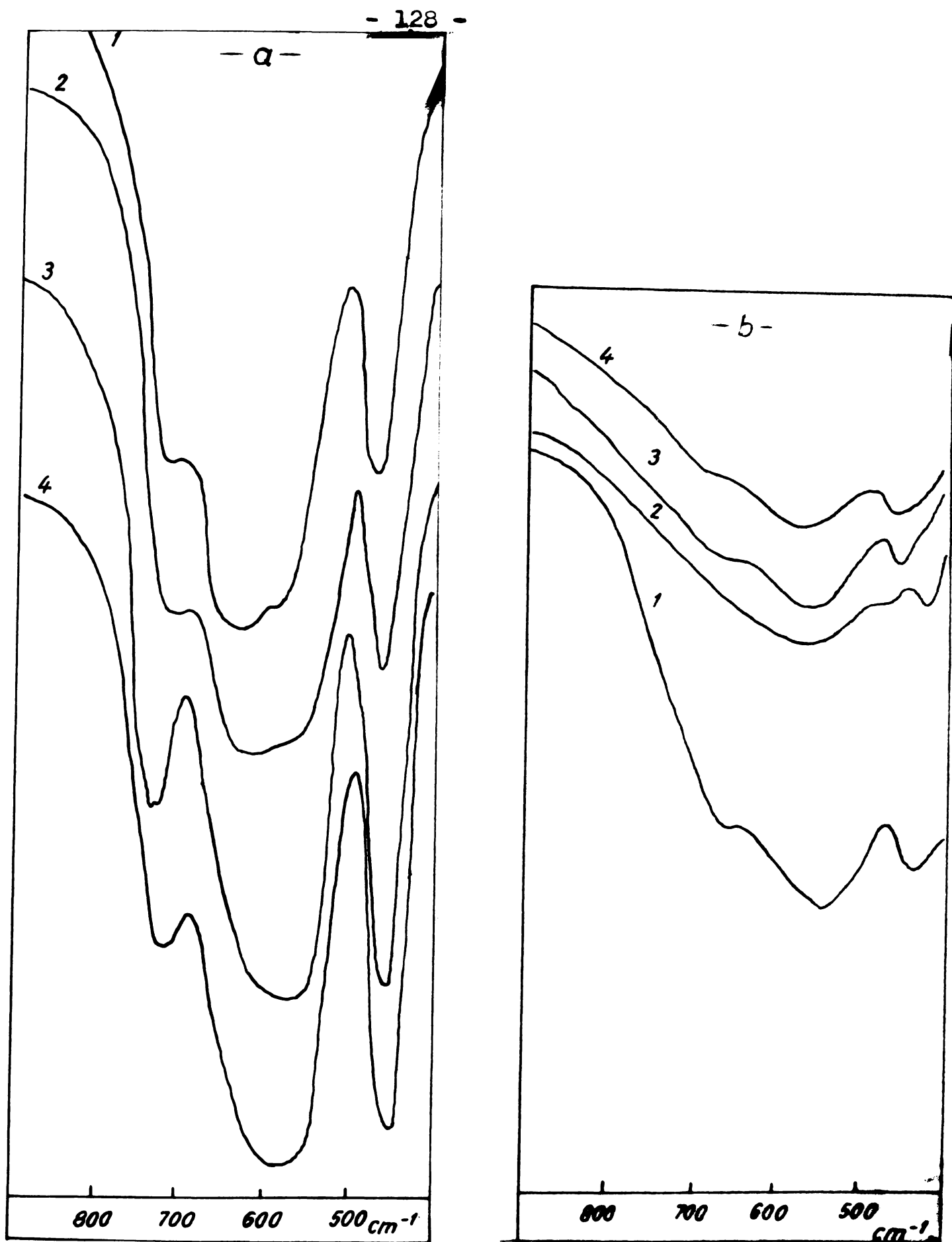


Figura 37.-spectrele IR ale pigmentilor $\text{NiC}_2\text{.uMO}_3$:
 a.pirosintetizați la 1000°C , palier 3 ore;
 b.pirosintetizați la 1400°C , palier 3 ore;
 1.pigmentul $\text{NiC}_2\text{.uCr}_2\text{O}_3$;
 2.pigmentul $\text{NiC}_2\text{.uCrO}_3$;
 3.pigmentul $\text{NiC}_2\text{.uMn}_2\text{O}_3$;
 4.pigmentul $\text{NiO} \cdot \text{TiC}_2 \cdot \text{uWO}_3$.



Figura 38.-Imaginea de microscopie electronică a pigmentului $\text{NiO} \cdot \text{TiO}_2 \cdot \text{uWO}_3$; $\times 5.000$

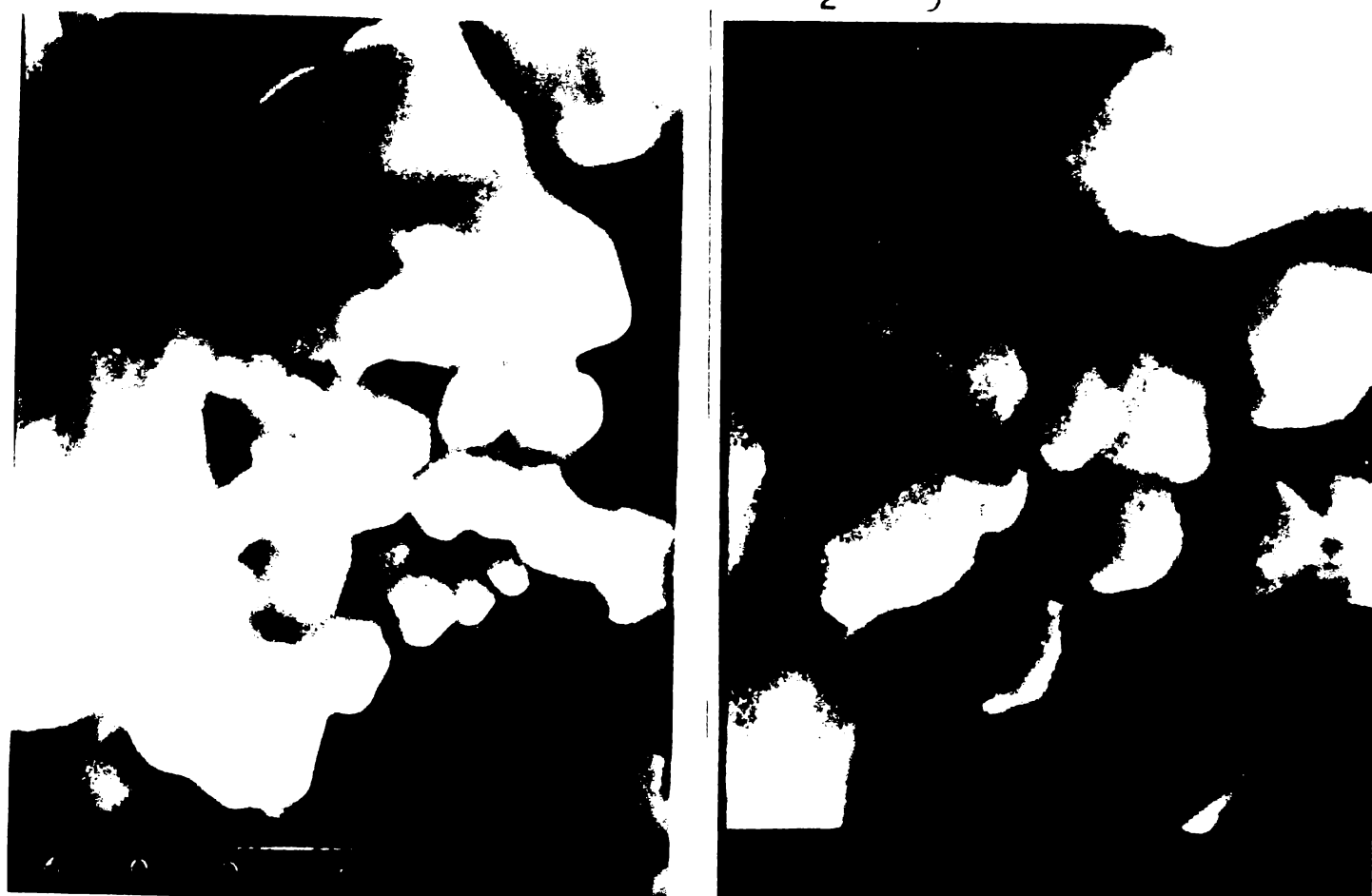
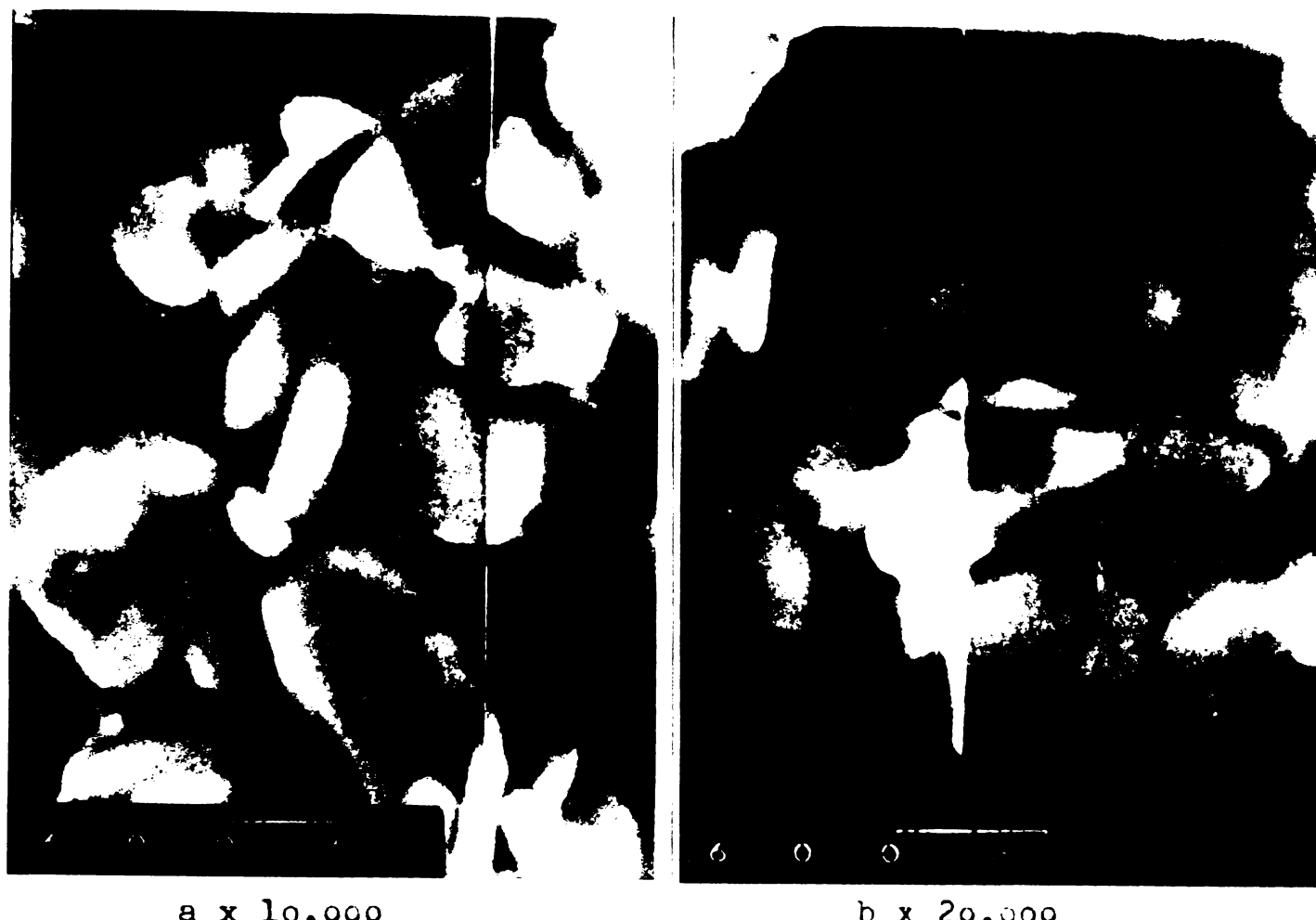


Figura 39.-Imaginea pigmentului $\text{NiO} \cdot \text{TiO}_2 \cdot \text{uCr}_2\text{O}_3$ realizată cu microsonda electronică



a x 10.000

b x 20.000

Figura 40.-Imaginea pigmentului $\text{NiO} \cdot \text{TiO}_2 \cdot \text{uMoO}_3$
realizată cu microsondă electronică

In figura 39 sunt ilustrate imaginile particulelor pigmentului $\text{NiO} \cdot \text{TiO}_2 \cdot \text{uCr}_2\text{O}_3$, iar în figura 40 a pigmentului $\text{NiO} \cdot \text{TiO}_2 \cdot \text{uMoO}_3$, obținute prin metoda microsondei electronice.

Forma particulelor se apreciază ca rombice cu margini și colțuri rotunjite. C formă mai puțin definită și particule aglomerate prezintă pigmentul preparat cu adaos de MoO_3 .

Finetea pulberilor de pigmenti este practic de același grad de mărime. Majoritatea particulelor având dimensiunile între $0,9-3,5\mu$.

Studiul morfostructural al sortimentelor de pigmenti pe bază de $\text{NiO} \cdot \text{TiO}_2$ cu adasuri oxidice: M_2O_5 sau MoO_3 , virosintetizată în condiții similare, demonstrează că în toate cazurile compusul principal rezultat din reacție este oxidul mixt $\text{NiO} \cdot \text{TiO}_2$, cu structură cristalină de tipul ilmenitei.

5.4.-Proprietățile fizice principale ale compușilor oxidici $\text{NiO} \cdot \text{TiO}_2 \cdot \text{UM}_m \text{O}_n$

Referințele asupra calității pigmentelor nu pot fi complete fără cunoașterea valorii proprietăților fizice specifice acestui grup de produse în funcție de destinație, cum sunt: puterea de acoperire, indicele absorbției de ulei, rezistența la agenții chimici, rezistența termică și la lumină, densitatea, lipsa efectului de migrare în materiale plastice, etc., care întregesc proprietățile principale ale pigmentelor: caracteristicile de culoare, structura cristalină, finitatea particulelor, care au fost determinate, interpretate detaliat și corelate cu compoziția și condițiile de sinteză.

In tabelul 25 sunt consemnate valoriile proprietăților fizico-pigmentare ale compușilor oxidici: $\text{NiC} \cdot \text{TiO}_2 \cdot \text{UM}_2 \text{O}_5$ și $\text{NiO} \cdot \text{TiO}_2 \cdot \text{UMO}$, pirosintetizați la 1000°C cu palier de 3 ore. Limitele valorilor consemnate se referă la toate compozitiile în care raportul molar dintre $\text{NiO} : \text{TiC}_2$ a fost de: 0,25:1 și 2.

Valoarea datelor experimentale prezentate în tabel arată că pigmentii preparați au putere de acoperire ridicată și indicele absorbției de ulei mic. De asemenea acest grup de pigmenti se distinge prin rezistență termică și chimică foarte ridicată, ea cum se constată din valoarea caracteristicilor de culoare în domeniul termic $800-1400^{\circ}\text{C}$ (tabelele 8-11, 13-18 și 19-24) și faptul că în acizii minerali și în soluțiile alcălaine sunt practic insolubili.

In frittele opacizate cu titan, pigmentii în sistemul $\text{NiO} \cdot \text{TiO}_2 \cdot \text{UM}_m \text{O}_n$ se comportă excelent, colorând emailul în nuanțe strălucitoare, foarte atrăgătoare, întrebunțind doar o cantitate de 1-3% /173, 174/.

Caracteristicile de culoare ale plăcușelor emailate, folosind pigmentii respectivi, sunt consemnate în tabelul 26. Se constată un efect hipochrom față de nuanțele pigmentelor respectivi.

Colorarea emailurilor, caracterizate printr-o compoziție chimică cu acțiune puternic agresivă la temperatură de 800°C , argumentează indubitabil asupra termorezistenței și rezistenței chimice foarte ridicate ale acestor pigmenti.

Majoritatea sortimentelor dintre acești compuși oxidici au fost testate în colorarea diferitelor mase plastice: policlorură de vinil, polietilenă, spume poliuretanice, produși poliesterici, folosind tehnici preparatorii specifice acestora /89, 175/.

Caracteristicile de culoare ale fcliilor de P.V.C. colorate cu pigmentii din sistemul $\text{NiC} \cdot \text{TiO}_2 \cdot \text{UM}_m \text{O}_n$ sunt prezentate în tabelul 27.

Tabelul 25

Valorile proprietăților fizice ale pigmentelor NiO-TiO₂-W₂O₅ pirosintetizati la 1000°C, palier 3 ore.

Nr. ord.	Denumirea caracteristicii fizice U/M	Valurile caracteristicilor fizice ale pigmentelor					
		NiO-TiO ₂ -W ₂ O ₅		NiO-TiO ₂ -W ₂ O ₅		Raportul molar	
		Reportul molar	Reportul molar	Reportul molar	Reportul molar	Reportul molar	Reportul molar
1.	Substanțe volatile	0,25±0,10	0,30±0,10	0,30±0,10	0,35±0,10	0,30±0,10	0,30±0,10
2.	Puterea de acoperire	23±2	26±2	30±3	29±2	26±2	30±3
3.	Indicele absorbției de ulei	g/100g	25±1	27±1	25±1	27±1	28±1
4.	pH-ul extractului apos	pH g/ml	7,8±0,1 4,17-4,42	7,6±0,1 4,85-5,54	7,5±0,1 4,26-5,28	7,8±0,1 4,04-4,30	7,6±0,1 4,12-5,23
5.	Gruțata specifică	f.bună	f.bună	f.bună	f.bună	f.bună	4,08±5,15
6.	Rezistența la ecizi	-	f.bună	f.bună	f.bună	f.bună	f.bună
7.	Rezistența la alcalii	-	f.bună	f.bună	f.bună	f.bună	f.bună
8.	Rezistența termică	-	f.bună	f.bună	f.bună	f.bună	f.bună
9.	Rezistența la lumina expunere	24h în UV	f.bună	f.bună	f.bună	f.bună	f.bună
10.	Migrarea în pelicule de material plastic	-	nu migra- ză	nu migra- ză	nu migra- ză	nu migra- ză	nu migra- ză
11.	Toxicitate	-	netoxici	netoxici	netoxici	netoxici	netoxici

Tabelul 26

Caracteristicile de culoare ale pigmentilor din sistemul $\text{NiO}-\text{TiO}_2-\text{W}_x\text{O}_n$ pirosin-totisat la 1000°C -paler 3 ore- pe placute emailate

Nr. ert.	Reactanții chimici		Caracteristicile de culoare						Caracteristicile de culoare							
	TiO_2 moli	W_xO_n moli	Componentele cuiorii			Coordonatele triunghiurii			λ_{d^*} nm	P_{c^*} %	L	ΔL	Δa	Δb	ΔE	ΔC
			1	2	3	4	5	6								
1.	1	0,25	-	67,05	72,15	63,20	0,331	0,357	570,54	26,51	84,94	-6,75	-6,85	14,76	17,70	16,27
2.	1	0,25	Sb_2O_3	66,15	72,70	54,80	0,342	0,375	570,66	57,07	85,26	-6,64	-9,83	20,99	24,11	23,18
3.	1	0,25	Sb_2O_3	65,05	71,29	55,68	0,339	0,371	570,43	34,71	84,43	-7,47	-9,34	19,42	22,81	21,55
4.	1	0,25	Bi_2O_3	68,70	73,60	67,25	0,328	0,351	570,15	23,26	85,79	-6,11	-6,30	13,01	15,69	14,45
5.	1	0,25	V_2O_5	57,20	58,70	53,55	0,338	0,346	576,90	23,20	76,62	-15,28	0,08	11,60	19,19	11,61
6.	1	0,25	Nb_2O_5	63,95	70,25	53,60	0,341	0,374	570,52	36,42	83,82	-8,08	-9,59	20,17	23,75	22,33
7.	1	0,25	Ta_2O_5	67,00	72,23	63,28	0,331	0,357	570,28	26,56	84,99	-6,91	-6,10	14,76	17,78	16,38
8.	1	0,25	Cr_2O_3	52,50	53,49	35,00	0,368	0,382	576,44	45,25	73,14	-18,76	-1,40	22,23	29,12	22,28
9.	1	0,25	Cr_2O_3	57,30	59,90	41,86	0,360	0,377	575,76	41,59	77,40	14,50	-2,39	21,52	26,06	21,65
10.	1	0,25	MoO_3	49,80	53,40	46,40	0,333	0,357	571,20	27,14	73,08	-18,82	-5,34	12,92	23,45	13,98
11.	1	0,25	WO_3	65,20	71,50	55,40	0,339	0,372	570,48	35,29	84,56	-7,34	-9,44	19,76	23,10	21,90
12.	1	1	-	61,83	67,45	49,68	0,346	0,377	571,67	38,54	82,13	-9,77	-8,45	21,04	24,69	22,67
13.	1	1	Sb_2O_3	63,15	68,75	51,33	0,345	0,375	571,79	37,72	82,92	-8,98	-8,26	20,75	24,07	22,33
14.	1	1	Sb_2O_3	61,10	66,36	49,68	0,345	0,375	571,91	37,51	81,46	-10,44	-7,78	20,20	24,10	21,72
15.	1	2	-	61,45	67,10	50,88	0,343	0,374	571,23	36,69	81,91	-9,99	-8,55	20,00	23,93	21,75
16.	1	2	Sb_2O_3	61,90	67,70	50,20	0,344	0,377	571,36	38,13	82,28	-9,62	-8,81	20,85	24,58	22,02

Tabelul 27

Caracteristicile de culoare ale pigmentilor din sistemul $\text{NiO}-\text{TiO}_2-\text{V}_{2}\text{O}_5$ pirosin-totizat la 1000°C - palier 3 ore - in pelicule P.V.C.

Nr. ort.	Reactantii chimici			Componentele culorii			Coordonattele tricromatice			$\lambda_{\text{d}}^{\circ}$ /nm/			Pc, %/			Caracteristicile de culoare		
	TiO_2 moli	V_2O_5 moli	NiO moli	1	2	3	4	5	6	7	8	9	10	11	12	13	14	15
1.	1	0,25	-	53,65	51,90	21,60	0,422	0,408	575,64	75,78	72,04	-19,86	7,76	32,06	38,50	32,98		
2.	1	0,25	Sb_2O_3	49,96	55,22	16,72	0,410	0,453	574,23	81,67	74,31	-17,59	-9,14	38,08	42,93	39,16		
3.	1	0,25	Sb_2O_5	48,74	53,28	19,35	0,402	0,439	574,48	70,55	72,99	-18,91	-7,65	34,78	40,32	35,61		
4.	1	0,25	Bi_2O_3	50,05	53,20	20,90	0,403	0,429	575,75	67,84	72,32	-19,58	-2,12	32,89	38,34	32,96		
5.	1	0,25	V_2O_5	29,95	19,98	8,40	0,522	0,332	603,65	68,35	43,68	-48,22	46,85	18,58	69,75	50,40		
6.	1	0,25	Nb_2O_5	45,28	47,53	14,82	0,421	0,441	576,69	74,51	68,79	-23,11	-2,01	34,79	41,81	34,84		
7.	1	0,25	Ta_2O_5	43,93	46,90	18,70	0,405	0,428	575,54	67,38	68,47	-23,43	-5,48	31,16	38,07	31,63		
8.	1	0,25	Cr_2O_3	21,35	22,00	7,88	0,417	0,429	577,32	70,60	46,90	-45,00	0,07	22,28	50,21	22,28		
9.	1	0,25	CrO_3	24,29	24,24	7,40	0,434	0,433	578,80	74,96	49,48	-42,42	1,94	25,17	49,37	25,24		
10.	1	0,25	MnO_3	36,73	36,05	12,50	0,431	0,483	579,61	71,27	60,04	-51,86	5,02	29,09	43,45	29,32		
11.	1	0,25	WO_3	50,03	54,30	18,75	0,406	0,441	574,90	72,06	73,69	-18,21	-6,87	35,90	40,84	36,55		
12.	1	1	-	42,35	45,00	10,46	0,433	0,460	576,13	81,56	87,08	-24,82	-3,81	37,12	44,81	37,31		
13.	1	1	Sb_2O_3	40,06	44,80	10,79	0,419	0,468	574,00	81,17	66,93	-24,97	-9,40	36,70	45,37	37,88		
14.	1	1	Sb_2O_5	54,03	38,81	10,81	0,410	0,461	573,77	78,21	62,30	-29,60	-9,18	32,72	45,07	33,99		
15.	1	2	-	54,26	38,88	12,95	0,398	0,452	572,85	73,42	62,35	-29,55	-10,15	30,74	43,83	32,37		
16.	1	2	Sb_2O_3	57,40	41,92	13,87	0,401	0,450	573,46	73,45	64,75	-27,15	-9,30	32,02	43,00	33,35		

Din comparația acestor valori cu ale pigmentelor respectivi se constată un efect batocrom al nuanțelor foliilor colorate cu pigmentii în care adaosul oxidic a fost M_2O_5 , (tabelul 14) și un efect hipsocrom pentru pigmentii preparați cu adaosul oxidic MO_3 , exceptând compozițiile preparate cu trioxid de molibden, care sunt mai închise, (tabelul 20).

Acest grup de pigmenti prezintă avantajul că nu migrează în masa materialului plastic pe care-l colorează, spre deosebire de majoritatea coloranților organici. În schimb, au putere de colorare mai redusă în comparație cu cei organici, însă fiind mai ieftini, proporția folosită poate fi mărită pînă la 3% din masa materialului plastic, fără să devină neeconomici.

Un alt mare avantaj al acestor pigmenti este faptul că nu prezintă nocivitate, calitate confirmată de către Institutul de medicină și farmacie Cluj-Napoca, laboratorul de toxicologie, prin adresa nr. 917/1962, recomandîndu-se "asimilarea lor în colorarea maselor plastice nefiind nocivi și nedifuzind niciunul dintre metalele grele în soluțiile de extracție" în care au fost testați conform normelor sanitare în vigoare.

Aportul de informații experimentale oferit de valorile parametrilor de calitate ale pigmentelor din sistemul $NiO \cdot TiO_2 \cdot uM_m O_n$, în complexitatea lor, evaluate prin teste de control, cu bune rezultate: în colorarea emailului, maselor plastice și prepararea de vopsele de acoperire sunt argumente despre proprietățile optice și pigmentare superioare ale acestor compuși oxidici.

3.5.-Mecanismul formării structurii și dezvoltării culorii în pigmentii $NiO \cdot TiO_2 \cdot uM_m O_n$

Caracteristicile iono-structurale ale sistemului $NiO \cdot TiO_2 - uM_m O_n$ stau la baza dezvoltării culorii pigmentelor obținute în condițiile pirosintezelor menționate în lucrare.

Relația compoziție-structură-culoare constituie o problemă delicată raportată la considerațiile fizice și chimicei corpului solid.

În literatura de specialitate sunt puține lucrări care abordă această problemă.

Tcheichvili și Weyl /21/ au explicitat formarea culorii pigmentelor anorganice preparați prin reacții în stare solidă în lumina

chimiei cristalului la temperaturi înalte.

Tumanov /24/ susține principiul folosirii rețelei cristaline stabile în sinteza pigmentilor ceramici, culoarea rezultând din modificările produse în nivelele electronice ale reactanților.

Feiknecht /150/ pune la baza interpretării teoretice a apariției culorii în compușii anorganici teoria cîmpului liganzilor.

Constatările experimentale cu privire la culoarea compușilor solizi sunt explicate satisfăcător de modelul spectrelor de benzi. Efectul de culoare se realizează prin tranziția unui electron din banda de valență în banda de conduction, în limitele potențialului energetic corespunzător spectrului vizibil.

Orice abatere de la structura cristalină ideală a compusului afectează periodicitatea cîmpului de potențial al rețelei cu implicații asupra absorbției radiațiilor și ca urmare asupra culorii /176/.

Sistemul oxidic $\text{NiO} \cdot \text{TiO}_2 \cdot \text{um}_{\frac{m}{n}} \text{O}$ este structurat pe oxizi ai elementelor tranziționale heterovalente cu nivelul d complet: Ti^{4+} , M^{n+} și incomplet: Ni^{2+} . Contribuția acestor ioni la formarea culorii este influențată de felul coordinației și simetria poliedrului rezultat asupra nivelor lor energetice. Distribuția statistică a ionilor în celula elementară alterează aranjamentul cationilor, largind limitele de substituție cu păstrarea raporturilor de coordinare în rețea distorsionând structura, fără o reorganizare fundamentală a rețelei.

In cazul pigmentelor $\text{NiO} \cdot \text{TiO}_2 \cdot \text{um}_{\frac{m}{n}} \text{O}$, preparați în condițiile sintezelor, studiile structurii cristaline nu au pus în evidență anioni: TiO_3^{2-} sau TiO_4^{2-} independenți, ceea ce argumentează că produgii de reacție sunt oxizi micști.

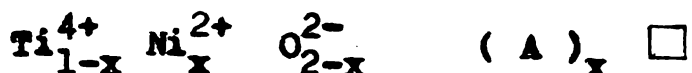
In spectrele RX și IR ale compușilor obținuți s-a identificat compoziția de fază: oxidul mixt $-\text{NiO} \cdot \text{TiO}_2-$ cu singonia romboedrică a ilmenitei și oxizi nereacționați: NiO sau TiO_2 , în funcție de compoziția inițială, în care raportul dintre ei nu a fost echimolar, sau de gradul de transformare determinat de factorii termici ai sintezelor. De asemenea, nu au fost identificate, în spectrele RX, liniile de reflexie ale planelor reticulare specifice oxizilor $-\text{M}_{\frac{m}{n}} \text{O}-$ folosite ca adăosuri /164-166/, figurile 22-24.

În concordanță cu regula "izomorfismului heterovalent" compușii oxidici formați au aceeași structură cristalină. În schimb nu au aceleași caracteristici de culoare în cadrul aceluiași grup de pigmenti: $\text{NiO} \cdot \text{TiO}_2 \cdot \text{um}_{\frac{m}{n}} \text{O}_5$ sau $\text{NiO} \cdot \text{TiO}_2 \cdot \text{umO}_3$. Faptul marchează rolul catiunului din adăosul oxidic, care influențează diferențiat nuanța pigmentelor respectivi. Cauza rezidă în distorsiunea poliedrului de coordina-

ție pe care o pricinuiește fiecare dintre ei.

Mecanismul formării structurii acestor pigmenti poate fi justificat prin formare de compusi intermediari nestoichiometrichi, cind sunt generate vacanțe în cele două subrețele (anionică și cationică).

Pigmentii preparați din reactanții principali NiO și TiO_2 , fără adaosuri, prezintă nuante pale (tabelul 6, pozițiile 1-3), prin faptul că se formează vacanțe anionice necompensate, cîte una de fiecare ion de Ni^{2+} , astfel:



In această situație energia formării structurii cristaline este ridicată. Pentru a "alia" NiO cu TiO_2 la temperaturi mai joase s-a necesitat introducerea unui oxid "compensator de sarcină" $-\text{M}_{\frac{n}{m}}^{\text{O}}$ în care M este unul dintre elementele penta sau hexavalente, situație în care defectele electronice apărute la cationi se sting în compoziția pigmentului rezultat /177/, prin compensarea diferenței de sarcini ale ionilor Ni^{2+} cu ale sarcinilor ionilor M^{5+} sau M^{6+} , nepermittind flotarea gradului de oxidare al nichelului între Ni^{2+} și Ni^{3+} și condiționând ionilor Ni^{2+} hexacoordinarea, integrindu-se simetria octaedrice a ionilor de Ti^{4+} , formă cristalochimică acceptată și de ionii M^{n+} . Vacanțele celor două subrețele cristaline ale compusilor oxidici disproporționează forțele de legătură și au efect catalitic asupra mediului de reacție, apoi se neutralizează / 52,53 /.

Neutralitatea celulei elementare este asigurată după cum rezultă din formularea:



In aceste condiții compozitiile sintetizate dezvoltă culoarea galbenă cu nuante verzui și ocru pînă la ocru închis, consecință a abilității ionilor de Ni^{2+} (d^8) de-a impune simetria octaedrică ionilor de oxigen, producînd un minim de interacțiune electronică și menîrind energia de stabilizare a ionilor în baza efectului cîmpului cristalin /178/.

Goldstein și colaboratorii /161/ susțin că adaosul de Sb_2O_3 sistemului oxidic $\text{NiO}-\text{TiO}_2$ schimbă compozitia de fază a produsilor de reacție, rezultînd un amestec de : Ni_2TiO_5 , soluție solidă rutilică și Ni_2O_3 , în funcție de raportul dintre NiO și Sb_2O_3 , influențînd, în special, capacitatea reflexiei totale.

Cellonques /179/ explică mecanismul formării structurilor

nestoechiometrice intermediare, în cazul oxizilor metalelor tranzitionale bivalente, prin ionizarea oxigenului în starea O^{2-} , care antrenează crearea unei vacanțe cationice. Cele două sarcini pozitive eliberate în cursul acestui proces pot fi captate de poziția vacanței cationice, care funcționează ca un centru încărcat negativ.

In cazul fazei nestoechiometrice intermediare, menționate pentru sistemul $\text{NiO}-\text{TiO}_2$, oricare din cele două sarcini pozitive se pot fixa pe ionul Ni^{2+} , care trece în Ni^{3+} , conform schemei:



Se cunoaște că ionii Ni^{3+} în coordinație octaedrică și ionii Ni^{2+} tetracoordonati generează în compusi culoarea verde.

Spectrele RX ale pigmentilor preparați și studiați în lucrare nu au pus în evidență compusi ale căror faze să contină ioni Ni^{3+} .

Influența efectului adăosului oxidic cu rol de compensator al sarcinilor electrice din compozitiile elaborate și cu influență asupra dezvoltării culorii în pigmentii $\text{NiO} \cdot \text{TiO}_2 \cdot \text{Sb}_2\text{O}_5$ rezultă din diferența dintre caracteristicile de culoare ale pigmentilor $\text{NiO} \cdot \text{TiO}_2 \cdot \text{Sb}_2\text{O}_5$ (tabelul 6, pozițiile 9 și 12), care s-au preparat din aceiași reacțanții, luată în același proporții, dar trioxidul de antimoniu s-a adăugat compozitiilor respective în momente diferite ale sintezei. În condiții normale pentru compozitia din poziția 9 și diferite pentru compozitia specificată la poziția 12. La aceasta din urmă Sb_2O_3 s-a adăugat anatasului în prealabil, s-au omogenizat și calcinat, apoi s-au dozat sub formă de pulberi cu proporția de NiO corespunzătoare, iar compozitia s-a supus din nou arderii, la aceiași factori termici, după cum s-a mai menționat. Rezultatul se desprinde din datele tabelului 6. Diferențe evidente apar între nuanțe, saturatie și în special în conținutul ridicat în verde ($\Delta a = 11,09$) al compozitiei, în care anatasul a fost dopat și ($\Delta a = -6,18$) pentru cazul de preparare normală.

In cazul dopării anatasului mecanismul formării structurii diferă. Compensarea diferențelor de sarcini nu se face, după cum rezultă din formularea:



iar vacantele anionice din TiO_{2-x} sint dopate.

2-2

In concluzie, datele experimentale obținute, studiate și interpretate pentru explicarea mecanismului formării structurii și dezvoltării culorii în pigmentii $\text{NiO} \cdot \text{TiO}_2 \cdot \text{M}_m \text{O}_n$ argumentează asupra influenței particulare pe care o au ionii tri, penta și hexavalenți, simbolizați prin M , din adaosul oxidic, în definitivarea structurii și

precizarea caracteristicilor de culoare ale pigmentilor, foarte probabil, ei ocupînd a doua sferă de coordinare a ionilor Ni^{2+} , pe ale căror sarcini electrice trebuie să le compenseze în ionii compuși.

Imperfecțiunile cauzate de efectele nestoechiometriei și microdistorsiunile pricinuite structurii cristaline determină influențe asupra absorbției selective ale radiațiilor din sectorul galben al spectrului, afectînd specific atributele culorii și condiționînd dezvoltarea nuanțelor galbene, galbene-verzui și ocru, cu lungimi de undă cuprinse între 570,9 și 592,9 nm.

Particularitatea bazată pe criteriul structural al aspectelor de nestoechiometrie ale compușilor, apărute în condițiile sintezei pigmentilor $NiO \cdot TiO_2 \cdot \frac{m}{n} O$, participă la definitivarea structurii fine a benzilor de absorbție și conferă specificitate caracteristicilor de culoare ale acestora. Sunt considerente care se alătură argumentelor care justifică modelul spectrelor de absorbție în explicarea satisfăcătoare a genezei culorii în compuși oxidici preparați prin reacții în stare solidă.

CAPITOLUL 4

4.-SINTEZA SI STUDIUL PIGMENTILOR IN SISTEMUL $\text{NiO}/\text{MO}-\text{TiO}_2-\text{uM}_{\frac{n}{n}}\text{O}_n$

Sistemul oxidic $\text{NiO}-\text{TiO}_2$ prezintă o bază importantă de dezvoltare și diversificare a culorilor în timpul tratamentului termic în funcție de natura și proporția cationului substituent al ionului de nichel.

Ionii de Ni^{2+} pot fi substituiți parțial sau integral în sistem cu ionii de: Zn^{2+} , Cd^{2+} , Co^{2+} , Cu^{2+} etc., dezvoltând culori și nuante: verzi, galbene, roz, brune și albastre /73, 89, 180, 181, 182, 183, 184, 185, 186/. Datorită substituției nichelului cu ioni izovalenți, în condiții de sinteză anumite, se obțin compuși oxidici cu structuri cristaline definite sau amestec de faze oxidice /187, 188/, generate de interacția componentelor care asigură dezvoltarea nuanțelor cu atribute pigmentare superioare.

4.1.-SINTEZA SI STUDIUL PIGMENTILOR IN SISTEMUL $\text{NiO}/\text{ZnO}-\text{TiO}_2-\text{uSb}_2\text{O}_5$

Potibilitatea de îmbogățire a paletelor de nuante verzi, pentru pigmentii anorganici o oferă compozițiile în sistemul $\text{NiO}/\text{ZnO}-\text{TiO}_2-\text{uSb}_2\text{O}_5$, în care nichelul este substituit cu zincul în proporție anumită /69/.

Navrotsky și Muan /117/ au studiat echilibrul de fază și energiile libere de formare ale compusului $\text{Zn}_x\text{Ni}_{1-x}\text{(NiTi)}\text{O}_4$ pentru valorile lui $x < 0,5$, la temperatură de 1050°C .

Intrucât sistemul dezvoltă interesante nuante verzi și proprietăți pigmentare deosebite, studiul variației acestor nuante în lipsă și prezența trioxidului de antimoniu în funcție de variația raportului dintre cationii $\text{Ni}^{2+}/\text{Zn}^{2+}$, grupare care se constituie cu caracteristici cromofore /73/, prin "alierea" $\text{Ni}^{2+}(\text{d}^8)$ cu $\text{Zn}^{2+}(\text{d}^{10})$, avind configurația $[\text{Ar}](3\text{d}^{10}4\text{s}^2)$, prezintă interes.

Compoziția chimică a materiilor prime folosite este menționată în tabelul 5, iar metoda de preparare a acestor pigmenti a fost cea a pirosintezei amestecului de pulberi al reacționilor.

Pigmentii au fost preparați în condițiile de sinteză consimilate în tabelul 28. S-a folosit ca mineralizator NaCl în proporție de 3%.

Tabelul 28

Caracteristicile de culoare ale pigmentilor in sistemul NiO/ZnO-TiO₂-Sb₂O₃, pirosintetizati la 1000°C, palier 3 ore.

Nr. crt.	Reactanti chimici			Caracteristicile de culoare												
	TiO ₂ moli	NiO:ZnO moli	Sb ₂ O ₃ g	Componentele culorii			Coordonatelor tricromatice			λ_d^* nm	P _{c*} %/	L	ΔL	Δa	Δb	ΔE
	X	Y	Z	X	Y	Z	x	y								
1.	1	0,50:0,50	5	32,9	38,5	18,5	0,366	0,428	570,3	34,6	62,00	-29,90	-12,90	25,10	44,10	28,20
2.	1	0,50:0,50	-	38,6	48,5	28,8	0,354	0,418	565,7	51,4	69,50	-22,40	-21,60	23,50	39,00	31,90
3.	1	0,15:0,10	5	42,7	48,6	23,5	0,372	0,423	571,8	60,9	69,71	-28,19	-11,67	28,22	37,75	30,54
4.	1	0,67:1,33	5	41,1	50,0	26,2	0,350	0,426	567,1	57,4	70,71	-21,19	-19,14	26,94	39,26	33,05
5.	1	1,34:0,66	5	23,2	30,2	17,9	0,326	0,424	560,4	51,6	54,95	-36,95	-19,91	15,58	45,90	27,24

In tabel sunt trecute caracteristicile de culoare ale pigmentilor rezultati din compozitiile respective.

Din datele tabelului se desprinde ca la temperatura de ardere de 1000°C cu palier de trei ore, valoarea caracteristicilor de culoare situaza pigmentul in domeniul verde-galben al spectrului vizibil, intre lungimile de unda 560,4-571,8 nm si se disting prin continut in verde ridicat (se cuprins intre -11,67 si 21,60).

Se constata cu evidenta importanta ca adosul in compozitii de Sb₂O₃ face sa creasca continutul in galben si sa scada continutul in verde (compozitia de la pozitia 2, comparativ cu cea din pozitia 1). De asemenea se observa ca raportul dintre NiO:ZnO de 1,34 : 0,66 conditioneaza dezvoltarea unei nuanze verzi specifice ($\lambda_d = 560,4$ nm, pozitia 5).

Aceste constatări alăturate celor desprinse din spectrele RX ale pigmentilor prezente în figura 41 argumentează asupra mecanismului de formare a structurii cristaline și dezvoltării culorii în compusii rezultați în condițiile pirosintezei.

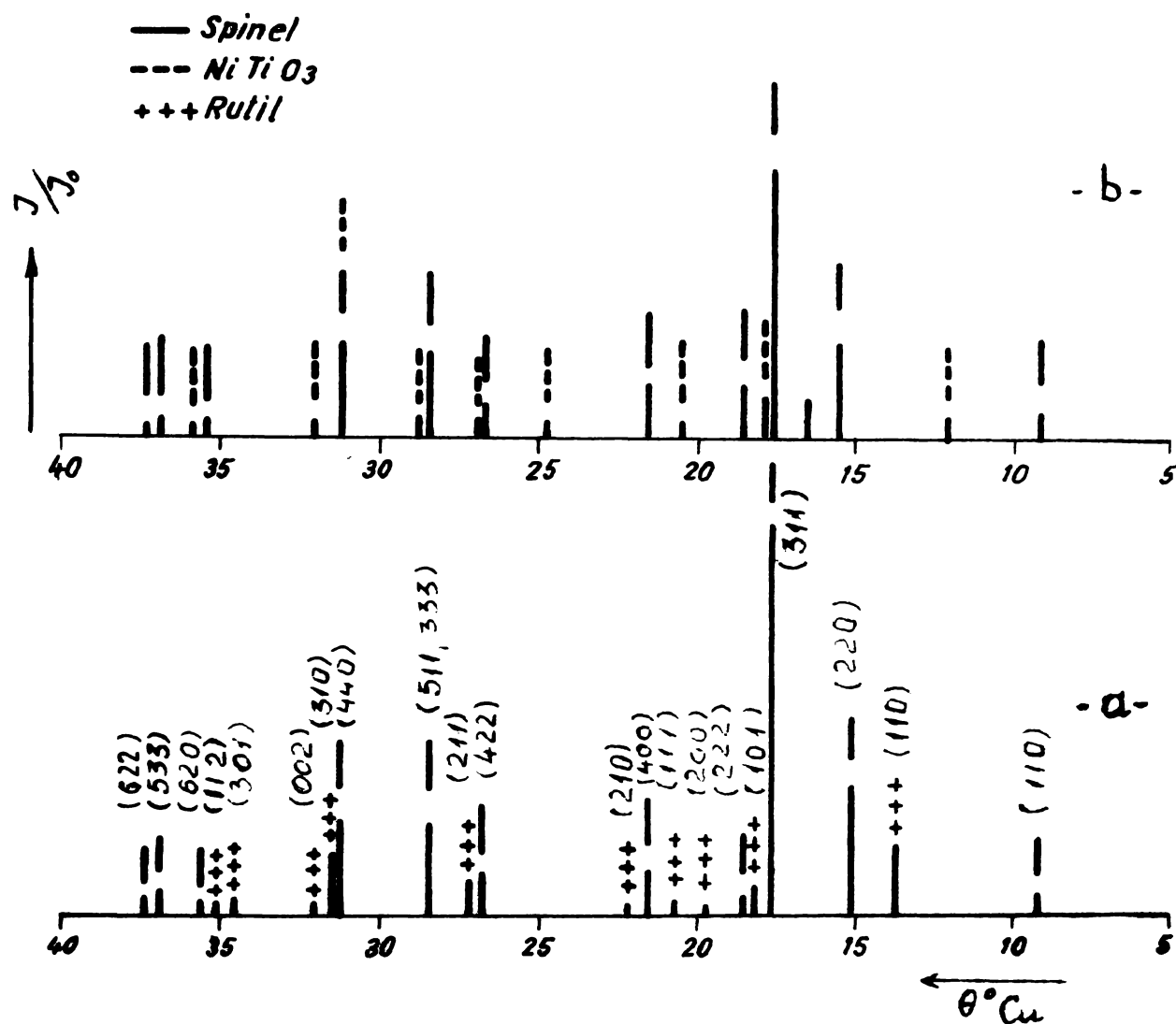


Figura 41.-Liniile de difracție ale pigmentilor cu:

a- compoziția $(0,5\text{NiO} \cdot 0,5\text{ZnO}) \cdot \text{TiO}_2 \cdot 0,5\text{Sb}_2\text{O}_5$;

b- compoziția $(1,33\text{NiO} \cdot 0,66\text{ZnO}) \cdot \text{TiO}_2$.

Diferența dintre valoarea energiilor preferențiale pentru simetria tetraedrică a ionilor Zn^{2+} (-31,6 Kcal/at.g.) și pentru simetria octaedrică a ionilor Ni^{2+} (16,6 Kcal/at.g.) /178/condiționează simetria tetraedrică ionilor, inclusiv celor de Ni^{2+} , iar lipsa grupării Sb_2O_5 , compensatoare de sarcină din a doua sferă de coordonată, facilitează mecanismul și prin aceasta dezvoltarea în compozitiile respective de nuante verzi.

Preferința ionilor Zn^{2+} pentru pozițiile tetraedrice, a ionilor de Ti^{4+} și Ni^{2+} pentru pozițiile octaedrice conduce la fiecare dată la ipoteza de repartiție verificată de literatură /109/, comparând valoările observate cu cele calculate a raportului F_{400}/F_{422} , factori de

structură a reflexiilor 400 și 422, după metoda preconizată de F.Bertant.

Această ipoteză s-a dovedit exactă pentru toți termenii compoziției care concură la formarea compusului oxidic.

Din figura 41 rezultă compoziția oxidică de fază și intensitățile relative ale reflexiilor proprii celor doi compusi pirosintetizați determinate prin compararea distanțelor interplanare traseate în spectrul RX cu distanțele interplanare ale substanțelor similare din literatură /190/. Compusii NiTiO_3 și ZnNiO_3 sunt izotipi, caracterizați prin structura romboedrică de tip ilmenitic și apar în ambele compozitii ale căror spectre RX sunt prezентate în figura 141-a și 141-b. În schimb, se pun în evidență linii specifice rutilului, figura 141-a și a spinelului ($\text{Ni},\text{Zn})\text{TiO}_4$, figura 141-b, în mod exclusiv pentru fiecare. Spectrul din figura 141-b confirmă datele din literatura de specialitate /117/, privind formarea structurii spinel în condițiile compoziției și sintezei menționate /73/ și nu exclude prezența vacanțelor care posedă o tendință netă de a se ordona /108/, iar pe de altă parte facilitează considerabil difuzia cationilor în formarea suprastructurii finale a pigmentilor.

Același mecanism de formare a structurii și geneză a nuanțelor verzi-albastrii pînă la albastru dezvoltă compozitiile din sistemul $(\text{Ni},\text{Co}/\text{Zn})\text{O}-\text{TiO}_2-\text{Sb}_2\text{O}_5$ /185/. Ionii de cobalt Co^{2+} acceptă coordonată tetraedrică condiționată de ionii Zn^{2+} generînd culoarea albastre specifică, nuanțată în verde datorită influenței ionilor Ni^{2+} din sistem. În lipsa ionilor de Zn^{2+} și Ni^{2+} , ionii de Co^{2+} în sistemul $\text{CoO}-\text{TiO}_2-\text{Sb}_2\text{O}_5$ dezvoltă nuante roz-ocru, acceptînd simetria octaedrică impusă de ionii Ti^{4+} și Sb^{5+} .

Pigmentii în sistemul $(\text{Ni},\text{Zn})\text{O}-\text{TiO}_2-\text{Sb}_2\text{O}_5$ sunt caracterizați prin proprietăți fizice superioare. Astfel, indicele absorbției de ulei este cuprins între 19,2-22,0 g/100 g, iar puterea de acoperire 38-43,5 g/m², cu termorezistență ridicată, considerante care îi recomandă pentru întrebunțări în diverse domenii industriale cu efecte pigmentare bune.

În figura 42 este prezentată microfotografia de microscopie electronică a pigmentului obținut din compozitia $(1,34 \text{ NiO} + 0,66 \text{ ZnO})\text{TiO}_2-\text{Sb}_2\text{O}_5$ (tabelul 2c, poziția 5).

Microfotografia ilustrează că pulberea se compune din particule de forme avînd muchiile și colțurile rotunjite, iar suprafețele netede. Distribuția granulometrică se extinde între particule cu diametrele medii între 0,3 - 3 μ , majoritatea (66%) fiind cuprinsă între 0,3 și 1 μ .



**Figura 42.-Microfotografie pulberii de pigment
(1,34NiO·0,66ZnO)·TiO₂·uSb₂O₅; x10.000.**

Pigmenții preparați din compozițiile sistemului studiat conținând ZnO se folosesc cu succes în colorarea emailului. În frite mai puțin acide nuanțele acestor pigmenți se conservă. Compozițiile cu exces de ZnO formează cu TiO₂ spinelul Zn₂TiO₄, compus care este foarte puțin solubil în topitură silicioasă și rezistă la acțiunea reducătoare a mediului gazos /73,173,174/.

În colorarea maselor plastice și prepararea vopselelor de acoperiri metalice acești compuși oxidici se caracterizează prin proprietăți fizico-pigmentare superioare /89/.

4.2.- SINTEZA SI STUDIUL PIGMENTILOR IN SISTEMUL NiO/CdO - TiO₂ - uM_mO_n

Interes teoretic și practic pentru îmbogățirea gamei sortimentale de pigmenți prezintă sistemul oxidic NiO/CdO-TiO₂-uM_mO_n, în care M simbolizează cationii penta și hexavalenți.

Combinăriile cadmiului sub formă de sulfuri și sulfoseleniuri se disting prin culori galbene și roșii vii strălucitoare dar care nu prezintă termo stabilitate și nici rezistență la acizi și baze, ceea ce le delimită domeniul întrebunărilor.

In scopul îmbunătățirii acestor proprietăți fizice și chimice ale pigmentelor pe bază de cadmu au fost experimentate soluții pentru protejarea grupărilor cromofore: CdS și CdS.CdSe, obținindu-se pigmentii de incluziune /55,58/. Acești compuși prezintă nuante galbene rez și violacee și sunt rezistente la mediile chimice agresive și la temperaturi mai ridicate.

Pigmentii în sistemul $\text{NiO}/\text{CdO} \cdot \text{TiO}_2 \cdot \text{uM}_n\text{O}_n$ în care asocierea oxizilor de nichel și cadmu în masa dioxidului de titan -anatas- cu adaos de Sb_2O_3 /180,187/ și alte adaosuri de oxizi $-\text{M}_m\text{O}_n-$ /182,183/ au condus, în anumite condiții de sinteză, la diversificarea paletelor nuantelor din acest sistem și îmbogățirea cunoștințelor cu privire la formarea culorii și cunoașterea compozиției oxidice de fază /188/.

În tabelele 29-33 sunt prezentate: compozиția chimică, condițiiile de sinteză și caracteristicile de culoare ale pigmentelor preparați, care fac obiectul studiului colorimetric și roentgenostructural al subcapitolului.

Se constată din datele acestor tabele dependența dintre proprietățile optice ale compușilor oxidici preparați la raportul reacților principali și felul adaosului oxidic folosit.

Compozиția chimică a materiilor prime folosite este redată în tabelul 5. Ca sursă de cadmu s-a folosit carbonatul de cadmu de puritate B^+ .

Condițiiile de preparare au fost identice cu cele descrise în capitolul 2. Exceptie s-a făcut pentru compozиțiiile consemnate la pozițiile 6-le din tabelele 31 și 33, care după o prealabilă ardere la temperatura de 1000°C timp de trei ore, masa calcinată s-a micinat, omogenizat și apoi s-a recalcinat la 1050°C timp de o oră, urmărindu-se definitivarea formării culorilor respective.

Toate compozиțiiile au fost preparate cu adaos de 3% clorură de sodiu.

Factorii termici optimi au fost predeterminați prin analiză termodiferențială /180,182,183/.

Din tabelul 29 se reține faptul că au fost preparate compozиții cu și fără adaos de Sb_2O_3 , păstrându-se la un mol conținutul de TiO_2 și variind raportul molar al NiO/CdO la valorile: 1:1, 0,5:0,5;

0,25:0,75; 0,10:0,90; 0,05:0,95 și 0,025:0,975. S-a putut urmări astfel relația compozitie-culoare în cazul alegării unui cation $\text{Ni}^{2+}(\text{d}^8)$ cu un cation $\text{Cd}^{2+}(\text{d}^10)$, cu configurația electronică al elementului $(\text{Kr})4\text{d}^{10}5\text{s}^2$.

Efectul cooperativ al ionilor Ni^{2+} și Cd^{2+} în compozitiile pirosintetizate asupra nuantei pigmentelor este ilustrat de proporțiile dintre conținutul în roșu $-\Delta a-$ respectiv în galben $-\Delta b-$ al acestora.

Se constată că scade conținutul în galben și crește conținutul în roșu cu micșorarea raportului NiO/CdO , exceptând compozitiile în care raportul $\text{NiO}:\text{TiO}_2$ este 1 : 1 (tabelul 29, pozițiile 1,7) în care reacțiile nu s-au desăvîrșit, după cum s-a dovedit după recalcinarea lor la 1050°C (tabelul 31, pozițiile 6^X, 8^X) și compozitiile cu raportul 0,025:0,975 (tabelul 29, pozițiile 6,12).

Nuantele generate în limitele sistemului studiat se extind de la verde, galben la roz.

Micșorarea valorii diferenței de energie a culorii și a cromaticității este evidentă cind raportul NiO/CdO scade, în schimb crește valoarea luminozității pulberilor acestor pigmenti.

~~Adăugul~~ de Sb_2O_3 (acesta în timpul sintezei se oxidează la Sb_2O_5) mărește conținutul în galben și are un efect hipsochrom asupra nuantei compusilor, de asemenea influențează favorabil valoarea diferenței de energie și a cromaticității pigmentelor respectivi.

Diferența dintre valorile proprietăților fizice ale oxizilor și atomilor de nichel și cadmiu (tabelul 2 și 3) arbitreză comportamentul acestora în compozitii din timpul pirosintezei și în final influențează caracteristicile de culoare ale compusilor oxidici rezultați.

În figura 43 sunt prezentate limitele de difracție specifice pigmentelor din sistemul $\text{NiO}/\text{CdO} \cdot \text{TiO}_2$, fără și cu adăug de Sb_2O_3 .

Din figura rezultă compozitia oxidică a maselor pirosintetizate în care predomină structura cristalină a ilmenitei ilustrată reprezentativ în pigmentul obținut din raportul reactanților 0,5NiO-0,5CdO-TiO₂-uSb₂O₅ (poziția 5), în care apar compusi oxidici NiO.TiO₂ și CdO.TiO₂, aproximativ în aceeași proporție, într-un grad de transformare al reactanților aproape 100%.

În schimb în compozitia în care raportul molar dintre reactanți este același, dar fără Sb_2O_3 (poziția 6), nu apar liniile de difracție ale compusului CdO.TiO₂.ci ale compusului $\text{Ni}_{0,05}\text{Cd}_{0,95}\text{TiO}_3$ și NiO.TiO₂, cu resturi de TiO₂ nereacționat.

De asemenea compusul rezultat din arderea amestecului de

Taboulul 29

Caracteristicile de culcare ale pigmentelor din sistemu (Mn/Co)-TiO₂-u Sb₂O₃, prezentate la 100°C -paliu 3 ore-

Nr.	Reactantii chimici				Caracteristicile de culcare											
	TiO ₂	MnO	CoO	Sb ₂ O ₃	Componentele culorii		Coordonattele tricromatice		λ_{d}	P _c ,	L	ΔL	Δa	Δb	ΔE	ΔC
nr.	mol/l	mol/l	mol/l	g	x	y	z	x	y	/nm	/%					
0	1	2	3	4	5	6	7	8	9	10	11	12	13	14	15	16
1.	1	1	1	-	57,42	59,56	56,21	0,329	0,350	571,15	20,45	62,90	-29,00	-2,97	9,31	45,66
2.	1	0,5	0,5	-	46,80	49,20	28,05	0,377	0,377	575,84	52,64	70,14	-21,76	-2,75	24,80	33,10
3.	1	0,25	0,75	-	53,01	55,90	39,00	0,363	0,370	578,06	38,00	73,42	-18,48	1,50	19,31	26,76
4.	1	0,10	0,90	-	64,28	62,41	56,96	0,350	0,340	584,42	22,49	78,99	-12,91	7,91	11,96	19,29
5.	1	0,05	0,95	-	70,60	66,00	63,30	0,350	0,350	590,92	18,75	81,20	-10,70	13,70	9,90	20,00
6.	1	0,025	0,975	-	74,70	75,00	68,40	0,340	0,349	576,92	24,95	86,60	-5,50	3,20	12,90	14,30
7.	1	1	1	5	26,10	31,20	20,00	0,340	0,404	566,57	47,67	55,86	-36,04	-13,44	17,28	42,17
8.	1	0,50	0,50	5	47,92	51,60	26,30	0,381	0,410	574,60	37,97	71,83	-20,07	-5,73	27,98	34,91
9.	1	0,25	0,75	5	51,32	52,50	35,24	0,373	0,391	577,55	42,71	74,89	-17,01	-4,18	23,35	29,17
10.	1	0,10	0,90	5	62,50	63,00	56,68	0,340	0,346	578,80	24,29	79,37	-12,52	2,02	12,62	17,90
11.	1	0,05	0,95	5	72,30	68,20	67,00	0,340	0,320	600,55	10,89	82,60	-9,30	12,30	9,00	17,80
12.	1	0,025	0,975	5	79,80	79,40	77,00	0,340	0,340	580,90	20,45	89,10	-2,80	4,60	10,30	11,62

Taboulul 30

Caracteristicile de culoare ale pigmentilor in sistemul (Ni/Cd)O-TiO₂-Mn₂O₅
prin tratament la 1000°C - palier 3 ore

Nr.	Reactantii chimici					Caracteristicile de culoare											
	TiO ₂ mol	NiO mol	CdO mol	Mn ₂ O ₅ 5%	Componentele culorii	Coordonatele tricromatice			λ_{d^0} nm	P _{c*} %	L	ΔL	Δa	Δb	ΔE	ΔC	
nr	X	Y	Z	x	y	z											
0	1	2	3	4	5	6	7	8	9	10	11	12	13	14	15	16	17
1.	1	0,50	0,50	-	46,80	49,20	28,05	0,377	0,397	575,84	52,64	70,14	-21,76	-2,75	24,80	33,10	24,95
2.	1	0,50	0,50	V ₂ O ₅	31,70	31,90	18,05	0,388	0,391	578,66	19,70	56,48	-35,42	2,24	19,99	40,74	20,12
3.	1	0,50	0,50	Sb ₂ O ₃	17,92	51,60	26,30	0,381	0,410	574,60	57,97	71,83	-20,07	-5,73	27,98	34,91	28,56
4.	1	0,50	0,50	Ta ₂ O ₅	44,96	47,60	20,50	0,398	0,421	575,86	61,40	68,99	-22,91	-5,52	30,08	37,93	30,29
5.	1	0,50	0,50	Bi ₂ O ₃	41,80	45,50	21,12	0,386	0,420	574,02	61,65	67,45	-24,45	-6,53	28,06	37,73	28,81
6.	1	0,25	0,85	-	53,01	53,90	39,00	0,363	0,370	578,06	38,00	73,42	-18,48	1,30	19,31	26,76	19,35
7.	1	0,25	0,75	V ₂ O ₅	40,10	39,95	24,75	0,383	0,381	579,42	46,87	63,21	-28,69	3,53	20,41	35,40	20,74
8.	1	0,25	0,75	Sb ₂ O ₃	51,32	52,50	35,24	0,373	0,391	577,55	42,71	74,89	-17,01	-4,18	23,35	29,17	23,70
9.	1	0,25	0,75	Ta ₂ O ₅	47,90	49,20	30,50	0,375	0,386	577,61	43,46	70,14	-21,76	0,04	22,73	31,46	22,73
10.	1	0,25	0,75	Bi ₂ O ₃	56,60	61,70	40,00	0,362	0,387	574,13	47,31	78,55	-13,55	-5,67	24,20	28,22	24,86
11.	1	0,10	0,90	-	64,23	62,41	56,96	0,350	0,340	584,42	22,49	78,99	-12,91	7,91	11,96	19,29	14,34
12.	1	0,10	0,90	V ₂ O ₅	41,78	41,20	25,00	0,387	0,382	580,07	43,96	64,19	-27,71	4,76	21,25	35,24	21,77
13.	1	0,10	0,90	Sb ₂ O ₃	62,50	63,00	56,68	0,343	0,346	578,80	24,29	79,57	-12,53	2,95	12,64	17,98	12,89
14.	1	0,10	0,90	Ta ₂ O ₅	57,10	55,91	55,03	0,344	0,337	584,40	19,70	74,77	-17,13	6,36	9,71	20,69	11,60
15.	1	0,10	0,90	Bi ₂ O ₃	50,85	55,30	31,40	0,370	0,402	573,64	52,97	74,36	-17,54	-7,18	26,43	32,58	27,59

Tabelul 31

Caracteristicile de culoare ale pigmentelor in sistemul (Ni/Cd)O-TiO₂-Mn₂O₃
pirointensati la 1000°C - palier 5 ore

P. rt.	Reacțanti chimici						Caracteristicile de culoare											
	TiO ₂ moli	NiO moli	CdO moli	Mn ₂ O ₃ 5%	Componentele culorii			Coordonatele tricromatice			P _{C'} , %/	L	L'	a	b	E	C	
					X	Y	Z	x	y	z								
0	1	2	3	4	5	6	7	8	9	10	11	12	13	14	15	16	17	
1.	1	1	1	1	-	37,42	39,56	36,21	0,329	0,350	371,15	20,45	62,90	-29,00	-2,97	9,31	30,60	9,77
2.	1	1	1	1	V ₂ O ₅	20,38	23,60	18,30	0,327	0,379	564,43	35,46	48,58	-43,32	-9,23	11,08	45,66	14,42
3.	1	1	1	1	Sb ₂ O ₅	26,10	31,20	20,00	0,340	0,404	566,37	47,67	55,86	-36,04	-13,44	17,28	42,17	21,89
4.	1	1	1	1	Ta ₂ O ₅	34,52	35,20	34,20	0,330	0,343	574,34	19,80	59,92	-31,98	-1,12	7,51	32,87	7,59
5.	1	1	1	1	Bi ₂ O ₅	35,50	39,00	26,55	0,350	0,389	571,64	43,26	61,85	-30,05	-7,93	18,06	35,93	19,73
6.	1	1	1	1	-	26,98	30,70	22,40	0,337	0,383	567,80	39,38	55,41	-36,49	-9,15	14,22	40,22	16,91
7.	1	1	1	1	V ₂ O ₅	7,83	9,70	7,50	0,313	0,388	556,19	35,82	31,14	-60,76	-8,73	6,93	61,77	11,14
8.	1	1	1	1	Sb ₂ O ₅	17,20	22,45	13,40	0,324	0,423	559,89	51,20	47,39	-44,52	-17,22	15,80	50,28	23,27
9.	1	1	1	1	Ta ₂ O ₅	31,60	35,20	28,05	0,333	0,371	568,22	53,49	59,33	-32,57	-7,86	12,91	35,91	15,11
10.	1	1	1	1	Bi ₂ O ₅	29,20	32,80	22,38	0,346	0,389	569,90	43,37	57,27	-34,63	-8,32	16,53	39,18	18,33

Pigmenti recalcinati la 1050°C - palier 6 ore -

Tabelul 32

Caracteristicile de culoare ale pigmentilor din sistemul $(\text{Ni}/\text{Cd})_0\text{-TiO}_2\text{-WO}_3$, prezentat la 1000°C - peler 3 ore-

nº r ₂ moli	Reactantii chimici			Caracteristicile de culoare													
	TiO ₂ moli	NiO moli	CdO moli	WO ₃ 5%	Componentele culorii		Coordonatele triaromatici		λ _{d'} /nm/	P _{c'} /%/	L	ΔL	Δa	Δb	ΔE	ΔC	
	X	Y	Z	x	y	z	10	9	11	12	13	14	15	16	17		
0	1	2	3	4	5	6	7	8	9	10	11	12	13	14	15	17	
1.	1	0,5	0,5	-	46,80	49,20	28,05	0,377	0,397	575,84	52,64	70,14	-21,76	-2,75	24,80	33,10	24,95
2.	1	0,5	0,5	CrO ₃	22,26	23,90	24,40	0,315	0,339	563,38	14,08	48,89	-43,01	-5,38	4,04	43,33	5,27
3.	1	0,5	0,5	MoO ₃	37,09	38,95	17,50	0,405	0,426	576,33	67,65	62,41	-29,49	-1,24	26,47	39,69	26,56
4.	1	0,5	0,5	WO ₃	44,80	47,23	38,08	0,344	0,363	574,53	30,21	68,72	-23,18	-2,80	14,67	27,57	14,93
5.	1	0,25	0,75	-	53,01	53,90	39,00	0,363	0,370	578,06	38,00	73,42	-18,48	1,50	19,31	26,76	19,35
6.	1	0,25	0,75	CrO ₃	37,70	39,50	28,30	0,357	0,375	574,23	37,05	62,85	-29,05	-2,01	16,71	33,57	16,83
7.	1	0,25	0,75	MoO ₃	47,75	48,40	31,50	0,374	0,379	578,63	45,87	69,57	-22,33	1,69	21,26	30,88	21,33
8.	1	0,25	0,75	WO ₃	52,60	53,50	34,90	0,373	0,382	577,59	44,88	73,14	-18,76	1,26	22,32	29,18	22,36
9.	1	0,10	0,90	-	64,28	62,41	56,96	0,350	0,340	584,42	22,49	78,99	-12,91	7,91	11,96	19,29	14,37
10.	1	0,10	0,90	CrO ₃	28,51	30,95	19,34	0,362	0,391	572,44	44,24	55,63	-36,27	-4,98	17,74	40,68	18,43
11.	1	0,10	0,90	MoO ₃	55,95	52,95	45,04	0,363	0,344	586,17	27,54	72,77	-19,13	10,80	13,65	25,87	17,41
12.	1	0,10	0,90	WO ₃	58,50	56,18	49,80	0,342	0,303	585,38	24,51	74,95	-16,95	9,05	12,41	22,87	15,36

Tabelul 33

Caracteristicile de culoare ale pigmentilor în sistemul $(\text{Ni}/\text{Cd})_0\text{-TiO}_2\text{-WO}_3$
pirosintetizati la 1000°C -paliu 3 ore-

Nr.	Reactantii chimici					Caracteristicile de culoare											
	Cr ₂ O ₃ moli	NiO moli	CdO moli	WO ₃ 5%	Componentele culorii	Coordonantele tricromatice			λ_d' /nm/	P _{c'} , %/	L	ΔL	Δa	Δb	ΔE	ΔC	
0	1	2	3	4	X	Y	Z	x	y	10	11	12	13	14	15	16	17
1.	1	1	1	-	37,42	39,56	36,21	0,329	0,350	571,15	20,45	62,90	-29,00	-2,97	9,31	39,60	9,77
2.	1	1	1	CrO ₃	21,50	25,50	15,90	0,342	0,405	566,66	48,63	50,50	-41,40	-11,47	16,09	45,88	19,76
3.	1	1	1	Cr ₂ O ₃	22,15	25,70	16,35	0,345	0,400	568,12	47,46	50,70	-41,20	-9,83	15,77	45,20	18,98
4.	1	1	1	K ₂ O ₃	22,78	24,00	21,96	0,331	0,349	572,86	23,12	48,99	-42,91	-1,85	7,12	43,54	7,36
5.	1	1	1	WO ₃	28,36	31,25	22,75	0,344	0,379	570,86	39,36	55,90	-36,00	-6,58	14,41	39,30	15,76
6.	1	1	1	-	26,98	30,70	22,40	0,337	0,383	567,80	39,38	55,41	-36,49	-9,15	14,22	40,22	16,91
7.	1	1	1	CrO ₃	14,51	18,35	10,82	0,332	0,420	562,60	51,74	42,84	-49,06	-13,60	14,41	52,92	10,82
8.	1	1	1	Cr ₂ O ₃	15,31	19,75	10,70	0,335	0,432	562,55	55,81	44,44	-47,46	-15,33	16,24	52,46	22,37
9.	1	1	1	K ₂ O ₃	15,25	18,55	13,15	0,325	0,395	561,75	41,33	43,07	-43,83	-11,27	11,45	51,41	16,07
10.	1	1	1	WO ₃	21,08	25,25	16,50	0,336	0,402	565,10	36,63	50,25	-41,65	-12,16	15,11	45,94	19,39

■ Pigmenți recalcinati la 1050°C -paliu o oră-

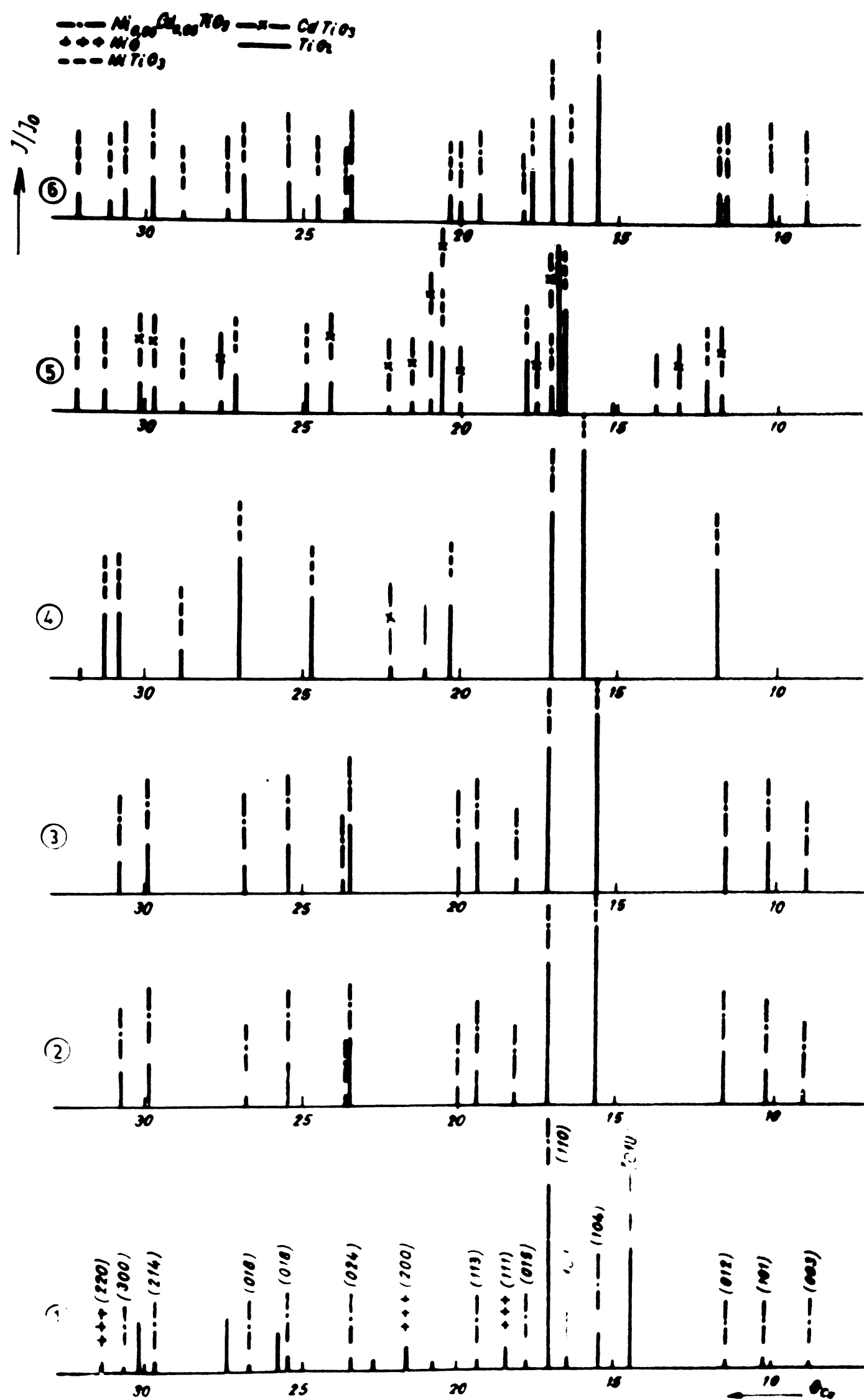


Figura 43.-Linile de difracție ale pigmentilor:

1. $\text{NiO} \cdot \text{CdO} \cdot \text{TiO}_2$;
2. $0,05\text{NiO} \cdot 0,95\text{CdO} \cdot \text{TiO}_2$;
3. $0,1\text{NiO} \cdot 0,9\text{CdO} \cdot \text{TiO}_2$;
4. $0,25\text{NiO} \cdot 0,75\text{CdO} \cdot \text{TiO}_2$;
5. $0,5\text{NiO} \cdot 0,5\text{CdO} \cdot \text{TiO}_2 \cdot \text{Sb}_2\text{O}_3$;
6. $0,5\text{NiO} \cdot 0,5\text{CdO} \cdot \text{TiO}_2$.

pulberi la 1000°C , timp de 3 ore, în care raportul reactanților $\text{NiO} \cdot \text{CdO} \cdot \text{TiO}_2$ a fost de 1:1:1 are compoziția oxidică: $\text{NiO}_{0,05} \text{Cd}_{0,95} \cdot \text{TiO}_3$, NiO și TiO_2 -rutil-. Nu s-a format compusul comun acestor sisteme, adică $\text{NiO} \cdot \text{TiO}_2$ și nici spinelul $(\text{NiCd})\text{TiO}_4$, motiv pentru care nici culoarea nu s-a dezvoltat, fiind necesară o temperatură de ardere mai ridicată pentru compozitiiile cu acest raport molar între $\text{NiO} \cdot \text{CdO}$, inclusiv pentru compozitiiile cu adaosuri oxidice $M_{m,n}O_n$ (tabelul 31, 33).

Pentru evaluarea influenței adaosurilor de oxizi $-M_{m,n}O_n - 5\%$, asupra caracteristicilor de culoare ale pigmentelor obținuți în regim izotermic (1000°C , palier 3 ore) s-au fălosit aceeași reactanți principali $\text{NiO} \cdot \text{CdO}$ și TiO_2 în raporturi molare de: 0,5:0,5:1; 0,25:0,75:1; 0,1:0,9:1; respectiv 1:1:1.

Valorile experimentale sunt redate în tabelele 30-31, pentru compozitiiile în sistemul oxidic $\text{NiO}/\text{CdO}-\text{TiO}_2-\text{Sb}_2\text{O}_5$ și în tabelele 32-33, pentru compozitiiile în sistemul $\text{NiO}/\text{CdO}-\text{TiO}_2-\text{MoO}_3$.

Studiul comparativ al acestor compuși oxidici argumentează diferențele cromatice dintre sortimentele de pigmenti aparținând aceluiași sistem oxidic de bază, dar cu adaosuri oxidice diferite pentru aceeași raporturi molare dintre principaliii reactanți.

Compozitiiile arse la 1000°C , având raportul molar 1:1:1 al principaliilor reactanți, dar fără adaos oxidic, nu s-au colorat. Recalcinate la 1050°C timp de o oră au dezvoltat culcarea verde (tabelul 31 și 33, poziția 6). Celelalte compozitii cu adaosuri de Sb_2O_5 și MoO_3 și-au dezvoltat nuantele în domeniul galben-verzui și verde al spectrului, între 556,19 nm și 569,90 nm.

Compozitiiile în care raportul molar a fost 0,5:0,5:1, cu adaos de pentoxizi (tabelul 30) au generat nuante: bej-portocaliu (V_2O_5), galben-lămific (Sb_2O_5 , Ta_2O_5 și Bi_2O_5), iar fără adaos nuanță galbenă închis-ocru.

Compozitiiile cu raportul molar 0,25:0,75:1 (tabelul 30, po-

ziile 6-10) au generat în ordine nuantele: ocru deschis, ocru închis și galbene.

Proportia reactantilor principali în raport molar de 0,10: 0,90:1 (tabelul 30, pozițiile 11-15) au dezvoltat în funcție de natura adaosului nuantele: roz-portocalii, bej, galben-rozacee și roz.

Raportul molar de 0,5:0,5 dintre NiO:CdO asigură valurile cele mai mari pentru: conținutul în galben, energia culorii și cromaticitate.

Adăosul compensatorului de sarcină scade luminozitatea pigmentelor, cu excepția adăosului de Nb_2O_5 .

Nuantele pigmentelor din adăosuri de trioxizi ai metalelor hexavalente, pentru aceleași rapoarte molare ale oxizilor: NiO:CdO:Tio₂, au valori apropiate în spectru pentru sectoarele verde-gălbui și roz-portocaliu între limitele 563,38-586,17 nm.

Pentru ilustrarea locului delimitat în diagrama cromaticității de pigmentii cei mai reprezentativi ai sistemului studiat fixăm sortimentele: NiO/CdO.TiO₂.uM₂O₅ în figura 44.

Se poate estima din distribuția nuanteelor în diagrama cromaticității posibilitatea îmbogățirii paletelor de nuante din sistemul NiO/CdO.TiO₂.uM_nO_n prin variația controlată a parametrilor principali de sinteză: proporția dintre NiO și CdO, felul adăosului oxidic și factorii termici ai sintezelor.

Detaliile de structură privind pigmentii din sistemul NiO/CdO.TiO₂.uM_mN_n, pirosintetizați la 1000°C, sunt puse în evidență de corziunea spectrelor IR, prezentate în figura 45, ale compozitiilor NiO/CdO.TiO₂.uMO₃, astfel:

- a.-spectrul IR al pigmentului NiO/CdO.TiO₂;
- b.-spectrul IR al pigmentului NiO/CdO.TiO₂.uCrO₃;
- c.-spectrul IR al pigmentului NiO/CdO.TiO₂.uMoO₃;
- d.-spectrul IR al pigmentului NiO/CdO.TiO₂.uWO₃.

Pentru fiecare din aceste sisteme raportul molar dintre NiO și CdO variază. Ele se identifică în spectre conform legendei:

- - - - - pentru raportul 1:1;
- ...-.-.-.-.- pentru raportul 1:1 - compozitie recalcinată la 1050°C;
- . - . - . - . - pentru raportul 0,5:0,5;
- — — — — pentru raportul 0,25:0,75;
- — — — — pentru raportul 0,1:0,9.

Dioxidul de titan participă în fiecare compozitie cu un molgram, iar adăosul oxidic cu 5 %.

In principal se constată aceeași alură a spectrelor IR ale

acestor pigmenti, specifică structură ilmenitei.

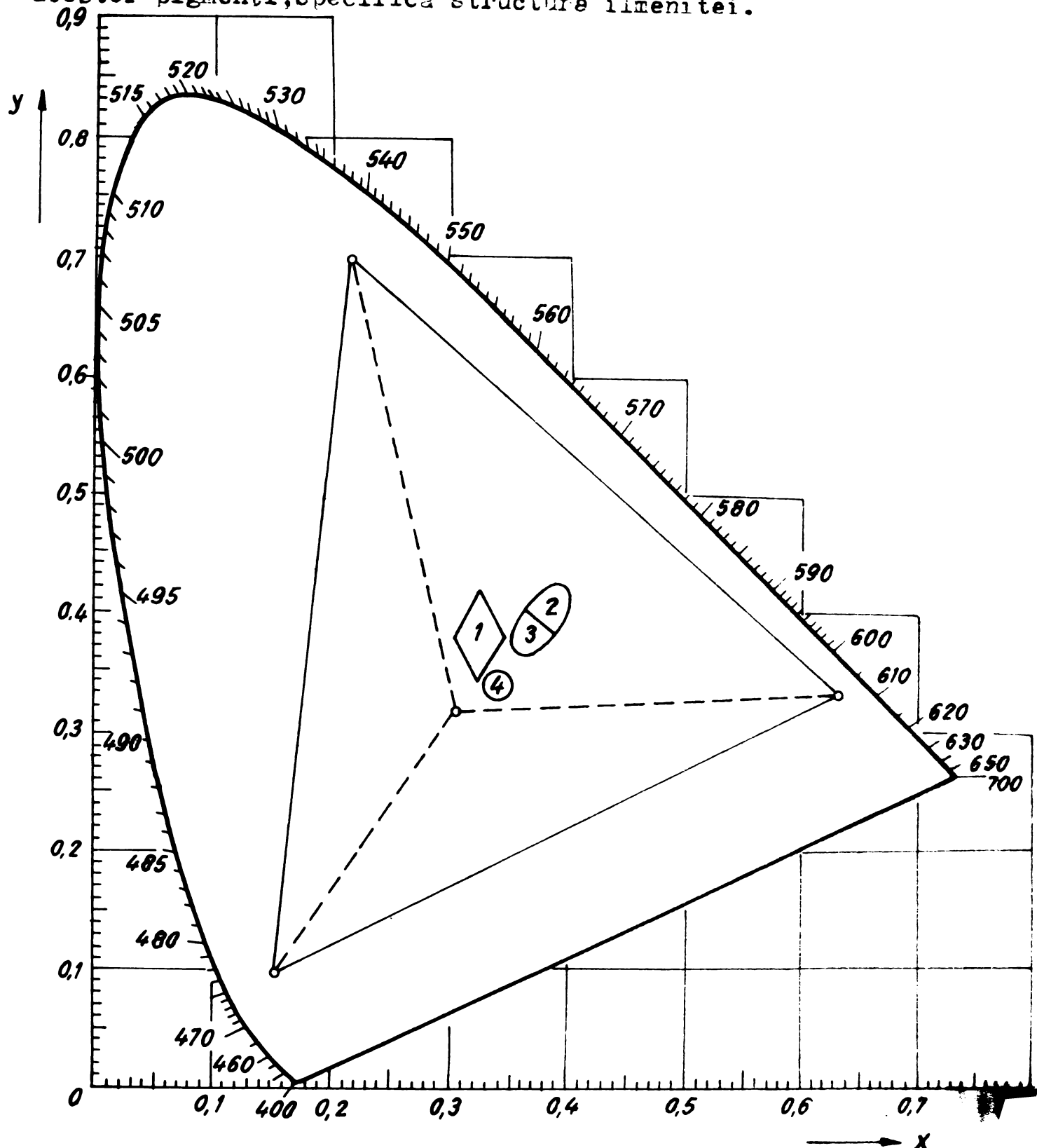


Figura 44.-Distribuția nuanteelor pigmentilor $\text{NiO} \cdot \text{CdO} \cdot \text{TiO}_2 \cdot \text{Mn}_2\text{O}_5$ în diagrama cromaticității:

- 1.-pigmenții în sistemul $\text{NiO} \cdot \text{CdO} \cdot \text{TiO}_2 \cdot \text{Mn}_2\text{O}_5$;
- 2.-pigmenții în sistemul $0,5\text{NiO} \cdot 0,5\text{CdO} \cdot \text{TiO}_2 \cdot \text{Mn}_2\text{O}_5$;
- 3.-pigmenții în sistemul $0,25\text{NiO} \cdot 0,25\text{CdO} \cdot \text{TiO}_2 \cdot \text{Mn}_2\text{O}_5$;
- 4.-pigmenții în sistemul $0,1\text{NiO} \cdot 0,1\text{CdO} \cdot \text{TiO}_2 \cdot \text{Mn}_2\text{O}_5$;

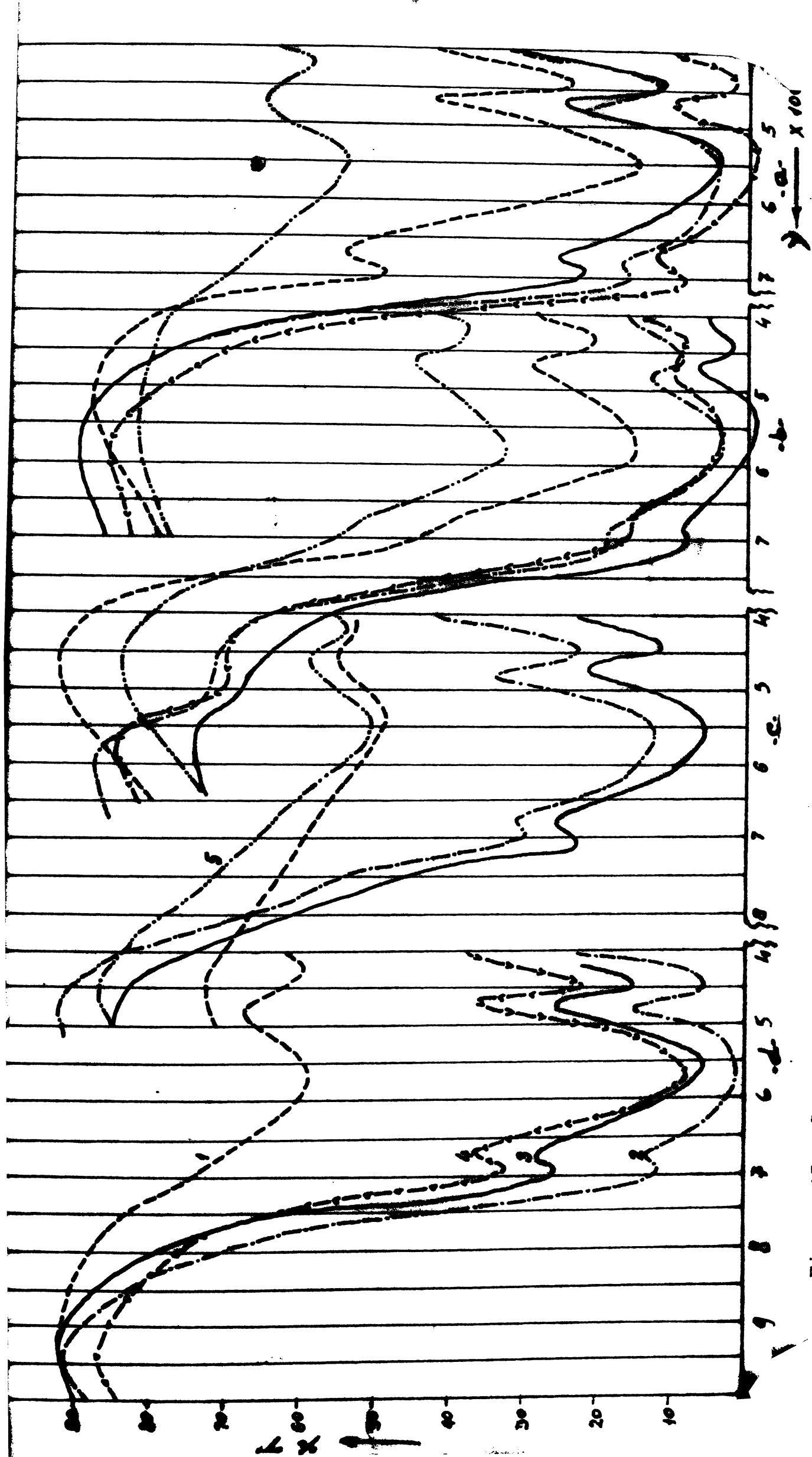


Figura 45.- Spectrele IR ale pigmentilor din sistemul $\text{NiO}/\text{CdO}/\text{TiO}_2 \cdot \text{u Mo}_3$.

Pigmenții rezultați din compozitiile în care raportul ionilor Ni²⁺:CdO este 1:1 prezintă o perturbare a poziției benzilor de absorbție, respectiv micșorarea și dispariția benzii de la 700 cm⁻¹ proporțional cu mărirea razei ionului din adaosul oxidic, care favorizează formarea structurii perovskitice. În compozitiile fără adaos oxidic (poziția -a-) această bandă se conservă, exceptând compozitia pigmentului recalcinat, marcată în figură (simbolul -...-...-...).

În pigmentii în care adaosul oxidic este CrO₃, apare un palier la 850-900 cm⁻¹ care corespunde structurii spinel, iar intensitățile benzilor corespunzătoare structurii ilmenitice sunt micșorate. Spectrele RX ale acestor pigmenti marchează parțial această structură.

Amănuntele structurale evidențiate în spectrele IR explică diferențele dintre caracteristicile de culoare ale pigmentelor din sistemul NiO/CdO.TiO₂.uM_mO_n, consecință a complexului de factori printre care regularitățile razei ionilor cu numărul de coordonată și tăria legăturii /191/, permitind să explice creșterea în medie a distanțelor interatomice cu gradul de distorsiune în diferite structuri /192/ pe care le determină și care practic concură la definitivarea structurii compușilor oxidici rezultați.

Pigmenții obținuți din compozitiile oxidice Ni²⁺/CdO-TiO₂-uM_mO_n, în condițiile preparatorii menționate, au proprietăți fizico-chimice superioare celorlalți pigmenti pe bază de cadmiu.

În figura 46 este prezentată microfotografia pulberii pigmentului NiO.CdO.TiO₂.uCrO₃ recalcinat.

Imaginea ilustrează forme rombice, cubice și hexagonale ale particulelor de pigment cu muchiile și colturile ascuțite și cu fețele netede.

Distribuția granulometrică medie este cuprinsă între 1,9-3,5 μ , în proporție de peste 70%.

Pigmenții nu au textură dură, iar finitatea particulelor poate fi realizată după cerințele impuse de destinația utilizării acestora.

Dintre proprietățile pigmentare specifice preparării vopselelor de acoperire acești compuși oxidici se disting prin indicele absorbției de ulei 19-21 g/100 g și putere de acoperire 26-29 g/m².

Testarea pigmentilor în colorarea emailului și a maselor plastice a dat rezultate bune, confirmând calitatea superioară cu privire la puțrea de acoperire, termorezistență și rezistență la agenții chimici.

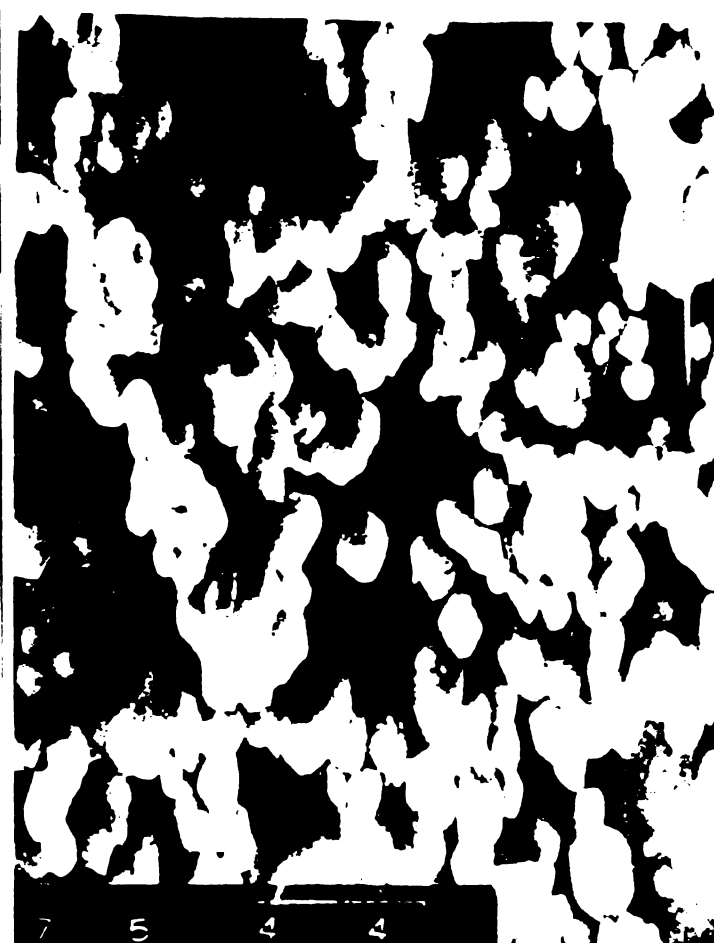


Figura 46.-Imaginea de microscopie electronică a pigmentului $\text{NiO}\cdot\text{CdO}\cdot\text{TiO}_2\cdot\text{MnO}_3$ recalcinat.

Pe baza rezultatelor experimentale proprii și ale altor autori, citați în lucrare, se confirmă faptul că ionii bivalenti ai metalelor tranzitionale la care există nivele energetice libere pe care pot trece electronii activați optic dezvoltă culori cu nuante într-o paletă bogată, singuri sau asociati cu ionii de Ni^{2+} în masa dioxidului de titan la care se adaugă mici cantități din oxizii superioare ai metalelor penta sau hexavelente.

De asemenea ionii elementelor bivalente care nu au nivele energetice libere, cum sunt ionii Zn^{2+} și Cd^{2+} , în substituție parțială cu ionii de Ni^{2+} dezvoltă în masa dioxidului de titan, în prezența adăosurilor oxidice menționate și în condiții preparatorii anumite culori și nuante de care responsabilă este energia de stabilizare rezultată a cimpului cristalin, care impune configurația octaedrică sau tetraedrică grupării cromofore. De asemenea, detaliile de structură, consecință a aspectelor de nestechiometrie și microdistorsiunilor pricinuite de substituțiile izomorfe realizate în definitivarea structurii cristaline a compusilor oxidici respectivi.

Grupa pigmentelor anorganici termorezistenți se îmbogățește cu sortimentele din sistemul de bază $\text{Ni}/\text{MnO}\cdot\text{TiO}_2\cdot\text{MnO}_n$ caracterizate prin valori optice și pigmentare superioare, care le asigură o serie extinsă de utilizări tehnico-industriale.

CAPITOLUL 5

5. SINTEZA SI STUDIUL PIGMENTILOR IN SISTEMUL [(1- α)NiO- α M₂O₃] .TiO₂.uM_mO_n

In acest sistem oxidic ionii de Ni²⁺ sunt substituiți, în diferite proporții, cu ionii trivalenti determinind dezvoltarea de nuante anumite în funcție de felul și raportul reactanților, natura adăosului oxidic și factorii termici ai pirosintezelor.

Un loc special în această serie de produse îl ocupă pigmentii preparați cu oxizi de fer.

Pigmentii pe bază de oxizi de fer ei îngiși constituie un grup cu deosebite caracteristici fizico-chimice /193,194/, care le diversifică utilitatea în multe ramuri ale industriei, cu precădere pentru industria preparării vopselelor de acoperire, colorării maselor plastice /175/, materialelor de construcție și ca pigmenti cu proprietăți magnetice. Ei au dezavantajul că nu sunt rezistenți la acțiunea acizilor și sunt sensibili la temperaturi de peste 200°C, schimbîndu-și caracteristicile de culoare.

Pigmentii în sistemul [(1- α)NiO. α Fe₂O₃] .TiO₂.uM_mO_n înăstură apoape în întregime aceste dezavantaje și îmbogățesc paleta de nuante de la ocru făchis, roșu, maro, roșu-violaceu pînă la negru-maroniu, prezintînd avantajul, că pirosintezele se realizează la temperaturi mai scăzute și sunt mai ieftini comparativ cu alți pigmenti folosiți pentru aceleasi scopuri.

Substituția iônilor de Ni²⁺ în sistemul oxidic cu ioni de Cr³⁺ generează în condiții de reacție stabilite culori cu nuante ocru și oliv /195/. Acești pigmenti îmbină în chip reușit proprietățile optice cu cele de rezistență chimică și termorezistență ridicată.

Compoziția materiilor prime folosite în prepararea pigmentilor din acest sistem oxidic este menționată în tabelul 5.

Ca sursă a iônilor de Fe³⁺ s-a folosit goethita -FeO(OH)- iar pentru ionii Cr³⁺ trioxidul de crom -Cr₂O₃-.

Metoda de preparare a fost cea a pirosintezei descrisă în capitolul 2.

5.1. SINTEZA SI STUDIUL PIGMENTILOR IN SISTEMUL [(1- α)NiO. α Fe₂O₃] .TiO₂.uSb₂O₅

Literatura de specialitate /196/ consemnează lucrări în care

sunt indicații cu privire la condițiile de sinteză și proprietățile fizice ale titanatilor de fer cu compozitii $\text{Fe}_2\text{O}_3 \cdot \text{TiO}_2$ și $\text{Fe}_2\text{O}_3 \cdot 2\text{TiO}_2$, a căror culoare variază de la galben la brun roșcat în funcție de raportul $\text{NiO}:\text{Fe}_2\text{O}_3$ și de ceilalți factori preparatorii.

In lucrarea /197/ ne-a preocupat precizarea condițiilor de sinteză și caracteristicile de culoare ale pigmentelor în sistemul $[(1-\alpha)\text{NiO} \cdot \alpha\text{Fe}_2\text{O}_3] \cdot \text{TiO}_2 \cdot \text{uSb}_2\text{O}_5$ și comportamentul lor în colorarea măselor plastice. O parte din aceste date experimentale sunt prezentate în cele ce urmează.

In tabelul 34 sunt trecute compozitii preparate în sistemul $[(1-\alpha)\text{NiO} \cdot \alpha\text{Fe}_2\text{O}_3] \cdot \text{TiO}_2 \cdot \text{uSb}_2\text{O}_5$, în care raportul $-\alpha-$ dintre NiO și Fe_2O_3 variază între 0 și 0,9, menționându-se constant dioxidul de titan la un molgram, adaosul oxidic -u- la 5%, sub formă de Sb_2O_3 și de 3% clorura de sodiu. De asemenea sunt menționate în tabel caracteristicile de culoare pentru fiecare compus rezultat la temperatura de 850°C , cu palier de 3 ore.

Studiul termogravimetric al amestecului de pulberi s-a efectuat asupra compozitiei $0,5\text{NiO}-0,5\text{Fe}_2\text{O}_3-\text{TiO}_2-\text{uSb}_2\text{O}_3$, în domeniul termic $20-1200^\circ\text{C}$, pentru localizarea efectelor termice corespunzătoare transformărilor fizico-chimice care se petrec pe durata pirosintezei.

In figura 47 este redată derivatograma acestei compozitii.

Curba DT înregistrează două efecte endotermice la temperatura de 340 și 398°C , care corespund deshidratării goethitei cu pierdere ponderală corespunzătoare, marcată pe curbele DTG și TG.

Un efect exoterm apare la temperatura de 570°C însotit de o ugoară creștere în greutate, care indică oxidarea trioxidului de antimoni la pentoxid de antimoni.

Literatura /196/ interpretează efectele termice în intervalul $340-400^\circ\text{C}$ ca rezultat al suprapunerii efectelor de eliminare a apei de constituție și formarea "semiprodusului" de titanat de fer.

Peste temperatura de 600°C nu apar înregistrate alte efecte termice, ceea ce semnifică faptul că nu mai au loc transformări de fază în masa compozitiei.

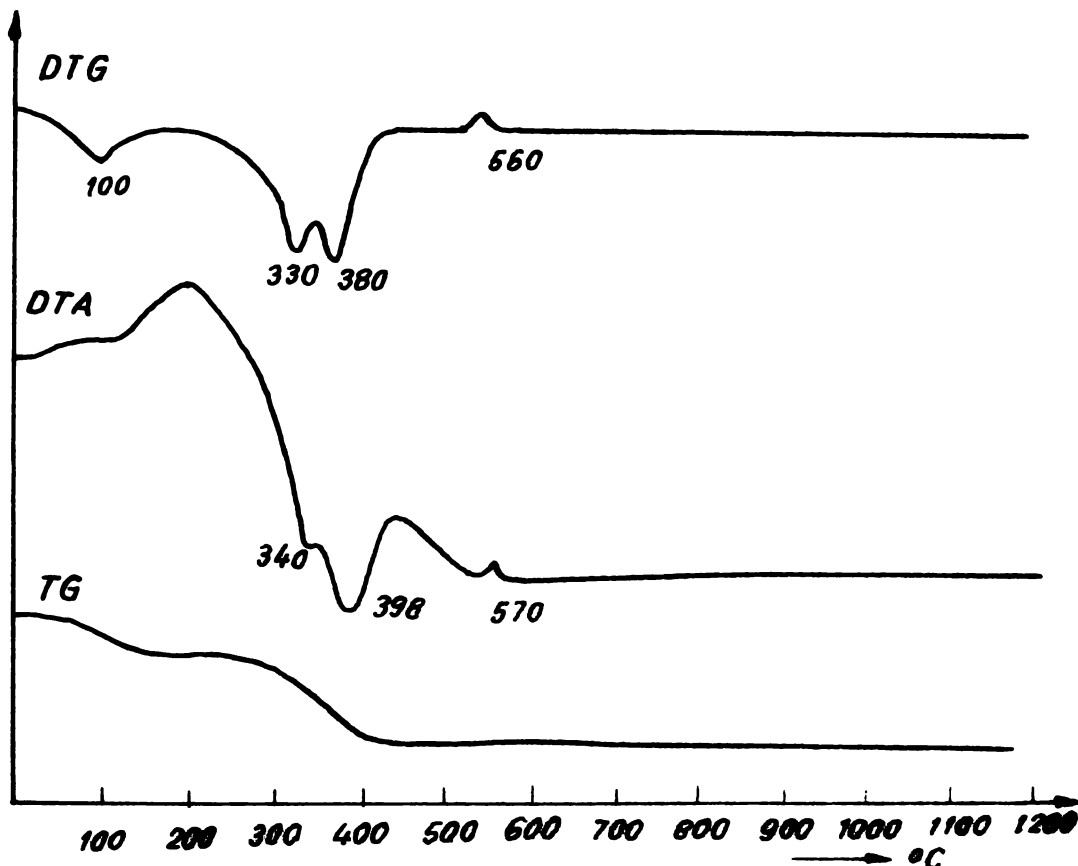
Din lucrările experimentale efectuate s-a constatat că temperatura de 850°C și timpul de 3 ore asigură atribuție optime culorii pigmentelor din sistemul $[(1-\alpha)\text{NiO} \cdot \alpha\text{Fe}_2\text{O}_3] \cdot \text{TiO}_2 \cdot \text{uSb}_2\text{O}_5$. In consecință s-a optat pentru această valoare termică în realizarea sintezelor respective.

Transformările de fază care caracterizează compusii oxidici din sistemul studiat sunt reflectate în liniile de difracție din

Tabelul 34

Characteristicile de culoare ale pigmentilor din sistemul $(1-\alpha) \cdot \text{NiO} \cdot \alpha \text{Fe}_2\text{O}_3$ - $\text{TiO}_2 - \text{u} \text{Sb}_2\text{O}_5$
piro sintetizati la 850°C - palier 3 ore-

Nr. crt.	Reactantii chimici				Caracteristicile de culoare								
	TiO ₂ moli	Fe ₂ O ₃ moli	NiO moli moli	Componentele culorii	Coordonatele tricromatice		λ_d , /nm/ nm/	Pc, %/	L	ΔL	Δa	Δb	ΔE
x	y	z	x	y	z	x	y	z	a	b	z	z	z
0	1	2	3	4	5	6	7	8	9	10	11	12	13
1.	1	1	0	8,50	8,30	7,66	0,348	0,339	584,07	22,24	28,81	-63,09	3,15
2.	1	0,9	0,1	8,65	8,35	8,10	0,345	0,333	587,23	18,46	28,90	-63,00	3,76
3.	1	0,8	0,2	7,70	7,82	8,30	0,323	0,328	579,04	10,36	27,96	-63,94	1,11
4.	1	0,7	0,3	7,07	7,22	7,80	0,320	0,327	578,91	9,10	26,87	-65,03	0,84
5.	1	0,6	0,4	7,90	8,15	8,85	0,317	0,327	572,76	8,34	28,55	-63,35	0,34
6.	1	0,5	0,5	8,30	9,22	9,75	0,304	0,338	539,08	14,66	30,36	-61,54	-3,45
7.	1	0,4	0,6	9,35	9,50	10,30	0,321	0,326	579,16	8,41	30,82	-61,08	1,11
8.	1	0,3	0,7	9,25	9,40	9,60	0,327	0,333	577,47	14,20	30,66	-61,24	1,10
9.	1	0,2	0,8	10,75	10,50	9,50	0,350	0,342	583,61	23,78	32,40	-59,49	3,41
10.	1	0,1	0,9	16,15	15,70	13,25	0,358	0,348	583,53	28,84	39,62	52,27	4,31
													7,32



**Figura 47.-Derivatograma componenției
0,5NiO-0,5Fe₂O₃-TiO₂-uSb₂O₅.**

din spectrele RX ale acestora, prezentate în figura 43.

Liniile de difracție ale compusului trei(3) din figură sunt specifice ilmenitei -FeTiO₃-, exceptând linia de reflexie cu intensitate mică corespunzătoare radiației difractate pe planul reticular (001) aparținând rutilului. Reacția se consideră practic totală.

In schimb, liniile de difracție ale compușilor 1 și 2 din figură aparțină ilmenitei (Ni,Fe)O·TiO₂, TiO₂-rutil- și NiC, ceea ce denotă că reacția nu-i terminată la temperatură de 850°C. Spectrul RX al acestor compuși nu prezintă liniile specifice adsosului oxidic și nici trioxidului de fer.

Gradul de cristalinitate al compușilor nu este ridicat și

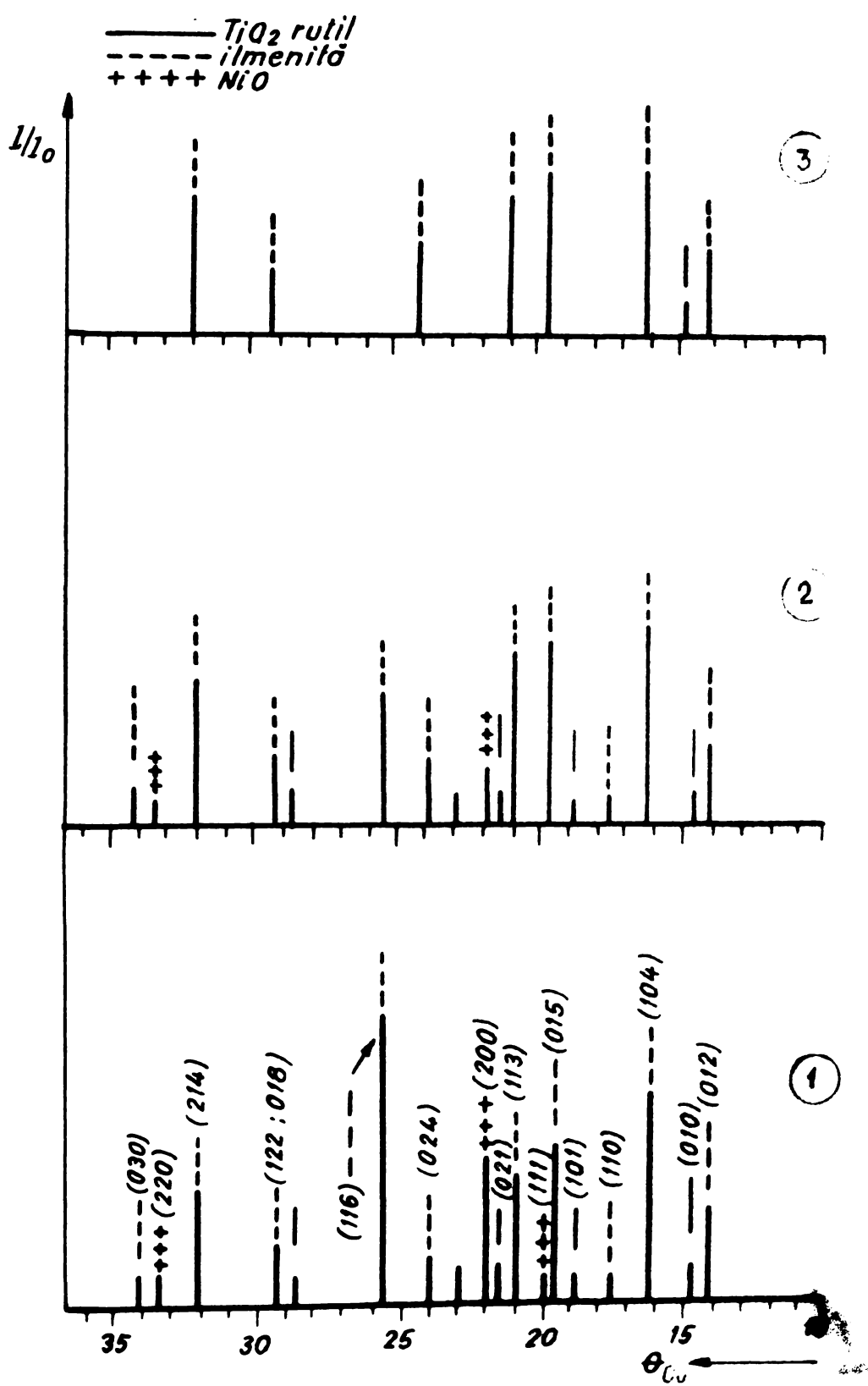
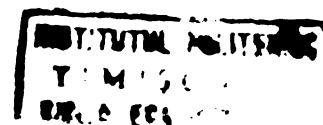


Figura 48.-Liniile de difracție X ale pigmentelor
pirosintetizate la $850^{\circ}C$, pe lîer 3 ore:
1.-0,9 $NiO \cdot 0,1 Fe_2O_3 \cdot TiO_2 \cdot 0,5 Sb_2O_5$;
2.-0,5 $NiO \cdot 0,5 Fe_2O_3 \cdot TiO_2 \cdot 0,5 Sb_2O_5$;
3.- $Fe_2O_3 \cdot TiO_2 \cdot Sb_2O_5$



este diferit. Cel mai redus grad de cristalinitate al particulelor îl prezintă pigmentul $\text{Fe}_2\text{O}_3 \cdot \text{TiO}_2 \cdot \text{uSb}_2\text{O}_5$.

Din tabelul 34 reiese variația caracteristicilor de culoare ale pigmentelor din sistemul $[(1-\alpha)\text{NiO} \cdot \alpha\text{Fe}_2\text{O}_3] \cdot \text{TiO}_2 \cdot \text{uSb}_2\text{O}_5$ în funcție de raportul molar dintre NiO și Fe_2O_3 .

Nuanțele acestor pigmenti sunt cuprinse între 539,08 și 587,23 nm.

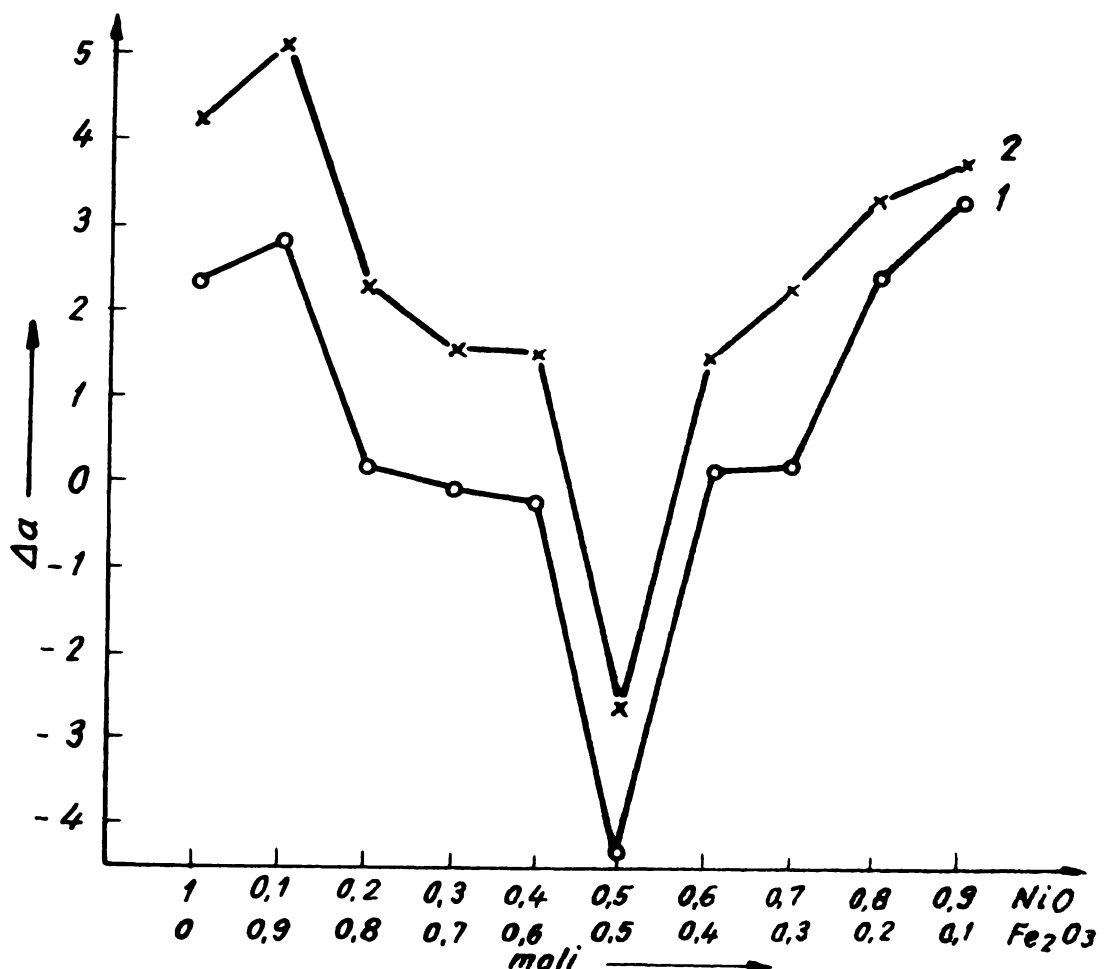


Figura 49.-Variația conținutului în roșu determinat de raportul NiO:TiO₂ în:

1. pulberile de pigmenti $[(1-\alpha)\text{NiO} \cdot \alpha\text{Fe}_2\text{O}_3] \cdot \text{TiO}_2 \cdot \text{uSb}_2\text{O}_5$
2. peliculele P.V.C. colorate cu pigmentii respectivi.

Conținutul în roșu al culorii scade de la raportul 0,1:0,9 pînă la 0,5:0,5 și apoi crește pînă la raportul 0,9:0,1.

Caracteristicile de culoare ale pigmentilor din sistemul $[(\text{1}-\alpha)\text{NiO} \cdot \text{Fe}_2\text{O}_3] \cdot \text{TiO}_2 \cdot \text{uM}_2\text{O}_5$
 pirointetizati la 850°C - palier 3 ore -.

nr	Reacțanții chimice		Caracteristicile de culoare															
	TiO_2	Fe_2O_3	NiO	M_2O_5	Componentele eului și coordonatele triacromatice	λ_d' $\text{nm}/$	P_{c*} %/	L	ΔL	Δa	Δb	ΔE	ΔC					
n	1	2	3	4	5	6	7	8	9	10	11	12	13	14	15	16	17	
0	0	1	1	0	Bi_2O_3	11,50	9,97	8,25	0,387	0,336	594,68	31,33	31,58	-60,32	10,65	6,02	61,55	12,23
1.	1	1	1	0	V_2O_5	8,00	8,75	10,55	0,295	0,323	497,53	7,46	29,58	-62,32	-2,59	-0,63	62,38	2,67
2.	1	1	1	0	Nb_2O_5	10,18	8,85	6,85	0,394	0,341	592,40	36,10	29,72	-62,18	10,05	6,54	63,35	11,99
3.	1	1	1	0	Ta_2O_5	10,75	9,35	7,40	0,391	0,340	592,67	34,75	30,58	-61,32	10,14	6,46	62,49	12,02
4.	1	1	1	0	Nb_2O_5	7,71	7,20	6,97	0,352	0,330	592,32	19,01	26,83	-65,07	5,25	2,79	65,34	5,93
5.	1	0,9	0,1	0,1	Nb_2O_5	31,03	7,12	9,46	10,96	0,293	500,20	9,54	30,76	-61,14	-3,39	-0,19	61,27	3,89
6.	1	0,9	0,1	0,2	Nb_2O_5	8,45	9,46	8,45	0,328	0,328	500,00	15,38	26,87	-65,03	5,36	2,11	65,28	5,76
7.	1	0,9	0,1	0,1	Nb_2O_5	7,15	7,22	7,30	0,348	0,324	596,00	15,38	26,87	-64,15	5,73	2,11	65,28	5,76
8.	1	0,9	0,1	0,1	Nb_2O_5	8,30	7,70	7,53	0,353	0,327	594,52	17,90	27,75	-64,15	5,73	2,74	64,46	5,35
9.	1	0,7	0,3	0,3	Nb_2O_5	31,20	7,08	7,00	7,71	0,323	591,03	7,11	26,45	-65,44	2,36	0,65	65,49	2,45
10.	1	0,7	0,3	0,3	Nb_2O_5	7,55	8,40	7,70	0,294	0,328	501,50	9,07	28,98	-62,92	-3,32	-0,15	63,01	3,32
11.	1	0,7	0,3	0,3	Nb_2O_5	7,17	7,06	7,51	0,330	0,325	588,35	10,32	26,57	-65,03	2,53	1,25	65,39	2,85
12.	1	0,7	0,3	0,3	Nb_2O_5	7,75	7,70	8,60	0,322	0,320	591,56	5,73	27,75	-54,15	2,19	0,16	64,19	2,24
13.	1	0,5	0,5	0,5	Nb_2O_5	6,18	6,27	6,80	0,321	0,326	579,80	3,29	25,04	-56,86	1,15	0,83	66,37	1,41
14.	1	0,5	0,5	0,5	Nb_2O_5	9,45	10,40	10,55	0,311	0,342	555,25	14,58	32,25	-59,65	-3,23	2,58	53,79	4,14
15.	1	0,5	0,5	0,5	Nb_2O_5	7,36	7,40	8,50	0,316	0,316	522,22	2,93	27,20	-64,70	1,59	-0,08	64,72	1,59
16.	1	0,5	0,5	0,5	Nb_2O_5	7,55	7,70	9,13	0,310	0,316	579,73	0,50	27,75	-64,45	0,32	-0,68	64,46	1,13
17.	1	0,1	0,9	0,9	Nb_2O_5	24,65	6,60	6,05	0,417	0,367	583,16	57,52	37,88	-55,02	7,27	11,21	57,23	15,96
18.	1	0,1	0,9	0,9	Nb_2O_5	32,30	12,20	9,45	0,362	0,359	575,72	43,12	34,93	-56,97	2,67	7,81	57,57	8,25
19.	1	0,1	0,9	0,9	Nb_2O_5	23,00	2,16	24,50	0,327	0,324	587,94	9,18	47,71	-44,19	3,47	2,36	44,53	4,19
20.	1	0,1	0,9	0,9	Nb_2O_5	29,25	19,10	21,25	0,323	0,321	591,40	6,13	43,70	-48,20	3,04	1,17	46,31	2,26

Luminozitatea acestor pigmenti este mică, cuprinsă între 26,87 și 39,62 (pozițiile 4 și 10).

Puritatea colorimetrică P_c și valoarea cromaticității ΔC ale acestor sortimente de pigmenti au valori mici. În schimb, diferența totală de energie ΔE a culorilor, față de albul etalon este destul de mare, cuprinsă între 52,96 și 65,04.

Compușii oxidici obținuți în condițiile menționate se caracterizează prin proprietăți pigmentare superioare, rezistență chimică și termorezistență bună. Aceste asemănări se desprind din valorile:

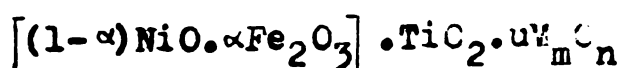
- puterea de acoperire: 18-18 g/m²;
- indicele absorbției de ulei: 37-42 g/locg;
- mărimea particulelor și distribuția granulometrică între 0,25-3,00 μ ;
- efectele testării în colorarea foliilor P.V.C.

Caracteristicile de culoare ale peliculelor P.V.C. sunt prezentate în tabelul 35.

Valoarea acestor caracteristici de culoare urmează aproape fidel variația valorilor caracteristicilor de culoare ale pigmentelor respectiv în funcție de variația raportului molar dintre NiC și Fe_2O_3 , figura 49.

Din datele tabelelor 34 și 35 și variația conținutului în roșu rezultată din graficele trase în figura 49 se constată închiderea nuanței pigmentelor în peliculele P.V.C. și aproape un paralelism al variației conținutului în roșu și a acestora față de pigmentii corespunzători, marind absorbția luminii la lungime de undă mai mare.

5.2. SINTEZA SI STUDIUL PIGMENTILOR IN SISTEMUL



Diversificarea sortimentelor de pigmenti în sistemul $[(1-\alpha)NiO.\alpha Fe_2O_3] \cdot TiO_2 \cdot uM_m^C_n$ prin adăugarea elementelor penta și hexavalente s-a dovedit ca și în alte sisteme, o cale de îmbo-gătire a paletelor de culori.

În tabelele 36 și 37 sunt consignate condițiile de sinteză: compozиtiile chimice, factorii termici și caracteristicile de culoare ale acestor pigmenti.

S-au organizat lucrările experimentale astfel încât să se poată urmări influența proporției dintre NiC și Fe_2O_3 , în limitele raportului molar între 0,0:1,0; 0,1:0,9; 0,3:0,7; 0,05:0,05 și 0,9:0,1 în funcție de adăugarea oxidic $M_m^C_n$, asupra valorii caracteristicilor de

Tabelul 7

Caracteristicile de culoare ale pigmentilor în sistemul $(1-\alpha) \cdot \text{NiO} + \text{Fe}_2\text{O}_3 \cdot \text{TiO}_2 \cdot \text{WO}_3$ pirosintetizati la 850°C - palier 3 ore -.

Nr	Reactanții chimici				Componentele culorii				Cordonantele tricromatice				Caracteristicile de culoare				
	TiO_2 mol/l	Fe_2O_3 mol/l	NiO mol/l	WO_3 mol/l	X	Y	Z	X	y	λ_d° /nm	P_c° %/	L	ΔL	Δa	Δb	ΔE	ΔC
9	1	2	3	4	5	6	7	8	9	10	11	12	13	14	15	16	17
1.	1	1	0	CrO_3	10,60	11,03	12,00	0,315	0,328	568,50	8,17	33,21	-58,69	-0,25	1,23	58,70	1,26
2.	1	1	0	MoO_3	8,85	8,45	8,80	0,339	0,324	594,48	12,30	29,07	-62,83	4,37	1,81	63,01	4,73
3.	1	1	0	WO_3	6,52	6,35	6,55	0,329	0,330	581,53	12,76	25,20	-67,70	1,57	1,63	66,74	2,26
4.	1	0,9	0,1	CrO_3	9,20	10,00	11,75	0,297	0,323	498,73	6,72	31,62	-60,28	-2,51	-0,49	60,33	2,56
5.	1	0,9	0,1	MoO_3	7,50	7,20	7,60	0,336	0,325	594,61	11,12	26,83	-65,07	3,83	1,40	65,19	4,08
6.	1	0,9	0,1	WO_3	5,87	5,90	6,30	0,325	0,327	582,53	9,68	24,29	-67,61	1,53	1,03	67,64	1,84
7.	1	0,7	0,3	CrO_3	8,00	9,23	11,00	0,283	0,327	497,08	12,96	30,38	-61,52	-3,26	0,79	61,75	5,32
8.	1	0,7	0,3	MoO_3	6,40	6,50	7,30	0,317	0,322	580,39	5,01	25,50	-66,40	1,09	0,28	66,41	1,13
9.	1	0,7	0,3	WO_3	6,20	6,35	6,90	0,319	0,326	580,19	9,04	25,20	-66,70	0,72	0,81	66,71	1,08
10.	1	0,5	0,5	CrO_3	10,55	11,80	12,67	0,301	0,337	526,37	11,59	34,35	-57,55	-4,39	1,58	57,74	4,67
11.	1	0,5	0,5	MoO_3	7,40	7,00	7,20	0,343	0,324	594,84	13,65	26,46	-65,44	4,52	1,79	65,62	4,87
12.	1	0,5	0,5	WO_3	5,80	6,10	6,75	0,311	0,327	557,95	6,54	24,70	-67,20	-0,40	0,49	67,20	0,64
13.	1	0,1	0,9	CrO_3	11,75	12,00	11,07	0,337	0,345	517,57	22,19	34,64	-57,26	0,82	4,71	57,46	4,78
14.	1	0,1	0,9	MoO_3	15,25	14,60	10,50	0,318	0,352	583,00	39,48	38,21	-53,69	5,27	9,86	54,84	11,18
15.	1	0,1	0,9	WO_3	16,20	15,40	9,50	0,394	0,373	582,59	45,12	39,24	-52,66	5,91	12,52	54,45	13,85

Taboul 37
Caracteristicile de culoare ale pigmentelor in sistemul $[1-\alpha]NiO \cdot \alpha Fe_2O_3 \cdot TiO_2 - u Sb_2O_5$
piroasintetizati la $850^{\circ}C$ - palier 3 ore - in pelicule P.V.C.

Nr. ord.	Reactantii chimici			Componenteie culorii			Coordonatele tricromatice			Caracteristicile de culoare						
	molii	molii	molii	X	Y	Z	x	y	z	L	ΔL	Δa	Δb	ΔE	ΔC	
molii	molii	molii	4	3	2	6	7	8	9	10	11	12	13	14	15	16
1.	1	1	-	5,90	5,45	4,50	0,372	0,344	583,03	31,15	23,35	-68,55	5,16	4,32	68,88	6,73
2.	1	0,9	0,1	5,60	5,05	4,48	0,370	0,334	592,63	25,22	22,47	-69,43	6,05	3,34	69,77	6,92
3.	1	0,8	0,2	4,85	4,60	4,30	0,353	0,335	588,42	21,67	21,45	-70,45	3,73	2,53	70,60	4,51
4.	1	0,7	0,3	4,75	4,65	4,40	0,344	0,337	584,25	20,27	21,56	-70,34	2,48	2,40	70,42	3,45
5.	1	0,6	0,4	5,10	5,00	4,70	0,345	0,338	533,87	20,79	22,36	-68,54	2,48	2,59	69,63	3,59
6.	1	0,5	0,5	5,00	5,45	5,65	0,311	0,339	555,45	12,88	23,35	-68,55	1,72	1,40	68,59	2,22
7.	1	0,4	0,6	5,80	5,70	5,65	0,338	0,332	565,88	16,50	23,87	-68,03	2,48	2,09	68,10	3,24
8.	1	0,3	0,7	5,90	5,69	5,10	0,354	0,341	585,04	24,66	23,85	-68,05	3,31	3,43	68,21	4,76
9.	1	0,2	0,8	7,58	7,20	6,00	0,365	0,347	585,39	30,16	26,83	-65,07	4,37	4,93	65,40	6,59
10.	1	0,1	0,9	12,92	12,40	8,72	0,380	0,364	582,65	40,80	35,21	-56,69	4,77	9,36	57,65	10,51

culoare ale pigmentilor pirosintetizați în condiții izotermice (850°C și palier de 3 ore) /198/.

Nuanțele roșu, roșu-violaceu s-au obținut în compozitiile în care raportul molar dintre $\text{NiO}:\text{Fe}_2\text{O}_3$ a variat de la 0:1 la 0,5:0,7 pentru adăosurile oxidice: Bi_2O_5 , Nb_2O_5 și Ta_2O_5 . Aceleși proporții cu adăos de V_2O_5 au dezvoltat nuanțe negru-maroniu, violaceu și gri, aceste nuanțe le-au dezvoltat și compozitiile cu CrO_3 pentru raportul molar 0,1:0,9 și 0,3:0,7.

Nuanțele maro, ușor diferențiate, dar reușite, au generat compozitiile cu raportul $\text{NiC}:\text{TiO}_2$ de 0,9:0,1 cu adăosuri oxidice de: Bi_2O_5 , Nb_2O_5 , Ta_2O_5 , MoO_3 și WO_3 . Adăosurile V_2O_5 și CrO_3 pentru același raport au dezvoltat nuanțe ocru închis.

Un diapazon de nuanțe generează compozitiile în care raportul molar $\text{NiO}:\text{Fe}_2\text{O}_3$ este 0,5:0,5, corespunzătoare lungimii de undă cuprinsă între 526,37 și 594,84 nm (tabelul 37, pozițiile 10 și 11).

La acest întreg grup de pigmenti conținutul în roșu este atributul esențial al culorii lor. Variatia cantitativă a conținutului în roșu în funcție de raportul dintre $\text{NiC}:\text{Fe}_2\text{O}_3$ și de gruparea adăosului oxidic $-\text{M}_m\text{O}_n-$ rezultă din figura 50.

Graficul ilustrează sinoptic variația conținutului în roșu al pigmentilor condiționat de compozitia chimică.

Cea mai mare variație în roșu îl prezintă pigmentii în care raportul $\text{NiO}:\text{Fe}_2\text{O}_3$ este 0,1:0,9. Pigmentii rezultați din compozitiile cu raportul 0,5:0,5 prezintă cea mai mică variație a conținutului în roșu, datorită formării în proporție mare a compusului oxidic cu structura ilmenitei.

Conținutul cel mai ridicat în roșu îl au compusii cu adăos de Bi_2O_5 , Nb_2O_5 și Ta_2O_5 , pentru raportul molar 0,1:0,9 dintre NiO și Fe_2O_3 .

Cel mai redus conținut în roșu caracterizează compusii cu adăos de CrO_3 și de V_2O_5 pentru raportul molar dintre $\text{NiO}:\text{Fe}_2\text{O}_3$ de 0,3:0,7, respectiv 0:1.

Proprietățile optice ale acestor pigmenti, se subînțelege, reprezentă efectul concurenței tuturor caracteristicilor de culoare pentru fiecare compus oxidic rezultat din sinteză și îl individualizează. Totuși atributul principal al lor îl constituie conținutul în roșu.

Calitatea superioară a acestor pigmenti este conferită și de celelalte proprietăți fizice: textură moale, termorezistență și putere de acoperire.

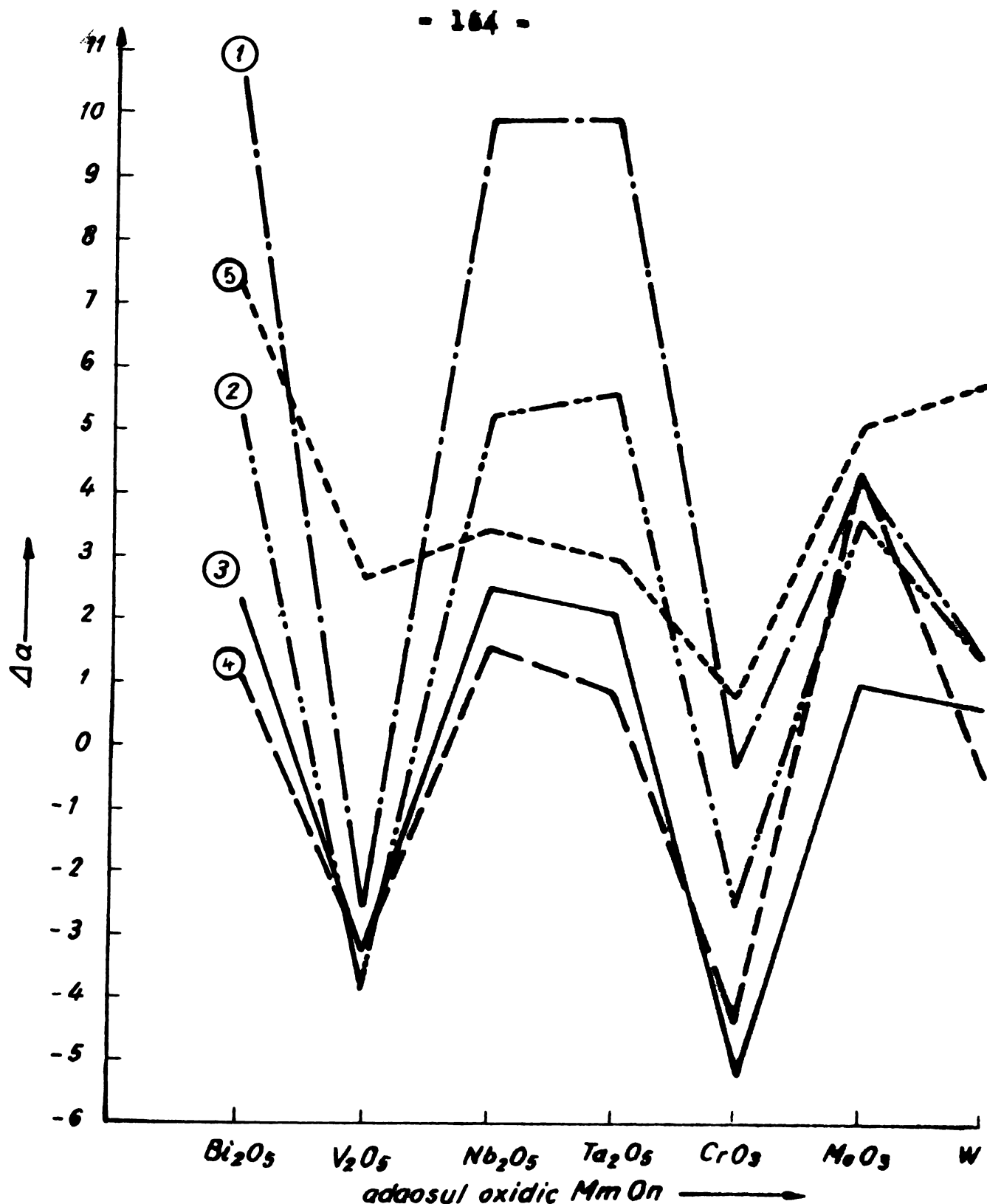


Figura 50.-Variația conținutului în roșu a culorii
pigmenților în sistemul $(1-\alpha)NiC \cdot \alpha Fe_2O_3 \cdot TiO_2 \cdot uM_{m,n}O_n$ pirosintetizat la $850^{\circ}C$, palier 3 ore, în
funcție de raportul $NiC \cdot Fe_2O_3$ și felul adăosului
oxidic $-M_{m,n}O_n-$:

1. $Fe_2O_3 \cdot TiO_2 \cdot uM_{m,n}O_n$;
2. $0,1 NiC \cdot 0,9 Fe_2O_3 \cdot TiO_2 \cdot uM_{m,n}O_n$;
3. $0,3 NiC \cdot 0,7 Fe_2O_3 \cdot TiO_2 \cdot uM_{m,n}O_n$;
4. $0,5 NiC \cdot 0,5 Fe_2O_3 \cdot TiO_2 \cdot uM_{m,n}O_n$;
5. $0,9 NiC \cdot 0,1 Fe_2O_3 \cdot TiO_2 \cdot uM_{m,n}O_n$.

In figura 51 este prezentată mărimea particulelor și distribuția lor granulometrică, în % greutate cumulate, determinate prin metoda Coulter Counter, caracterizând pulberea pigmentului $0,5 \text{ NiO} \cdot 0,5 \text{ Fe}_2\text{O}_3 \cdot \text{TiO}_2 \cdot \text{uV}_2\text{O}_5$.

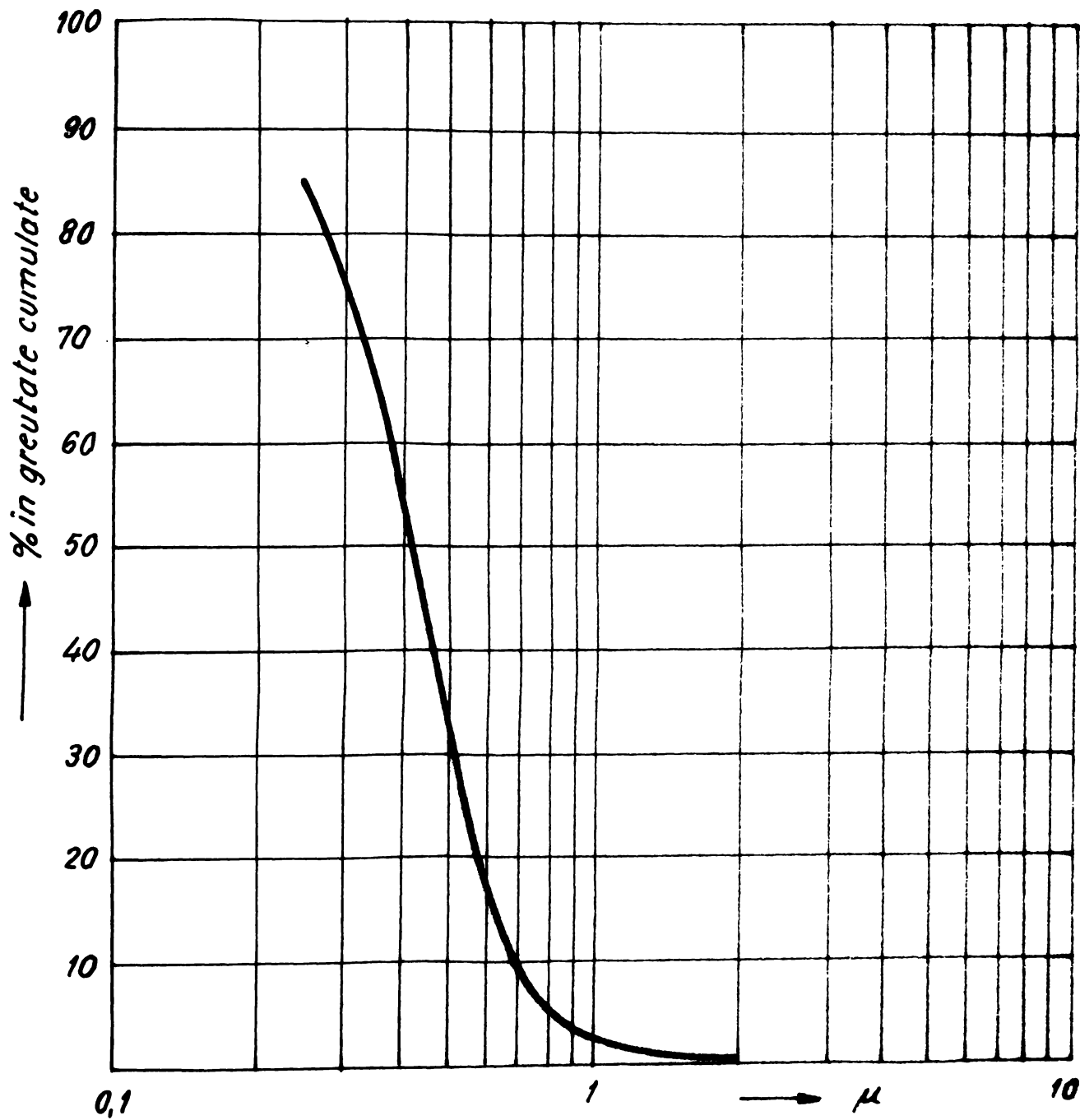


Figura 51.-Mărimea și distribuția granulometrică a pigmentului $0,5 \text{ NiO} \cdot 0,5 \text{ Fe}_2\text{O}_3 \cdot \text{TiO}_2 \cdot \text{uV}_2\text{O}_5$.

Se constată o finețe evanescă a pulberii și o distribuție granulometrică în limite înguste între 0,25 și 1,3 μ . Proportia maximă (47%) fiind cuprinsă între 0,5-0,6 μ .

Puterea de acoperire și rezistența termică bună a pigmentilor din sistemul $[(1-\alpha) \text{NiO} \cdot \alpha \text{Fe}_2\text{O}_3] \cdot \text{LiC}_2\text{O}_4 \cdot \text{MgO}$ a fost probată prin testarea lor în colorarea foliilor de F.V.C.

In tabelul 38 sint trecute caracteristicile de culcare ale

Tabelul 38

Caracteristicile de culoare ale pigmentelor din sistemul $(1-\alpha) \cdot \text{NiO} \cdot \alpha \text{Fe}_2\text{O}_3$ - $\text{TiO}_2 \cdot \text{MnO}_2$
pirosintetizati la 850°C - palier 3 ore - in pelicule P.V.C.

Nr. crt	Reactantii chimici							Caracteristicile de culoare									
	TiO_2	Fe_2O_3	NiO	MnO_2	Componentele catalizorii			Coordonatele tricromatice			λ_{d^*} nm	P_{c^*} %	ΔL	Δa	Δb	ΔE	ΔC
					1	2	3	4	5	6							
0	1	2	3	4	5	6	7	8	9	10	11	12	13	14	15	16	17
1.	1	1	0	Ba_2O_3	0,30	6,20	3,32	0,467	0,348	596,42	58,60	24,90	-67,00	16,82	8,93	69,65	19,05
2.	1	1	0	V_2O_5	4,62	5,30	5,61	0,298	0,341	521,00	15,48	23,02	-68,88	-3,57	1,07	68,98	3,72
3.	1	1	0	Nb_2O_5	6,70	5,18	3,25	0,443	0,342	596,65	50,06	22,76	-69,14	13,62	6,87	70,80	15,25
4.	1	1	0	Ta_2O_5	7,95	5,95	3,40	0,459	0,344	597,72	52,42	24,39	-67,51	16,39	8,21	69,95	18,33
5.	1	1	0	CrO_3	5,20	6,00	0,299	0,356	0,356	558,38	26,19	24,90	-67,00	-5,40	2,55	67,27	5,97
6.	1	1	0	MnO_2	4,70	4,18	3,45	0,381	0,339	591,56	31,83	20,45	-71,45	6,15	3,71	71,82	7,19
7.	1	1	0	WO_3	4,10	3,75	3,27	0,368	0,337	590,63	27,09	19,36	-72,54	4,80	2,93	72,75	5,63
8.	1	0,9	0,1	Ba_2O_3	4,90	3,95	3,35	0,402	0,324	603,11	30,80	19,87	-72,03	10,15	3,32	72,81	10,66
9.	1	0,9	0,1	V_2O_5	3,05	3,63	4,35	0,276	0,329	529,56	6,38	19,05	-72,85	-3,87	-0,82	72,95	3,95
10.	1	0,9	0,1	Nb_2O_5	4,80	4,00	3,38	0,394	0,328	599,32	30,64	20,00	-71,90	8,74	3,38	72,51	3,37
11.	1	0,9	0,1	Ta_2O_5	5,30	4,33	3,55	0,402	0,329	600,00	37,37	20,81	-71,09	9,95	3,85	71,89	10,67
12.	1	0,9	0,1	CrO_3	4,50	5,55	5,80	0,284	0,350	509,95	18,96	25,56	-68,34	-6,23	1,30	68,64	6,37
13.	1	0,9	0,1	MnO_2	4,65	3,90	3,30	0,392	0,329	598,68	30,49	19,75	-72,25	8,37	3,32	72,71	3,00
14.	1	0,9	0,1	WO_3	3,50	3,25	0,349	0,329	0,329	591,45	17,95	18,17	-73,73	3,50	1,58	73,83	3,84

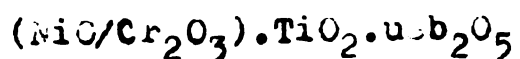
sortimentelor de pigmenti pentru raporturile molare $\text{NiO}:\text{Fe}_2\text{O}_3:\text{TiO}_2$ de: 1:1:1 și 0,1:0,9:1, cu adăos oxidic de 5%, din M_2O_5 și MoO_3 .

Se desprinde din datele tabelului închiderea nuanței pigmentilor în colorarea foliilor de P.V.C. cu excepția compozitiilor cu adăos de CrO_3 și MoO_3 , care determină un efect nipsocrom asupra nuanței în foliile colorate.

Dispersibilitatea uniformă și lipsa migrării pigmentului în masa materialului plastic sunt calități de esenție dovedite prin testare.

In cazul acestui grup de pigmenti este înlesnită observația variației nuanțelor prin conținutul în roșu determinat, atât de raportul dintre $\text{NiO}:\text{Fe}_2\text{O}_3$, cât mai ales de felul adăosului oxidic (figura 50). Se constată cu usurință că oxizi superiori ai elementelor din seria I-a de tranziție a sistemului periodic: V_2O_5 și CrO_3 , condiționează în pigmenti conținutul în roșu cel mai scăzut. Este cunoscut că orbitalii 4d și 5d din a II-a și a III-a serie de tranziție sunt parțial penetrați, în timp ce orbitalii 3d din prima serie nu sunt deloc suprapuși. Existenta unor legături cu caracter parțial ionic-covalent în acești oxizi explică cantitatativ multe ciudătenii întâlnite în construcția cristalelor compușilor oxidici, precum și multe proprietăți fizice și chimice ale acestora, dela care nu fac excepție pigmentii anorganici.

5.3.-SINTEZA SI STUDIUL PIGMENTILOR IN SI TITUL



Oxizii componente ai sistemului $(\text{NiO},\text{Cr}_2\text{O}_3)-\text{TiO}_2-\text{Sb}_2\text{O}_5$, cuplați între ei binar sau ternar în raporturi diferite și supuși operațiilor preparatorii adecvate în vederea realizării de sinteze reprezentă o sună pentru producerea unui număr sporit de pigmenti de culori și nuanțe diferite.

Sistemul oxidic $\text{NiO}-\text{TiO}_2$ și $\text{NiO}-\text{TiO}_2-\text{Sb}_2\text{O}_5$, în condițiile de sinteză descrise în capitolul 3 dezvoltă nuanțe galbene /154,162/.

Sistemul $\text{Cr}_2\text{O}_3-\text{TiO}_2-\text{Sb}_2\text{O}_5$ supus pirosintezei la temperaturi cuprinse între $1000-1100^\circ\text{C}$ timp de 2 ore generează nuanțe ocru /52/.

Sistemul binar $\text{Cr}_2\text{O}_3-\text{TiO}_2$ ars la temperaturi de $850-900^\circ\text{C}$ pe o durată de 4 ore asigură formarea de compuși oxidici de culoare verde emerald pînă la kakî /199/.

Sistemul $\text{NiO}-\text{Cr}_2\text{O}_3$, în prezență de acid boric, calcinat la temperaturi de $1300-1350^\circ\text{C}$ conduce la formarea spinelului NiCrO_4 , de culoare verde închis /200/.

Compoziții oxidice similare pirosintetizate în vederea obținerii de pigmenti cu nuante galbene-fildes, ocreu-deschis, ocreu-regu, ocreu-brun au fost menționate și în alte lucrări /201, 202, 203/, dar fără să fie precizați parametrii tehnologici și proprietățile coloristice.

Sistemul oxidic $(\text{NiO}/\text{Cr}_2\text{O}_3)-\text{TiO}_2-\text{uSb}_2\text{O}_5$, dezvoltă, la temperaturi între $900-1100^\circ\text{C}$ și la paliere de ardere între 1-3 ore, nuante oliv strălucitoare /195/.

În cadrul lucrărilor noastre /152, 154, 162, 195/ au fost precizate detaliile cu privire la condițiile de sinteză, mecanismul formării structurii și dezvoltării culorii, precum și proprietățile fizico-chimice ale pigmentilor rezultați.

În tabelul 39 sunt consemnate datele privind proporția reactanților oxidici ai sistemului $(\text{NiO}/\text{Cr}_2\text{O}_3)-\text{TiO}_2-\text{uSb}_2\text{O}_5$, factorii termici la care s-au realizat pirosintezele (1000°C , cu palier de 3 ore) și caracteristicile de culoare ale compusilor oxidici obținuți.

Condițiile de preparare au fost identice cu cele menționate în lucrare.

Ca mineralizator s-a folosit tot clorura de sodiu în proporție de 3%.

Este interesant de constatat că nuantele celor trei compusi oxidici realizati sunt: galbenă-verzuie pentru compusul $0,5\text{NiO} \cdot 0,5\text{Cr}_2\text{O}_3 \cdot \text{TiO}_2 \cdot \text{uSb}_2\text{O}_5$, cu $\lambda = 571,39$ nm și verzi-gălbui pentru compusii $\text{NiO} \cdot \text{Cr}_2\text{O}_3 \cdot \text{TiO}_2 \cdot \text{uSb}_2\text{O}_5$ cu $\lambda = 560,33$ nm și $0,25\text{NiO} \cdot 0,75\text{Cr}_2\text{O}_3 \cdot \text{TiO}_2 \cdot \text{uSb}_2\text{O}_5$ cu $\lambda = 568,86$ nm. Este cunoscut și dovedit că toți cationii sistemului oxidic discutat au energii preferențiale positive, care în condiții de sinteză cunoscute le impun configurație octaedrică /26, 176/. Ori, ionii de Ni^{2+} în combinație cu TiO_2 dezvoltă nuante galbene, iar în sistemul $\text{NiO}-\text{TiO}_2-\text{uCr}_2\text{O}_3$ nuante ocreu, cu specificația că adăosul de Cr_2O_3 este pînă la 10% din proporția celorlalți compoziți.

Considerăm că în condițiile de sinteză realizate pentru sistemul $\text{NiO}/\text{Cr}_2\text{O}_3-\text{TiO}_2-\text{uSb}_2\text{O}_5$, este posibilă formarea, în cantități mici a spinelului $\text{NiO} \cdot \text{Cr}_2\text{O}_3$ - verde, care să influențeze nuanta spre oliv a întregului compus oxidic rezultat.

Nuanta oliv a pigmentelor este determinată de raportul conținutului în verde ($-\Delta a$) și galben (Δb).

Celelalte caracteristici ale culorii: saturăția (P_c), luminozitatea (L), diferența de energie a culorii (ΔE) și diferența totală de cromaticitate (ΔC) au valori apropiate pentru toți cei trei pigmenti.

Tabelul 99

Caracteristicile de culoare ale pigmentilor în sistemul $\text{NiO-Cr}_2\text{O}_3-\text{TiO}_2-\text{u Sb}_2\text{O}_5$
piro sintetizati la 1000°C - palier 3 ore-

nr. nr.	Reactantii chimici				Caracteristicile de culoare												
	TiO_2 moli	NiO moli	Cr_2O_3 moli	Sb_2O_5 moli	Componentele culorii		Coordonantele tricromatice		λ_d nm	P_c , %	L	ΔL	Δa	Δb	Δz	Δc	
	X	Y	Z	X	Y	Z	X	y	/nm/								
0	1	2	3	4	5	6	7	8	9	10	11	12	13	14	15	16	17
1.	1	1	1	5	10,70	13,48	8,90	0,323	0,408	560,33	45,55	36,72	-55,18	-11,33	10,73	57,35	15,01
2.	1	0,5	0,5	5	13,05	14,63	8,63	0,359	0,403	571,39	51,24	38,25	-53,65	-5,40	12,80	55,40	13,79
3.	1	0,25	0,75	5	12,50	14,60	8,28	0,353	0,413	568,86	53,54	38,21	-53,69	-7,57	15,30	55,83	15,31

Textura acestor compusi oxidici este moale, iar prin măcinare se asigură o finiteză amanată particulelor cea ce conduce la realizarea unor parametrii de calitate, în deosebi puterea de acoperire și dispersia în mediul în care se întrebunțează: emaluri, mase plastice, vopseli, etc.

In figura 52 este redată mărimea particulelor și distribuția granulometrică, în %, greutate cumulată, a pigmentului $\text{0,5NiO} \cdot \text{0,5Cr}_2\text{O}_3 \cdot \text{TiO}_2 \cdot \text{uSb}_2\text{O}_5$.

Mărimea medie a particulelor pulberii este de $0,75 \mu$, iar distribuția granulometrică acoperă domeniul între dimensiunile $0,25-1,5 \mu$.

Pigmentii preparați în limitele menionate ale sistemului se disting prin rezistență mare la acizi și

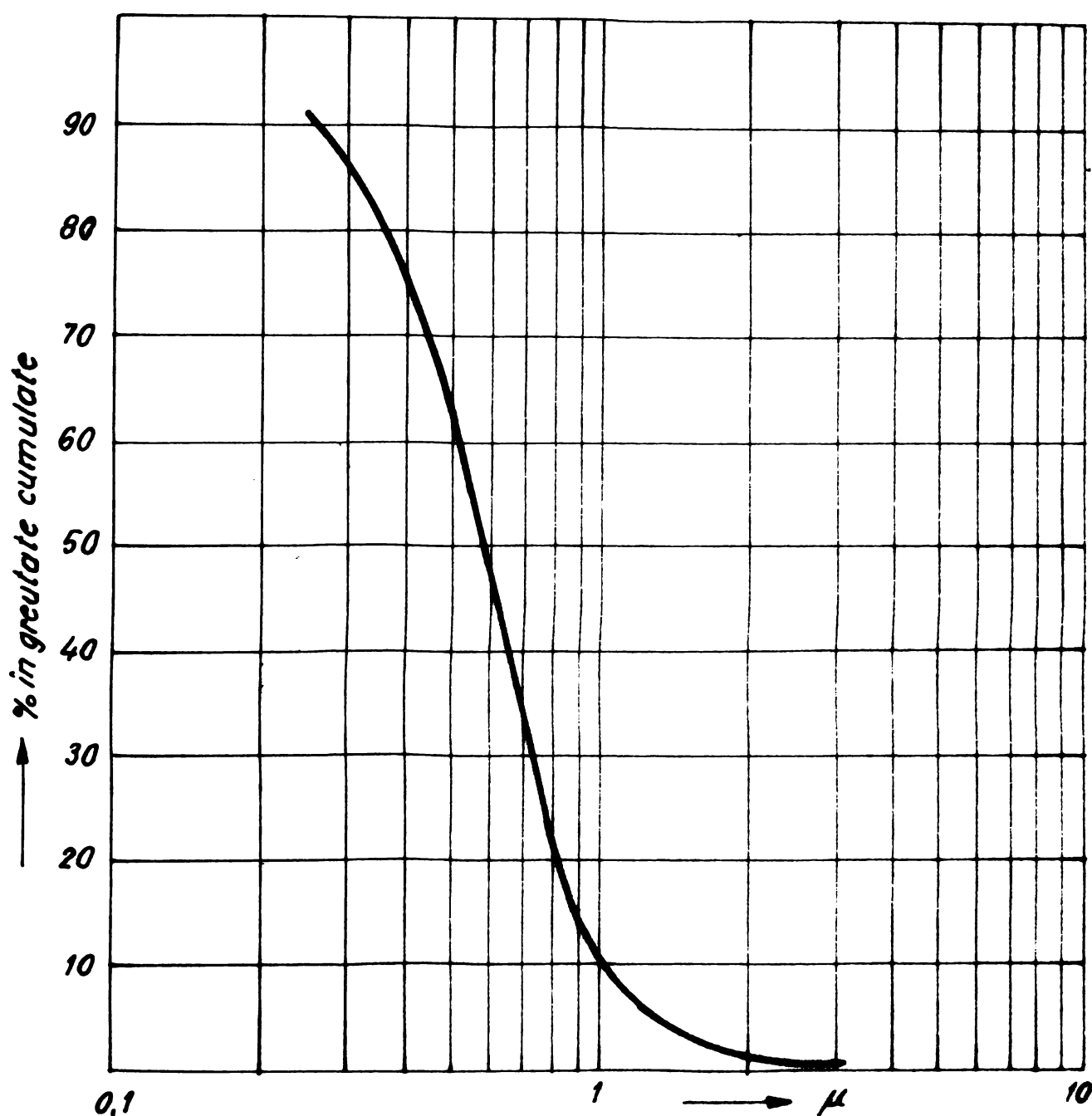


Figura 52.-Mărimea și distribuția granulometrică a pulberii pigmentului $0,5\text{NiC}\cdot0,5\text{Cr}_2\text{O}_3\cdot\text{TiO}_2\cdot\text{uSb}_2\text{O}_5$.

baze, practic insolubili și prin deosebită rezistență termică, probă realizată prin arderea la 800°C a emailurilor preparate cu 1-2% pigment, conservându-se nuantele și marind o putere de acoperire bună și luciu deosebit.

Studii de structură nu s-au efectuat asupra acestor pigmenti și nici testări complexe întrucât ei au fost confirmăți ca ncutate (invenție) la sfîrșitul anului 1982/195/.

5.4. SINTEZA SI STUDIUL PIGMENTILOR PE BAZA DE RUTIL SINTETIC OBTINUT DIN ILMENITE INDIGENE

Actualitatea extinderii gamei de pigmenti anorganici termorezistenți este impusă de necesitățile producției industriale și se justifică cu atât mai mult cu cît penuria de materii prime care stau la baza unor compusi organici afectează și domeniul coloranților organici, restrințindu-le aria întrebunțării și înlocuirea lor cu pigmenti anorganici, înregistrându-se efecte economice avantajoase.

Valorificarea superioară a materiilor prime este de asemenea o obligație profesională și mai ales patriotică, în condițiile conjuncturii economice internaționale. Astfel a apărut ca o problemă importantă obținerea rutilului sintetic din ilmenite indigene.

In țara noastră se găsesc zăcăminte de ilmenită la: Chituc, Borlești, Ditrău, Valea Drăganului, etc. Din anul 1974 s-a pus problema valorificării acestora sub formă de rutil sintetic.

Un colectiv din cadrul ICECHIM, în colaborare cu Centrul de cercetări din Rimnicu Vilcea, s-a preocupat de obținerea rutilului din ilmenită prin procedeul sulfat.

Din anul 1978 ne-a preocupat valorificarea rutilului sintetic, obținut în condiții de micropilot, cu grad de alb sub 95%, în prepararea sortimentelor de pigmenti cu destinații speciale cum ar fi colorarea maselor plastice /89, 204, 205, 206/.

Puritatea rutilului este o condiție care influențează preponderent proprietățile optice ale acestuia, care la rîndul lor îl determină utilitatea și domeniul de aplicare.

Calitatea rutilului depinde de calitatea materiei prime și de prezența impurităților izomorfe în ilmenită și de a impurităților minerale. Importantă este distribuția impurităților în stadiile tehnologice și cantitățile reținute în produsul finit /207/.

Compoziția chimică a rutilului sintetic folosit în sinteze este redată în tabelul 5, conținând impurități care afectează mult gradul de alb. Pentru aceeași valoare a conținutului în impurități compusii cromului sunt cei mai dăunători.

In tabelul 40 sunt inserate sortimentele de pigmenti pirosintetizați din pulbere de rutil sintetic, obținut din ilmenită de Chituc și pulberi de oxizi metalici: NiO, ZnO, Cr₂O₃ și FeOOH, în rapor-

Tabelul 4e

Caracteristicile de culoare ale pigmentilor pe bază de rutit sintetic și ale foliilor P.V.C. colorate

Reactanți chimici	Caracteristicile de culoare															
	TiO_2	N10	LiUn	Componentele culorii	Coordonatele tricromatice	λ_{d}^*	P_{c}	L	ΔL	Δa	Δb	ΔE	Δc			
mol/mol	mol/mol	mol/mol	X	Y	Z	x	y	/nm/	/nm/	/nm/	/nm/	/nm/	/nm/			
P ₁	1	0,25	-	26,65	28,20	16,40	0,374	0,396	575,64	51,92	53,11	-38,80	-2,45	18,27	42,95	18,43
M ₁	Folie P.V.C.	18,20	18,60	9,90	0,390	0,398	0,417	0,434	577,81	55,82	43,12	-48,77	0,75	15,98	51,33	16,00
P ₂	1	1	-	28,15	29,30	10,10	0,417	0,434	576,80	71,80	54,13	-37,77	-1,00	26,23	46,00	26,25
M ₂	Folie P.V.C.	30,75	32,20	13,90	0,400	0,419	0,368	0,421	576,40	61,50	56,75	-35,15	-1,63	24,60	42,94	24,66
P ₃	1	0,5	20,65	23,70	11,85	0,368	0,421	571,10	59,20	48,68	-43,22	-8,58	19,05	48,00	20,89	
M ₃	Folie P.V.C.	25,70	26,80	16,40	0,354	0,401	0,353	0,403	569,70	48,80	51,77	-40,13	-7,98	16,86	44,25	18,65
P ₄	1	1	1	24,00	27,80	12,00	0,376	0,436	571,30	65,00	52,73	-32,17	-10,12	22,82	46,45	24,96
M ₄	Folie P.V.C.	30,00	34,20	20,70	0,353	0,403	0,353	0,403	570,00	56,90	58,57	-33,33	-10,16	19,45	39,21	21,94
P ₅	1	0,5	18,77	18,47	6,75	0,427	0,420	579,50	69,70	42,98	-48,92	3,65	20,17	53,05	20,50	
M ₅	Folie P.V.C.	20,90	29,95	12,20	0,332	0,475	0,365	0,371	559,90	67,70	54,73	-37,17	-26,70	24,50	51,91	36,24
P ₆	1	-	0,25	12,70	9,20	0,342	0,367	578,11	40,10	35,92	-55,98	1,16	9,36	56,77	9,45	
M ₆	Folie P.V.C.	8,10	8,70	6,90	0,342	0,367	572,40	33,62	29,50	-62,40	-1,70	6,18	62,73	6,41		
P ₇	1	-	0,5	11,55	8,60	4,50	0,469	0,349	596,50	49,91	29,33	-62,57	19,88	10,83	66,54	22,64
M ₇	Folie P.V.C.	6,50	4,60	3,15	0,456	0,323	606,00	21,99	21,45	-70,45	17,46	5,71	72,81	18,37		

Note: oxidul MnO_2 corespunde în compozitii Ia:

-ZnO pentru P_3 și P_4 ;

- Cr_2O_3 pentru P_5 ;

- FeCO_3 pentru P_6 și P_7 .

turile molare specificate, adăos de 5% Sb_2O_3 și 3% NaCl.

Operațiile tehnologice și factorii termici (temperatura de $1000^{\circ}C$, durata palierului de ardere 3 ore) ale pirosintezelor au fost aceleasi pentru toate compozitiile.

Tabelul cuprinde de asemenea valorile caracteristicilor de culoare ale pigmentilor, simbolizați prin $-P-$ și ale foliilor de policlorură de vinil colorate cu aceștia, simbolizate prin $-M-$, avind aceeași indici ca și compusii oxidici rezultați din sinteze.

Nuanțe galbene ocre au dezvoltat compozitiile:

$0,25 NiO-TiO_2-uSb_2O_3$ $-P_1-$;

$NiO-TiO_2-uSb_2O_3$ $-P_2-$;

$0,5NiO-0,5Cr_2O_3-TiO_2-uSb_2O_3$ $-P_5-$;

$0,25FeOOH-TiO_2-uSb_2O_3$ $-P_6-$;

-nuanțe verzi compozitiile:

$0,5NiO-0,5ZnO-TiO_2-uSb_2O_3$ $-P_3-$;

$NiO-ZnO-TiO_2-uSb_2O_3$ $-P_4-$;

-nuanță roșie compozitia:

$0,5FeOOH-TiO_2-uSb_2O_3$ $-P_7-$.

Pigmentii preparați cu rutil sintetic, în aceleasi condiții de compozitie și factori termici ca și cei preparați cu anatas, prezintă deplasare batocromă în spectru ale nuanțelor, efect marcat și în cazul foliilor de P.V.C. colorate cu pigmentii respectivi.

Foliile de P.V.C.: M_1, M_2, M_3 și M_4 prezintă nuanțe foarte apropiate de ale pigmentilor folosiți. În schimb, pigmentii cu Cr_2O_3 $-P_5-$ și cu $0,25FeOOH$ $-P_6-$ condiționează în foliile P.V.C. o deplasare spre lungimile de undă mai mici ale nuanțelor, deci un efect hipsocrom. Pigmentul $-P_7-$, cu conținut de $0,5FeOOH$ cauzează în folia P.V.C. $-M_7-$ închiderea nuanței roșu.

Luminositatea pigmentilor obținuți se situează la valori mai mici decât a pigmentilor preparați cu anatas, pentru aceeași reactanță și în aceleasi raporturi molare.

Luminositatea foliilor de P.V.C. colorate este mai mică pentru sortimentele: M_1, M_6 și M_7 și mai mare pentru: M_2, M_3, M_4 și M_5 , comparativ cu pigmentii corespunzători.

Testarea acestor compusi oxidici în colorarea foliilor de P.V.C. ($M_1 \dots M_7$) a condus la constatarea că prezintă o bună putere de colorare, rezistență termică ridicată, nu migrează și nu prezintă toxicitate, cu excepția pigmentului care conține Cr_2O_3 (tabelul 4, P_5 , folia M_5).

In figura 53 este ilustrat spectrul RX al compusului rezul-

tat din sistemul oxidic $0,5\text{NiO}-0,5\text{ZnO}-\text{TiO}_2-\text{LiSb}_2\text{O}_5$, în care dioxidul de titan folosit a fost rutilul obținut din ilmenită indigenă. Se constată că în condițiile de sinteză a acestei compozitii nu apar compuși oxidici cu structura ilmenitei ci compuși cu structura spinel în proporție preponderentă și rutil nereacționat.

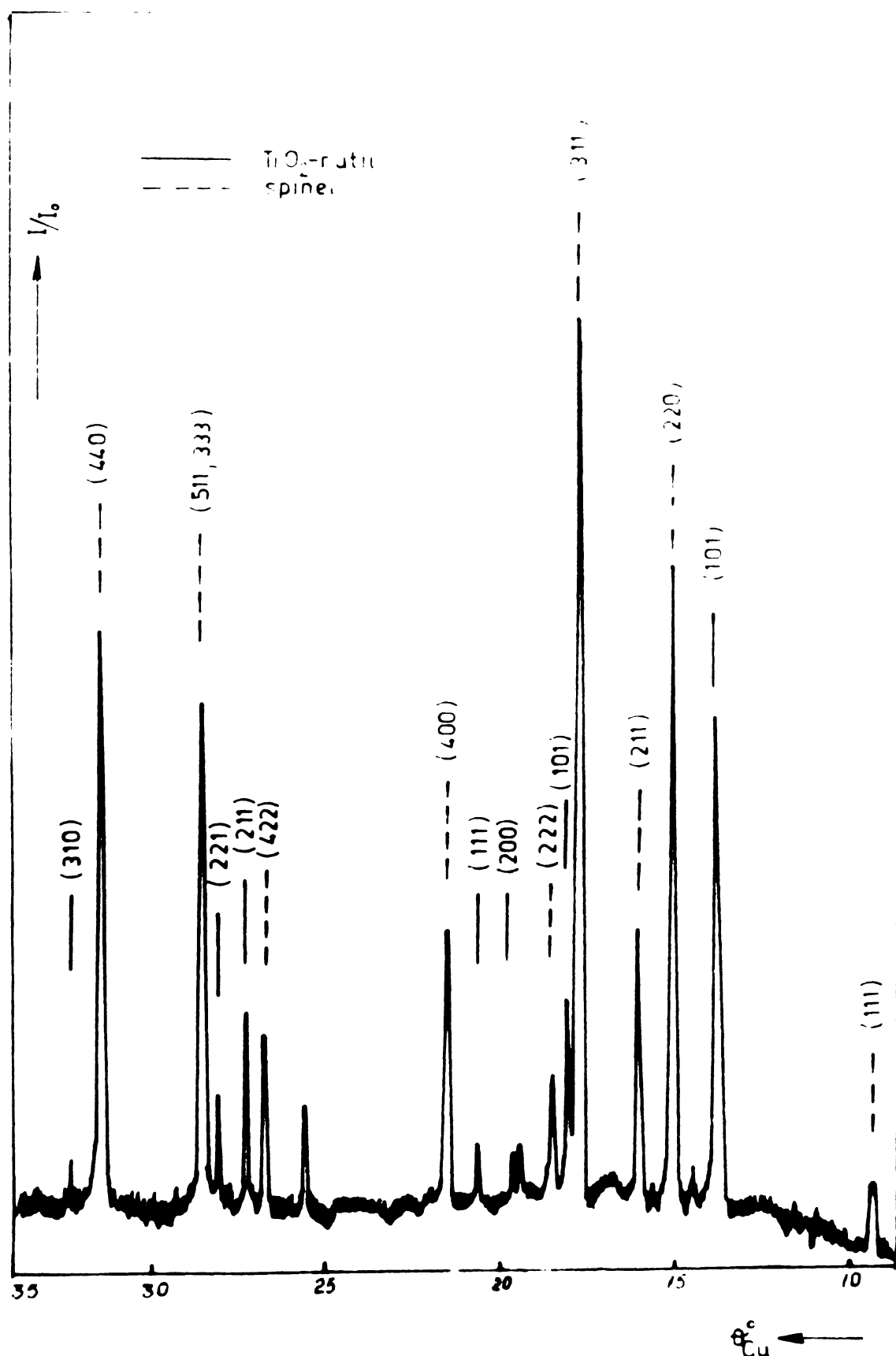


Figura 53.- Spectrul RX al pigmentului $0,5\text{NiO}-0,5\text{ZnO}-\text{TiO}_2-\text{LiSb}_2\text{O}_5$ pirosintetizat la 1000°C , palier 3 ore.

Este posibil ca impuritățile conținute în rutilul sintetic să acționeze favorabil, cu rol de mineralizator, scăzând temperatura de reacție și facilitând formarea acestei structuri cristaline.

In pigmenti în care ionii trivalenti cromofori au rolul de substituenți ai ionilor de Ni^{2+} sau intră în interacțiune cu oxizii acestuia conduc la compusi oxidici în care preponderentă este structura rutilului.

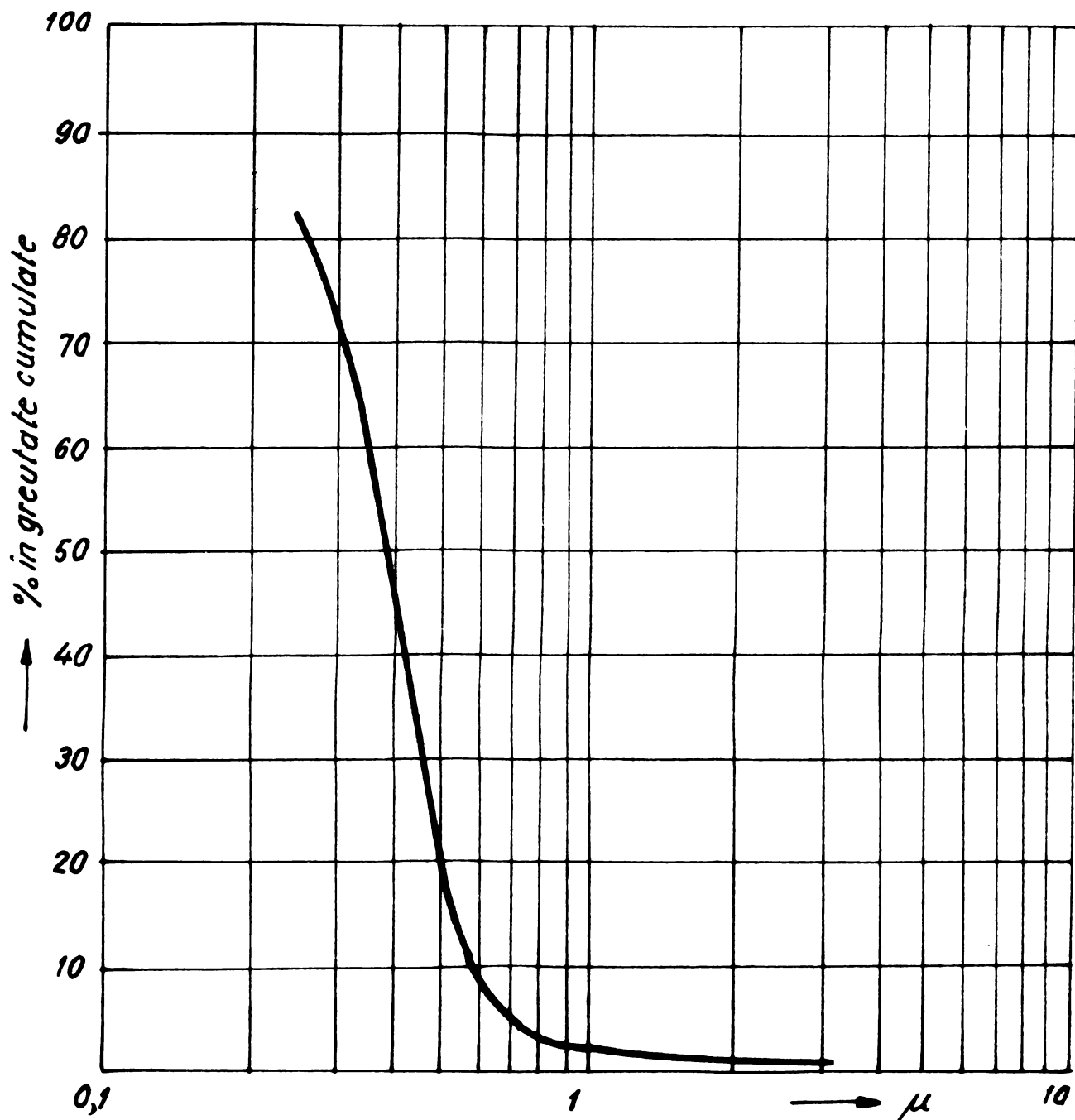


Figura 54.-Mărimea și distribuția granulometrică a particulelor pigmentului $o,5NiO \cdot o,5ZnO \cdot TiO_2 \cdot uSb_2O_5$ pe bază de rutil sintetic.

Textura pigmentilor preparați din rutil sintetic se caracterizează prin duritate mai mare, în comparație cu cei corespunzători

preparați cu anatas. Constatarea a rezultat din timpul de măcinare prelungit cu 40% pentru obținerea aceleiași finetăi.

Mărimea și distribuția granulometrică a particulelor pulberii pigmentului $0,5\text{NiO}\cdot0,5\text{ZnO}\cdot\text{TiO}_2\cdot\text{Sb}_2\text{O}_5$ pe bază de rutil sintetic este redată în figura 54.

Din grafic rezultă că sub $0,25 \mu$ procentul de particule este 18,5%, iar între $0,4-0,7 \mu$ proporția granulometrică este de 73%, diferență de 8,5% fiind cuprinsă între $0,9-3 \mu$ ceea ce înseamnă limite înguste ale finetăii pulberii de pigment, ameliorându-i mult puterea de acoperire.

De altfel, acești pigmenti au fost testați și în colorarea polietilenei de joasă presiune, în spume poliuretanice cu rezultate satisfăcătoare.

Din experimentările noastre în fază de laborator /206/ s-a constatat că prin tratarea cu o soluție de 25% HCl a pulberii de rutil sintetic, se poate mări gradul de alb al acesteia, iar ca urmare un cîștig calitativ al caracteristicilor de culoare pentru pigmentii preparați.

In concluzie, se poate aprecia că rutilul sintetic cu un conținut în TiO_2 de peste 90%, cu tonalitate deschisă, poate constitui o materie primă pentru producția de pigmenti anorganici termorezistenți cu nuanțe anumite destinați colorării maselor plastice, emailurilor, materialelor de construcții, acoperirilor metalice și ca pigment de mascare.

Acești pigmenti prezintă avantajul că sunt mai ieftini, comparativ cu alți pigmenti anorganici destinați aceleiași utilizări tehnico-industriale.

5.5. Metode de calcul a nuanței etalon pentru pigmenti

Tendința spre suprafete cromatice preferință pentru produse colorate, precum și diversitatea nuanțelor multor obiecte au făcut ca problema evaluării tonalității, intensității și saturăției cromatice să se deplaseze în centrul atenției specialiștilor și beneficiarilor de articole colorate. Se cunoaște faptul că ochiul omenește normal poate distinge pînă la 150 nuanțe, dar o evaluare unitară obiectivă și calității cromatice este imperios necesară. Acest lucru se realizează cu ajutorul colorimetrului tricromatic care măsoară componente de culoare X, Y, Z, din care se calculează cu ajutorul formulelor 5-7 (p.43) caracteristicile de culoare x, y, z. Cunoscînd că suma $x+y+z = 1$ se poate determina nuanța prin indicarea a două fracții de valori colorime-

trice normate (x și y), care se transpun în diagrama cromaticității CIE și i se calculează valoarea cu ajutorul formulei 8, iar saturăția cu formula 9.

O dificultate des întâlnită în prepararea pigmentelor este reproducibilitatea nuanței în condiții de riguros control al realizării și controlului condițiilor de sinteză.

În scopul reproducerii nuanței etalon al unui pigment P , dacă din sinteză nu a fost realizat acest esențial parametru de calitate, se folosește metoda de amestec pe bază de calcul al proporției dintre două sărje simbolizate prin M și N al aceluiași pigment, ale căror nuanțe diferă între ele. Se procedează după cum urmează: se măsoară la colorimetru tricromatic valorile componentelor de culoare X, Y, Z ale celor două loturi M și N de pigment, din care se calculează valoarea coordonatelor tricromatice x și y , pentru fiecare sărjă cu ajutorul formulelor 5 și 6:

$$x = \frac{X}{X+Y+Z} ;$$

$$y = \frac{Y}{X+Y+Z} .$$

Se obțin coordonatele tricromatice ale celor două sărje de pigment, diferite ca nuanțe: $M(x_1, y_1)$ și $N(x_2, y_2)$, care se fixează în diagrama cromaticității CIE, figura 55.

Din valorile coordonatelor x_1, y_1 și x_2, y_2 se determină pe curba cromaticității lungimile de undă dominantă corespunzătoare λ_1 , respectiv λ_2 . Pentru pigmentul P al cărui coordonate tricromatice se cunosc: x_p, y_p , identice cu ale etalonului, se determină lungimea de undă dominantă λ_p . Se fixează în diagrama cromaticității punctele determine M și N și se unesc printre-un segment de dreaptă. Apoi, se unește punctul C cu punctul P de pe curba spectrală cu lungimea de undă λ_p . Segmentul OP intersectează segmentul MN în punctul C .

Raportul segmentelor $\frac{MC}{NC} = \frac{\text{masa } M}{\text{masa } N}$, prin urmare raportul segmentelor MC și NC este invers proporțional cu raportul masei sărjei de pigment M și N , care se dozează și se omogenizează întim, reproducindu-se astfel nuanța pigmentului etalon din două nuanțe ale aceluiași pigment, între limitele cărui se situează.

Dacă se urmărește realizarea unei nuanțe etalon, care să caracterizeze riguros un pigment provenit din amestecul a două sau

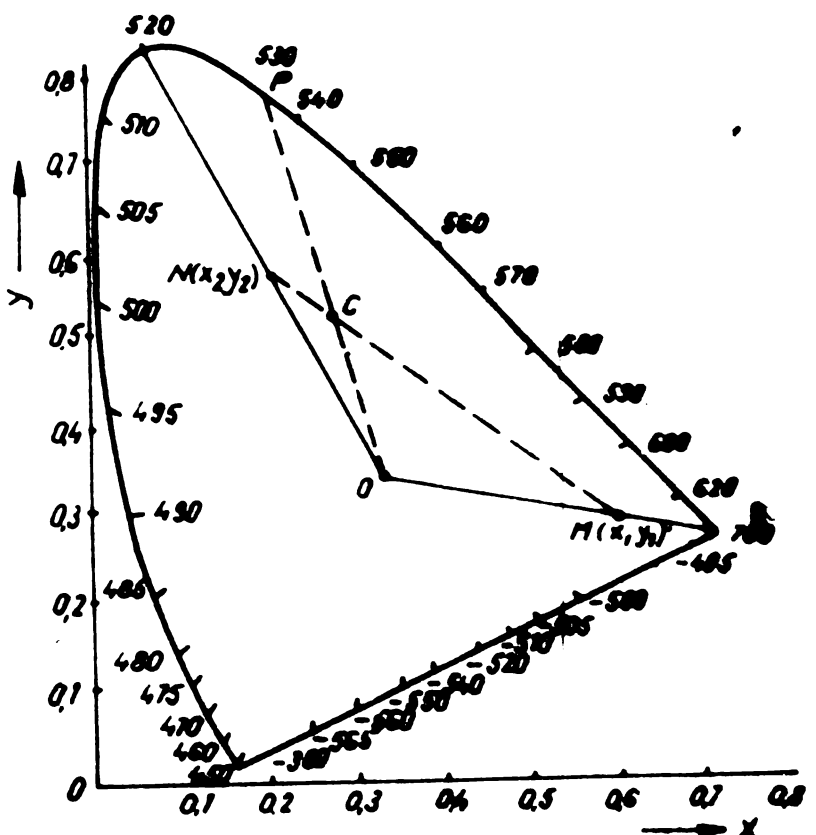


Figura 55.-Diagrama cromaticității CIE -metodă grafică de calcul a nuantei etalon din doi pigmenti cu nuante diferite.

trei sortimente de pigmenti cu nuante și chiar structuri diferite, caz în care se obțin pigmenti de tip heteromorf /62,208/, este necesar să se cunoască caracteristicile optice și morfostructurale ale pulberilor, coeficientul de absorbție, emisie, forma, mărimea, distribuția granulometrică, etc., a pigmentului de realizat și ale pigmentilor care concură la obținerea acestuia. Se cunoaște faptul că nu numai nuanța caracterizează culoarea și că un amestec a două pulberi de pigmenti, din care una este mai fină, dispersia acesteia predominând în masă va avea o putere de colorare mai mare. Toți acești factori trebuie luați în considerare pentru clarificarea relațiilor fizice angajate.

Considerațiile teoretice făcute de Kubelka-Munk și Ryde /209/ soluționează unele aspecte ale acestei probleme.

Ideal, în asortarea culorilor ar fi să se realizeze un amestec de pigmenti a cărui curbă de reflexie să fie identică cu aceea a etalonului. Asemenea asortare se poate realiza, pe baza datelor experimentale care să cuprindă factorii ce concură la soluționarea relației compoziție-structură-culoare /210/, cu ajutorul unui calcula-

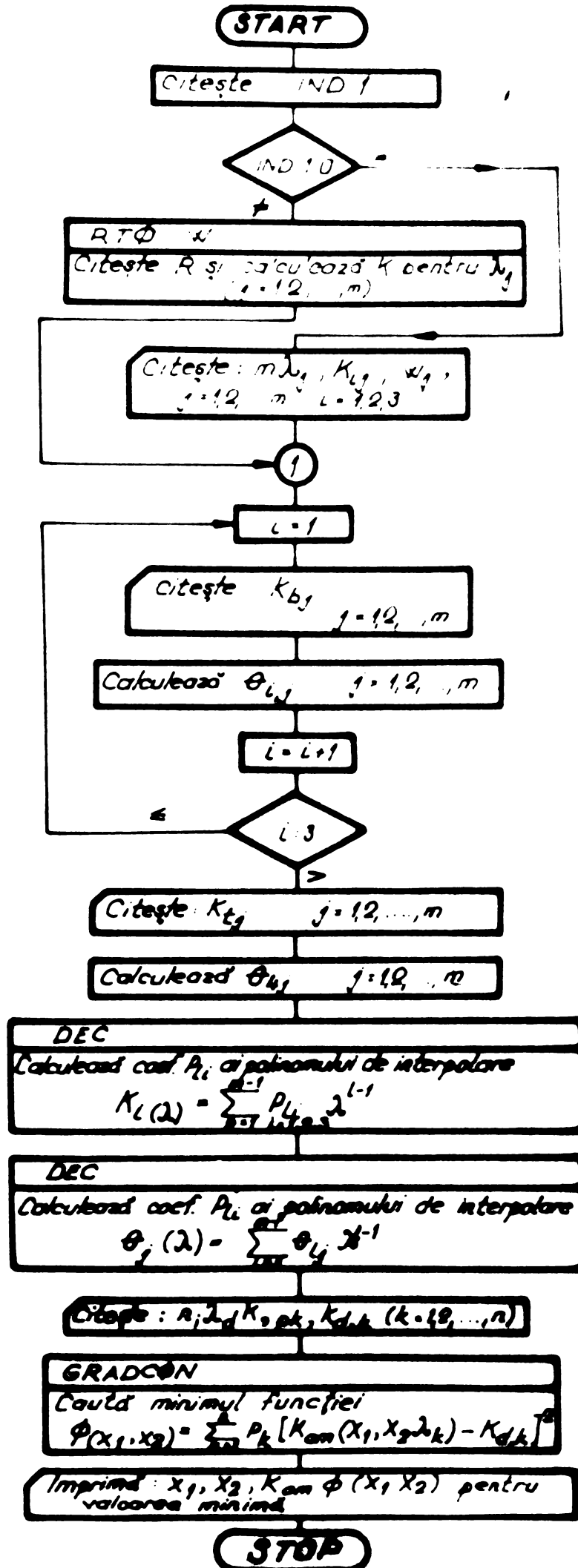


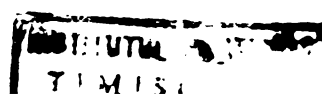
Figura 56.-Schema logică de calcul a nuantei pigmentilor.

tor numeric digital care prelucrează informațiile complexe în mod automat pe baza unui program ce indică o succesiune determinată de operații matematice și logice.

În figura 56 se prezintă schema logică de calcul a nuanței etalon pentru pigmenti.

Utilizarea colorimetrelor tricromatice în determinarea caracteristicilor de culoare, a spectrofotometrelor pentru obținerea curbelor de reflexie, a aparaturii pentru determinarea structurii cristaline, formei, mărimi și distribuției granulometrice: IX, IR, microscopie electronică, etc., pentru precizarea proprietăților optice și morfostructurale ale pigmentelor a devenit o necesitate în practica cercetării și a controlului producției. Ele permit mai intîi detectarea devierilor de la nuanța etalon în imediata apropiere a sursei de eroare și apoi posibilitatea de remediere prin calculele propuse și reproducerea nuanței, pe baza datelor obținute, prin dozarea și omogenizarea intimă al amestecului pulberilor de pigmenti cu nuanțe care prin aditivitate o realizează.

Aparatura indicată și metodele de calcul a nuanței etalon au posibilități de aplicare în diferite industrii în care produsele sunt caracterizate prin efecte coloristice cu rol esențial în procesul de finisare.



CAPITOLUL 6

6. PRODUCEREA INDUSTRIALA A PIGMENTILOR PE BAZA DE TITAN-NICHEL

Pe baza datelor obținute în urma studiului sintezei pigmentilor pe bază de titan-nichel și rezultatul testării acestora în colorarea emailului și a maselor plastice s-a trecut la proiectarea și construirea unei secții industriale în cadrul Intreprinderii "Emailul Rosu" din Mediaș, cu o capacitate de 25 t/an. S-a pus la punct tehnologia de fabricație a unor sortimente de pigmenti și s-a început producția lor industrială din anul 1976. În anul 1983, s-a luat în considerare posibilitatea extinderii volumului secției de pigmenti la 70-100 t/an, pentru satisfacerea necesităților industriei de emailuri. De asemenea există și preocupări pentru fabricația pigmentilor destinați colorării maselor plastice și fabricării decalcomaniilor /73,89,174,211/.

Tehnologia de fabricație a pigmentilor pe bază de titan-nichel are la bază același principiu al pirointeziei amestecului intim de pulberi ale oxizilor care intră în compozitia pigmentilor respectivi.

Variatiile mici în procedeele de fabricație ale sortimentelor de pigmenti din sistemele oxidice: $\text{NiO}-\text{TiO}_2-\text{uM}_{m,n}$; $(\text{Ni}^{2+})\text{O}-\text{TiO}_2-\text{uM}_{m,n}$ și $(\text{NiO}/\text{M}_2\text{O}_3)-\text{TiO}_2-\text{uM}_{m,n}$, în care M are aceeași semnificație ca și în capituloile 3-5, justifică prezentarea schemei tehnologice de fabricație a acestor pigmenti unitară, pentru operațiile principale și comune, urmând să se țină seamă de detaliile tehnologice la producerea fiecărui sortiment în parte.

În figura 57 este simbolizat utilajul caracteristic tehnologiei de fabricație industrială a pigmentilor cercetați.

Operațiile tehnologice sunt schematic simbolizate prin utilajele care le execută. Descrierea și rolul lor tehnologic sunt similare cu precizările făcute în capitolul 2.

Date constructive și cu caracter funcțional se prezintă în cele ce urmează.

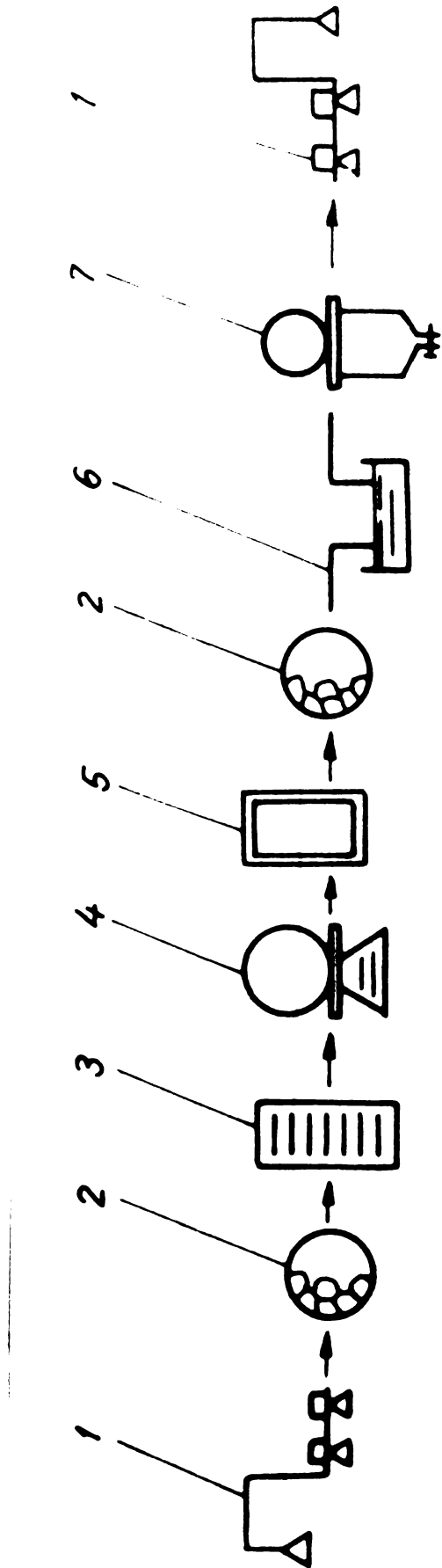


Figura 57.-Schema tehnologică de fabricație a pigmentilor pe bază de titan-nichel.

Utilajele din fluxul tehnologic sunt identificate prin numerele : 1-cintar; 2-moare cu bile; 3-vascător; 4-dezintegrator; 5-cuptor de calcinare;

6-vas de spălare; 7-atomizor.

6.1. Controlul calității și dozarea materiilor prime

Calitatea producției de pigmenti este condiționată de o multitudine de factori al căror efect tehnologic trebuie cunoscut. Printre cei esențiali se consideră puritatea și constanța compoziției chimice a materiilor prime și auxiliare. De aceea se impune controlul calității materiilor prime și auxiliare pe surse de proveniență și pe loturi, prin metode specifice fiecăreia, clasice sau instrumentale, prevăzute în normele de calitate sau în literatura de specialitate /140,141,143/.

Dozarea materiilor prime și auxiliare sub formă de pulberi se realizează cu precizie de $\pm 0,30\%$ cu ajutorul unor cintare semiautomate, de recomandat cu dozatoare celulare păstrate sub buncările de depozitare montate pe o platformă deasupra morilor cu bile. De la dozatoare pulberile căd într-un jgheab colector prevăzut cu transportor elicoidal care alimentează morile.

Dozarea se execută în conformitate cu rețetele prevăzute pentru fiecare pigment în parte, ținând seama de puritatea reactantului, capacitatea morii și de pierderile tehnologice.

Precizia dozării completează în mare măsură condițiile de reproducere a caracteristicilor de culoare ale pigmentilor, cunoscut fiind faptul că unii cromofori au un efect intens de colorare.

6.2. Măcinarea și omogenizarea materiilor prime

Operația de măcinare și omogenizare a materiilor prime și auxiliare se realizează pe cale umedă în mori cu bile.

Capacitatea unei mori este de aproximativ 150 litri, iar stația de măcinare este dotată cu opt mori.

Mosara este confecționată dintr-o tobă metalică căptușită cu material din porțelan. Bilele sunt tot din porțelan și au trei mărimi diferite cu diametrul de: 20,35 și 50 mm.

Rotirea morii este asigurată de un grup de antrenare prevăzut cu un motor de 1000 rot/min și un reductor cu raportul de 1:8. Transmisia se realizează prin curele trapezoïdale.

Regimul de funcționare a morii se stabilește în funcție de caracteristicile morfostructurale ale materiilor prime astfel încât să se asigure la sfîrșitul măcinării finețea de 20 μ a particulelor din amestecul omogenizat al pulberilor.

Incărcarea se realizează în ordinea: 1/3 din volumul morii

cu materiile prime + apă - proporția trebuie să asigure raportul solid/lichid de 4:5; 1/3 bile - părți egale în greutate din fiecare dimensiune-.

In cantitatea de apă se ține seama de soluția care conține mineralizatorul.

Viteza optimă de rotere a morii cu bile este de 50 rot/min. Timpul de măcinare este variabil între 5-40 ore. El se determină experimental pentru fiecare compozиție în parte.

Pentru compozиția $0,25 \text{ NiO}-\text{TiO}_2-\text{usb}_2\text{O}_3$ sunt necesare șase ore de măcinare-omogenizare.

Golirea morii se face într-un vas de circa 70 litri prin intermediul unei "pipe" care permite evacuarea numai a materialului, bilele ră înind în tobă. Materialul rămas pe peretele morii și bile se recuperează prin spălare cu apă.

6.3. Uscarea compozиției omogenizate

Barbotina rezultată la omogenizare se supune operației de uscare în tăvi din oțel inoxidabil, care se stivuiesc în cărucioare câte 12 în 8 rânduri și se introduc în uscătoare tip dulap cu perete dubli, printre care circulă aerul cald.

Secția de pigmenti este dotată cu patru uscătoare, fiecare având un volum de 3 mc.

Aerul de uscare este încălzit cu gazele de ardere de la cupoarele de calcinare, în recuperatoare de căldură.

Temperatura de uscare este de $105-120^\circ\text{C}$, durata uscării de circa 48 ore, în funcție de consistența barbotinei, umiditatea relativă a aerului, debitul și temperatura acestuia.

Ventilația aerului în uscător se realizează prin intermediul către unui ventilator pentru fiecare uscător și prin manevrarea unor clapete de intrare și evacuare a aerului căld, respectiv uzat.

Umiditatea compozиției trebuie să fie cît mai mică, în nici un caz să nu depășească 17% apă.

6.4. Omogenizarea pulberii

Materialul uscat se omogenizează prin dezintegrare. Secția de pigmenti are în dotare două dezintegratoare, unul cu turcia de 1450 rot/min , pentru pulberi ce necesită finețe mai măre,

iar altul cu 950 rot/min.

Compozițiile în sistemele oxidice NiO-TiC₂-_nO_n și cele cu substituenți ai grupării NiO se omogenizează în dezintegratorul cu 1450 rot/min.

Dezintegratorul este compus dintr-un stator, un rotor, parte a basculantă a statorului, motorul electric și cutia de colectare a materialului omogenizat.

In interiorul statorului și pe rotor sunt fixate, prin fișetare, buloane metalice.

Motorul este montat pe un ax cuplat cu motorul electric. Axul este fixat pe doi rulmenți pe suportul statorului. Pe partea basculantă a statorului se află jgheabul de alimentare.

Dezintegratorul este montat pe un postament de beton cu înălțimea de 60 cm. Cutia de colectare a materialului omogenizat este amplasată în fundație, în dreptul cuvei de evacuare.

Ca anexă a dezintegratorului este prevăzută o instalație de ventilație.

Dezintegrarea se realizează prin izbirea materialului de buloanele rotorului și statorului și de suprafațe acestora.

Viteza și timpul afectat dezintegrării asigură omogenizarea și finețea particulelor în limite granulometrice impuse.

6.5. Pirosinteza pigmentelor

Pirosinteza este faza principală din procesul de fabricație a pigmentelor anorganici termorezistenți. În timpul ei au loc transformările fizico-chimice în compozitii, care condiționează formarea structurii cristaline și precizarea caracteristicilor de culoare ale compusilor oxidici. Operația se realizează în cuptorul de calcinare de tip tunel, în cuptorul electric și în cuptorul cu vatră mobilă.

În cele ce urmează se va prezenta sumar părțile constructive ale cuptorului tunel, utilajul principal și modul de funcționare al acestuia.

În figura 58 este prezentată imaginea cuptorului tip tunnel aflat în dotarea secției de pigmenti din cadrul întreprinderii "Emailul roșu" Mediaș.

Cuptorul tunel tip "ERO" are o lungime de 12,5 m și este construit dintr-un schelet metalic, fixat pe un postament din beton. El este cadrul pe care sunt montate: instalația de gaz metan

împreună cu arzătoarele, recuperatoarele de căldură, instalația electrică și A.M.C.. În interiorul scheletului metalic, pe lungimea lui, este construit tunelul din zidărie refracțiară rezistentă pînă la 1400°C , iar în partea de jos al acestuia calea de rulare a cărucicelor.

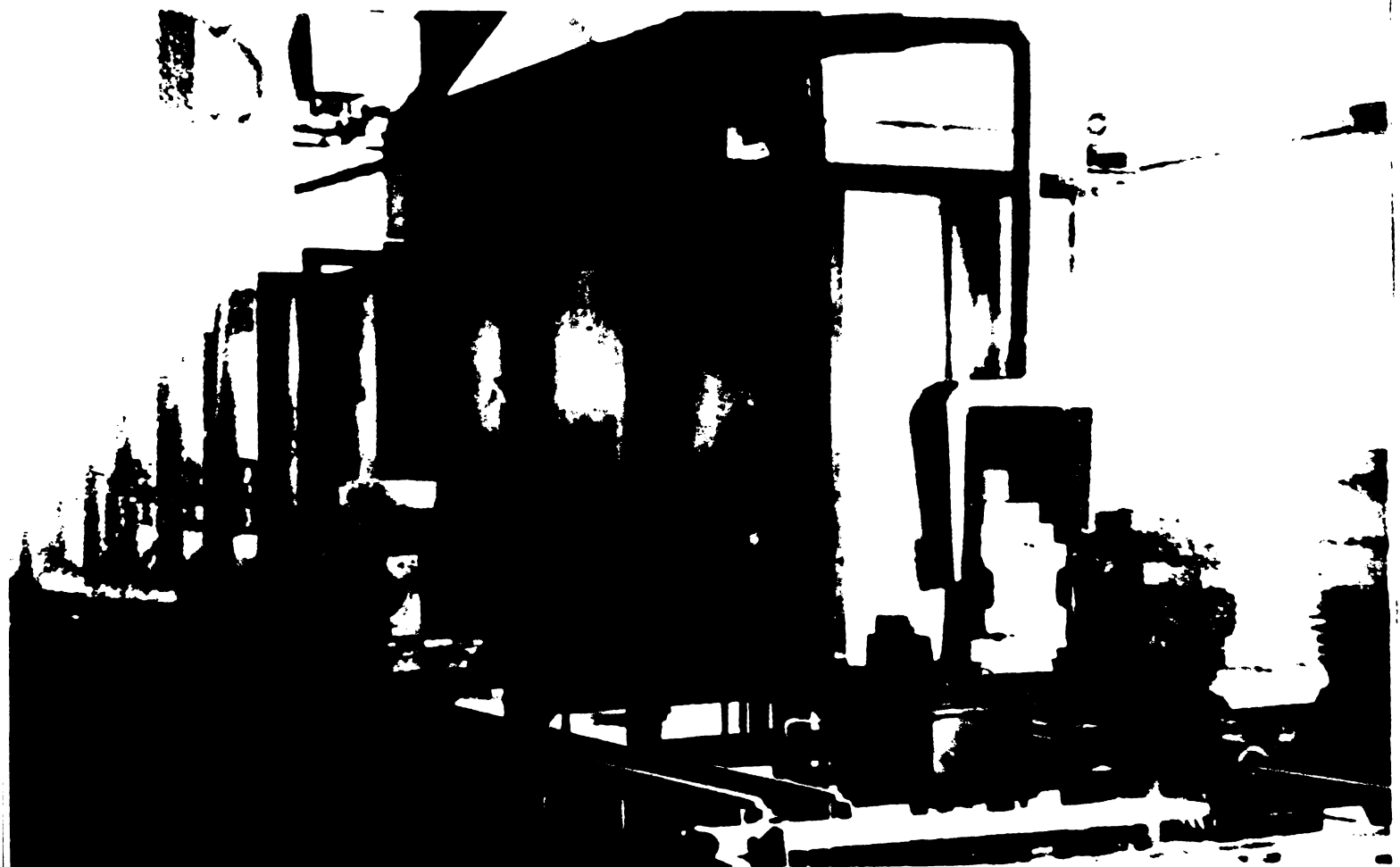


Figura 58.-Cuptorul tunel tip "ERO".

Cuptorul de tip tunel este departajat în 4 zone principale: - zona de preîncălzire, cu lungimea de 4,08 m, în care materialul este adus pînă la temperatura de regim a palierului de ardere. La distanța de 2,04 m, față de gura de alimentare, este montat un termocuplu;

- zona de ardere propriu zisă care are lungimea de 3,4 m. Aici au loc transformările principale ale materialului în procesul sintezei la temperatura optimă indicată pentru fiecare compoziție. Această zonă este prevăzută cu trei termocupluri montate în tuburi ceramice și la distanțe de: 4,22; 5,3 și 6,4 m de la gura de alimentare;

- zona de răcire rapidă cu lungimea de 1 m, prevăzută cu un termocuplu și cu recuperator de căldură;

- zona de răcire lentă are lungimea de 4 m cu rol de a răci materialul calcinat, pînă aproape de temperatura obisnuită, este prevăzut cu un termocuplu.

Agentul de ardere este gazul metan, care se dozează cu aerul în raport de 1:10, cînd se asigură o atmosferă neutră în cuptor și ardere eficientă. Un raport mai mic condiționează atmosferă reducătoare, iar unul mai mare atmosferă oxidantă în spațiul de ardere.

Sistemul de ardere este compus din gaze arzătoare cu debit de cîte 5 mc gaz metan/oră.

Temperatura maximă ce se poate realiza în zona de ardere este de 1400°C . Ea se poate regla cu ajutorul debitului de gaze prin intermediul robinetelor și clapetelor instalației.

Materialul supus arderii se încarcă în creuzete de formă cilindrică sau prismatică, confectionate din material refracțiar RC 73, respectiv RTB 40, pînă la înălțimea de 50-70 mm. În creuzetele cilindrice se ard 1,5-2 kg, iar cele prismatice 4-5 kg pigment.

Creuzetele se încarcă în cărucioare construite dintr-un suport metalic cu lungimea de 0,7 m fixat pe două axe care au la capete montate roți pe rulmenți, pentru deplasarea în tunelul cuptorului și în afara lui. Pe suportul metalic este construită zidăria refracțiară pe o înălțime de c,38 m.

Mișcarea cărucioarelor în tunel și în afara lui se realizează prin intermediul unui sistem hidraulic care împinge căruciorul din gura de alimentare a cuptorului, iar celelalte se pun în mișcare de acesta.

Din datele prezentate se subînțelege că pentru fiecare pigment ce urmează să fie produs în condiții de calitate cunoscute a-prioric se poate trasa o diagramă de ardere temperatură-timp de ardere, în funcție de viteza de deplasare a cărucicelor și lungimea zonelor de ardere.

Pentru pigmentul galben (ivoriu) rezultat din compoziția $0,25\text{NiO}-\text{TiO}_2-\text{Fe}_2\text{O}_3$, timpul optim de ardere este de 3 ore la temperatură de 1000°C , ceea ce concordă perfect cu condițiile stabilite în faza de laborator al cercetării.

6.6. Măcinarea pigmentelor

Destinația pigmentelor fabricați condiționează gradul de finerie și distribuția granulometrică a particulelor acestora. Astfel, pentru colorarea emailului, maselor plastice, decorarea porțelanului, arte plastice, etc., se necesită pigmenti cu particule micronice și chiar submicronice. Pentru acest fapt masa de pigment rezultată la

calcinare se supune măcinării prin mijloace adecvate: mori cu jet de aburi, mori cu bille, mori cu ciocane, iar pentru pigmentii cu textură moale mori coloicale.

Secția pigmenti a Intreprinderii "Emailul roșu" din Mediaș execută măcinarea pe cale ușoară în mori cu bile, în condițiile descrise la 6.2.

Timpul de măcinare optim se determină pentru fiecare sortiment de pigment în parte pentru atingerea fineții impuse.

6.7. Spălarea pigmentilor

Suspensia de pigment rezultată la măcinare se separă cantitativ de bile și se trece în vasul de spălare.

C scopul acestei operații este de a elimina substanțele solubile în apă, care reprezintă impurități pentru corozia pigmentelor.

Vasul de spălare are corpul cilindric, iar fundul puțin conic. El este prevăzut cu agitator mecanic care se rotește cu 33 rot/min. Volumul unui vas de spălare este de 0,3-0,5 mc.

Cantitatea de material constituită într-o șarjă la spălare este de 60-80 kg, iar numărul de spălări este de 10-15.

Ce recomandă folosirea de apă demineralizată pentru spălarea pigmentelor. Apa de spălare se colectază într-un rezervor de decantare pentru recuperarea urmatorilor de pigmenti antragezi în operația de spălare-decantare.

In final, suspensia de pigment trebuie să conțină 300-350 g/l fază solidă în vîsarea alimentării atomizorului pentru uscare.

6.8. Atomizarea

Uscarea pigmentelor se realizează prin atomizare cu ajutorul utilajului de uscare a pulverilor de tip "NIRO"-Danemarca.

In figura 59 este prezentată imaginea atomizorului "NIRO" folosit pentru uscarea pigmentelor anorganici, aflat în dotarea secției de pigmenti a Intreprinderii "Emailul roșu".

Părțile componente ale acestui utilaj complex și de mare eficiență sunt:

- turnul de uscare;
- pulverizatorul;
- distribuitorul hidraulic;

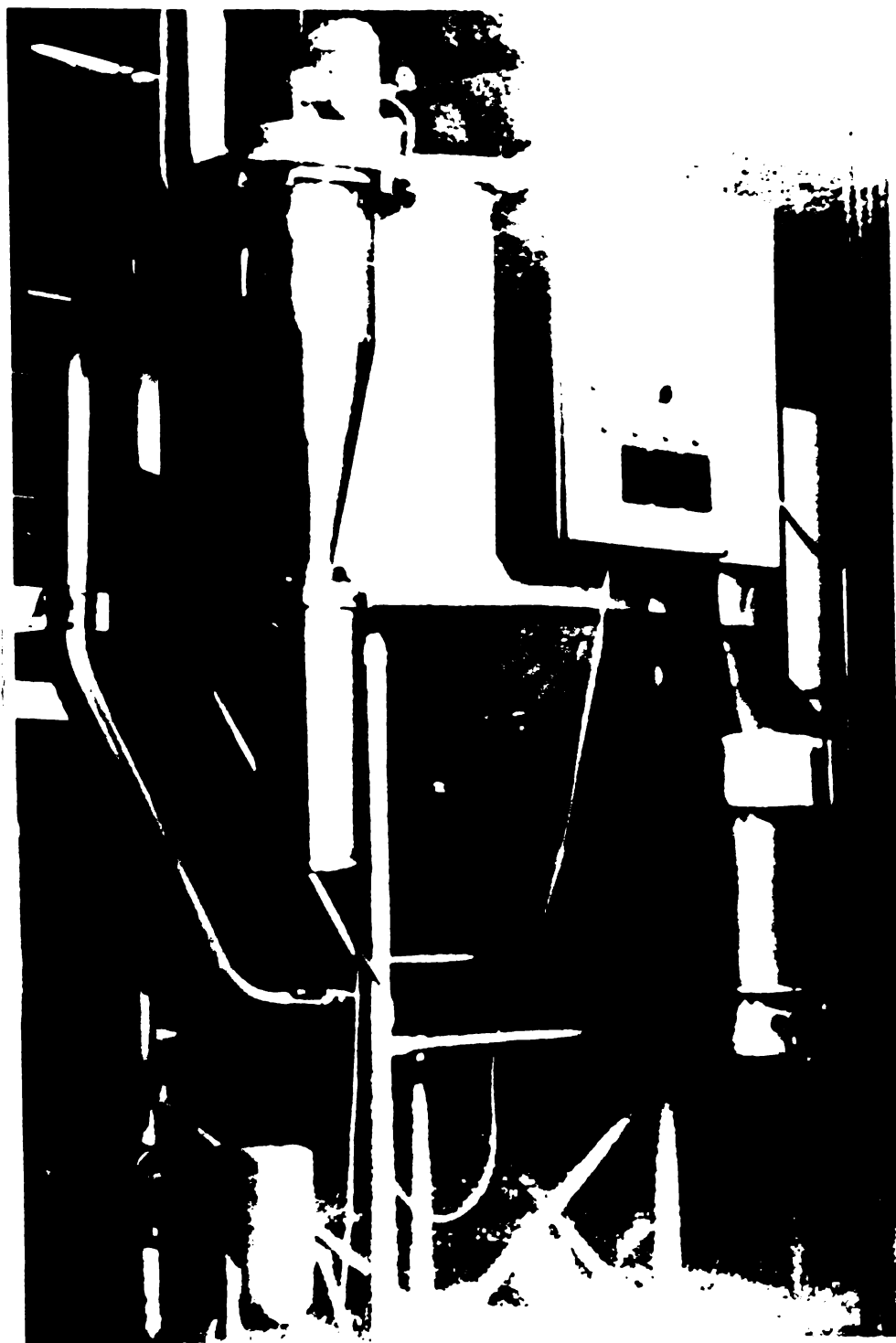


Figura 59.-Atomizorul de tip "NIRO".

- pompa Mohno;
- agregatul Carter F lo;
- ventilatorul de absorbție;
- ciclonul;
- rezervorul de pudră;
- sistemul de răcire al tavanului turnului;
- instalația electrică;
- A.M.C.-ri specifice instalației.

Principala piesă este turnul de uscare în care se execută uscarea instantanee datorită dispersiei suspensiei de pigment de

către pulverizator, care realizează o turătie pînă la 24.000 rot/min.

Suspensia de pigment menținută omogenă la un conținut de 350 g/l se pompează prin intermediul pompei Mohno în partea superioară a pulverizatorului, care o dispersează fin și ia contact cu gazele încălzite, căror temperatură la intrare este de 350-380°C, iar la ieșire de 110-120°C, asigurînd uscarea pulberii pînă sub 1% umiditate.

Pigmentul uscat cade în partea tronconică a turnului de uscare și este evacuat, prin intermediul unei trefle, într-o conductă de transport și trimis în buncărul colector.

Gazele calde antrenează particulele fine de pigment la ieșirea din turn și le trec prin ciclon pentru separarea pudrei de gaze și aerul umed. Pudra se colectează într-un rezervor confectionat din oțel inoxidabil montat sub ciclon, iar gazele sunt refulate în atmosferă.

În cazul în care finitatea pulberii nu satisface exigența condițiilor pentru care a fost destinată ea se supune operației de micronizare.

Pulberile de pigmenti rezultate din procesul de fabricație sunt supuse controlului complex de calitate, vizînd în principal caracteristicile de culoare și morfostructurale, care trebuie să corespundă parametrilor de calitate precizați pentru fiecare sortiment de pigment în parte în tehnologia respectivă, detaliat prezentată în referatele tehnico-științifice întocmite cu ocazia recepției lucrărilor de cercetare experimentală și predate Întreprinderii "Emailul roșu" din Mediaș.

În cazul în care nuanța unuia dintre pigmenti nu corespunde cu cea a etalonului respectiv se face uz de una din metodele de calcul al nuanței și amestecul proporțional a două sau trei șerje ale căror caracteristici de culoare sunt cunoscute. Metodele sunt descrise în subcapitolul 5.5.

Pulberile de pigmenti corespunzătoare calitativ se ambalează în cutii din material plastic cu capacitatea de 8-10 kg și se depozitează în spații uscate, ferite de intemperii și mediu poluant de gaze.

În încheiere ar prezenta interes să consemnăm că dintre sistemele oxidice pe bază de titan-nichel studiate în cadrul lucrării s-au obținut sortimente de pigmenti într-o bogată paletă de nuanțe, cu deosebire: galbene, ccreu, verzi, albastre, brune, roz-violetace și roșii.

Dintre acești pigmenti se realizează în cantități industriale un număr de 19 sortimente de culori: galbene, oliv, verzi, maro și

maro-viaceous, din care 12 sortimente constituie obiectul a 3 brevete de invenție și două cereri de brevet înregistrate la CSIM.

Producerea industrială a acestor pigmenti a condus la înlocuirea produselor similar din import, realizîndu-se anual economii de circa 1 (un) milion lei valută, existînd posibilități reale de triplare a capacitatii de producție la vîndere a acestor pigmenti termorezistenți cu proprietăți coloristice superioare și cu aplicații în domenii tehnico-industriale importante.

7.- CONCLUZII

Cercetările prezentate în teza de doctorat au avut ca scop studiul condițiilor de sinteză al unui grup de pigmenti anorganici termorezistenți în sistemul oxidic de bază $\text{NiO}-\text{TiO}_2-\text{uM}_2\text{O}_5$ cu substituții parțiale, respectiv totale ale ionilor de Ni^{2+} și M^{n+} și optimizarea parametrilor tehnologici principali în scopul armonizării caracteristicilor de culoare și proprietăților morfostructurale, pentru a le conferi proprietăți pigmentare superioare.

S-a pornit de la un studiu exhaustiv al literaturii de specialitate, apoi s-au conceput și organizat lucrările de laborator, urmărindu-se: elaborarea compozitiilor și a detaliilor preparatorii, realizarea pirosintezelor, caracterizarea complexă a compușilor oxidici obținuți prin metode de investigație fizico-chimice instrumentale de mare acuratețe și în final testarea pigmentilor în colorarea emailurilor și maselor plastice.

Lucrările originale efectuate au condus la următoarele rezultate și concluzii mai importante:

1- s-au sintetizat prin metoda ceramică și studiat în detaliu compușii oxidici în sistemul: $\text{NiO}-\text{TiO}_2$; $\text{NiO}-\text{TiO}_2-\text{uSb}_2\text{O}_3$; $\text{NiO}-\text{TiO}_2-\text{uM}_2\text{O}_5$ și $\text{NiO}-\text{TiO}_2-\text{uMO}_3$, pentru raportul molar de: 0,25; 1 și 2 dintre $\text{NiO}: \text{TiO}_2$ și 1 - 1% pentru adaosul Sb_2O_3 , și 5% pentru adaosurile simbolizate prin M_2O_5 , respectiv MO_3 , în lipsă și prezența de mineralizatori, în proporție de 3%, urmărindu-se stabilirea dependențelor dintre caracteristicile de culoare ale pigmentilor și factorii macro cinetici: temperatura, timpul de reacție, compozitia oxidică și morfostructurală, etc.;

2- comportarea termochimică a compozitiilor a fost studiată prin metoda termogravimetrică și termodiferențială în intervalul $20-1200^{\circ}\text{C}$, iar precizarea caracteristicilor de culoare prin metoda colorimetriei tricromatice;

a- efectul temperaturii asupra caracteristicilor de culoare și stabilității termice s-a urmărit între $800-1400^{\circ}\text{C}$, din 50 în 50°C , pentru compozitiile în sistemele: $\text{NiO}-\text{TiO}_2$ și $\text{NiO}-\text{TiO}_2-\text{uSb}_2\text{O}_3$, cu și fără mineralizatori, iar pentru sistemele $\text{NiO}-\text{TiO}_2-\text{uM}_2\text{O}_5$ și $\text{NiO}-\text{TiO}_2-\text{uMO}_3$, între $900-1400^{\circ}\text{C}$, din 100 în 100°C ;

b- efectul timpului de reacție s-a urmărit între 1-4 ore pentru sistemul $\text{NiO}-\text{TiO}_2$ și $\text{NiO}-\text{TiO}_2-\text{uSb}_2\text{O}_3$, în care raportul $\text{NiO}: \text{TiO}_2$ a fost de 1:1.

Valoarea datelor obținute a permis precizarea factorilor ter-

mici optimi, pentru compozitiile pirosintetizate. Ei sunt: temperatura de 1000°C , iar timpul de ardere 3 ore.

Sistemele oxidice studiate dezvoltă, în condițiile pirosintezelor, nuante galbene, ocru și maro. Creșterea temperaturii peste 1050°C are un ușor efect batocrom asupra nuanțelor;

c- conținutul în galben $-\Delta b-$ este influențat de raportul $\text{NiO}:\text{TiO}_2$, natura adaosului oxidic $-\text{M}_{\text{m}}\text{O}_{\text{n}}-$ și felul mineralizatorului;

d- compozitia oxidică implicată prin raportul $\text{NiO}:\text{TiO}_2$ la valori de: 0,25; 1 și 2 și adaosul oxidic $-\text{M}_{\text{m}}\text{O}_{\text{n}}-$, considerat optim proporția $-\text{u}-$ de 5%. Natura ionului $\text{M}^{\text{n}+}$, în care se identifică ionii: Bi^{3+} , Sb^{5+} , Bi^{5+} , V^{5+} , Nb^{5+} , Ta^{5+} , Cr^{3+} , Cr^{6+} , Mo^{6+} și W^{6+} , angajează interacțiuni între cationii sistemului oxidic, cu efecte locale complexe, generând detalii de structură cu implicații specifice în absorbția luminii, diferențiind nuanțele de la galben-lămăie la ocru și maro;

e- mineralizatorii folosiți: LiCl , NaCl , KCl și H_3BO_3 , în proporție de 3%, față de masa oxidică, și joacă rolul tehnologic prin scăderea temperaturii de reacție și rolul cromatic, accentuând efectul hipsocrom al nuanței pigmentelor, cind raza cationului crește.

Studiul asociat acestor factori a condus la concluzia că pigmentul $0,25\text{NiO} \cdot \text{TiO}_2 \cdot \text{uM}_{\text{m}}\text{O}_{\text{n}}$ preparat cu adaos de 5% Sb_2O_3 și 3% NaCl , la temperatura de 1000°C , palier 3 ore a întrunit proprietăți optice superioare, rezultat al armonizării tuturor atributelor de culoare, pentru nuanța galbenă-lămăie, iar pigmentul $0,25\text{NiO} \cdot \text{TiO}_2 \cdot \text{uV}_{\text{2}}\text{O}_5$ pentru nuanța ocru-închis, pirosintetizat la temperatura de 1400°C , palier 3 ore;

3- s-a studiat relația: compozitie-structură-culoare în sistemul oxidic $\text{NiO} \cdot \text{TiO}_2 \cdot \text{uM}_{\text{m}}\text{O}_{\text{n}}$. În contextul teoriei fizicii și chimiei corpului solid, problema suscită mult interes și necesită tehnici instrumentale speciale. Noi am folosit în acest scop: spectrofotometria de absorbție atomică, microsonda electronică, analiza termodiferențială și termogravimetrică, roentgenografie, spectrofometrie în IR, microscopia electronică, colorimetria tricromatică, analiza granulometrică prin metoda Coulter-Counter, testări ale pigmentelor în condiții termice și chimice agresive, etc.

Sistemul oxidic $\text{NiO} \cdot \text{TiO}_2 \cdot \text{uM}_{\text{m}}\text{O}_{\text{n}}$ este structurat pe oxizi ai elementelor tranziționale heterovalente cu nivelul d complet: Ti^{4+} , $\text{M}^{\text{n}+}$ și incomplet: $\text{Ni}^{2+}(\text{d}^8)$, care în condițiile pirosintezei -temperatura 1000°C , palier 3 ore - conduc la formarea oxidului mixt $\text{NiO} \cdot \text{TiO}_2$, cu singonia romboedrică a ilmenitei, de culoare galbenă.

In concordanță cu regula "izomorfismului heterovalent" compușii oxidici rezultați au aceeași structură cristalină dar caracteristicile de culoare sunt diferențiate prin particularitățile iono-structurale ale cationului din adosul oxidic M_mO_n .

Studiul structurii cristaline a condus la următoarele constatări:

a- compozitiile oxidice $NiO-TiO_2-M_mO_n$ pirosintetizate la $1000^{\circ}C$, 3 ore, conduc la formarea oxidului mixt $NiO.TiO_2$ cu structură cristalină de tip ilmenitic;

b- compozitiile $2NiO-TiO_2-M_mO_n$, în intervalul termic $900-1400^{\circ}C$, formează compuși oxidici în care s-a identificat oxidul dublu $NiO.TiO_2$, cu structura ilmenitei și NiO . Nu s-a identificat structura spinel pentru presupusul oxid mixt $2NiO.TiO_2$;

c- nu au fost puse în evidență anionii TiO_3^{2-} sau TiO_4^{4-} independenți, ceea ce demonstrează că din sinteze nu rezultă oxișăruri ci oxizi micști. Rețelele lor cristaline sunt constituite din cationi: Ti^{4+} , Ni^{2+} și M^{n+} , respectiv substituții sau asociații acestor ioni și anionii O^{2-} ;

d- nu au fost înregistrate în spectrele RX ale acestor compuși liniile de difracție ale planelor reticulare specifice adasurilor oxidice M_mO_n , ceea ce confirmă ipoteza că ionii M^{n+} sunt distribuiți statistic în structura cationică a oxidului mixt și îndeplinesc rolul compensatorului de sarcină în sistem, în ceea ce de a două sferă de coordonată a ionilor Ni^{2+} , condiționând simetria octaedrică, aceeași cu a ionilor Ti^{4+} , asigurând astfel dezvoltarea de nuanțe: galben, ocru și maro în funcție de natura cationului M^{n+} și de condițiile termice;

4- s-a propus un mecanism de formare a structurii și dezvoltării culorii în sistemul $NiO-TiO_2-M_mO_n$, în condițiile reacției în stare solidă, bazat pe criteriul structural al aspectelor de nestoichiometrie ale compușilor și microdistorsiunilor pricinuite de adasurile oxidice, care influențează definitivarea structurii fine și benzilor de absorbție, cît și pe condiția impusă de energia preferențială a ionilor Ni^{2+} , Ti^{4+} și M^{n+} pentru simetria octaedrică, consideranțe care determină dezvoltarea nuanțelor galbene, ocru și maro în oxidul mixt format $NiO.TiO_2$.

Doparea prealabilă a TiO_2 , forma alotropă anatas, cu Sb_2O_3 a demonstrat că sistemul $NiO-TiO_2$ dezvoltă nuanțe galbene-verzui, dacă se păstrează celelalte condiții de sinteză identice, ceea ce presupune o flutare parțială a gradului de oxidare a ionilor de nichel între Ni^{2+} și Ni^{3+} , acesta din urmă în coordonată hexaedrică dezvoltând cu-

loarea verde, influențind astfel nuanța compusului finit;

5- sistemul oxidic $\text{NiO}-\text{TiO}_2-\text{uM}_{m,n}^{\prime}$ a constituit o bază de diversificare a gamei de pigmenti prin substituirea parțială a ionilor de Ni^{2+} cu ioni bivalenți: $\text{Zn}^{2+}, \text{Cd}^{2+}, \text{Ce}^{2+}, \text{Cu}^{2+}$, etc., astfel:

a- sistemul $\text{NiO}/\text{ZnO}-\text{TiO}_2-\text{uSb}_{2,5}$ a generat nuanțe verzi în compozițiile pirointetizate la temperatura de 1000°C și palier 3 ore. În funcție de raportul $\text{NiO}/\text{ZnO}:\text{TiO}_2$ în acești compusi oxidici se formează structura spinel, formulată: $\text{Zn}_x \text{Ni}_{1-x}(\text{Ni}, \text{Ti})\text{O}_4$, în care $x < 0,5$, alături de structura oxidului mixt de tip ilmenitic său de rutil, cînd TiO_2 este în exces.

Nuanțele verzi ale acestor compusi oxidici evidențiază argumentul privind rolul valorii energiei preferențiale pentru condiția sterică probată prin valoarea de $-31,6 \text{ Kcal/at.g}$ a ionilor de Zn^{2+} , preferind ca urmare, configurația tetraedrică pe care o impune și ionilor de Ni^{2+} , căror valoare a energiei preferențiale pentru coordonată hexaedrică este de $16,6 \text{ Kcal/at.g}$, singurii cromofori din sistem;

b- sistemul oxidic $\text{NiO}/\text{CdO}-\text{TiO}_2-\text{uM}_{m,n}^{\prime}$ în care raportul NiO/CdO variază între $0,025$ și 1 dezvoltă la 1050°C nuanțe verzi, galbene, ocru, maro și bej-rozacee.

Compoziția de fază preponderentă pentru acești pigmenti este oxidul mixt $(\text{Ni}_{1-x}\text{Cd}_x)\text{O} \cdot \text{TiO}_2$, cu structura ilmenitei și faze oxidice nereacționate.

Obținerea de pigmenti prin substituția parțială a ionilor Ni^{2+} cu ioni de Zn^{2+} sau Cd^{2+} , care nu au nivele energetice libere, dezvoltă în masa dioxidului de titan, în prezența adaosurilor oxidice $-\text{M}_{m,n}^{\prime}\text{O}_n-$, în condiții termice anumite, culori și nuanțe de care responsabilă este energia de stabilizare rezultantă a cîmpului cristalin, care impune configurația octaedrică sau tetraedrică grupării cromofore. Detaliile de structură, consecință ale aspectelor de nestoechimetrie și microdistorsiunilor pricinuite prin substituții, influențează absorbția luminii și diferențiază caracteristicile de culoare ale acestor compusi;

6- s-au preparat pigmenti în sistemul $[(1-\alpha)\text{NiO}-\text{M}'_2\text{O}_3]-\text{TiO}_2-\text{M}_{m,n}^{\prime}$, în care M' simbolizează ionii Fe^{3+} , respectiv Cr^{3+} ;

a- compozițiile în sistemul $(1-\alpha)\text{NiO}-\text{Fe}_2\text{O}_3-\text{TiO}_2-\text{uM}_{m,n}^{\prime}$ pirosintetizate la temperatura de 850°C , palier 3 ore dezvoltă un adevărat diapazon de nuanțe: roșu, roșu-violacee, ocru, maro și negru-maroniu în funcție de variația raportului $\text{NiO}:\text{Fe}_2\text{O}_3$ între 0 și 1 și de natura adaosului oxidic. Acești pigmenti sunt caracterizați prin

proprietăți optice interesante, atributul principal constituindu-l conținutul în roșu, $-\Delta a$ și prin textură moale, intensă putere de colorare în masele plastice și putere de acoperire în vopselele de acoperire a imitațiilor de piele;

d- sistemul oxidic $\text{NiO}/\text{Cr}_2\text{O}_3-\text{TiO}_2-\text{uSb}_2\text{O}_3$ dezvoltă nuanțe oliv strălucitoare în compozitiile pirosintetizate la 1000°C , pălier 3 ore. Valoarea raportului conținutului în verde ($-\Delta a$) și galben (Δb) precizează nuanța oliv. Dezvoltarea acestor nuanțe în sistem se explică prin formarea în cantități mici a spinelului $\text{NiO} \cdot \text{Cr}_2\text{O}_3$ de culoare verde, care în amestec cu oxidul mixt $\text{NiO} \cdot \text{TiO}_2$ de tipul ilmenitei de culoare galbenă determină nuanța oliv al compusului oxidic;

7- proprietățile pigmentare, rezistența chimică și termică ale pigmentelor din sistemele cercetate au fost măsurate prin metode de determinare specifice domeniului, iar majoritatea prin testarea lor în colorarea emailurilor și maselor plastice: folii de polichlorură de vinil, de polietilenă, compuși poliesterici, spume poliuretanice, etc. conservându-și practic nuanțele și marcând o bună putere de colorare și acoperire. Acești pigmenti nu sunt nocivi și nu prezintă fenomenul migrării la suprafață, ceea ce constituie însușiri calitative deosebite pentru utilizarea lor în colorarea maselor plastice;

8- s-au preparat 7 sortimente de pigmenti folosind în sistemul $\text{NiO}-\text{TiO}_2-\text{uMnO}_n$ în locul anatasului, rutilul sintetic preparat din ilmenite indigene. Pigmentii s-au preparat în aceleasi condiții de sinteză: sisteme oxidice și factori termici care au condus la nuanțele: galbene-ocru, verzi și roșii, în cazul utilizării anatasului. El prezintă nuanțele mai închise comparativ cu compușii oxidici preparați cu anatas, datorită impurităților conținute în rutil.

Testarea acestor pigmenti în colorarea maselor plastice a dat rezultate satisfăcătoare;

9- estimarea caracteristicilor de culoare ale pigmentelor prin metoda colorimetriei tricromatice s-a făcut prin valori numerice diferind cu o zecime de nanometru, pentru nuanță și o sutime de judd, pentru celealte atribute ale culorii, permitând o apreciere riguroasă ale proprietăților optice pentru aceste produse.

Reproductibilitatea prin sinteză a parametriilor de calitate ale pigmentelor este o problemă gingășă. Pentru evitarea diferențelor dintre producător și beneficiar cu privire la reproducerea nuanței etalon s-a propus:

- metoda grafică de calcul a nuanței etalon cu ajutorul datelor de colormetrie tricromatică și diagramei cromaticității CIE;

- metoda de calcul a nuanței unui amestec de pigmenti cu ajutorul unui calculator numeric digital pe baza unei scheme logice de calcul a nuanței etalon;

10. În prezența lucrare s-au sintetizat 49 sortimente de pigmenti de culori, nuante și structuri diferite, din care 19 sortimente de pigmenti se realizează industrial la întreprinderea "Emailul roșu" din Mediaș, 15 dintre acestea fiind obiectul a 3 brevete de invenție și 2 cereri de brevet înregistrate la OSIM.

11. Datele cercetărilor de laborator obținute prin studiul sistemului de bază $\text{NiO} \cdot \text{TiO}_2$ inițiate de noi în anul 1972 au dus la prodrogoase realizări în domeniul cercetării pigmentilor care au facilitat strânsa colaborare cu specialistii din întreprinderea "Emailul roșu" din Mediaș, unde în anul 1976 s-a construit o secție de producție industrială a pigmentilor anorganici cu o capacitate de 25 tone/an, având posibilitatea și existând preocupări pentru triplarea capacitatii de producție în anul 1984-1985.

12. Precizarea riguroasă a parametrilor de sinteză ai pigmentilor pe bază de $\text{NiC} \cdot \text{TiC}_2 \cdot \text{uM}_{\text{m}} \text{O}_n$, în condiții de laborator a permis aplicarea cu succes din anul 1976 a primei tehnologii de fabricație a pigmentului ivoriu, în sistemul $0,25\text{NiO} \cdot \text{TiO}_2 \cdot \text{uSb}_2\text{O}_5$, exact la aceiași parametrii de sinteză și cu aceleasi efecte de colorare a emailului.

13. Prin producerea industrială a sortimentelor de pigmenti pe bază de $\text{NiO} \cdot \text{TiO}_2 \cdot \text{uM}_{\text{m}} \text{O}_n$ se reduce importul de produse similare pentru producția de email, realizându-se anual economii de circa 1 milion lei valută, existând posibilități de îmbogățire a gamei sortimentale de pigmenti și extinderea ariei utilizării tehnico-industriale ale acestor produse și în alte domenii.

14. Rezultatele cercetării expuse în prezența lucrare au făcut obiectul a 11 lucrări publicate, 2 lucrări trimise la tipar, 15 lucrări comunicate la congrese și simpozioane în țară, 6 brevete de invenție și s-au referit la 3 cereri de brevet înregistrate la OSIM.

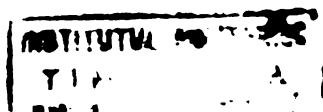
15. Cercetările efectuate, valoarea datelor, analiza și interpretarea rezultatelor obținute cu privire la sinteza și studiul pigmentilor pe bază de titan-nichel pot angaja interesul științific al specialistilor, asociindu-l celui aplicativ vizând posibilitatea

predictiei culorii și proprietăților fizice, condiționate de compoziția oxidică și factorii macrocinetici ai sintezelor, permitînd eliminarea încercărilor succesive laborioase, cu caracter empiric, pentru optimizarea tehnologiei acestor produse.

• / •

BIBLIOGRAPHIE

1. Bittler,K. și Osterdag,W., Angew.Chem., 93, 3, 1980,p.187.
2. Kiefer,C. și Allibert,A., L'ind. ceram.,607,1968,p.395.
3. Norton,F.H.,Fine Ceramics,McGraw-Hill,New York,1970,p.203.
4. Belenki,E.F. și Riskin,I.V.,Himiia tehnologiiia pigmentov,Leningrad Gosimizdat,1960,p.551-568.
5. Kohl,H.,Ulmans Encyklopädie der technische Chemie,Band IX,
"Keramische Farben",München-Berlin,1957,p.425,434-435.
6. Steg,Fred,B.,Journal of Paint Technology,43,56,1971,p.34.
7. Belenkii,E.P. și Riskin,J.V., Himiia i tehnologiiia pigmentov,
izd-vo Himiia,1974,p.13.
8. Darby,R.S. și Leighton,J.,"The Modern Inorganic Chemicals
Industry" - Titanium dioxide pigments -,London Symposium,1977.
9. Gladishev,G.Iu.,Lakokrasocinie materiali i ih primenenie,1,
1977,p.80.
10. Tcheichvili,L. și Weil,W.A.,The Glass Inds.,44,1,1963,p.24.
11. Duffaut,F.,Rev.Chim.minér.,4,1967,p.769.
12. Austin,J.G.,Clay,B.D. și Furner,C.E.,Proc.Phys.Soc.,London,
Solid State Phys.,1968,p.1418.
13. Romeijn,F.C.,Phylips Res.Repts. 8,1953,p.321.
14. Takahaski,K. și Ohtsuka,A.,Yogo Kyokai Shi,67,1959,p.139;
Chem.Abstr.,54,1960,p.7177 i.
15. Ohtsuka,A.,Bull.Fac.Eng.,Yokohama Natl.Univ.,11,1962,p.15.
16. Bittler,K. și Osterdag,W.,Angew.Chem.,92,1980,p.187.
17. Gorter,E.W.,Philips Res.Repts.,9,1954,p.295.
18. Dunitz,J.D. și Orgel,L.E.,J.Phys.Chem.Solids,2,1957,p.20.
19. McClure,D.S.,J.Phys.Chem.Solids.,2,1957,p.311.
20. Blasse,G.,Phylips.Res.Repts.Supl.,2,1964,p.9.
21. Tcheichvili,L. și Weyl,W.A.,The Glass Inds.,44,3,1963,p.145.
22. Viehweger,F.,Sprechsaal K.G.E.,53,17,1950,p.336.
23. Ibid,90,6,1957,p.129.
24. Tumanov,S.G.,Steklo i keram.,24,6,1967,p.33.
25. Mocellin,A.,Ann.Chim.,1,1976,p.119.
26. Stone,F.S.,Bull.Soc.Chim.Fr.,1966,p.819.
27. Cockayne,B. și Jones,D.W.,Ed."Modern oxide materials",Academic
Press,London and New York,1972,p.29.



28. Macarovici,C.Gh. și Macarovici D., "Chimia oxizilor dubli și utilizările lor", Ed.Acad.R.S.R., București, 1975, p.141.
29. Norton,F.H., *Fine Ceramics*, McGraw-Hill, New York, 1970, p.203.
30. Judd,D.B. și Wyszecki,G., *Color in Business, Science and Industry* 3rd Ed, Wiley, New York, 1975.
31. Pein,G.F., *Tehnologija organicskih nokritif Parehod c angl.Pod. red.E.F.Belenkalo*, Leningrad, "Himiia" t.2, 1963, p.105.
32. Frantiia N F 30-002-61. Mineralnie pigmenti. Klassifikatiia.
33. R.F.G. -DIN 55945-61, Kraski maliarnie. Terminologhia.
34. Smirnova,Z.D. și Spitberg,G.N., *Lakokrasocinie materiali i ih primenenie*, 1, 1976, p.74.
35. Nenitescu,C.D., *Chimie generală*, editura didactică și pedagogică, București, 1972, p.625.
36. Páris,J. și Páris,R., *Bull.Soc.chim.Fr.*, 1965, p.1138.
37. Keier,N.P., Sazonova,I.S., Mihailova,I.L. și Belosudtseva,T.V., *Kinetika i kataliz*, 7, 1966, p.920.
38. Novokatski,I.A. și Lenev,L.M., *Izvest.V.U.Z. M.V.O. S.S.S.R.*, *Tsvetn.Met.*, 8, 1965, p.68.
39. Golubenko,A.N. și Rezukhina,T.N., *Zhur.fiz.khim.*, 39, 1965, p.1519.
40. Strijkov,B.V., Lapičkii,A.V., Vlasov,L.G. și Tvetkov,A.I., *Doklady Akad.Nauk S.S.S.R.*, 133, 1960, p.1347.
41. Strijkov,B.V., Lapičkii,A.V., Vlasov,L.G. și Tvetkov,A.I., *Zhur.priklad.Khim.*, 33, 1960, p.2009.
42. Strijkov,B.V., Lapičkii,A.V. și Vlasov,L.G., *Zhur.priklad.Khim.*, 34, 1961, p.673.
43. Saikali,I. și Páris,J.M., *C.R.Acad.Sci.Paris.Ser.C.*, 265, 9, 1967, p.1041.
44. Macarovici,C.Gh. și Zaharescu,M., *Rev.Roumaine Chim.*, 16, 1971, p.577.
45. Ibid, 19, 1974, p.1009.
46. Zaharescu,M. și Macarovici,C.Gh., *Rev.Roumaine Chim.*, 16, 1971, p.1323.
47. Magneto-chemie N.V. Brit.Pat.864249, 1952.
48. Peel,G.N., *Ceramics*, 7, 1955, p.207.
49. Nosova,Z.A. și Vitojina,V.m., *Steklo i keram.*, 12, 1962, p.18.
50. Tcheichvili,L. și Weyl,W.A., *The Glass Inds.*, 44, 4, 1963, p.173.
51. Bystrikov,A.S. și Tcherepanov,B.S., *Steklo i Keram.*, 8, 1963, p.33.
52. Tăvală,P.T., Brînzan,Gr.N. și Florea,V., *Materiale construcții*, 6, 3, 1976, p.135.

53. Tăvală, P.T., Brînzan, Gr.N. și Florea, V., Rev. Roumaine Chim., 22, 5, 1977, p. 787.
54. Broel, H., Beyer, H. și Kleinschmit, P., Chemiker Zeit., lol, 1977, p. 319.
55. Tăvală, P.T., Florea, V. și Brînzan, Gr.N., Brevet R.S.R., 65596, 1978.
56. Kleinschmit, P., Keram. Zeit., 12, 1978, p. 668.
57. Tăvală, P.T., Brevet R.S.R., 78003, 1981.
58. Tăvală, P.T., Florea, V. și Savii, C., Cerere de brevet, dosar OSIM nr. 10J.20/1982.
59. Pascal, P., Nouveau traité de chimie minérale, Ed. Masson et Cie, Paris, IX, 1960, p. 119.
60. Ibid., XIII, fasc. 1, 1960, p. 894, 896, 1086.
61. Savii, C., Tăvală, P.T., Brînzan, Gr.N. și Savii, G., Rev. Roumaine chim., 23, 8, 1978, p. 1337.
62. Tăvală, P.T., Florea, V. și Brînzan, Gr.N., Brevet R.S.R., 65597, 1978.
63. Shirasaki, T., Okada, M. și Morikava, Kagaku Kagaku Zasshi, 68, 1965, p. 593; Chem. Abstr., 63, 10737 h.
64. Rassudova, N.S., Terekova, A.I. și Lile, G.N., Lakokrasocinie materiali i ih primenenie, 2, 1963, p. 25.
65. Rassudova, N.S., Strlitsov, J.S. și Aleksandrova, N.A., Lakokrasocinie materiali i ih primenenie, 5, 1963, p. 27.
66. Heller, G.S., Stickler, J.J. și Kern, S., J. Appl. Phys., 34, 1963, p. 1033.
67. Taylor, R.W., Zeits. Phys. Chem., B2, 1930, p. 241.
68. Posnjak, E. și Barth, F.W., Zeits. Kryst., 88, 1934, p. 271.
69. Pascal, P., Nouveau traité de chimie minérale, Ed. Masson et Cie, Paris, XVII, fasc. 2, 1963, p. 751, 868.
70. Kittel, H., Pigmente, Herstellung, Eigenschaften, Anwendung, Stuttgart, Wissenschaftliche Verlag, 1960, p. 254.
71. Orban, N., Pigmenți anorganici, Ed. tehnică, București, 1974, p. 140.
72. Drăgulescu, C., Tăvală, T.P., Brînzan, Gr.N. și Florea, V., A IV-a Conferință de chimie fizică generală și aplicată, București, 1974. Rezumatele lucrărilor p. 159 (nr. IV-51).
73. Tăvală, T.P., Florea, V., Savii, C. și Brînzan, Gr.N., Industrie ugoară, 25, 7, 1978, p. 240.
74. Pascal, P., Nouveau traité de chimie minérale, Ed. Masson et Cie, Paris, IX, 1963, p. 96.
75. Collonque, R., La non-stoichiometrie, Ed. Masson et Cie, Paris, 1971, p. 109.
76. Levin, E.M., Robbins, C.R. și McMurdie, H.F., "Phase Diagrams for Ceramists" The Am.Cer.Soc., 4057n, High St., Columbus, Ohio, 1964, p. 552.

77. Bumps,E.S.,Kessler,H.D. și Hansen,M.,Trans.Am.Soc.Metals., 45, 1954,p.1013.
78. DeVries,R.C. și Rey,R.,Amer.Ceram.Soc.,Bull. 33,12,1954,p.370.
79. Anderson,S.,Acta.Chem.Scand.,14,1960,p.1161.
80. Magnéli,A.,Nature,115,1950,p.356; Arkiv Kemi ,1,1950,p.513.
81. Wadsley,A.D., "Non-Stoichiometric compounds", Mandelcorn,L.,ed.Academic Press,New York-London,1964,p.108.
82. Anderson,S. și Magnéli,A.,Naturwiss.,43,1956,p.495.
83. Hurleu,T.,Acta.Chem.Scand.,13,1959,p.365.
84. Goodenough,J.B., "Les oxides des métaux de transition", Ed.Gauthier-Villars,Paris,1973,p.282;176.
85. Earle,W.D.,Phys.Rev.,61,1942,p.56.
86. Johnson,C.W.,Phys.Rev.,136,1964,p.A.284; J.Appl.Phys.,35,1964, p.3049.
87. Kamfer,W.A.,Offic.Dig.Fed.Soc.Paint Technol.,32,1960,p.454.
88. Bentley,F.F.,Smithson,L.D. și Rozek,A.L., "Infrared spectra and characteristic frequencies 700-300 cm⁻¹", Interscience Publishers John & Wiley Sons, New York,London,Sydney,1968,p.90.
89. Tăvală,T.F., A V-a Sesiune de comunicări științifice a Centrului de cercetări Rîmnicu Vîlcea,1979,p.6.
90. Drăgușescu,C. și Petrovici,L., "Introducere în chimia anorganică modernă",Ed.Facultatea de Chimie, Timișoara,1973,p.74.
91. Pauling,L., "Chimia generală" Ed.științifică,București,1972,p.141.
92. Dietzel,A.,Z.Electrochem.,48,1942,p.9.
93. Bogatski,D.P.,Zhur.Obshch.Khim.,21,1951,p.9.
94. Koide,S. și Takei,H.,J.Phys.Soc.Japan,18,1963,p.319.
95. Mitoff,S.,P.,J.Chem.Phys.,35,1961,p.882.
96. Pizzini,S. și Morlotti,R.,J.Electrochem.Soc.,114,1967,p.1179.
97. Lutzman,B.,Steel.Processing,32,1954,p.669.
98. Kingery,W.D.,Property Measurements at High Temperatures,John Wiley Sons, Inc.New York,1959,p.416.
99. Roth,W.L.,Phys.Rev. 110,1958,p.1333.
100. Newman,R. și Chrenko,R.M.,Phys.Rev.,114,1959,p.1507.
101. Ksendzov,Ya.M. și Drabkin,I.A.,Fiz.Tverd.Tela,7,1965,p.1834.
102. Goodenough,J.B., "Magnetism and the Chemical Bond" Interscience et Wiley,New York,1963,p.26.
103. Marinder,B.O. și Magnéli,A.,Acta Chem.Scand.,11,1957,p.1635.
104. Trarieux,H.,Bernier,J.C. și Michel,A.,Ann.Chim.,4,1969,p.183.
105. Phillips,C.S.G. și Williams,R.J.P., "Chimie minérale", vol 2,ed. Dunot, Paris,1971,p.178.

106. Winter,F., teză de doctorat, 1970.
107. Flörke,C., W., Ber.Dtsch.Keram.Ges., 38, 1961, p.133
108. Volkov,S., V., Konovalov,P., R. și Makljev,S., D., "Mineralizatori v tementnoi promyshlenosti Izd-vo Literaturi po stroitelstvu, Moskva, 1964, p.27.
109. Tumanov,S., G. și Filippova,Z., A., J. Neorgan. materiali, VI, 4, 1970, p.814.
110. Budnikov,P., P. și Ginstling,A., M., Ukrainskii himiceskii Jurnal, 42, 7, 1976, p.711.
111. Mac Chensney,J., E. și Juan,A., Amer. mineralogist, 46, 1961, p.578.
112. Trimble,J., H., Thèse, Rutgers University, State University of New Jersey, May, 1957.
113. Laqua,W., Schultz,E., W. și Reuter,B., Z.anorg.chem., 433, 1977, p.167.
114. Satta,R., K. și Roy,R., Z.Krist., 121, 1965, p.410.
115. Schultz,L., W., "Phasenverhältnisse Reactionskinetik und Diffusion im System NiC-TiO₂", Berlin, 1977, p.12.
116. Billiet,Y., Roix,P. și Michel,A., Bull.Soc.Chim.France, 1963, p.2196.
117. Navrotski,A. și Juan,A., J.Inorg.Nucl.Chem., 32, 11, 1970, p.3471.
118. Schönberg,N., Acta Chem.Scand., 8, 1954, p.1347.
119. Werner,H., D. și Gebert,W., J.B.Miner.Ph., 1976, p.44.
120. Kimura,F. și Kawamura,T., Japan.J.Appl.Phys., 15, 1976, p.1405.
121. Bayer,U. și Flörke,C., W., Naturwiss., 60, 1973, p.102.
122. Novokhatskii,I., A. și Lenev,L., M., Izvest.V.U.Z.S.S.R., Tsvetn.met., 5, 1965, p.68.
123. Hirane,G., Pickart,S.J. și Ishikawa,I., J.Phys.Soc.Japan, 14, 1959, p.1352.
124. Jefferson,C.F. și West,R.C., J.Amer.Ceram.Soc., 47, 1964, p.544.
125. Cotton,A., "Progress in Inorganic Chemistry" vol.1, p.465, Ward, R., "Mixed Metal Oxides", Clarendon Press, Oxford, 1966.
126. Klescev,G., V., Seinkman,A., I., Goldstein,L., M. și Turlakov,V., N., Lakokrasocinie materiali i ih primenenie, 4, 1970, p.12.
127. Goldstein,L., M., Kalinichenko,I., I., Seinkman,A., I. și Turlakov, V., N., J.neorgan.nimii, vol.XVIII, f.12, 1973, p.3185.
128. Seinkman,A., I., Junussova,N.V., Turlakov,V.N. și Klescev,G.H., Izvest.Akad.Nauk. S.S.R., 9, 1975, p.1677.
129. Loskarev,P.A. și Sifceva,N.A., J.neorgan.himii, 1, 1970, p.16.

130. Loskarev,B.A.,Siceva,N.A. și Ustianțeva,T.A.,J.neorgan. materiali,2,1967,p.2040.
131. Jander,W.,Z.anorg.Chem.,163,1927,p.1.
132. Fischbeck,K.,Z.anorg.Chem.,165,1927,p.46.
133. Erofeev,B.V.,Doklady Akad.Nauk S.S.R.,52,1946,p.515.
134. Juravlev,V.F.,Lesovin,I.L. și Tempelman,R.G., J.prikl.himii,21,1948,p.887.
135. Ghinstling,A.M. și Braunstein,B.I.,J.prikl.himii,23,1950,p. p.1249.
136. Budnikov,P.P. și Ghinstling,A.M., "Reacții v smesiahtverdih rescestv", Gosstroizdat,1965,p.175.
137. Kiperman,S.L.,V vedenie v kinetiku gheterogennih katalitices-kih reacții,M., "Nauka",1964,p.551.
138. Zimmerschied,W.J. și Rylander,P.N., Patent R.F.G.,1.069.317, Chem.Abstr. 55,16984 d.
139. Ripan,R.,Popper,E. și Liteanu,C., "Chimie analitică calitati-va", Ediția IV-a,Ed.didactică și pedagogică,București,1963, p.262.
140. Liteanu,C. și Hopirtean,E., "Chimie analitică cantitativă.Volu-metria", Ediția VI-a.Ed.didactică și pedagogică,București, 1973,p.349,529,584.
141. Baiulescu,G. și Născuțiu,T., "Metode fizice de analiză a urme-lor", Ed.tehnica București,1974,p.36.
142. Neal,W.T.L., Analyst,79,1954,p.403.
143. Becherescu,D.,Cristea,V.,Marx,Fr.,Menessy,I. și Winter,Fr., "Metode fizice în chimia silicatilor",1977,p.58,322,358,402, 521.
144. Tuhonov,A.T. și Tiuruna,N.N.,Lakokrasocinie materiali i ih primenenie,2,1971,p.19.
145. Wright,W.D., "The Measurement of Color,Third Edition,Hilger Watts LTS,London,1964,p.118.
146. Wendlandt,W.W., "Reflectance Spectroscopy", Interscience Publishers John Wiley Sons, New York, London, Sydney, 1966, p.228.
147. Coates,E.,Provost,J.R. și Rigg,B.,J.Soc.of Dyers and Colo-rists,88,1972,p.151.
148. Illing,A.M. și Balenkin,I., Amer.Cer.Soc.Bull.,44,12,1965, p.956

149. Culbreth,W.K. și Rickey,C.I.,Amer.Cer.Soc.Bull.51,2,1972,p.152.
150. Patterson,D.,"Pigments"London Elsevier Publishing Co.Ltd.,1967,
p.1-24;50-65.
151. Eppler,R.A.,J.Amer.Ceram.Soc.,53,8,1970,p.457.
152. Kato,E.,Keram.Zeit.,13,1961,p.617.
153. Batchelor,R.W.,Trans.J.Brit.Ceram.Soc.,8,1974,p.297.
154. Tăvală,T.P.,Revista de chimie,31,7,1980,p.667.
155. Henry,V. și Laibl,F.,Am.Ceram.Soc.Bull.,11,1957.
156. Kohl,H.,Ber.Dtsch.Keram.Ges.,16,1935,p.169.
157. Ibid,17,1936,p.597.
158. Reumann,O.,C.E.K.T.,16,8,1965,p.289.
159. Ibid,16,9,1965,p.343.
160. Passerieux,R. și Leleu,C.Inds.Ceram.,637,2,1971,p.93.
161. Goldstein,L.M.,Kalinicenko,I.I.,Seinkman,A.I. și Bolsakova,A.G.,
Lakokrasucinie materiali i ih primenenie,6,1973,p.14.
162. Tăvală,T.P.,Revista de chimie,32,12,1981,p.1132.
163. Tăvală,T.P.,Becherescu,D.,Savii,C. și Balint,A.,Buletinul știin-
țific și tehnic al Institutului Politehnic "Traian Vuia", Timi-
șoara,vol.27(41),fasc.2,1982,p.29.
164. x x A.S.T.M.,17-617.
165. x x A.S.T.M.,21-1276 și 4-0051.
166. x x A.S.T.M.,4-835.
167. Moenke,H.,"Mineralspektren",Berlin,1962,2.12.
168. Tăvală,T.P.,"Sinteza și studiul culorii pigmentelor în sistemul
 $NiO-TiO_2-U_2O_5$ ".Al II-lea Congres național de chimie,București,
1981,vol.1,p.285,Sub tipar,Industria ușoară.
169. Tăvală,T.P.,Becherescu,D. și Florea V.,Cerere de brevet,dosar
USIM nr.109,340/1982.
170. Tarte,P.,Mem.Acad.Roy.Belg.,35,4A (46),1965,p.211.
171. Last,J.T.,Phys.Rev.,105,1977,p.1740.
172. Tăvală,T.P. și Becherescu,D.,"Sinteza și studiul culorii pig-
mentelor în sistemul NiO-TiO₂-UO₃".Al II-lea Congres național
de chimie,Buc.,1981,vol.1,p.240,Sub tipar,Revista de chimie.
173. Florea,V.,Tăvală,T.P.,Jimon,E.,Brînzan,N.Gr.,Savii,C.,Moser,V.
g.a.,"Variația culorii pigmentelor anorganici în emailuri în
funcție de natura friței"Simpozionul lucrătorilor din indus-
tria ușoară,Iași,27-28 octombrie,1977.
174. Florea,V.,Tăvală,T.P. și Jimon,E.,"Tehnologia de fabricație a
pigmentelor pentru email și decalcomanii."Simpozionul lucrăto-
rilor din industria ușoară,Iași,27-28 octombrie,1977.
175. Tăvală,T.P.,Brînzan,N.Gr. și Enăchescu,M.,"Materiale plastice",
17,1,1980,p.46.

176. Becherescu,D., Cristea,V., Marx,P., Menessy,I. și Winter,F., "Chimia stării solide", vol.1, Ed. științifică și enciclopedică, București, 1983, p.150.
177. Wasserman,I.M., Izv.Akad.Nauk S.S.R., Neorganicskie materiali, vol.11, 7, 1975, p.1241.
178. Miller,A.J.Appl.Phys., Supp.. vol.30, 4, 1959. p.245.
179. Collonques,R., "Le solid cristalin" Press Universitaire de France, Paris, 1973, p.146.
180. Tăvală,T.P. și Moser,V., "Pigmenți anorganici în sistemul NiO/CdO-TiO₂-Sb₂O₅", A V-a sesiune de comunicări științifice a Centrului de cercetări Rîmnicu Vilcea, 10-12 mai 1979.
181. Tăvală,T.P., Ciprescu,M., Brînzan,N.Gr., Savii,C. și Gavrilă,V.I., Brevet R.S.R., 70.666, 1980.
182. Moser,V., Tăvală,T.P. și Crigan,D., "Sinteză pigmentilor anorganici termorezistenți în sistemul (Ni_{1-x}Cd_x)O-TiO₂-yM₂O₅", Al II-lea Congres Național de chimie, București, 7-10 septembrie 1981, vol I, p.239.
183. Moser,V., Tăvală,T.P. și Crigan,D., "Sinteză pigmentilor anorganici termorezistenți în sistemul (Ni_{1-x}Cd_x)O-TiO₂-yMO₃", Simpozionul Centrului de chimie Timișoara, 29-30 octombrie 1981, p.3.
184. Tăvală,T.P. și Florea,V., Cerere de brevet, dosar C.S.I.M. nr. 106.126.1981.
185. Tăvală,T.P., Florea,V. și Brînzan,N.Gr., Brevet R.S.R. 81248, 1982.
186. Tăvală,T.P., Savii,C., Becherescu,D. și Florea,V., "Sinteză și studiul culorii pigmentelor în sistemul CuC.TiO₂.uSb₂O₃", Simpozionul "CERO" Cluj-Napoca, 9-11 septembrie, 1982, p.20.
187. Tăvală,T.P., Crigan,D. și Savii,C., "Structura și caracteristicile de culoare ale pigmentelor din sistemul NiO/ZnO-TiO₂-Sb₂O₅", Congresul Național de chimie, București, 11-14 septembrie, 1978, p.76.
188. Moser,V., Tăvală,T.P., Balint,A. și Crigan,D., "Studiul structurii pigmentelor în sistemul (Ni_{1-x}Cd_x)O-TiO₂-yMO₃", Simpozionul Centrului de chimie Timișoara, 8-9 octombrie 1982, p.12.
189. Bertraut,F., C.R.Acad.Sci., 230, 1950, p.213.
190. McCord,A.T. și Saunders,H.F., Ceram.Abst., 24, 1945, p.155.
191. Ahrens,L.H., Geochim.Cosmochim.Acta, 2, 1952, p.155.
192. Panks,E., Greenblat,M. și Post,B., Inorg.Chem., 9, 1970, p.2259.
193. Tăvală,T.P., Zaharescu,M., Brînzan,N.Gr., Colhon,I., Cureau,I., Crigan,M. și Momirlan,M., Revista de chimie, 30, 8, 1979, p.767.
194. Tăvală,T.P., Brînzan,N.Gr., Moser,V., Zaharescu,M., Crigan,D. și Dorohanju,M., Revista de chimie, 32, 8, 1982, p.740.

195. Tăvală, T.P., Florea, V. și Brînzan N.Gr., Brevet R.S.R. nr. 78720, 1981.
196. Rassudova, N.S., Guskova, N.A., Poliakova, N.N. și Hojsainov, Io.M., Lakokrasocinie materiali i ih primenenie, 2, 1972, p.12.
197. Tăvală, T.P., Moser, V. și Becherescu, D., Sinteza și studiul pigmentilor în sistemul $(1-\alpha)NiO \cdot \alpha Fe_2O_3 \cdot TiO_2 \cdot uSb_2O_5$, "CERO 2-Simpozion privind progrese ceramice", Cluj-Napoca, 9-11 septembrie 1982, p.22.
198. Moser, V., Tăvală, T.P. și Florea, V., "Sinteza și studiul culorii pigmentelor în sistemul $(1-\alpha)NiO \cdot \alpha Fe_2O_3 \cdot TiO_2 \cdot uMnO_n$ ", "CERO-2 Simpozion privind progrese ceramice" Cluj-Napoca, 9-11 septembrie 1982, p.22.
199. Rassudova, N.S., Doroga, M.G., Hlecmoba, N.N. și Kozlov, N.N., Lakokrasocinie materiali i ih primenenie, 5, 1965, p.1.
200. Pyrkev, V.P., Steklo i keram., 23, 6, 1966, p.32.
201. Singer, F. și Singer, S.S., "Industrial ceramics", London, Hall L.T.D., 1963, p.605.
202. Regnier, R., L'industrie céramique, 636, 1971, p.21.
203. Eisbein, P.-Köln, Keram. Zeit., 4, A.I., 1971, p.755.
204. Tăvală, T.P., Brînzan, N.Gr., Moser, V. și Savii, C., "Pigmenți occru pe bază de rutil sintetic din ilmenită indigenă" A VI-a Sesiune de comunicări științifice a Centrului de cercetări Rimnicu Vilcea, 15-17 mai 1980, p.6.
205. Tăvală, T.P., Brînzan, N.Gr., Savii, C. și Moser, V., "Pigmenți verzi pe bază de rutil sintetic din ilmenită indigenă". A VI-a Sesiune de comunicări științifice a Centrului de cercetări Rimnicu Vilcea, 15-17 mai 1980, p.8.
206. Tăvală, T.P., Savii, C. și Sava, I.M., "Sinteza și studiul caracteristicilor de culoare ale unor pigmenți pe bază de rutil sintetic destinați colorării maselor plastice", A IX-a sesiune de comunicări științifice a Centrului de cercetări Rimnicu-Vilcea, 2-4 iunie 1983, p.10.
207. Kameneva, D.B., Arbuzova, N.A. și Skuliberdina, N.A., Lakokrasocinie materiali i ih primenenie, 4, 1976, p.13.
208. Petrov, In.P. și Pirkev, V.P., 29, 1972, p.28.
209. Noven, H., Kronos Information, 40/E p.3, Published in FATIPEC Congress Book, 1966.
210. Savii, C., Tăvală, T.P. și Florea, V., Industria ugoară, 29, 8, 1982, p.361.
211. Dubois, M., L'industrie céramique, 636, 1971, p.185.